

МИНЕРАЛЫ
РУДНЫХ ФОРМАЦИЙ
АРМЯНСКОЙ ССР

2



ՀԱՅԿԱԿԱՆ ՍՈՅ ԳԻՏՈՒԹՅՈՒՆՆԵՐԻ ԱԿԱԴԵՄԻԱ
ԵՐԿՐՈՎԱՆԱԿԱՆ ԳԻՏՈՒԹՅՈՒՆՆԵՐԻ ԻՆՍՏԻՏՈՒՏ

ՀԱՅԿԱԿԱՆ ՍՈՅ
ՀԱՆՔԱՅԻՆ ՖՈՐՄԱՑԻԱՆԵՐԻ
ՄԻՆԵՐԱԼՆԵՐԸ

ՀԱՏՈՐ

2

ՀԱԼՈԳԵՆԻԴՆԵՐ, ՊԱՐԶ ՕՔՍԻԴՆԵՐ, ԲԱՐԴ ՕՔՍԻԴՆԵՐ
ԵՎ ՀԻԴՐՈՔՍԻԴՆԵՐ, ՎՈԼՖՐԱՄԱՏՆԵՐ, ՄՈԼԻԲԴԱՏՆԵՐ,
ՖՈՍՖԱՏՆԵՐ, ԱՐՍԵՆԱՏՆԵՐ, ՎԱՆԱԴԱՏՆԵՐ,
ԿԱՐԲՈՆԱՏՆԵՐ, ՍՈՒԼՖԱՏՆԵՐ,
ՄԻԼԻԿԱՏՆԵՐ

АКАДЕМИЯ НАУК АРМЯНСКОЙ ССР
ИНСТИТУТ ГЕОЛОГИЧЕСКИХ НАУК

549(06).
553.

МИНЕРАЛЫ
РУДНЫХ ФОРМАЦИЙ
АРМЯНСКОЙ ССР

ТОМ

2

ГАЛОГЕНИДЫ; ОКИСЛЫ ПРОСТЫЕ, ОКИСЛЫ
СЛОЖНЫЕ И ГИДРООКИСЛЫ; ВОЛЬФРАМАТЫ,
МОЛИБДАТЫ; ФОСФАТЫ, АРСЕНАТЫ,
ВАНАДАТЫ; КАРБОНАТЫ; СУЛЬФАТЫ;
СИЛИКАТЫ

ИЗДАТЕЛЬСТВО АН АРМЯНСКОЙ ССР
ЕРЕВАН



Печатается по решению ученого совета института геологии АН Армянской ССР

Ответственный редактор академик АН Армянской ССР *И. Г. Магакьян*,
редактор кандидат геолого-минералогических наук *А. С. Фарамазян*

Книгу рекомендовали к печати рецензенты: доктора геолого-минералогических наук *Т. В. Иваницкий* и *Г. О. Григорян*

Авторы: И. Г. МАГАКЬЯН, Б. М. МЕЛИКСЕТЯН, С. Б. АБОВЯН,
Ш. О. АМИРЯН, Р. Н. ЗАРЬЯН, К. А. КАРАМЯН, Г. Б. МЕЖЛУМЯН,
В. О. ПАРОНИКАН, Г. О. ПИДЖЯН, А. С. ФАРАМАЗЯН,
Э. А. ХАЧАТРЯН, Э. Х. ХУРШУДЯН, Л. П. ЯШВИЛИ.

М 167 Минералы рудных формаций Армянской ССР. /И. Г. Магакьян, Ш. О. Амирян, Р. Н. Зарьян и др.; отв. ред. И. Г. Магакьян. Т. 2.—Еր.: Изд-во АН АрмССР, 1986. В надзаг.: АН АрмССР, Инт геол. наук. Т. 2. Галогениды; окислы простые, окислы сложные и гидроокислы; вольфраматы, молибдаты; фосфаты, арсенаты, ванадаты; сульфаты; силикаты.

В томе 2, кроме собственно рудных (минералы железа, марганца, молибдена, вольфрама, олова, ниобия, тантала и др.), рассмотрены минералы, принадлежащие к группам жильных, гидротермально измененных пород пегматитов, а также некоторые породообразующие.

Книга рассчитана для геологов широкого профиля, минералогов, геохимиков, обогатителей, технологов, металлургов, экономистов, а также студентов геолого-географической и горной специальностей.

1904020000
М 703(02) — 86 58—85

ББК 26.303

© Издательство АН Армянской ССР, 1986

В томе 1 монографии «Минералы рудных формаций Армянской ССР» приведены материалы с описанием минералов в пяти разделах:

- I. Самородные элементы;
- II. Карбиды, нитриды и фосфиды;
- III. Арсениды, антимониды, висмутиды;
- IV. Сульфиды, сульфосоли и им подобные соединения;
- V. Селениды, теллуриды.

Во второй том вошло описание остальных минералов, установленных в рудных формациях Армянской ССР. Они сгруппированы в следующие разделы:

- VI. Галогениды;
- VII. Окислы: простые, сложные и гидроокислы;
- VIII. Вольфраматы, молибдаты;
- IX. Фосфаты, арсенаты, ванадаты;
- X. Карбонаты;
- XI. Сульфаты;
- XII. Силикаты.

Порядок описания отдельных минералов тот же, что и в томе 1: формула минерала, его сингония, данные о физических свойствах и химизме, диагностические признаки, распространенность в рудах Армянской ССР и условия образования, практическая ценность.

РАЗДЕЛ VI

ГАЛОГЕНИДЫ

Флюорит— CaF_2 , сингония кубическая. Флюорит широко распространен в породах и пегматитах щелочных комплексов (Мегри, Памбак) и в ряде рудных формаций (Ахтала, Шамлуг, Шамшадин). Встречается флюорит в виде кубических и куб-октаэдрических кристаллов с хорошо развитыми гранями (100), (111), реже встречаются формы (311) и (110) (рис. 1). Первые комбинации более характерны для нефелин-сиенитовых пород, вторые—для пегматитов. В зонах гидротермальной флюоритизации (Тежсар) встречается в виде кристаллических агрегатов (в друзовых пустотах куб-октаэдры), а в барит-флюоритовых жилах (Шамшадин)—в сплошных зернистых массах; реже встречаются порошковатые массы. Характерны двойники по (111). Спайность совершенная по (111). Цвет варьирует от бесцветного водяно-прозрачного (в гранитах), бледно-фиолетового (щелочные породы) до темно-фиолетового и зеленого (в гидротермалитах)—Тежсар, Шамшадин, Ахтала, Шамлуг.

Под микроскопом флюорит бесцветен, однако в темно-фиоле-

товых флюоритах наблюдаются черные включения, вокруг которых отмечается сгущение окраски. Как правило, изотропен. Однако нередко наблюдается аномальное двупреломление, выражающееся, по наблюдениям Н. М. Чернышова, в виде слабого волнистого погасания.

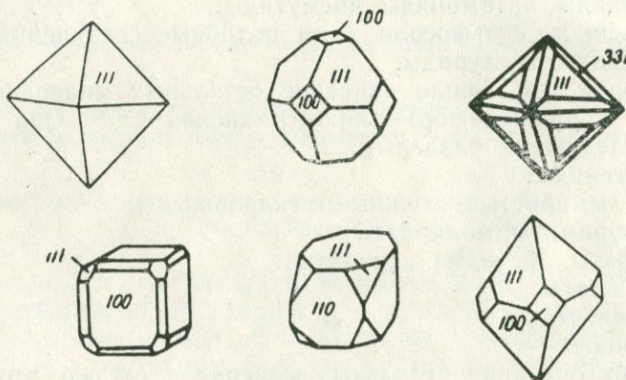


Рис. 1. Формы кристаллов флюорита из различных типов проявлений. По Б. М. Меликсеяну.

Показатель преломления: темно-фиолетового—1,433, фиолетового—1,434 и зеленого—1,425.

Удельный вес флюорита—3,198 (фиолетового), 3,178 (зеленого). Параметры элементарной ячейки, рассчитанные по величинам межплоскостных расстояний (табл. 1), следующие: темно-фиолетовый (Тексар) $a_0=5,468\text{\AA}$, зеленый (Шамшадин) $a_0=5,457$, фиолетовый (Ахтала) $a_0=5,450\text{\AA}$.

Различия в параметрах элементарной ячейки связаны с более высоким содержанием редких земель и иттрия в фиолетовом флюорите (чистый флюорит $a_0=5,462\text{\AA}$, церофлюорит $a_0=5,47\text{\AA}$, иттрофлюорит $a_0=5,50\text{\AA}$).

Вхождение в решетку флюорита иттрия и редких земель осуществляется путем вхождения в CaF_2 минала иттрофлюорита YF_3 и церфлюорита CeF_3 , образующими смешанные кристаллы.

Как правило, окраска даже в пределах одного кристалла, зерна, заметно варьирует от темного непрозрачного до светлого и бесцветного. Части плеохроичные ореолы густофиолетового цвета вокруг радиоактивных минералов (уранинита). Причины окраски, как установлено в последнее время, связаны с дефектами кристаллической решетки—F-центрами: наличием нейтральных атомов Ca и F (фиолетовая) или наличием Eu^{+2} , Sm^{+2} и радиоактивного α -излучения (зеленая). Как указывает Г. Е. Кочинян (1975), при нагревании густо-фиолетового флюорита до $t=372^\circ\text{C}$

происходит обесцвечивание. По данным Н. М. Чернышова, фиолетовый флюорит заметно обесцвечивается при $t=303^\circ$, а полностью при $t=384^\circ$. Причем с температурой $t=183^\circ$ начинается тер-

Таблица 1

Межплоскостные расстояния флюоритов

Фиолетовый (Ахтала)*		Темно-фиолетовый (Тежсар)**		Зеленый (Шамшадин)**	
I	d α/π	I	d α/π	I	d α/π
4	3,49	5	3,48	—	—
8	3,12	10	3,151	10	3,14
4	2,118	2	2,339	—	—
—	—	2	2,134	—	—
10	1,928	10	1,932	10	1,922
8	1,635	6	1,648	6	1,640
6	1,360	3	1,367	4	1,364
6	1,248	4	1,255	5	1,252
8	1,110	7	1,115	6	1,114
6	1,045	5	1,053	5	1,050
4	0,964	7	0,965	6	0,965
6	0,921	4	0,925	6	0,922

* Анализы темно-фиолетового (автор Б. М. Меликсян) и зеленого (автор К. М. Мурадян, 1977) флюоритов выполнены в рентгеновской лаборатории ИГН АН АрмССР (аналитик Э. Х. Хуршудян). Условия съемки: ДРОН-2, Сопло излучение, скорость сканирования $1^\circ/\text{мин}$.

** Рентгенограмма флюорита из Ахтала по данным Н. М. Чернышова (Воронежский госуниверситет).

Таблица 2

Химический состав флюоритов*

	Памбак			Шамшадин	Ахтала
	темно-фиолетовый (1)	фиолетовый (2)	бесцветный (3)		
SiO ₂	0,40	0,33	0,45	0,047	0,05
FeO	0,44	0,07	0,026	0,02	0,06
MnO	0,05	сл.	и.о.	и.о.	—
BaO	—	—	—	0,10	0,83
MgO	—	—	—	0,033	0,02
Ca	50,84	49,56	49,10	51,34	51,16
Al ₂ O ₃	—	—	—	0,096	—
$\Sigma \text{Tr}_{\text{O}_3}$	0,47	0,435	0,476	0,888	не опр.
F	47,03	47,34	49,00	48,35	48,24
П.п.п.	2,38	2,16	1,48	0,05	0,10
Сумма	101,61	99,90	100,5	100,92	100,46

* 1—3 анализы по данным Г. Е. Коциняна (1975); 4—анализ по К. М. Мурадяну (1975); 5—по Н. М. Чернышову (1962).

мофлюоресценция ярким синевато-зеленым цветом. Определения микротвердости флюорита с помощью прибора ПМТ-3 до и после обесцвечивания показали постоянство на грани (111) как абсолютной (182—183 кгс/мм²), так и относительной твердости—3,976—3,975.

Таблица 3

Содержание редких земель, иттрия и радиоэлементов в флюоритах* (%)

Местонахождение	$\Sigma \text{TR}_2\text{O}_3$	Y	Th	U
1. Нефелиновый сиенит, Тежсар	1,50	0,25	0,009	0,0025
2. Нефелиновый пегматит, Тежсар	0,74	0,30	0,010	0,0051
3. Щелочной пегматит, Мегри	1,20	0,3—1,0	0,020	0,0030
4. Флюорит-биотитовые зоны, Тежсар	0,70	0,10	0,001	0,0009
5. Флюорит-баритовые жилы, Шамшадин	0,89	1,8 0,08—0,1	—	—

* По данным химических (TR_2O_3 , Y) анализов, Е. М. Казакова (ИМГРЭ) и Н. Антонян (U, Th).

Химический состав флюорита довольно постоянен (табл. 2, 3). Небольшие примеси (Fe, Mg, Al, Si) вероятнее всего связаны с микроскопическими включениями различных минералов, в том числе и ассоциированного барита. Наибольший интерес представляют флюориты в отношении содержания иттрия и редкоземельных элементов, причем содержание их и в частности TR в зеленых разностях несколько выше, чем фиолетовых, хотя концентрация иттрия имеет обратную тенденцию. Судя по имеющимся анализам, предельное замещение Ca^{+2} на Y^{+3} не превышает 0,3—

Таблица 4

Содержания редких земель в флюоритах

	$\Sigma \text{TR}_2\text{O}_3$	La	Ce	Pr	Nd	Sm	Eu	Gd	Tb	Dy	Ho	Er	Tu	Yb	Lu	Y
1	0,47	8,5	23,0	—	43,0	1,3	—	8,5	—	4,3	—	4,3	—	2,1	—	32,0
2	0,43	20,0	44,0	4,4	21,0	1,4	0,3	1,2	0,1	0,9	—	0,5	—	0,3	—	6,0
3	0,47	27,0	33,0	2,3	29,0	2,0	0,6	3,3	—	1,6	—	0,6	—	0,6	—	10,0
4	1,50	27,6	39,1	4,9	21,6	2,9	0,4	1,8	0,2	1,0	0,1	0,4	—	—	—	0,25
5	0,70	25,0	40,0	5,0	23,0	3,0	0,5	1,2	0,3	0,8	0,1	0,2	—	0,6	0,3	0,10
6	0,89	2,8	6,3	—	28,2	10,1	4,8	12,3	11,3	6,3	8,4	—	—	0,1	—	9,0

* По данным количественно-спектрального анализа (1, 2, 3, 6) Г. М. Мкртчян и рентгеноспектрального анализа (4—5) Р. Л. Баринский (ИМГРЭ). 1. Темно-фиолетовый; 2. фиолетовый; 3. бесцветный (Тежсар, Г. Е. Коцчинян, 1975); 4. бледно-фиолетовый (Тежсар); 5. бледно-фиолетовый (Мегри) и 6. зеленый, Шамшадин (Мурадян К. М., 1977).

1,0%, а ΣTR 1,8—1,5% (табл. 3). Содержание радиоэлементов не высокое и, возможно, связано с субмикроскопическими включениями урансодержащих минералов.

Обращаясь к составу редкоземельных элементов (табл. 4), необходимо подчеркнуть два отчетливо выраженных максимума—цериевый (La, Ce) и неодимовый (Pr, Nd), на долю которых приходится 70—95% от $\Sigma\text{TR}_2\text{O}_3$. Два небольших максимума дают Dy и Er. В то же время, хотя содержание Y довольно высокое, лантаноиды иттриевой группы (Ho, Er, Tm, Yb, Lu) составляют всего 1—2% от ΣTR . Кроме того, в тысячных долях процента встречаются U, Th, Ca, Pb, Be, Zr, Sc и другие. Широким редкоэлементным спектром выделяются фиолетовые флюориты щелочных пород и зеленые флюориты Шамшадина (рис. 2, табл. 5).

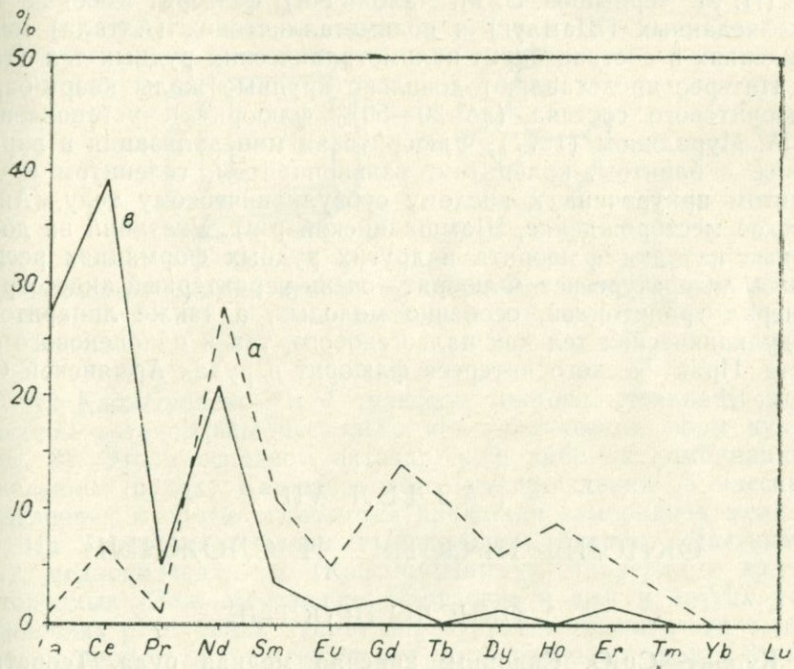


Рис. 2. Распределение РЗЭ в флюорите: а) фиолетовый, Мегринский plutон (по Б. М. Меликсяну); б) зеленый, Шамшадин (по К. М. Мурадяну).

Флюорит в щелочных породах и пегматитах (Тежсар, Памбак) ассоциирует с редкоземельными и редкометальными минералами и представлен несколькими генерациями. В флюорит-биом-

титовых брекчиях Памбака Г. Е. Кочиняном (1975) выделяются по крайней мере три генерации.

Таблица 5

Состав элементов-примесей в флюоритах (%)

Разновидности	Mn	Cu	Zn	La	Ce	Y	Yb	Sr	Ba	Li
1. Темно-фиолетовый, Тексар	0,03	0,003	0,01	0,500	0,30	0,50	0,05	0,03	0,030	0,04
2. Фиолетовый, Мегри	0,06	0,001	0,003	0,600	0,30	0,08	0,03	0,01	0,020	—
3. Бл. фиолетовый, Ахтала	—	0,001	0,001	0,020	0,20	0,10	0,01	0,01	0,030	—
4. Зеленый, Шамшадин	0,02	0,010	0,001	0,003	0,02	0,01	—	0,02	0,002	—

Довольно широкое развитие, по исследованиям последних лет (Н. М. Чернышов, Э. М. Налбандян), флюорит имеет на медноколчеданных (Шамлуг) и полиметаллических (Ахтала) месторождениях в составе барит-полиметаллических рудных тел (табл. 5). Интерес представляют довольно крупные жилы кварц-барит-флюоритового состава (до 30—50% флюорита), установленные К. М. Мурадяном (1977). Флюоритовая минерализация в парагенезисе с баритом, кальцитом, халькопиритом, галенитом и сфalerитом приурочена к кислому субвулканическому телу (Айгесстанское месторождение, Шамшадинский р-н). Указаний на достоверные находки флюорита в других рудных формациях республики в литературе нет. Флюорит—очень характерный акцессорный минерал гранитоидов, особенно молодых, а также липаритовых субвулканических тел как палеогенового, так и плиоценового возраста. Практического интереса флюорит в рудах Армянской ССР не представляет.

РАЗДЕЛ VII

ОКИСЛЫ ПРОСТЫЕ И СЛОЖНЫЕ

A. ОКИСЛЫ ПРОСТЫЕ

Куприт— Cu_2O . Синоним: красная медная руда. Теоретический химический состав: Cu—88,8%, O—11,2%. В качестве механической примеси устанавливается самородная медь.

Сингония кубическая. Блеск полуметаллический или алмазный; цвет красный до свинцово-серого. В тонких пластинках полупрозрачен.

Под микроскопом цвет беловато-серый с отчетливым синим оттенком, $R \approx 29\%$. Твердость 3,5—4. В воздухе хорошо заметны

цветные эффекты анизотропии от чернильно-синего до оливково-зеленого. Двутрение отчетливо заметно. Внутренние рефлексы характеризуются ярким кроваво-красным цветом. От HNO_3 —зеленеет, HCl —чернеет, FeCl_3 —темнеет, KCN —выявляются трещины спайности травления.

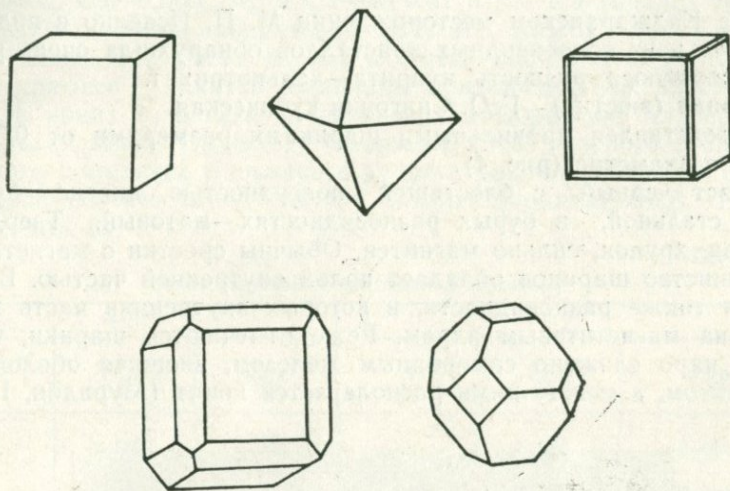


Рис. 3. Формы кристаллов куприта из Агаракского месторождения. По К. А. Карамяну.

На Каджаранском и Агаракском месторождениях К. А. Карамяном установлены несколько кристаллических форм куприта (рис. 3). Это в основном октаэдр, куб, либо их комбинация. В окисленных рудах Каджаранского месторождения в массивных выделениях куприта отмечаются прожилки самородной меди.

На медно-молибденовых (Каджаран, Агарак, Дастанкер и др.), медноколчеданных (Кафан, Шамлуг, Алаверди и др.), золоторудных (Зод, Меградзор, Маргаовит и др.) и других месторождениях республики куприт образуется исключительно в гипергенных процессах при окислении халькозиновых, реже борнитовых руд. Постоянными сопровождающими минералами являются: самородная медь, халькозин, борнит, ковеллин, лимонит, малахит, азурит, тенорит и др.

В зонах окисления указанных месторождений образует сплошные зернистые, иногда землистые агрегаты, изредка игольчатые или волосяные индивиды. Размеры кристаллов куприта не превышают долей миллиметра.

На Центральном участке Анкаванского месторождения куприте в ассоциации с малахитом, азуритом и самородной медью встречается в небольших желваках. Обычно центральные части желваков занимают куприте и самородная медь, затем идет оторочка азурита и, наконец, внешняя оболочка состоит из сплошного малахита.

На Каджаранском месторождении М. П. Исаенко в виде небольших друз волосовидных кристаллов обнаружила очень редко встречающуюся разность куприта—халькотрихит.

Иоцит (вюстит)— FeO . Сингония кубическая.

Представлен правильными шариками размерами от 0,01 до 0,5 мм в диаметре (рис. 4).

Цвет черный с блестящей поверхностью, иногда бурый. Блеск стальной, в бурых разновидностях—матовый. Твердость высокая, хрупок, сильно магнитен. Обычны сростки с магнетитом. Большинство шариков обладает полой внутренней частью. Встречаются также разновидности, в которых внутренняя часть представлена магнетитовым ядром. Реже отмечаются шарики, в которых ядро сложено самородным железом, внешняя оболочка—магнетитом, а между ними располагается иоцит (Мурадян, 1965).

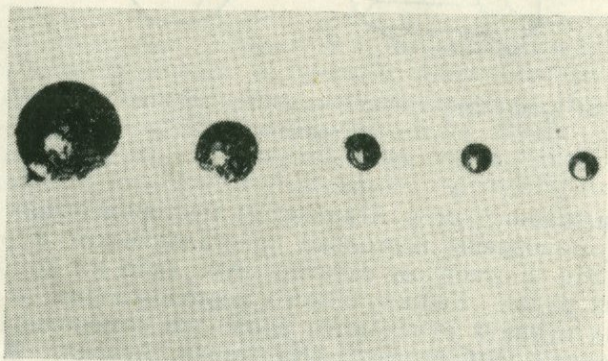


Рис. 4. Округлые выделения иоцита из габбро-негматита. Катнахпюр-Карабачская группа массивов. Увел. 40. По С. Б. Абовяну.

Шарики иоцита характеризуются скорлуповато-концентрическим строением, при раздавливании стеклом отдельные слои отделяются друг от друга, а ядра самородного железа сплющиваются вследствие ковкости. В полированных шлифах (брикетах) цвет иоцита серый, обладает слабой анизотропностью, отражательная способность

ность ниже, чем у магнетита и приближается к таковой лимонита (Мирзоян, 1965). Отмечаются разновидности, в которых магнетитовые ядра полностью лимонитизированы. Спектральным анализом в составе иоцита (с полым ядром) обнаружены следующие элементы-примеси (в %): Ti—1,0, Ni—0,3, Mn—1,0 V—0,001, Cr—0,0003, Cu—0,003, Mg и Ca—по 0,01 и Si—0,3 (анализ выполнен в спектральной лаборатории ИГН АН АрмССР). Последние три элемента, возможно, входят в состав иоцита в виде механической примеси силикатов. Величины межплоскостных расстояний агрегата иоцит-магнетита из плагиогранит-порфиров Алавердского рудного района (графа 1) (Мирзоян, 1965), кислого субвулканического комплекса Базумского рудного района (графа 2) (Мирзоян, 1965) соответствуют эталону вюстита (иоцита) по В. И. Михееву (табл. 6).

Таблица 6

Межплоскостные расстояния иоцитов*

1			2		
1	$d\alpha/n$	$d\beta/n$	1	$d\alpha/n$	$d\beta/n$
3	2,993	2,712	3	2,962	2,685
—	—	—	1	2,767	2,508
—	—	—	1	2,654	2,405
10	2,543	2,305	10	2,537	2,300
—	—	—	7	2,474	2,243
—	—	—	1	2,224	2,016
—	—	—	8	2,144	1,944
—	—	—	3	2,083	1,888
—	—	—	8	2,016	1,828
4	1,633	1,480	6	1,608	1,458
7	1,518	1,376	8	1,515	1,373
7	1,493	1,353	8	1,479	1,341
5	1,294	1,173	3	1,296	1,174
—	—	—	3	1,280	1,160
—	—	—	3	1,237	1,121
—	—	—	7	1,168	1,059
—	—	—	7	1,091	0,989
—	—	—	—	—	—

* Анализы выполнены в лаборатории ИГН АН АрмССР Хуршудян Э. Х. Условия съемки: УРС-55, Feα, β, шарик. Образцы загрязнены магнетитом.

Теоретический состав иоцита не установлен. Известно, что он обладает кристаллической решеткой типа NaCl.

Иоцит обнаружен в Армянской ССР в виде акцессорного минерала в габбро и габбро-пегматитах габбро-перidotитовых комп-

лексов и почти во всех породах габбро-диоритового ряда, а также среди плагиогранитов Алавердского рудного района (Мирзоян, 1965) и кислого субвулканического комплекса Базумского рудного района (Мурадян, 1965), в верхнемеловых базальтах Иджеванского района (А. Х. Мнацаканян 1965). Вне Армянской ССР ищут обнаружен в интрузивных породах Рудного Алтая (Осипов, 1962), в туфобрекциях Шарпхаузена вблизи Штутгтарта (WaJenta, 1960) и в лавах Везувия (Бетехтин, 1950).

Тенорит— CuO . Синоним—малаконит.

Химический состав: Cu—79,9%, O—20,1%.

Сингония моноклинная. Блеск полуметаллический, цвет черный или серовато-черный. Твердость 3,5—4. Хрупкий.

В полированных шлифах цвет серовато-белый с желтым оттенком, в контакте с отчетливо-синеватыми минералами (купритом, халькоzinом) коричневатый, по сравнению с лимонитом желтовато-серый. Относительный рельеф выше халькоzина, но ниже куприта и лимонита. Твердость изменяется в зависимости от направления, что выявляется на сдвойниковых агрегатах. Отражательная способность средняя ($R=20\%$). Сильно анизотропен; с цветным эффектом от синего до белого. От HCl быстро становится темным.

Является редко встречающимся минералом зоны окисления Каджаранского, Агаракского, Кафанского, Алавердского, Шамлугского и Зодского месторождений. Сопровождающие минералы: куприт, самородная медь, борнит и ковеллин. Представлен мелкозернистыми агрегатами аллотриоморфной структуры и черными землистыми массами.

Практического значения в рудах Армянской ССР не имеет.

Биксбит— $(\text{Mn}, \text{Fe})_2\text{O}_3$. Теоретический состав (в %): Mn_2O_3 —49,71; Fe_2O_3 —50,29. Биксбит образуется в регионально или контактово-метаморфизованных осадочных и экскалиационно-осадочных, а также в экскалиационно-пневматолитовых марганцевых и железо-марганцевых рудах. По Рамдору (1962), в экскалиационно-пневматолитовых рудах температура образования биксбита достигает 850°C . В природе встречается в тесной ассоциации с марганцевыми силикатами и с браунитом, причем выпадает несколько раньше последнего. Кристаллизуется в кубической сингонии. Образует сплошные мелкозернистые скопления; часто встречается в виде хорошо развитых кристаллов дидодекаэдрического габитуса, реже слагает агрегаты, сложенные анизотропными таблитчатыми зернами.

Биксбит черного цвета, с бронзовым отливом, блеск полуметаллический, черта черно-бурая.

Под микроскопом, в отраженном свете биксбит серовато-белого цвета. В полях браунита наблюдается отчетливый желтый

оттенок. Отражательная способность у биксбнита чуть выше, чем у браунита. Двуотражение почти отсутствует. Эффекты анизотропии очень слабые—наблюдаются лишь в иммерсии. Внутренние рефлексы отсутствуют. Для разностей с повышенным содержанием кальция (ситапарита) характерны бесцветные или белые внутренние рефлексы, которые гораздо отчетливее наблюдаются в иммерсии.

В Армянской ССР биксбнит обнаружен в рудах Сваранцского месторождения и Саринарского проявления марганца.

На Сваранцском месторождении биксбнит довольно широко развит на Агандзугетском и Гиратахском участках в тесной ассоциации с браунитом и марганцевыми силликатами в виде небольших аллотриоморфозернистых скоплений. Образуется также в виде хорошо развитых кристаллических агрегатов. Иногда обрастает зернами браунита. Под микроскопом хорошо образованные зерна биксбнита из Сваранцского месторождения обнаруживают зональное строение, что особенно четко проявляется в иммерсии (рис. 5).

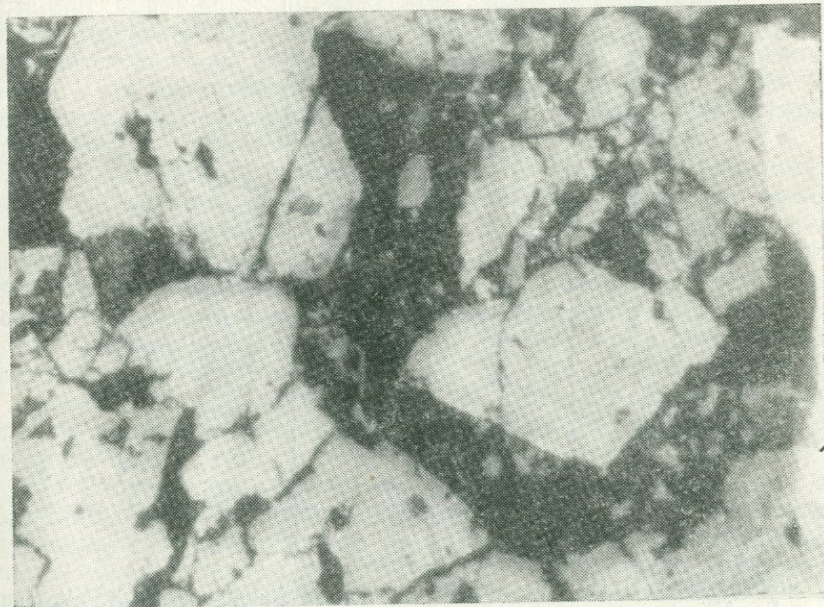


Рис. 5. Биксбнит зонального строения. Полир. шлиф, иммерсия, николи II, увел. 1500. Сваранцкое месторождение марганца. По Л. П. Яшвили.

На Саринарском проявлении (Яшвили, 1978) биксбнит играет второстепенную роль. Образуется в небольшом количестве в тесной ассоциации с браунитом. Здесь для биксбнита характерны несколько повышенные содержания кальция, чем и обусловлено появление бесцветных внутренних рефлексов. С повышением содержания кальция снижается показатель отражательной способности, усиливаются внутренние рефлексы.

В таблице 7 приведены данные рентгеноструктурного анализа биксбнита из Сваранцского месторождения марганца (образец № 1, по данным Л. П. Яшвили, обр. № 2—по П. Ф. Андрущенко, 1978).

Таблица 7

Межплоскостные расстояния биксбнита

Обр. 1*		Обр. 2	
I	d _{α/β}	I	d _{α/β}
1	5,95	—	—
1	4,69	—	—
3	3,78	4	3,80
2	3,508	—	—
1	2,883	—	—
10	2,698	10	2,70
1	2,485	—	—
4—5	2,341	2	2,34
3—4	2,145	—	—
3	2,001	2	2,03
1	1,917	—	—
2	1,832	3	1,84
—	—	1	1,728
9	1,659	8	1,663
—	—	1	1,529
1—2	1,449	1	1,452
6	1,415	7	1,420
2	1,387	1	1,368
2	1,352	1	1,359
—	—	1	1,282
1	1,176	—	—
1	1,158	—	—
1	1,140	—	—
5	1,079	2	1,078
3	1,052	—	—
—	—	2	1,046

* Лаборатория ИГН АН АрмССР, аналитик Хуршудян Э. Х. Условия съемки Fe_{α,β}, экспозиция 21 ч., диаметр камеры 57,3, диаметр столбика 0,5.

Браунит—Mn₇SiO₁₂ или Mn₂O₃. Теорет. состав (в %): Mn₂O₃—78,34; MnO—11,73; SiO₂—9,93 (Минералы, 1965).

Браунит кристаллизуется в тетрагональной сингонии. Образуется в результате метаморфизма вулканогенно-осадочных марганцевых руд. Кроме того, выпадает из высокотемпературных гидротермальных растворов, образуя жилы, гнезда и скопления, цементирующие обломки пустой породы. Цвет браунита черный или железно-черный, блеск металловидный, смоляной, у видимых на глаз кристаллических агрегатов—металлический. Чешуя черная или черно-бурая. Размер зерен не превышает 0,5 мм.

Под микроскопом в отраженном свете браунит серо-белый со слабым желтовато-коричневым оттенком. В полях магнетита—серый, в полях гаусманита—белый. Отражательная способность порядка 20—21 %. Двоутражение очень слабое, но обнаруживается довольно легко при увеличениях около 300—500 х. Эффекты анизотропии отчетливые. В иммерсии отражательная способность снижается, четче проявляется двоутражение. Внутренние рефлексы коричневые, но наблюдаются лишь в масле и то крайне редко.

На территории Армянской ССР браунит, как главный рудообразующий минерал, встречается в метаморфизованных экскальационно-осадочных марганцевых рудах кремнисто-вулканогенной формации (Сваранц, Саринар) и в высокотемпературных рудах гидротермального происхождения (Кармрашен). В обоих случаях развивается в тесной ассоциации с гаусманитом, якоситом, биксбиилом. Для вулканогенно-осадочных руд характерна также ассоциация с марганцевыми силикатами—родонитом, пьемонтитом, марганцевыми гранатами и т. д.

На Саринарском проявлении марганца браунит встречается как в виде колломорфных (рис. 6), так и кристаллически зернистых выделений субмикроскопических размеров. Последние главным образом представлены характерными для браунита изометрическими полигональными, реже клиновидными разностями радиально-лучистого строения, слагающими плотные, массивные агрегаты (Яшвили, 1978). Здесь он образует прожилки, гнезда, вкрапленники среди пустой породы. Местами цементирует обломки кремней. В радиоляритах, которые широко развиты на Саринарском проявлении, браунит часто замещает скелеты радиолярий (рис. 7).

На Сваранцском проявлении марганца браунит образует две генерации. Ранняя генерация браунита образуется в результате регионального метаморфизма, за счет ранее образованных окисных и гидроокисных соединений марганца. Поздняя—в результате регенерации марганцевых руд в процессе гидротермального перераспределения рудного вещества. Браунит здесь образует скопления в виде массивных руд, а также микроскопические вкрапленники и прослои среди вулканогенно-осадочных пород. На Сваранцском проявлении браунит главным образом развивается в

виде изометричных полигональных выделений. Размер зерен колеблется от субмикроскопических до 0,5 мм.



Рис. 6. Браунит колломорфного строения. Полир. шлиф, увел. 150. Сарнинское месторождение марганца. По Л. П. Яшвили.

Браунит ранней генерации часто оконтуривается реакционной каймой браунита поздней генерации. Местами наблюдается характерное замещение рыхлых (в центральной части) зерен браунита пиролюзитом.

На Кармрашенском проявлении марганца браунит развивается в тесной ассоциации с гаусманитом и якобситом. Образуется в виде сплошных масс, сложенных субмикроскопическими агрегатами. Проявляется также в виде прожилков, вкрапленников и

гнезд среди кварцолитов. Наряду с гаусманитом представляет собой главный рудообразующий минерал.

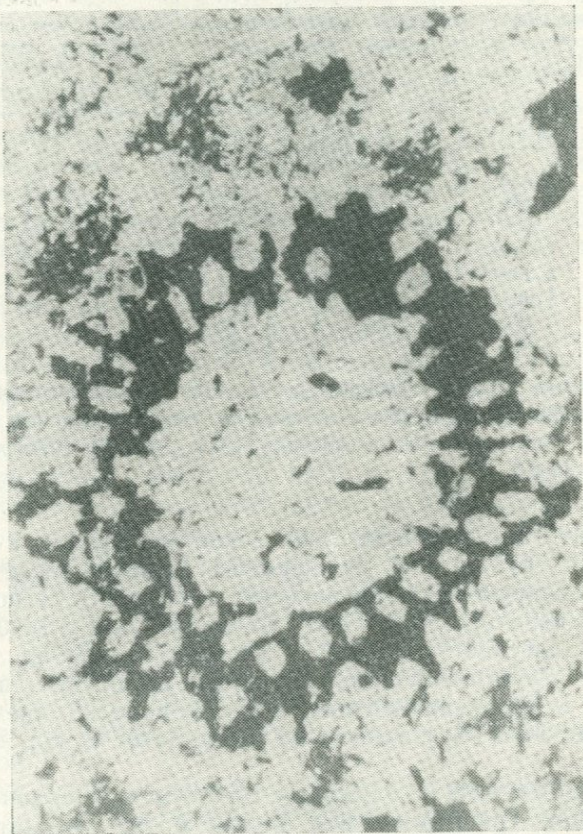


Рис. 7. Скелет радиолярий, выполненный кристаллически-зернистым агрегатом браунита. Полир. шлиф, увел. 150. Саринарское проявление марганца.
По Л. П. Яшвили.

В таблице 8 приведены данные рентгеноструктурных анализов браунита из различных проявлений Армянской ССР.

Маггемит— $\beta\text{Fe}_2\text{O}_3$. Синоним—оксимагнетит.

Маггемит представляет собой кубическую модификацию окси железа, обладающего магнитным свойством.

По существу маггемитизация является переходным этапом общего процесса окисления, а маггемит—его промежуточный продукт при окислении магнетита в гематит.

Таблица 8

Межплоскостные расстояния браунита рудопроявлений Армянской ССР

Сварац [*] 1		Саринар [*] 2		Кармрашен по П. Ф. Андрущенко (1978)	
1	d/n	1	d/n	1	d/n
5	2,840	—	—	—	—
10	2,700	10	2,710	8	2,710
—	—	2	2,540	—	—
2	2,340	4	2,340	—	—
2	2,150	4	2,150	7	2,150
9	1,661	9	1,665	5	1,667
6	1,420	5	1,418	3	1,420
3	1,364	4	1,350	—	—

* По Яшвили Л. П. 1—данные результатов электронографического анализа, аналитик Мхитарян Р. Г.; 2—данные рентгеноструктурного анализа. Условия съемки: Сиа-антикатод, экспозиция 18 ч., диаметр камеры 57,3, диаметр столбика d=0,5.

Маггемит—неустойчивая, кубическая модификация окиси железа. Переход кубической модификации окиси железа (β -Fe₂O₃) в более устойчивую—ромбоэдрическую (α -Fe₂O₃) легко совершается при температурах 210—500° (Бетехтин А. Г., 1950).

Кристаллическая структура маггемита подобна структуре шпинели. Образует неправильной формы выделения: пятна, изометрические и удлиненные зерна, а также полоски, каемки и концентрические зоны с извилистыми контурами и коррозионными очертаниями.

Твердость маггемита, определяемая по методу сравнения рельефа на зернах (расположенных рядом с зернами магнетита и гематита), заметно выше, чем у магнетита, но ниже, чем у гематита.

Изотропен, иногда проявляет слабую анизотропность. Сильно магнитен. Хрупок. Полируется по сравнению с магнетитом и гематитом лучше. Макроскопически маггемит очень похож на магнетит и трудно отличается от него. В железных рудах маггемит устанавливается только под микроскопом (в отраженном свете) и то в хорошо отполированных шлифах.

Под микроскопом цвет маггемита светло-серый с голубоватым оттенком, легко отличается от магнетита, обладающего буро-ватым оттенком и от гематита, имеющего сравнительно высокую отражательную способность.

Маггемит по химическому составу и физическим свойствам (твердость, магнитная восприимчивость) занимает промежуточное положение между магнетитом и гематитом.

В иммерсии цвет маггемита синевато-серый, серо-синий с буроватыми рефлексами. Стандартные реактивы не действуют; при травлении HCl маггемит не травится, между тем магнетит буреет. Для маггемитов характерны структуры замещения, выраженные главным образом каемками вокруг зерен магнетита, а также венчиковыми и скелетными структурами замещения.

Наиболее полные диагностические признаки, позволяющие быстро и достоверно установить маггемит и его четкие различия от магнетита и гематита, приведены в сравнительной таблице Л. Н. Овчинникова (1953), составленной по данным личных исследований и литературных источников (табл. 9).

Общепризнано, что маггемит образуется в зоне окисления железорудных месторождений как промежуточный продукт при переходе магнетита в гематит. В некоторых железорудных месторождениях фиксируются факты образования маггемита в гидротермальную стадию после мушкетовитизации гематита (Овчинников Л. Н., 1953; Павлов Н. В., 1957).

На территории Армянской ССР маггемит был установлен Г. Б. Межлумяном в железных рудах Цакери-Дошского (Кохбского), Базумского, Разданского и Агарцинского месторождений.

Микроскопическое изучение показало, что маггемит развит в окисленных железных рудах перечисленных месторождений и тесно ассоциирует с магнетитом, гематитом и их псевдоморфными минералами. В них маггемит имеет неодинаковый характер развития и распространения. Содержание маггемита в этих рудах колеблется в широких пределах—от единичных зерен, т. е. частичного замещения магнетита маггемитом до образования полных псевдоморфоз.

Маггемит наиболее широким развитием пользуется в мушкетовитизированных магнетит-гематитовых рудах месторождения Цакери-дош. Здесь при частичном замещении магнетита маггемитом последний представлен мелкими пятнами, формами скелетных структур, реже полосок, каемок по периферии, а также по центральным частям зерен мушкетовитизированного магнетита различных размеров (от едва различимых при больших увеличениях под микроскопом вплоть до десятых долей миллиметра, реже до 0,7—0,9 мм). Наблюдались случаи, когда мелкие зерна магнетита полностью замещаются маггемитом, при этом повторяя агрегатные формы замещаемого минерала—удлиненные и продольговатые выделения в ассоциации с мушкетовитом.

В скарновых железных рудах Базумского и Разданского месторождений маггемит резко отличается по характеру и форме

проявления. Маггемит имеет весьма неравномерное распространение и ассоциирует с магнетитом и мартитом. Здесь маггемит образует более или менее изометрические зерна и развивается как по центральным частям магнетита, так и по трещинам и периферии последнего. Очень часто зерна магнетита окаймляются мельчайшими многочисленными выделениями маггемита в виде каемки с неровной границей.

Таблица 9

Сравнительная таблица свойств минералов железа (по Л. Н. Овчинникову)

Свойства	Магнетит	Маггемит	Гематит
Химический состав	Fe_3O_4	$\gamma\text{-Fe}_2\text{O}_3$	Fe_2O_3
Сингония	Кубическая	Кубическая	Тригональная
Размер элементарной ячейки	8,37 Å	8,42 Å	5,42 Å
Удельный вес	5,00	4,95	5,26
Твердость по Моосу	5,5—6,5	6,0	5,5—6,5
Относительная твердость в шлифе по световой полоске	Наименьшая	Средняя	Наибольшая
Цвет	Железно-черный	Темно-стально-серый	Темно-стально-серый
Цвет в отраженном свете (при совместном нахождении)	Буровато-серый	Светло-серый	Белый
Отражательная способность	18 %	22 %	25 %
Отношение к поляризационному свету	Изотропен	Слабо анизотропен	Сильно анизотропен
Магнитность	Сильно магнитен	Магнитен	Не магнитен
Черта	Черная	Коричневая	Вишневая
Травление:	HCl+	Все обычные реагенты не действуют	

Корунд— Al_2O_3 . Химический состав: Al—53,2%, O—46,8%; в виде примеси железо, хром и др.

Корунд относится к α - Al_2O_3 тригональной сингонии, обычно образует довольно крупные (3—4 см) боченковидные кристаллы псевдогексагонально-бипирамидального габитуса (рис. 8) с хорошо развитыми гранями призмы (1120) и дипирамиды (2241). Характерна косая штриховка на гранях. Спайность отсутствует, но развита отдельность по пинакоиду (0001).

Цвет желто-зеленоватый, зеленовато-синий и темно-синий. Характерна и вариация цвета в кристаллах—от синего в центральной части к зеленоватой, затем грязно-желтой по периферии. Одноосный отрицательный, иногда $-2v=15-20^\circ$. Показатели преломления: а) желто-зеленый корунд

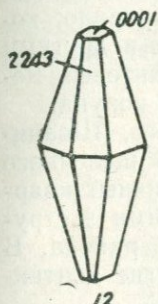


Рис. 8. Форма кристалла корунда из сел. Каллер. По Б. М. Меликсяну.

$\text{Ne}=1,764 \pm 0,003$, $\text{No}=1,758 \pm 0,003$. б) синий корунд $\text{Ne}=1,752 \pm 0,003$, $\text{No}=1,747 \pm 0,003$; двупреломление $\text{Ne}-\text{No}=0,006$.

Таблица 10
Межплоскостные расстояния корунда*

I	d/n	I	d/n	I	d/n
1	4,29	2	(1,917)	5	1,239
3	3,51	5	1,734	2	(1,191)
2	3,37	10	1,596	3	(1,149)
1	(2,838)	1	(1,544)	3	1,126
6	2,548	3	1,510	5	1,080
4	2,386	8	1,404	10	1,045
8	2,086	10	1,373	10	0,999

* Анализ выполнен в лаборатории ИГН АН АрмССР Э. Х. Хуршудян. Условия съемки: Fe-антикатод, камера РКД, $D=57,3$, $d=0,3$. Экспозиция 2,5 ч. Исправление по особому снимку смеси с NaCl .

На основании рентгенометрических данных (табл. 10), расчетные параметры следующие: $a_0=4,754\text{\AA}$, $c_0=12,940\text{\AA}$.

Для химического состава корунда характерны: Ве (0,01—0,03%), Ga (0,1—0,2%), Li (0,001%), Y (0,003%). Из других примесей для синего корунда более характерны повышенные содержания Fe (3%), Ti (0,5%), Mn (0,03%), а для желто-зеленого Cr (0,001%), Ni (0,001%) и Ca (1—3%).

Обращает на себя внимание широкое развитие синего корунда (сапфира) в пегматитах и экзоконтактовых метасоматитах.

Корунд весьма распространенный минерал щелочных фельдшпатоидных пегматитов, но особенно широко развит в группе полевошпатовых пегматитов в составе позднего мусковит-корундового замещающего комплекса. В некоторых пегматитах (с. Калер) содержание корунда достигает 20—30%. Как правило, корунд ассоциирует с мусковитом, ганитом, шпинелью и другими редкометальными минералами. В щелочных экзоконтактовых метасоматитах также широко распространен сапфировый корунд.

Из месторождений укажем пегматиты Калерского, Шванидзорского поля Мегринского plutона и Тексарского щелочного комплекса. Корунд также весьма характерен для вторичных кварцитов, связанных с гранитоидными и субвуликаническими экструзиями Зангезура, Памбака и Базумского рудного района. В последнее время описаны корундовые роговики и другие контакто-метасоматические проявления.

Гематит — Fe_2O_3 . Сингония тригональная, характерны ромбические и таблитчатые укороченные кристаллы и их сростки; часто встречаются (1011), (1014) и пинакоиды (0001) и другие комбинационные формы кристаллов.

Гематит обычно образует чешуйчатые, листоватые и пластинчатые агрегаты и плотные сплошные скрытокристаллические массы.

Пластинки и чешуйки гематита часто изогнуты и деформированы (рис. 9), вследствие тектонического воздействия, образуя радиально-лучистые, спонговидные, концентрически-слоистые, а также оолитовые и почковидные текстурные и микротекстурные разности. Нередко встречаются колломорфные выделения гематита в виде натечных образований, а также тонких каемок по периферии зерен магнетита (мартил по магнетиту) в окисленных мартилизированных магнетитовых рудах Базумского и Разданского скарновых месторождений. Спайность не обнаруживается; гематит в тонких слоях просвечивает кроваво-красным цветом. Цвет на чешуйках и пластинках изменяется от железно-черного до стально-серого; цвет черты и порошка вишнево-красный. Блеск металлический, полуметаллический. Твердость 5,6 уд. вес 5,1. Отражательная способность (R) порядка 25%, двутражение (ΔR) очень слабое, сильно анизотропен с синеватым и буроватым цветными эффектами. Двутражение ясно заметно на границах зерен, а анизотропность отчетливо выражена в иммерсии. Оптически отрицательный. Спайность отсутствует.

В полированных шлифах в отраженном свете цвет гематита белый или светло-серый с голубоватым оттенком. Цвет во многом зависит от цвета и величины отражательной способности ря-

дом находящегося минерала. Иногда наблюдаются темно-красные внутренние рефлексы. В тончайших пластинках полупрозрачен; в проходящем свете гематит кроваво-красный. Рядом с магнетитом в аншлифах он выглядит более светлым, а с желтыми сульфидными минералами (халькопиритом и пиритом) приобретает сероватый оттенок. Обычно полируется хорошо, но некоторые разновидности полировке поддаются трудно. Относительная твердость выше, чем у магнетита и ильменита. Стандартные реактивы не действуют; растворяется в концентрированной HCl.

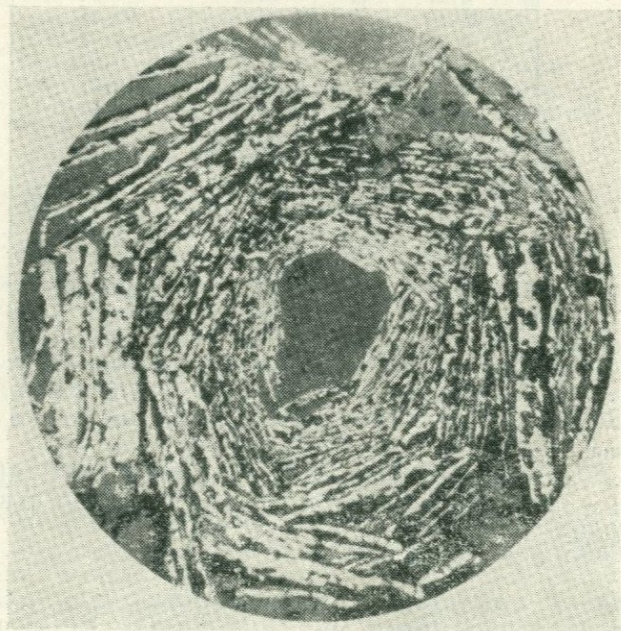


Рис. 9. Агрегат пластинчатых кристаллов гематита (hem) среди кварца (q). Полир. шлиф, увел. 240. Месторождение Каджаран. По А. С. Фарамазяну.

По химическому составу гематиты из различных месторождений и проявлений мало различаются. В химическом составе чистых гематитов содержание Fe_2O_3 колеблется в пределах 95,45—97,17%, а FeO —0,64—1,84% (табл. 11). В их составе содержатся 0,34—0,87% Al_2O_3 ; 0,27—0,66% SiO_2 ; 0,26—0,71% CaO ; 0,09—0,45% MgO ; в незначительном количестве—другие компоненты.

Таблица 11

Химические анализы гематитов из железорудных месторождений и проявлений Армянской ССР

№№ проб	402/75	64/64	1510/73	105/64
Компоненты				
SiO ₂	0,50	0,27	0,65	0,66
TiO ₂	0,29	0,18	0,24	0,16
Al ₂ O ₃	0,57	0,43	0,34	0,87
Fe ₂ O ₃	96,40	97,17	95,45	96,79
FeO	0,87	0,75	1,84	0,64
MnO	н. о.	н. о.	0,57	0,02
CaO	0,26	0,49	0,71	0,24
MgO	0,09	0,24	0,45	—
H ₂ O ⁻	0,16	0,05	0,05	н. о.
п. п. п.	0,03	0,07	0,19	н. о.
V ₂ O ₅	0,004	0,006	—	0,004
Cr ₂ O ₃	0,05	0,02	—	0,08
Na ₂ O	0,20	0,08	0,10	0,10
K ₂ O	0,04	0,06	0,15	0,15
S(общ.)	н. о.	н. о.	0,16	н. о.
Сумма	99,37	99,82	101,10	99,71

Наименование проб: № 402/75—гематит Цакери-дошского месторождения; № 64/64—гематит Ахундовского проявления; № 1510/73—гематит Сисимаданского проявления; № 105/64—гематит из железорудных скарнов Анкаванского проявления.

Анализы выполнены в химической лаборатории ИГН АН АрмССР: № № 105/64 и 1510/73 аналитиком С. Г. Чаталян, а анализы 64/64 и 402/75—З. Ш. Гаспарян.

В этих же гематитах полуколичественные спектральные анализы постоянно показывают Mn, Ti, V, Zn, Ga, K, Cu и Ba, часто Ni (табл. 12). Спектральными анализами в гематите обнаруживаются: 0,0032% Zr; 0,00042% Ag и Pb, 0,0032% In (из Моллакишлиакского проявления), 0,000032% Ag (из Мисханского проявления), 0,0032% Li (из Ахундовского проявления), 0,003% Mo (из Анкаванского проявления), 0,0032% W и 0,00075% Nb (из Цакери-дошского м-ния).

На территории нашей республики встречаются следующие разновидности гематита:

1) железная слюдка—слюдоподобная средне- и мелкочешуйчатая и пластинчатая разновидность на Боверигашском, Цакери-дошском, Мисханском, Сисимаданском и Еркати-Цакерском железорудных месторождениях;

Таблица 12

Полуколичественные спектральные анализы гематитов из различных железорудных месторождений и проявлений Армянской ССР*

	64 ^г /64	74/64	2511/73	104/64	402/75
Si	1—3	1,0	1,3	0,75	2,4
Al	0,1—0,3	0,13	0,3	0,24	0,32
Mg	0,03	0,56	0,03—0,1	0,013	2,4
Ca	0,03—0,1	0,42	0,3	0,56	0,0056
Fe	>10	>10	>10	>10	>10
Mn	0,061—0,003	0,42	0,3	0,75	0,0032
Ni	0,0003	0,0018	—	0,0024	0,0013
Ti	0,03—0,1	0,056	0,13	0,075	0,56
V	0,01	—	0,001	0,001	0,0024
Cu	0,01	0,0075	0,3	0,0013	0,042
Zn	0,003—0,01	0,0032	0,01	0,0032	—
Ga	0,001	0,0013	0,003	0,0018	0,0032
Ba	0,01	0,0042	—	0,042	0,0056
K	0,01	0,0042	—	0,1	0,1

* Наименование проб: № 64^г/64—гематит из Ахундовского проявления; № № 74/64 и 2511/73—гематит из Моллакишлакского проявления; № 104/64—гематит из Анкаванского проявления. (Анализы выполнены в спектральной лаборатории ИГН АН АрмССР, аналитик Р. П. Заргарян).

2) спекулярит—тонкопластинчатый железный блеск на Арамаздском проявлении гематитовых руд;

3) тонкочешуйчатая разновидность или так называемая железная сметана, жирная на ощупь, мараает руки (Айриджурское месторождение гематитовых руд);

4) гематитовые розетки, представляющие собой сростки тонких пластинок гематита, расположенных зонально-концентрически вокруг пирита (Моллакишлакское проявление);

5) натечная жилкообразная разновидность гематита, где иногда по зальбандам жил и прожилков развивается лимонитизация (Ахундовское проявление).

Гематит относится к наиболее широко распространенным рудным минералам железорудных месторождений и проявлений.

В качестве главного рудослагающего минерала гематит во многих месторождениях (Бовери-гашское, Айри-джурское, Мисханско, Моллакишлакское, Еркати-Цакерское) образует, представляющие интерес, скопления гидротермального происхождения. Здесь он чаще всего ассоциирует с кварцем, кальцитом и пиритом, реже халькопиритом и лимонитом.

Гематит в значительном количестве присутствует в пирит-гематит-мушкетовитовых рудах (рис. 10), образующихся при окислительных условиях (Цакеридошское месторождение).

В скарновых железорудных месторождениях (Базумском, Ахавнадзорском, Разданском) в окислительных условиях в результате окисления магнетита образуется мартит (псевдоморфы гематита по магнетиту).

На медно-молибденовых месторождениях гематит проявляется как в ассоциации с магнетитом, так и в виде отдельных зон гематитовой минерализации. Такие зоны гематитизации отмечаются на Каджаранском, Джиндаринском и Бугакарском месторождениях.

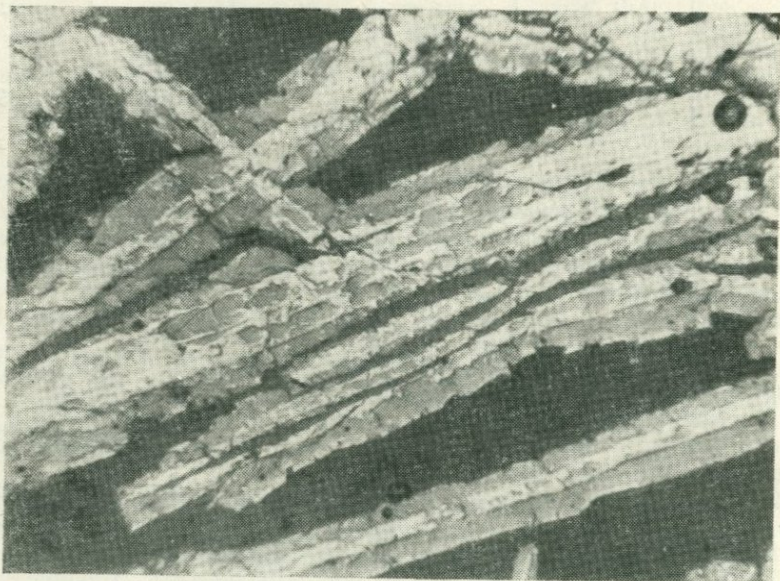


Рис. 10. Пластинчатый гематит (hem) замещается магнетитом (Mt), образуя мушкетовит (Much). Полир. шлиф. увел. 450. Месторождение Каджаран. По А. С. Фарамазяну.

Гематит отмечается и в медно-молибденовых рудах. Нередко в медных рудах отмечаются пластинчатые кристаллы гематита, рассеянные в кварце и халькопирите. На Айгедзорском и Джиндаринском месторождениях гематит отмечается в рудах кварц-пиритовой ассоциации, где он развивается по пириту.

Сенармонтит— Sb_2O_3 , кубическая сингония. Встречается в виде зернистых масс. Твердость 2—2,5, уд. вес 5,5. Хрупкий, блеск смолистый до субалмазного. Бесцветный или серо-белый. Чешуя белая. Прозрачный.

В отраженном свете характеризуется низкой интенсивностью отражения—как лимониты и серым, темно-серым цветом.

Спектральными и микроспектральными анализами в минерале определены Sb (основа), Fe, Cu, Bi и др.

Сенармонтит установлен в рудах Зодского, Азатекского и Амасийского месторождений (Амирян Ш. О., 1974), где он развивается по антимониту и кермезиту. Нередко вторичные минералы псевдоморфно нацело замещают антимонит и отличаются друг от друга цветом, отражательной способностью и другими признаками. Вся перечисленная группа является продуктом окисления антимонитовых руд.

Валентинит— Sb_2O_3 , ромбическая сингония. Образует призматические, таблитчатые выделения или же зернистые агрегаты. Твердость 2,3—3, уд. вес 5,76. Блеск алмазный. Бесцветный до снежно-белого, нередко желтоватый, красноватый, серый, бурый. Чешуя белая. Прозрачный.

В отраженном свете характеризуется низкой интенсивностью отражения и серым цветом.

В минерале спектральным и микроспектральным анализом кроме сурьмы установлены примеси меди, свинца, цинка, висмута, серебра, мышьяка, железа в количестве от 0,0001 до 0,01 процента.

Валентинит—обычный вторичный продукт в антимонитовых рудах Зодского, Азатекского и Амасийского месторождений (Амирян Ш. О., 1974), где он развивается по антимониту, кермезиту и другим сурьмянистым минералам. Ассоциирует с кермезитом, гидромонитом, сервантитом и сенармонтитом. Образует землистые, порошковатые массы, корки и нередко псевдоморфные выделения по антимониту.

Серванти́т— Sb_2O_4 . Ромбическая сингония. Образует тонкие игольчатые кристаллы. Обычно в виде массивных агрегатов, корок или порошка. Твердость 4—5, уд. вес 6,64. Блеск жирный, перламутровый, а также землистый. Цвет серо-желтый, беловатый, красновато-белый. Чешуя светло-желтая, до белой. Прозрачный.

В отраженном свете характеризуется серым цветом и низкой интенсивностью отражения. Для окислов сурьмы характерна неоднородность состава. Отдельные компоненты характеризуются различной интенсивностью отражения, твердостью, цветом. Для них характерны бесцветные, желтые и бурые внутренние рефлексы.

Сервантит совместно с валентинитом, кермезитом, сенармонитом и нередко гидророментом установлен в зоне окисления анти-монитовых руд Зодского, Азатекского и Амасийского месторождений, где они в основном развиваются по антимониту (Амирян Ш. О., 1974).

В рентгенограмме сервантита установлены следующие сильные линии: (10) 2,95; (9) 3,34; (6) 5,90; (5) 1,834; (5) 1,542; (4) 2,77; (4) 1,555; (4) 1,181.

Среди «сурьмяных охр» Зодского месторождения М. К. Чичинадзе установлен также гидроромент. В рентгенограмме гидроромента установлены следующие сильные линии: (8) 2,94; (10) 1,812; (9) 1,547; (5) 1,168; (5) 1,149; (5) 1,045. Он представлен двумя разновидностями по показателям преломления (N_1 1,714—1,710; N_2 = 1,625—1,674). Макроскопически это хрупкий минерал с восковым блеском, белым и желтоватым цветом.

Бисмит— Bi_2O_3 . Моноклинная сингония, в литературе известен как висмутовая охра и висмутовые цветы. Встречается в виде порошковатых, землистых масс, налетов и редко образует псевдоморфозы по висмутину. Цвет от серовато-зеленого до соломенно-желтого. Образуется при окислении висмутовых сернистых соединений и самородного висмута в тесной ассоциации с другими гипергенными минералами висмута.

В рудах Армянской ССР встречается в зоне окисления золоторудных (Зод, Меградзор, Тей и др.) и полиметаллических (Рудное поле Азатека, Арманис и др.) месторождений в тесной ассоциации с гипогенными минералами висмута (висмутин, айкинит, козалит, матильдит, виттихенит самородный висмут и др.). По данным Ш. О. Амиряна (1974), бисмит в незначительных количествах установлен в Зодском и Меградзорском месторождениях в виде порошковатых и землистых масс в продуктах окисления золото-висмут-теллуровых руд. Бисмит в рудах Армянской ССР практического значения не имеет.

Торианит— ThO_2 . Теоретический состав: Th—87,88%, U от 0 до 10—15%.

Торианит встречается в кварц-полевошпатовых альбит-мусковитовых замещенных пегматитах Мегринского plutона и Памбакского щелочного комплекса.

Образует кубические кристаллы (рис. 11) размером 0,3—0,5 мм, реже комбинации куба (100) и октаэдра (111), причем последние развиты слабо. Двойники по (111) очень редки. Границы кристаллов гладкие, блестящие. Цвет торианита бархатно-черный с буровато-черным оттенком. Блеск смоляной. Под микроскопом просвечивает красновато-бурым цветом. Изотропен, $N \geq 2,1$ —2,2. Нередко кристаллы торианита покрыты серо-желтыми пушистыми вторичными продуктами.

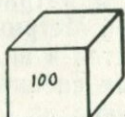
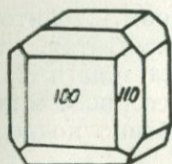


Рис. 11. Формы кристаллов торианита. По Б. М. Меликсянту.

Приближенно-количественные спектральные анализы подтверждают принадлежность торианита из нефелинового пегматита к существенно ториевой разновидности, а из мусковит-полевошпатового пегматита — к ураноторианиту (табл. 14).

Таблица 13

Межплоскостные расстояния торианита*

I	d n	I	d/n
3	3,551	2	1,372
10	3,219	9	1,276
1	3,060	9	1,243
5	2,785	5	1,180
1	2,466	10	1,134
4	2,167	10	1,069
10	1,967	4	1,034
5	1,852	4	1,020
10	1,675	3	0,982
2	1,607	8	0,939
2	1,403	5	0,878
3	1,390	3	0,835

* Анализ выполнен в лаборатории Львовского госуниверситета. Условия съемки: Fe²⁺-антикатод, D=86, d=0,7. Эксп. 4,5 ч. Образец прокален t=850° в течение 3 часов. По Б. М. Меликсянту.

Таблица 14

Химический состав торианитов по данным спектральных анализов*

	Th	U	Tl	Mo	Nb	Cu	Pb	Sn	Zn	Y	Ce	Fe	Be
1	>10	3—5	0,02	0,001	0,2	0,02	1,0	0,001	0,06	0,3	0,03	3,00	0,001
2	>10	1,0	1,0	0,001	0,6	0,01	0,3	0,001	0,01	0,1	0,05	1,0	0,003

* Спектральная лаборатория ИГН АН АрмССР, аналитик М. Я. Мартиросян. 1. Ураноторианит из полевошпат-мусковитового пегматита. 2. Торианит из нефелин-фельдшпатоидного пегматита.

Характерной особенностью состава редких элементов торианитов является высокое содержание радиогенного свинца (до 1,0%), железа и примеси церия и иттрия.

Торианит ассоциирует с циртолитом, пирохлором, торитом, флюоритом, эшинитом в калиевых и натриевых пегматитах, связанных с монцонит-сиенитовой фазой Мегринского plutона и Памбакского комплекса. Реже встречается в виде акцессорного минерала в граносиенитах, нефелиновых сиенитах, особенно подвергшихся метасоматическому изменению.

Уранинит— UO_2 . Состав: U—86,86%, Th от 0,5 до 10%, ΣCe 1—5%.

Встречается преимущественно в альбитизированных пегматитах и гранитах миоценового возраста, а также в слюдяных пегматитах, связанных с щелочными сиенитами (Мегринский plutон).

Уранинит образует кубические кристаллы (100), (110) (рис. 12). На гранях встречается тонкая штриховка, но чаще появляются землистые продукты изменения.

Цвет бархатно-черный, блеск металловидный. В проходящем свете просвечивает грязно-зеленым цветом. Изотропен. Показатель преломления очень высокий— $N > 2,5$.

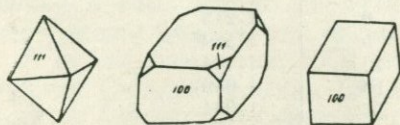


Рис. 12. Форма кристаллов уранинита. По Б. М. Меликсеяну.

Вычисленный (табл. 15) параметр элементарной ячейки, $a_0 = 5,515 \text{ \AA}$ больше эталонного ($a_0 = 5,454 \text{ \AA}$). Вероятнее всего это связано с вхождением атомов тория в решетку уранинита (Г. А. Сидоренко, 1952).

Таблица 15

Межплоскостные расстояния уранинита*

1	d/n	1	d/n
3	3,51	3	1,380
9	3,17	8	1,266
6	2,756	7	1,236
10	1,949	9	1,127
10	1,683	8	1,063
4	1,598	4	0,917

* Анализ выполнен в лаборатории Львовского госуниверситета. Условия съемки: Fe-a-антикатод, D=86 мм, d=0,7 мм. Образец прокален, $t=850^\circ$ 3 часа.

Данные спектральных анализов (табл. 16) подтверждают принадлежность мегринского уранинита к торийсодержащей разновидности — бреггериту.

Таблица 16

Химический состав уранинитов по данным спектральных анализов

	U	Th	Si	Cu	Mn	Ti	Pb	Ce	Y	Zr	Be
1	$\gg 10$	≥ 5	1—3	0,3—1	0,01	$\sim 1,0$	0,3	0,1	0,03	0,01	0,003
2	$\gg 10$	$5-10$	1—3	0,1—0,3	0,01	$\sim 1,0$	0,3	0,3	0,10	0,05	0,01

1. Уранинит из гранитного пегматита (р. Мюльк). 2. Уранинит из альбит-мусковитового пегматита.

Кроме того, в виде примесей присутствуют La, Sb, Bi, As. Характерными для Мегринского уранинита являются низкие содержания Ce, La, Y и высокие содержания тория.

Уранинит ассоциирует с бетафитом, обручевитом, гадолинитом, торитом, хризобериллом и ксенотитом в полевошпат-мусковитовых и фельдшпатоидных пегматитах и в самих гранитоидах Мегринского plutона.

Бадделеит — ZrO_2 . Теоретический состав: Zr — 74%, O — 26%, примеси: U — 1,0%, Hf — 1—3%, Th — 0,2%, Nb — 1,0%.

Бадделеит образует таблитчатые плоско-призматические кристаллы с хорошо развитыми гранями пинакоида и призмы (100), (110). Слабо развиты грани (210), (111), (112). Встречаются и более сложные комбинации кристаллографических форм, характерных для моноклинного псевдокубического класса симметрии (рис. 13). Размер кристаллов 0,3—0,8 мм. Иногда дает двойники по (100), (101). Очень характерна четкая вертикальная штриховка на гранях призмы. Спайность по (001) совершенная.

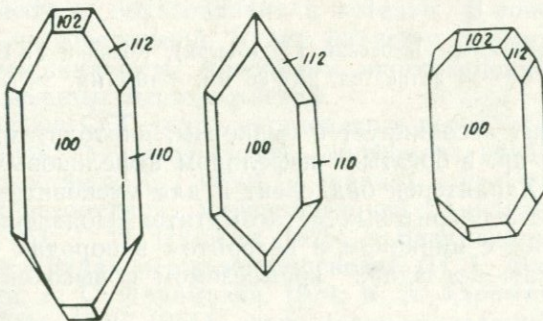


Рис. 13. Формы кристаллов бадделента. По Б. М. Меликсяну.

Цвет бадделента от золотистого и почти бесцветного до красновато-коричневого и темно-бурового, полупрозрачного. Блеск в изломе алмазный. В иммерсионных препаратах под микроскопом просвечивает светло-коричневым цветом с резким плеохроизмом от бурого (Np) до красно-коричневого по Ng.

Схема абсорбции: Np > Nm > Ng. Угол с:Np = 10—12°. Удлинение отрицательное. Двусный, отрицательный, $2v=30^\circ$. Дисперсия осей $r>v$.

Показатели преломления $Ng=2,18$, $Np=2,09$. Двупреломление $=0,07—0,1$.

Рентгенометрический анализ (табл. 17) показал его принадлежность к эталону (И. В. Михеев, 1957). Рассчитаны параметры элементарной ячейки: Мегри— $a_0=2,15$, $b_0=5,28$, $c_0=5,28$; Тексар— $a_0=5,09$, $b_0=5,24$, $c_0=5,24$ Å.

Таблица 17

Межплоскостные расстояния бадделента*

Мегри		Тексар		Мегри		Тексар	
I	d/n	I	d/n	I	d/n	I	d/n
—	—	2	5,09	4	1,559	7	1,546
3	3,76	5	3,65	7	1,496	4	1,509
10	3,21	10	3,18	—	—	6	1,425
4	2,94	10	2,85	5	1,335	5	1,323
7	2,64	6	2,62	4	1,230	6	1,270
—	—	2	2,34	—	—	2	1,159
5	2,20	5	2,22	—	—	2	1,103
—	—	5	1,998	4	1,034	3	1,034
10	1,842	10	1,849	4	0,998	2	1,9367
7	1,812	9	1,811	6	0,8,0	2	0,8860
4	1,640	6	1,632	9	0,853	3	0,8468
4	1,612	7	1,656	—	—	3	0,8060
—	—	4	1,592	—	—	—	—

* Рентгенограммы: Львовский ГУ (Мегри), Кочинян Г. Е. (Тексар). Условия съемки: Cu—Ni анод, $2R=86$ мм, $d=0,7$ мм. Экспозиция 12 часов.

Бадделент ассоциирует с цирконом, циртолитом, пирохлором, вёлеритом и др. в богатых нефелином нефелиновых сиенитах и пегматитах. Характерен бадделент и для мусковитизированных, а также биотит-флюоритовых метасоматитов. Появление бадделента в парагенезисе с цирконом и вёлеритом в породах связано с недосыщенностью последних кремнеземом и высокой щелочнотитанистостью.

Широко развит в породах и пегматитах Тексарского, в меньшей степени Шванидзорского щелочных комплексов.

Спектральный анализ бадделеита устанавливает редкометальные примеси в нем (табл. 18).

Таблица 18

Особенности химического состава бадделеита по данным спектрального анализа.

Место-нахождение	Ti	Zr	Hf	Nb	Y	La	Ce	Yb	Sc	Th
1. Тексар	0,2	>10	0,3	0,05	0,02	0,03	0,01	0,03	0,04	0,03
2. Мегри	0,06	>10	0,4	0,03	0,06	0,03	0,03	0,03	0,01	0,01
3. Амзачиман	0,3	>10	0,5—1,0	0,15	0,01	0,06	0,03	0,01	0,03	0,03

Анализ выполнен в спектральной лаборатории ИГН АН АрмССР, аналитик М. Я. Мартиросян.

Кварц— SiO_2 . Тригональная сингония. Кристаллы характеризуются гексагональной формой, удлиненно-призматические, реже дипирамидальные. Встречается также в виде крупнокристаллических, сплошных, аллотриоморфнозернистых, скрытокристаллических агрегатов.

Спайность отсутствует. Твердость 7. Удельный вес 2,65—2,66. Существуют семь полиморфных разностей кремнезема, среди которых наиболее хорошо изучен и широко распространен α -кварц.

В полированных шлифах кварц характеризуется высокой твердостью и положительным рельефом, хорошей полировкой (полируется лучше, чем пирит и кассiterит с аналогичной твердостью), низкой отражательной способностью ($R=4,5$ — $4,6$), пропусканием, идиоморфизмом, светлыми призирующими внутренними рефлексами.

Кварц в природе имеет широкое распространение. Он встречается в магматических породах, пегматитах, пневматолитовых и гидротермальных месторождениях, в жилах альпийского типа, поствулканических образованиях и нередко в зоне гипергенеза сульфидных месторождений. Кварц является самым широко распространенным жильным минералом многочисленных гидротермальных сульфидных месторождений.

В Армянской ССР кварц установлен в пегматитах с наложенной сульфидной и теллуридовой минерализацией Калерского (Б. М. Меликсян и др., 1960), в скарнах с наложенной молибденовой и железорудной минерализацией Анкаванского (А. И. Карапетян, 1961; Г. О. Пиджян, 1975) и Базумского месторождений, а также в рудах медно-молибденовой (И. Г. Магакьян, 1969; Г. О. Пиджян; А. С. Фарамазян, 1974; К. А. Карапетян, 1978; А. И. Карапетян, 1944, 1959, 1961), серно-медно-колчеданной (И. Г. Магакьян, 1947; Э. А. Хачатуровян, 1977; Р. Н. Зарян, 1963; В. О. Пароникян, 1967); полиметаллической (И. Г. Магакьян, 1969; В. О.

Пароникян, 1957; Ш. О. Амирян, А. Г. Акопян, 1963; Р. Н. Зарьян, 1963); золоторудной (Ш. О. Амирян, 1960—1978; А. И. Карапетян, 1961); ртутной (Г. О. Пиджян, 1957; И. Г. Магакьян, 1969) и антимонитовой формаций. Широко отмечается кварц в трейзеновых образованиях у села Аравус и турмалиновых жилах у села Аткиз (К. А. Карамян).



Рис. 14. Волокнистый агрегат кварцина. Прозрачный шлиф, увел. 60. Месторождение Калер. По К. А. Карамяну.

В рудах отмеченных формаций различаются молочно-белый, голубоватый, фиолетовый, розовый, темный, водяно-прозрачный, полупрозрачный, дымчатый, фарфоровидный, волокнистый типа кварцина, (рис. 14), халцедоновидный кварц и опал. В качестве жильного выполнения кварц образует мощные жилы (до 1,5—2 м), прожилки, гнезда, линзы, карманы, друзовые скопления. Халцедон проявляется в виде прожилков, желваков, натечных образований с бугорчатой поверхностью. Опал образует натеки и сплошные массы. Взаимоотношения кварца с другими жильными минералами различное, но основная его часть образуется раньше, чем другие жильные и рудные минералы. Главная масса кварца выпадает в дорудный период, в виде крупных, почти мономинеральных кварцевых жил. Другая часть образуется в самых различных парагенезисах минералов, где он опять-таки является ранним минералом.

Незначительная часть кварца совместно с карбонатами, цео-

литами, баритом, ангидритом и гипсом нередко образуется в пострудных стадиях гидротермального рудообразования. Нередко в виде халцедона, опала и в кристаллическом виде кварц находится также в окисленных рудах, где он участвует в сложении ячеистых коробчатых структур лимонитов (Зод, Тандзут, Азатек, Кафан, Алаверди и др.).

С рудными инерудными минералами образует разнообразные ассоциации: кварц-полевошпатовую (Каджаран, Анкаван, Айгедзор, Калер и др.), кварц-гранат-эпидот-скаполитовую (Базум), кварц-пиритовую (Каджаран, Анкаван, Кафан, Алаверди, Тей, Арманис, Шаумян, Меградзор и др.), кварц-молибденитовую (Каджаран, Айгедзор, Техут и др.), кварц-пирит-халькопиритовую (Кафан, Алаверди, Шамлуг, Меградзор, Тей, Арманис, Шаумян, Газма, Гегарчин и др.), кварц-пирит-сфелерит-арсенопиритовую (Зод, Тей), золото-кварцевую (Капутсар, Зод), кварц-карбонат-полиметаллическую (Газма, Аткиз, Ахтала и др.), кварц-карбонат-золото-полиметаллическую (Зод, Тей, Меградзор, Шаумян, Арманис и др.), золото-теллуровую (Зод, Меградзор, Калер и др.), кварц-золото-шмеллитовую (Маргаовит), кварц-карбонат-халькопирит-халькозин-энаргит-борнитовую (Анкаван, Арчут), кварц-тенантит-энергитовую (Кафан), кварц-карбонат-антимонитовую (Азатек), кварц-сульфоантимонитовую (Азатек, Софи-бина), кварц-баритовую (Акори, Ераванк и др.), кварц-ангидрит-гипсовую (Техут), кварц-карбонатную (Каджаран, Зод, Кафан, Газма, Тей и др.), кварц-цеолитовую (Тей, Арманис) и другие.

В перечисленных ассоциациях кварц отличается агрегатным состоянием, цветом, примесями и ассоциирующими минералами. Среди всех разновидностей преобладающим является молочно-белый кварц, которым сложены дорудные кварцевые жилы. Такой кварц крупнозернистый, трещиноватый, нередко рассланцованный. Размер самостоятельных кристаллов составляет нередко 2–3 см в длину. По деформированному, катаклазированному и нередко разложенному кварцу развиваются продукты поздних рудных стадий минерализации.

Кварц, сопровождающий рудную минерализацию, обычно темного цвета, дымчатый, массивный и с многочисленными примесями рудных элементов.

Водянопрозрачный, полупрозрачный кварц обычно проявляется в ассоциации карбонатов, барита, ангидрита, гипса и цеолитов.

В зависимости от способа образования агрегаты кварца имеют различный облик. В открытых трещинах и полостях, в результате простого выполнения или свободной кристаллизации образуются гребенчатые, друзовые, крустикационные агрегаты. В жилах и зонах, образованных путем метасоматического замеще-

ния, преобладают массивные, сливные, агрегаты с многочисленными включениями пород. Нередко кварц и халцедон заполняют пустотки колломорфного опала.

Ранние генерации кварца характеризуются структурами грануляции, каталаза и рассланцевания, а поздние и более низкотемпературные—скрытокристаллическими, тонокристаллическими и нередко колломорфными структурами. Часто в кварце встречаются газово-жидкие включения.

К. А. Карамяном и О. Г. Маданяном (1968) были исследованы температура кристаллизации кварца минеральных ассоциаций Каджаранского месторождения и получены следующие значения температур: 1. кварц-магнетитовая—520—460°; 2. кварц-полевошпатовая—460—430°; 3. кварц-мolibденитовая—360—315°; 4. кварц-мolibденит-халькопиритовая—280—260°; 5. кварц-халькопиритовая—315—295°; 6. кварц-пиритовая—220—200°; 7. кварц-сфалерит-галенитовая—300—270°; 8. кварц-карбонатная—215—190°; 9. халцедоновая—190—170°; 10. ангидрит-гипсовая—60—50°.

Пиролюзит— MnO_2 . Кристаллизуется в тетрагональной сингонии. Теорет. состав: MnO_2 (Mn 63,19%) (Минералы, 1965).

В рудах Армянской ССР широко развит пиролюзит как гипогенного, так и гипергенного происхождения.

Гипогенный пиролюзит макроскопически представляет собой кристаллический (иногда скрытокристаллический) агрегат темно-серого до черного цвета с металлическим блеском. Образует длинно- и короткокристаллические агрегаты, часто радиально-лучистого строения. В пустотах встречается в виде игольчатых образований, с длиной игл до 10—15 мм. На хорошо развитых относительно крупных кристаллах при увеличении отчетливо наблюдается совершенная спайность по (110).

Удельный вес кристаллического пиролюзита из Севкар-Саригюхского месторождения по определениям Саркисяна С. П., составляет 4,62.

Гипергенный пиролюзит образует землистые или плотные скрытокристаллические агрегаты черного цвета, преимущественно матовые, но иногда и с полуметаллическим блеском. Образуется в зоне окисления за счет мanganита и гидроокислов марганца.

Под микроскопом в полированных шлифах пиролюзит белого цвета, с характерным кремово-желтым оттенком. Отражательная способность умеренная—30—33%; двутрение сильное; эффекты анизотропии яркие с цветовыми эффектами от кремово-желтого до фиолетово-серого. В иммерсии отражательная способность сильно снижается, двутрение и анизотропность усиливаются. Внутренних рефлексов нет.

Пиролюзит чаще образует сплошные мелкозернистые массы. Относительно крупные зерна обладают трещинами по плоскостям

спайности, что создает характерную для пиролюзита паркетовидную структуру (рис. 15). Часто образует метаколлоидные структуры с радиально-лучистым строением.

В полированных шлифах пиролюзит очень хорошо травится 8% H_2SO_3 . Под электронным микроскопом после травления полированного шлифа 8% H_2SO_3 выявляется шестоватое строение. Длина «шестов» колеблется в пределах 1—10 μ .

Данные результатов термического анализа пиролюзитов различных генераций из Севкар-Саригюхского месторождения приведены на рис. 16. На термограмме «в» «пиролюзитовый» эффект смещен несколько вправо. Кроме того, здесь отмечается экзотермический эффект при 280° , что говорит о гипергенном происхождении исследуемого образца.

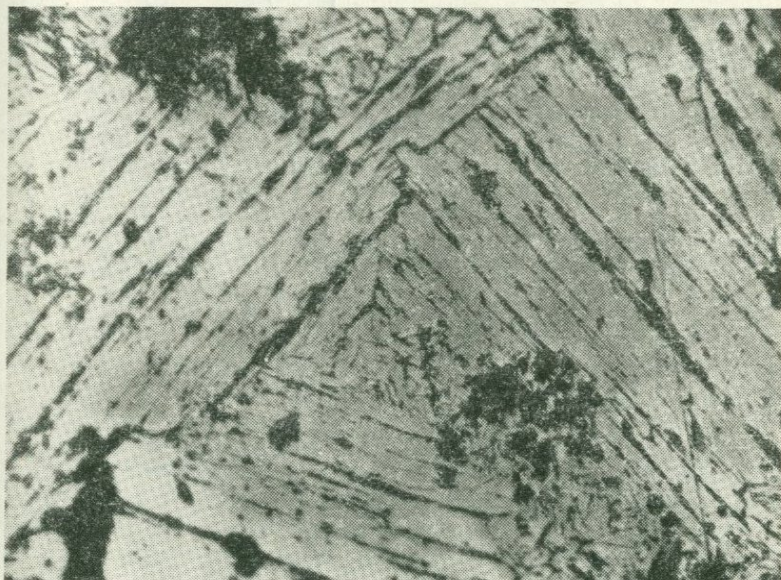


Рис. 15. Пиролюзит-полианит «паркетовидного» строения. Полир. шлиф, увел. 200. Севкар-Саригюхское месторождение. По Л. П. Яшвили.

Данные рентгеноструктурного анализа различных агрегатных форм пиролюзитов из Севкар-Саригюхского месторождения приведены в табл. 19.

На рис. 17 приведены данные спектрального анализа мономинеральных фракций пиролюзита как гипогенного, так и гипергенного. Повышенное для пиролюзита содержание кремнезема, Ca, Fe следует отнести за счет недостаточной чистоты отобранный

фракции. Почти во всех пробах присутствуют Ba, Ni, Co, Ti, V. Эти примеси для пиролюзитов из месторождений и проявлений территории Армянской ССР весьма характерны.

Химические анализы игольчатого гипогенного пиролюзита из Севкар-Саригюхского месторождения дают следующие результаты (в %): MnO₂—88,57; MnO—6,5; Fe₂O₃—0,55; CoO—1,58; SiO₂—1,78; P₂O₅—0,03.

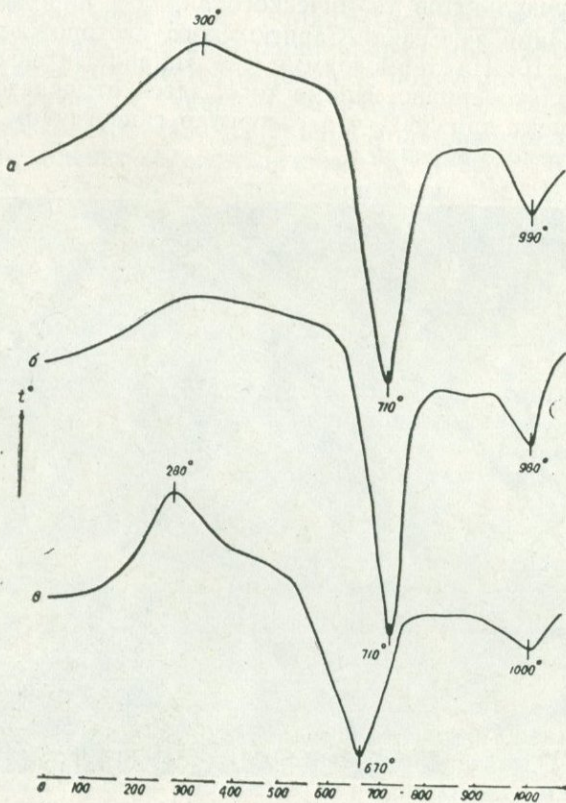


Рис. 16. Кривые нагревания пиролюзита: а) радиально-лучистого; б) шестоватого пиролюзит-полианиита; в) из зоны окисления. Севкар-Саригюхское месторождение. По Л. П. Яшвили.

Гипогенный пиролюзит на территории Армянской ССР широко развит в первично-окисных экскавационно-осадочных и гидротермальных рудах Севкар-Саригюхского, Калачинского, Котигехского месторождений (Яшвили, 1980).

На Севкар-Саригюхском месторождении является главным рудообразующим минералом экскагационно-осадочного, экскагационно-гидротермального и собственно гидротермального типов руд. Здесь выделяются две генерации пиролюзита. Пиролюзит ранней генерации образует скрытокристаллические почковидные выделения среди кремнистой массы. Размер почек колеблется от долей миллиметра до 2—3 см в поперечнике. Образуется в тесной ассоциации с рамсделлитом.

Таблица 19

Межплоскостные расстояния и относительная интенсивность дифракционных линий на дебаеграмме пиролюзита*

Севкар—Саригюхское месторождение								
Почки радиально-лучистого строения		Игольчатые разности		Плотный скрыто-кристаллический		Землистый скрытокристаллический		
I	d/n	I	d/n	I	d/n	I	d/n	
3	3,42	1	3,40	—	—	2	3,40	
10	3,12	10	3,12	10	3,11	10	3,12	
6	2,40	7	2,40	3	2,40	7	2,40	
—	—	—	—	—	—	—	—	
4	2,11	5	2,12	5	2,10	5	2,105	
1	1,968	1	1,970	—	—	2	1,967	
6	1,620	7	1,619	7	1,618	8	1,622	
5	1,555	4	1,560	—	—	4	1,553	
2	1,430	2	1,438	3	1,433	4	1,431	
—	—	—	—	—	—	—	—	
7	1,302	8	1,303	8	1,300	4	1,301	
3	1,065	2	1,050	—	—	4	1,054	
—	—	1	1,038	—	—	1	1,036	

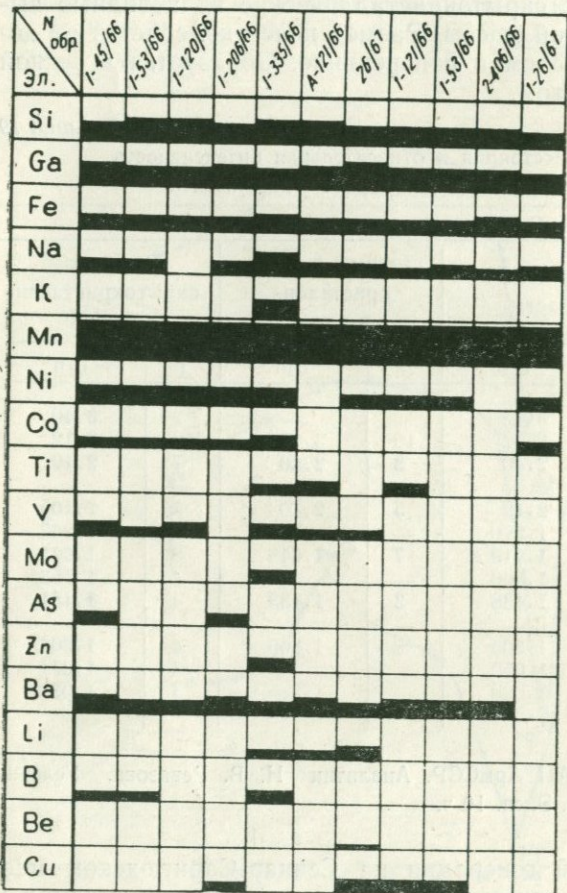
* Лаборатория ИГН АН АрмССР. Аналитик Н. В. Ревазова. Условия съемки Fa, β , $D=57,3$, шарик. Эксп. 10 ч.

Пиролюзит поздней генерации на Севкар-Саригюхском месторождении образует прожилки, выполняет трещины усыхания в агрегатах пиролюзита ранней генерации, часто встречается в пустотах в виде шестоватых и игольчатых агрегатов радиально-лучистого строения. В отдельных случаях длина иголок достигает 3 см. Образуется также в виде щеток и обрамляющих корок на почках, сложенных манганитом и криптомеланом.

На Кармрашенском, Сваранцском и Саринарском проявлениях гипогенный пиролюзит имеет ограниченное развитие. Выпадает в небольшом количестве в поздние стадии процессов рудоот-

ложения. Образует главным образом прожилки, гнезда, вкрапленники среди вмещающих марганцевые руды кремней.

Гипергенный пиролюзит широко развит в зоне окисления всех марганцевых месторождений и проявлений. Кроме того рас-



Условные обозначения

—10 и более
—5
—3
1-3
1-0,7
0,1
0,01
0,001
0,0001

Рис. 17. Распределение элементов в чисто отобранных пробах пиролюзита из Севкар-Саригюхского месторождения. По Л. П. Яшвили.

пространен на некоторых медно-молибденовых (Агарак) и полиметаллических (Газма, Азатек, Гюмушхана) месторождениях (Яшвили и др., 1977). Во всех случаях развивается за счет манганита и гидроокислов марганца. Реже замещает браунит и гаус-

манит (Сваранцкое, Кармрашенское и Саринарское проявления).

Рутил— TiO_2 является наиболее распространенной и устойчивой модификацией двуокиси титана. Сингония тетрагональная, образует мелкие короткопризматические и игольчатые кристаллы (в древних метаморфических сланцах), а во вторичных кварцитах района Сваранцкого железорудного месторождения—сплошные зернистые массы и хорошо ограненные призмы (рис. 18) с характерными формами (110), (100) и (111), размером 5—10 мм, иногда до 15—20 мм по длинной оси.

Рутил во вторичных кварцитах макроскопически характеризуется темно-коричневым до железно-черного цветом, алмазным, а на гранях хорошо образованных кристаллов, металлическим блеском. Цвет черты желтовато-коричневый, твердость 6, излом неровный, раковистый. Уд. вес 4,3, хрупок, спайность средняя, немагнитен. Стандартные реактивы не действуют и в кислотах не растворяется; с трудом растворяется в смеси HF и H_2SO_4 . Легко растворяется в сплаве KF и HF .

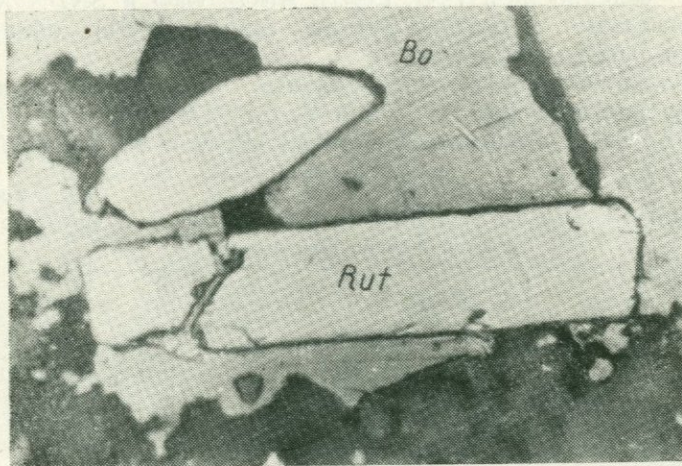


Рис. 18. Столбчатые кристаллы рутила (Rut) среди борнита (Bo). Полир. шлиф, увел. 300. Месторождение Дасстакерт. По К. А. Карамяну.

В проходящем свете цвет рутила красновато-бурый, полупрозрачный, рельеф высокий, в тонких шлифах светло-коричневый, заметно плеохроирует. Оптически одноосный, положительный, имеет высокие показатели преломления: $N_e=2,901$; $N_o=2,615$. Двупреломление высокое— $N_e-N_o=0,286$.

В отраженном свете диагностические признаки следующие: отражательная способность (R) около 20%, двутрение (ΔR) слабое, легко устанавливается на гранях двойников, значительно отчетливее в иммерсии.

Цвет серовато-белый со слабым сиреневатым оттенком. Анизотропия заметная¹. Внутренние рефлексы оранжево-красные. Характерны полисинтетические и тонкополисинтетические двойники.

Рутил хорошо поддается полировке; на полированной поверхности сплошной зернистой массы наблюдаются ямки выкрошивания.

В полированных шлифах по трещинкам раздробленных зерен, а также по трещинкам спайности устанавливается проникновение пирита. Относительный рельеф рутила приближается к пириту, несколько меньше, чем у последнего.

По химическому составу рутил Сваранцского месторождения приближается к теоретическому составу² (табл. 20). Как видно из таблицы, охарактеризованный рутил отличается сравнительно высоким содержанием FeO , Fe_2O_3 , Al_2O_3 , CaO и SiO_2 . Химическим анализом³ в составе рутила (проба № 21) обнаружено 1,0% Nb и 0,62% V_2O_5 .

Полуколичественные спектральные анализы в нескольких пробах рутила показали 0,1—0,3% V; 0,1—1,0% Nb, 0,1—0,5% Zr; 0,03—1,0% Ca, а в единичных пробах 1% V и 3% Fe (табл. 21).

Таблица 20

Химический анализ рутила района Сваранцского железорудного месторождения (Хартидзор)*

Окислы	№ 310	Окислы	№ 310
SiO_2	1,08	MgO	не обн.
TiO_2	93,01	H_2O^-	не обн.
Al_2O_3	1,77	п. п. п.	не обн.
Fe_2O_3	1,11	P_2O_5	0,09
FeO	2,58	Na_2O	0,07
MnO	не обн.	K_2O	сл.
CaO	1,22	Сумма	100,99

* Хим. лаборатория ИГН АН АрмССР, аналитик А. К. Иванян.

¹ Отчетливая анизотропность наблюдается по границам двойникования.

² Химические анализы двух проб рутила, отобранного под бинокулярной лупой, показали содержание TiO_2 в среднем 99,35%.

³ Химические и спектральные анализы произведены в соответствующих лабораториях ИГН АН АрмССР.

Таблица 21

Полуколичественные спектральные анализы рутила
района Сваранцкого месторождения (ущелье Хартиздзор), в %

Эле- менты	310 ^a	310 ^c	310	21	310 ^н	310/79	310 ^a	21 ^a
Si	0,3—1,0	10	0,3—1,0	0,3	1,0	1,0	1—3	0,3
Al	1,0	3,0	1,0	1—3	0,3—1,0	1,0	1,0	1,0
Mg	0,1—0,3	0,03	0,1—0,3	0,03—0,1	0,1	0,1—0,3	0,1	0,3
Ca	0,03—0,1	0,03—0,1	0,03—0,1	0,3—0,1	0,03—0,1	0,1	0,1	0,03—0,1
Fe	1,0	1,0	1,0	1,0	3,0	0,3—1,0	3,0	0,3—1,0
Mn	0,01	0,003—0,01	0,003	0,001	0,003	0,003—0,01	0,01	0,001
Ni	0,003	0,003—0,01	0,003	—	—	—	—	—
Ti	>10	>10	>10	>10	>10	>10	>10	>10
V	0,1	0,3	0,3	0,1—0,3	0,1—0,3	1,0	0,1—0,3	0,1—0,3
Zr	0,01	0,01	0,01—0,03	0,1—0,3	0,1—0,3	0,1—0,3	0,3—0,5	0,03—0,1
Nb	0,1	0,1	0,1—0,3	0,3—1,0	0,3	0,1—0,3	0,3—1,0	0,03—0,1
Cu	0,01—0,03	0,2—1,0	0,01—0,03	0,001	0,001—0,003	0,1—0,3	0,01—0,03	0,0003
Sn	0,003—0,01	0,01	0,01—0,03	0,01	0,003	0,003	—	—
Gr	—	0,003	—	0,01—0,03	0,01(?)	—	0,003—0,01	—

Примечание: спектральные анализы в двух разных пробах показали 0,01—0,03% Hf, 0,03% Ta и 0,01% Zn, в единичных пробах—0,001% Ga, 0,01—0,03% Pb, 0,1% Sb и 0,03% Sr.

На территории Армянской ССР скопления рутила, представляющие интерес, известны в двух пунктах: во вторичных кварцитах района Сваранцкого железорудного месторождения, в среднем течении р. Сваранц, в ущелье Хартидзор и в эопалеозойских метаморфических сланцах (Арзаканская и Чкнахская проявления).

Оруденение рутила участка Хартидзор приурочено к верхнесантонским вторичным кварцитам и представлено мелкой вкрапленностью, линзочками, гнездами и невыдержаными жилами размером 10—15 см.

Рутил концентрируется главным образом в серицит-андалузитовой и серицит-андалузит-кварцевой фациях вторичных кварцитов. В этих фациях рутил ассоциирует с пиритом и цирконом. По-видимому, вышеупомянутая высокая концентрация циркона связана с механическими примесями циркона в анализируемом рутиле.

Таблица 22

Межплоскостные расстояния* рутила (проба № 310)
района Сваранцкого железорудного месторождения (Хартидзор)

I	d_{α}/n	I	d_{α}/n
9	3,281	3	1,145
8	2,497	4	1,091
1	2,292	4	1,081
7	2,196	3	1,041
2	2,051	2	0,905
10	1,687	2	0,897
8	1,619	2	0,888
4	1,474	2	0,875
4	1,451	5	0,842
8	1,357	3	0,828
5	1,346	4	0,818
3	1,170		

* Анализ выполнен в рентгеноструктурной лаборатории ИГН АН АрмССР С. Геворкян. Условия съемки: Cu—Ni, D=57,3, d=0,5 мм, эксп. 5 ч.

Рутиловое оруденение во вторичных кварцитах приурочено к вулканогенным породам в контакте их с гранодиоритами и генетически связано с гидротермально-метасоматическим процессом.

Рутил широкое развитие имеет в докембрий-кембрийских метаморфических сланцах актинолитового, роговообманкового, амфибол-хлоритового составов, а также вторичных кварцитах, развитых в Цахкуницком хребте, в пределах Арзаканского кристаллического массива (в районах с. Арзакан и Чкнах). В этих рутилоносных сланцах рутил образует мелкие продолговатые зерна

размером 0,07—0,3 мм, реже 0,4—0,6 мм и характеризуется почти равномерным распределением по всей горнорудной массе. Форма зерен часто неправильная, округлая, имеет овальные очертания, встречаются неправильные срастания. Здесь рутил отличается густым буровато-желтым цветом, а также красноватым оттенком, высоким рельефом и двупреломлением. В отмеченных древних метаморфических сланцах В. А. Агамаляном выделяются две генерации рутила: детритовая (рутил-1) и сагенитовая (рутил-2), которые отличаются своими морфологическими особенностями, степенью идиоморфизма и минеральной ассоциацией.

В рутилоносных метаморфических сланцах содержание рутила обычно составляет 2,60—5,16%, в среднем 4,25%. В них часто с рутилом из рудных минералов ассоциируют пирит, халькопирит, галенит, сфалерит и лейкококсен. Указанное повышенное содержание титана на значительных площадях метаморфических рутилоносных сланцев представляет большой интерес.

Рутил является ведущим минералом титана, скопления которого в метаморфических сланцах Цахкуняцкого хребта представляют интерес.

Анатаз— TiO_2 . Химический состав: Ti—60%, O—40%, примеси Nb_2O_5 до 2%, SnO_2 до 1,5%. Сингония тетрагональная.

Один из наиболее характерных минералов гранитоидов, нефелиновых сиенитов, альбититов и редкометальных пегматитов. Содержание анатаза в этих породах обычно невысокое—20—500 г/т, но в древних альбититах достигает 1,5—2%, причем в них он образует крупные агрегатные выделения до 2—3 см в поперечнике.

Встречается часто в виде мелких идиоморфных кристаллов различного габитуса; обычны остродипирамидальные кристаллы с сильно развитыми гранями (111) и характерной поперечной губоступенчатой штриховкой (рис. 19). Реже встречаются усеченно-дипирамедальные, псевдооктаэдрические, таблитчатые и колье-

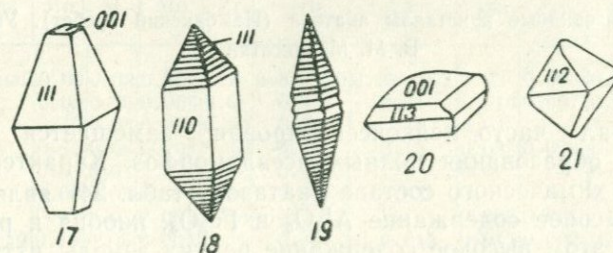


Рис. 19. Формы кристаллов анатаза. По Б. М. Меликsetяну.

видные (рис. 20) кристаллы с хорошо развитыми гранями дипирамиды (112), (111), (113), призмы (110) и пинакоида (001).

Твердость высокая (6), удельный вес 3,8—3,95. Характерна спайность по (001) и (111); типична анатазовая штриховка, связанная с чередованием узких граней (110) и (111). Части двойники по (101).

Цвет анатаза варьирует в широком диапазоне—от бледно-желтого, зеленого и синего различных оттенков до красно-бурового и черного.

Показатели преломления, замеренные в фосфорных сплавах: $N_{\text{D}}=2,58$, $N_{\text{E}}=2,49$. Слабый плеохроизм $N_{\text{D}}>N_{\text{E}}$. Одноосен.

Параметры элементарной ячейки (табл. 23) равны: $a_0=3,785$, $c_0=9,448$.



Рис. 20. Копьевидные кристаллы анатаза (Памбакский хребет). Увел. 10. По Б. М. Меликсеяну.

Минерал часто лейкоксенизирован, замещается рутилом, вплоть до образования полных псевдоморфоз. Характерной особенностью химического состава анатазов (табл. 24) является постоянное высокое содержание Al_2O_3 и Fe_2O_3 , ниобия и редких земель. При этом высокое содержание редких земель, иттрия и радиоэлементов обусловлено субмикроскопическими выделениями давидита-брэннерита.

Изоморфизм $\text{Nb}^{5+} \rightarrow \text{Ti}^{4+}$ происходит с компенсацией Na^{+1} либо по схеме гетеровалентного замещения с участием ильменорутилового минала $\text{Fe}^{3+} + \text{Nb}^{5+} \rightarrow \text{Ti}^{4+}$.

В составе элементов-примесей особое место занимают: Mn, Y, Fe, Cr, нахождением которых, вероятно, обусловлены оттенки цвета анатазов; характерны постоянно высокие концентрации олова (0,01—0,03%), иттрия (0,03—0,3%), ниobia (0,2—1%) и скан-

Таблица 23

Межплоскостные расстояния анатаза
(Памбакский хребет)*

I	d/n	I	d/n
10	3,43	6	1,263
6	2,332	5	1,169
10	1,895	1	1,049
5	1,692	2	0,963
6	1,647	1	0,919
7	1,528	3	0,899
4	1,368	2	0,885
4	1,337	1	0,855

*Анализ выполнен в рентгеновской лаборатории ИГН АН АрмССР Э. Х. Хуршудяна. Условия съемки: камера УРС-70, Cu антикатод; D = 57,3 мм, d = 0,45 мм, экспозиция 12 часов.

Таблица 24

Химический состав анатаза
(с. Бжни)*

Оксиды	Содержание, %	Оксиды	Содержание, %
SiO_2	5,70	Na_2O	0,36
TiO_2	86,45	Nb_2O_5	0,16
Al_2O_3	2,12	Ta_2O_5	0,01
Fe_2O_3	4,20	Cr_2O_3	0,24
FeO	0,15	V_2O_5	0,36
MnO	0,04	TR_2O_3	1,70
MgO	0,30	ThO_2	0,12
CaO	0,10	U_3O_8	0,21
K_2O	0,12	Σ	99,85

* Анализ выполнен в хим. лаборатории ИМГРЭ (аналитик В. Н. Архангельская)

Таблица 25

Состав элементов-примесей в анатазе по данным приближенно-спектральных анализов (в %)

Цвет анатаза	Mn	V	Mo	Zr	Nb	Ta	Sn	Be	Y	Ce/La	Sc
1. Коричневый	0,03	0,02	0,002	0,2	0,3—1,0	0,03—0,1	0,02	0,003	0,03	0,8	0,03
2. Черный	0,03	0,25	0,006	0,08	0,15	0,01	0,016	0,001	0,075	0,21	0,08
3. Бурый	0,10	0,03	0,003	0,30	0,30	—	0,03	—	0,10	0,3	0,03
4. Красный	0,15	0,08	0,003	0,30	0,25	0,15	0,03	0,003	0,10	1,3	0,01
5. Синий	0,06	0,03	—	0,07	0,15	—	0,01	—	0,03	0,40	0,03
6. Зеленый	0,08	0,03	0,001	0,20	0,50	0,03	0,01	—	0,10	0,75	0,04
7. Желтый	0,1	0,03	0,002	0,20	0,20	—	0,006	0,001	0,30	0,06	0,02
8. Бесцветный	0,15	0,06	0,001	0,25	0,30	0,015	0,015	0,002	0,30	0,50	0,13

1—Мегринский pluton; 2—альбититы Бжни; 3—8 граниты, сиениты Памбакского хребта.

дия (0,01—0,08%) (табл. 25). Анатаз постоянный спутник редкоzemельных, радиоактивных, танталониобиевых минералов пегматитов, метасоматитов гранитоидного и щелочно-сиенитового ряда (Мегринский plutон, Памбакский комплекс, Бжнийский гранит-мигматитовый комплекс и др.).

Брукит— TiO_2 . Теоретический химический состав: Ti—59,95%, O—40,05%. Обычны высокие содержания примесей: Fe_2O_3 (до 4,5%), Nb_2O_5 и Ta_2O_5 (до 9,6%), а также W, Ge, Sc.

Брукит—ромбическая полиморфная модификация анатаз-рутilla, ассоциирует с рутилом и анатазом, но уступает им в количественном распространении. Образует характерные таблитчатые и пластинчатые кристаллы с остроконечной усеченной вершиной, реже—псевдогексагональные дипирамидальные кристаллы (рис. 21) типа арканзита. Очень характерна вертикальная по оси «с» штриховка и уплощенность кристаллов по (100). Основные формы: (100), (110), (112), (122), (322), (102) и др.

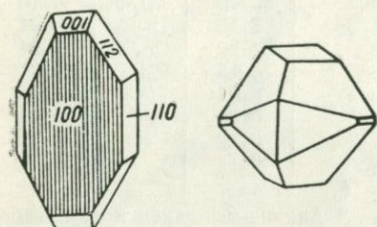


Рис. 21. Формы кристаллов брукита. По Б. М. Меликсяну.

Размер кристаллов 0,1—0,8 мм. Цвет брукита ярко-желтый, оранжево-коричневый с красноватым оттенком. Показатели преломления, замеренные в фосфорных жидкостях: $Ng' = 2,67$, $Np' = 2,52$. Двупреломление порядка 0,12—0,25, слабо плеохроирует. Кристаллы брукита по краям, реже в центральных зонах частично превращены в рутил, изредка возникают полные псевдоморфизы—псевдобрукиты. Рентгенометрический анализ брукита показывает также фазу рутила (табл. 26).

В составе элементов-примесей (табл. 27) в бруките по данным приближенно-спектральных анализов установлены: Nb (0,3—1%), Zr (0,15—0,3%), Sn (0,1—0,3%), Ge (0,001—0,003%). Y (0,1—0,3%), TR (0,4—0,75%), Sc (0,003—0,005%), Th (0,3%), V (0,15—0,2%), реже W (0,02—0,03%), Mn, Cr, Be, Mo, Cu.

Брукит встречен в щелочных породах (фонолите, нефелиновых сиенитах), граносиенитах (Памбакский хр.), а также в высокометаморфизованных кварц-слюдистых сланцах и гранито-гнейсах с. Бжни.

Ассоциирует с кассiterитом, шеелитом, рутилом, титанониобатами, сfenом. В сланцах и гнейсах образуется при высоких

Р—Т условиях раньше анатаза, но позже рутила. Характерен совместно с другими титановыми полиморфными модификациями для щелочных метасоматитов (карбонатиты, альбититы, мусковитизированные сиениты); встречается в россыпях долины р. Мармарики.

Таблица 26

Рентгенометрическая характеристика брукита

I	d/n	I	d/n
6	3,44	3	2,172
3	3,25	9	1,664
10	3,186	6	1,600
4	2,940	2	1,528
6	2,522	4	1,463
4	2,455	5	1,344

Анализ выполнен в рентгеновской лаборатории ИГН АН АрмССР Э. Х. Хуршудян. Условия съемки: УРС-55, Cuα, D=57,3 d=0,3, эксп. 10 ч.

Таблица 27

Состав элементов-примесей в брукитах (по данным спектральных анализов)

№	V	Zr	Nb	Sn	W	Ge	Y	Yb	La	Ce	Be	Sc	Th	Pb
1	0,15	0,30	0,30	0,3	0,03	0,003	0,1	0,001	0,10	0,3	—	0,005	—	0,003
2	0,10	0,15	0,3—1	0,1	—	0,001	0,3	0,003	0,15	0,6	0,0007	0,003	0,30	—
3	0,20	0,30	0,80	0,6	0,02	0,004	0,2	0,002	0,30	1,0	0,001	0,004	0,12	0,02

1—Амзачиманский массив, 2—Тежсарский комплекс; 3—гранито-гнейсы, у с. Бжни.

Из разновидностей брукита зеленовато-черного цвета в Памбакском комплексе обнаружен арканит с характерным дипирамидальным псевдогексагональным габитусом кристаллов.

Касситерит— SnO_2 (оловянный камень). Тетрагон. синг. Теорет. состав: Sn—78,77%, O—21,23%, часто примеси Nb, Ta, W, Sc, Zr, In, Sb, Zn, Ag, Ce, которые устанавливаются химическими и спектральными анализами.

Характерны кристаллы (рис. 22) и зернистые агрегаты, также гроздьевидные, иногда сферолитовые или конкреционные выделения (деревянистое олово). Спайность несовершенная по (100) и (110), хрупок, твердость 6—7, уд. вес 6,3—7,19. Цвет от бесцветного до коричневого и черного, реже—желтый, оранжевый, красный, зеленый. В прозрачных шлифах одноосный, положительный с высоким преломлением: Ng=2,1, Np=2,0.

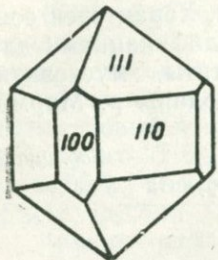


Рис. 22. Форма кристалла касситерита. По

Б. М. Меликсяну.

В полированных шлифах R в пределах 9—11, двутрение слабое (заметно в иммерсии), анизотропен, внутренние рефлексы бурые и красноватые, иногда тонкопластинчатые и коленчатые двойники (по 101), зонален. Полируется очень трудно (поверхность ямчатая).

Зерна касситерита в контакте с Zn при действии HCl покрываются металлическим оловом («оловянное зеркало»).

Месторождения касситерита относятся, по С. С. Смирнову, к трем рудным формациям: оловоносных гранитных пегматитов, касситеритово-кварцевой и касситеритово-сульфидной.

В рудах Армянской ССР касситерит не характерен и нигде не дает сколько-нибудь значительных концентраций. В виде небольшой примеси и мелких выделений размером не более 0,01—0,05 мм касситерит установлен в рудах медно-мышьяковых (Мец-дзорское мнение) и некоторых колчеданных (Шамлуг, Ахтала, Шаумян), и медно-молибденовых (Агарак, Каджаран, Анкаван и др.) месторождений в ассоциации с энаргитом, теннантитом (рис. 23), станинном, сфалеритом, реже с галенитом, пиритом и халькопиритом.

В мономинеральных пробах теннантита, содержащих микроскопические включения касситерита и станинина, содержание Sn составляет 0,45%, а количество касситерита в отсортированной руде не превышает 0,1%. Практического значения в рудах Армянской ССР касситерит не имеет. В шлихах, промытых из аллювия рек Масрик, Мармариk, Памбак, Марцигет, Ахум, Агстев и др., касситерит образует мелкие окатанные зерна, ассоциирующие с самородным оловом, киноварью, самородным золотом.

По Р. Л. Мелконяну (1976) касситерит как акцессорный минерал отмечен в лейкократовых эндоконтактовых фациях Кохбского и Банушского массивов. Довольно часто он встречается в грейзенизованных калишпатизированных породах и кварцевых жилах Анкаванского и Агверанского массивов и, вероятно, в древних гранитоидах, пегматитах и в кристаллических сланцах Цахкуняцкого выхода фундамента.

Б. М. Меликсян приводит в табл. 28 рентгенометрическую характеристику касситерита, а в табл. 29—состав примесей касситеритов Мегринского и Памбакского районов по данным спектральных анализов.

Таблица 28

Межплоскостные расстояния касситерита*

I	d/n	I	d/n	I	d/n
7	3,31	3	1,310	9	0,940
7	2,62	3	1,208	3	0,928
4	2,354	1	1,177	6	0,908
10	1,757	4	1,149	7	0,880
4	1,668	2	1,116	6	0,846
2	1,583	5	1,085	2	0,836
5	1,490	5	1,075	5	0,825
4	1,432	3	1,055	2	0,812
5	1,407	2	1,031	7	0,812

* Условия съемки: УРС-55, Fea, D=57,3. Эксп. 8,15 ч. Рентгенограмма заимствована у Мкртчяна А. А. (1977).

Таблица 29

Химический состав касситеритов*

	Ti	Mn	Cu	Sn	Se	W	Nb	Ag	La	Zr	Mo
1. Касситерит из Мегри	0,03	0,01	0,001	>5	0,003	0,01	0,03	0,0003	0,01	0,01	0,001
2. Касситерит из Памбака	0,2	0,03	0,003	>10	0,005	0,03	0,1	0,001	0,03	0,03	0,003

* Приближенно-количественные анализы выполнены в спектральной лаборатории ИГН АН АрмССР (М. Я. Мартиросян)

Ильменорутил - $\text{Fe}_x \text{Ti}_{3-3x} (\text{Nb}, \text{Ta})_{2x} \cdot \text{O}_6$

стрюверит - $\text{Fe}_x \text{Ti}_{3-3x} (\text{Ta}, \text{Nb})_{2x} \text{O}_6$. Обе разновидности представляют собой твердые растворы FeNb_2O_6 и FeTa_2O_6 в TiO_2 и различаются лишь по соотношению Nb и Ta.



Рис. 23. Касситерит (Cs) среди теннантита (Tn); рядом — пирит (Py). Полир. шлиф, увел. 180. Месторождение Мец-дзор. По И. Г. Магакьяну.

Образуют таблитчатые тетрагонально-призматические кристаллы, нередко дипирамидального габитуса (рис. 24). Хорошо

развиты грани призмы (100), (010) и (110) и бипирамиды (111). Часть двойники по (101). Реже встречаются пластинчатые зерна (рис. 25) и агрегаты неправильной формы. Грани кристаллов

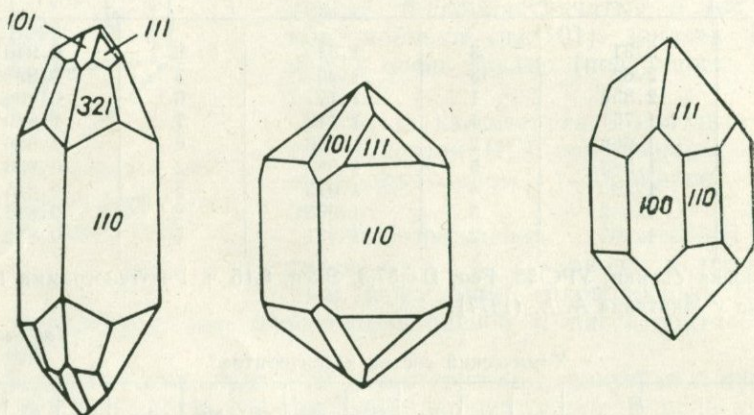


Рис. 24. Формы кристаллов ильменорутила и стрюверита. По Б. М. Мелик-сетяну.

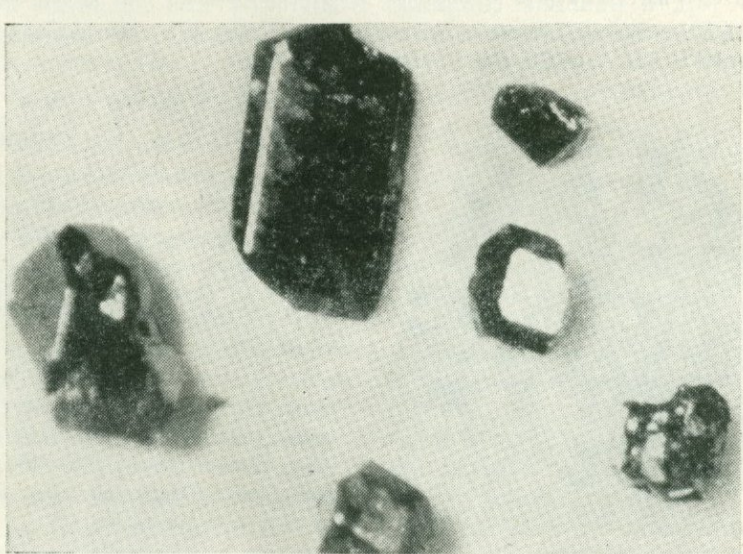


Рис. 25. Пластинчатые уплощенные формы выделений ильменорутила. Намбакский хребет. Увел. 24. По Б. М. Мелик-сетяну.

гладкие, блестящие. Блеск сильный металлический. Цвет ильменорутила черный, стрюверита буро-коричневый с синевато-зеленоватым оттенком. Непрозрачны, иногда просвечивают буро-красным цветом в тонких осколках и сильно плеохроируют.

Таблица 30

Межплоскостные расстояния ильменорутила
(Памбак), стрюверита (Мегри)*

Ильменорутил		Стрюверит		Ильменорутил		Стрюверит	
I	d/n	I	d/n	I	d/n	I	d/n
5	3,66	5	3,65	5	1,367	5	1,374
9	3,260	9	3,273	3	1,350	4	1,293
8	2,508	8	2,511	—	—	2	1,260
2	2,311	—	—	1	1,173	5	1,189
4	2,209	—	—	—	—	2	1,168
2	2,063	5	2,071	3	1,096	3	1,099
—	—	3	1,886	2	1,083	7	1,056
—	—	3	1,744	4	1,047	5	1,049
10	1,694	10	1,708	4	1,041	4	1,042
6	1,627	4	1,648	4	0,890	—	—
2	1,482	3	1,506	4	0,877	—	—
4	1,455	10	1,466	5	0,820	—	—

* Анализ выполнен в рентгеновской лаборатории ИГН АН АрмССР Э. Х. Хуршудян. Условия съемки: УРС-55, Fea, D=57,3, эксп. 12 ч. и 4,5 ч. Ильменорутил прокален 1 час t=900°.

Рентгенометрический анализ (табл. 30) показал изоструктурность ильменорутила и стрюверита. Параметры элементарной ячейки: ильменорутил: $a_0=4,62$, $c_0=2,96$; стрюверит: $a_0=4,712$, $c_0=2,99\text{ \AA}$.

Более высокие значения параметров элементарной ячейки стрюверита по сравнению с ильменорутилом связаны с вхождением в кристаллическую решетку Ta^{5+} ($r_0=0,73 \text{ \AA}$).

Следует отметить и различия в ассоциирующих минералах и условиях нахождения ильменорутила и стрюверита. Ильменорутил обычно ассоциирует с титано-ниобиевыми и редкоземельными минералами в бесфеновых разностях пегматитов, альбитизированных и мусковитизированных щелочных сиенитах Тежсарского и Шванидзорского щелочных комплексов, а также во флюорит-биотитовых метасоматитах. Стрюверит преимущественно встречается в гранитных пегматитах, особенно в разностях с отчетливо проявленным поздним альбит-мусковитовым комплексом в ассоциации с турмалином, эвксенитом, мусковитом, самарским, га-

долинитом и иттриалитом (Мегринский plutон). Реже стрюверит встречается в альбититовых метасоматитах, в пределах Цахкуняцкого древнего кристаллического массива в ассоциации с колумбитом, давидитом, кассiterитом, рутилом и др.

По данным спектральных анализов, ильменорутил и стрюверит содержат ряд редких элементов (табл. 31).

Таблица 31

Химический состав ильменорутила и стрюверита
(по данным спектральных анализов)

Минерал	Ti	Nb	Ta	Y	Zr	Sn	V	Cu	U	Th
Ильменорутил	>10	>5—10	0,03	0,03	0,003	0,003	0,05	0,01	0,01	0,3
Стрюверит	>10	>10	3—5	0,1	0,003	0,003	0,01	--	0,03	0,1

Теллурит—TeO₂. Химически—двуокись теллура: Te—79,94%, O—20,06%.

Сингония ромбическая. Цвет белый, желтовато-белый или медово-желтый. Блеск алмазный. Твердость 2,0, уд. вес 5,9. Прозрачный. В проходящем свете бесцветен. Двусный. Погасание прямое. Оптические константы: Ng=2,35, Nm=2,18, Nr=2,0, Ng—Nr=0,35.

В отраженном свете отражательная способность низкая (как у жильных минералов). Легко плавится и улетучивается.

Белые или желтовато-белые порошковатые налеты теллурита обнаружены совместно с бисмитом, бисмутитом, монтанитом, блекитом, гидроокислами железа, марганца, мышьяка, сурьмы и другими окислами в зоне окисления Зодского и Меградзорского месторождений. Здесь встречается спорадически и является непосредственным продуктом окисления теллуридов. Иногда образует игольчатые, тонкопластинчатые, радиально-лучистые агрегаты.

Полуколичественным спектральным анализом в теллурите установлены (%): Bi, Te—3—10; Fe, Cu, Sb, Au—1—3; Zn—0,3—1; Ni, Pb, Ag—0,1—0,3; Ti, V, Cr, As—0,001—0,03.

Рамсделлит—MnO₂. Теоретический состав (в %): Mn—63,19 (Минералы, 1965).

На территории АрмССР рамсделлит широко развит на Севкар-Саригюхском месторождении марганца (Яшвили, 1971, 1978). Он встречается в тесной ассоциации с пиролюзитом-полианиитом в рудах экскавационно-осадочного и раннего гидротермального типов в виде прожилков. В зоне дробления цементирует брекчию вмещающих пород.

Рамсделлит кристаллизуется в ромбической сингонии. Образуется в тесной ассоциации с пиролюзитом в виде хорошо разви-

тых радиально-лучистых агрегатов (рис. 26). Длина «лучей» достигает 5—8 мм. Макроскопически рамсделлит темно-серый до железно-черного цвета. Чешуя черно-бурая, иногда красноватая. Блеск металлический. Обладает совершенной спайностью по (001). В отличие от пиролюзита-полианита, который образует игольчатые длиннопризматические агрегаты, рамсделлит встречается в виде короткопризматических образований.



Рис. 26. Рамсделлит радиально-лучистого строения. Штуф, увел. З. Севкар-Саригюхское месторождение. По Л. П. Яшвили.

Под микроскопом в отраженном свете рамсделлит белый со слабым желтоватым оттенком (в полях пиролюзита—белый). Отражательная способность умеренная—порядка 26—27%. Двуотражение отчетливое. Эффекты анизотропии сильные, но слабее, чем у пиролюзита. Оптические свойства в иммерсии усиливаются. В отличие от пиролюзита в иммерсии часто наблюдаются темно-красные внутренние рефлексы. Образует сплошные поля мелкозернистых агрегатов; часто в полях пиролюзита заметны прожилки, вкраепленники, гнезда в виде сферолитов. Под микроскопом обнаруживает «паркетовидную» структуру, обусловленную плоскостями спайности. Последние в отличие от пиролюзита пе-

рессекаются исключительно под углом 90°. 8%-ной сернистой кислотой (H_2SO_3) не травится.

По данным приближенно-количественного спектрального анализа, образцы чисто отобранного рамсделлита содержат следующие элементы-примеси (в %): Si—0,4; Al—0,8; Mg—0,6; Ca—0,8; Fe—0,07; Ni—0,013; Co—0,004; Ti—0,002; V—0,015; Mo—0,002; Cu—0,07; Pb—0,003; Zn—0,3; Ge—0,0005; Ga—0,0003; Ba—0,01; Na—0,01; Li—0,0008; Be—0,0004.

На рис. 27 приведена кривая нагревания рамсделлита из Севкар-Саригюхского месторождения, на которой отчетливо видны слабые экзотермические изгибы при 230° и 360°, вызванные небольшой примесью гидроокислов марганца. Сильные эндотермические эффекты при 730° и 990° соответствуют эталону рамсделлита (Халилова, 1969).

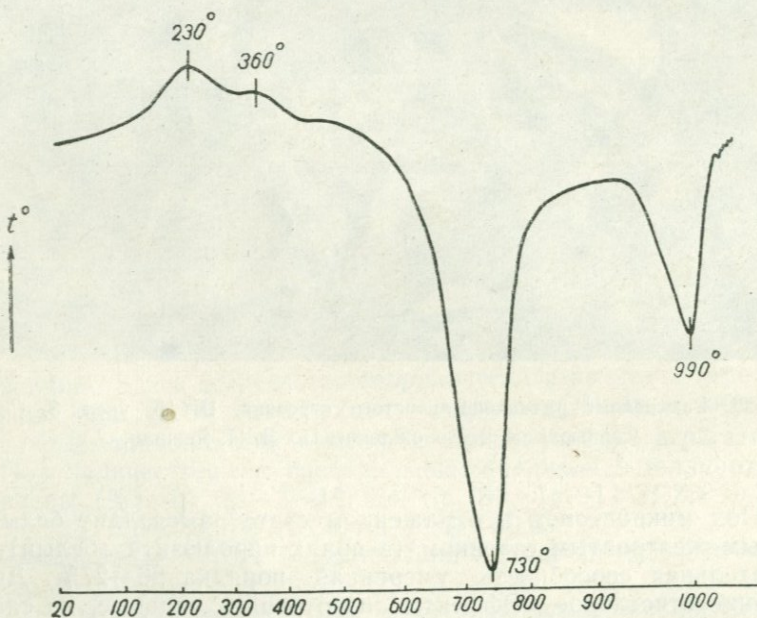


Рис. 27. Кривая нагревания рамсделлита из Севкар-Саригюхского месторождения. По Л. П. Яшвили.

В табл. 32 приведены результаты рентгеноструктурного анализа рамсделлита из Севкар-Саригюхского месторождения.

Межплоскостные расстояния рамсделлита*

I	d n	I	d n
10	4,06	2	1,54
9	2,52	9	1,47
7	2,41	3	1,43
8	2,38	10	1,35
8	2,13	2	1,32
4	2,06	3	1,248
8	1,89	1	1,153
9	1,65	1	1,120
9	1,61	10	1,070

* Центральная лаборатория Армгеол. управления. Условия съемки: УРС-70, Feα,β, D=57,3, d=0,5, эксп. 10 ч. Аналитик Мхитарян Р. Г.

Б. ОКИСЛЫ СЛОЖНЫЕ И ГИДРООКИСЛЫ

Шпинель—MgAl₂O₄. По химическому составу шпинели, распространенные в природе, относятся к бинарным окислам, которые по типу кристаллической структуры разделяются на нормальные шпинели с общей формулой AB₂O₄ и инверсионные—B[AB]O₄, где A ионы могут быть представлены двухвалентными металлами—Mg, Mn²⁺, Zn, Fe²⁺, Co²⁺, Ni²⁺, Cd, Cu, а B-ионы—трехвалентными металлами—Fe³⁺, Al³⁺, Cr³⁺, Mn³⁺, V³⁺ и др.

По преобладанию катиона B в химическом составе шпинели и физическим свойствам различают: алюмошпинели, ферришпинели, хромшпинели, титано- и ванадиошпинели.

Сингония кубическая. Для шпинели обычно характерны хорошо ограненные октаэдрические, реже—ромбододекаэдрические кристаллы; образует также комбинационные формы—полисинтетические и сложные двойники.

Шпинелиды составляют довольно большую группу, которая объединяет многочисленные минеральные разновидности. В шпинелях широко проявлены замещения двух- и трехвалентных элементов A и B, что приводит к многообразию минералов промежуточного состава.

Здесь приводится лишь краткая характеристика одной разновидности шпинели—плеонаста, имеющей широкое распространение в железных рудах титаномагнетитовой формации Армянской ССР.

Плеонаст в виде твердого раствора образует тонкие срастания с магнетитом и ильменитом в титаномагнетитовых рудах Сваранского и Камакарского месторождений.

Титаномагнетитовые руды, связанные пространственно и генетически с основными-ультраосновными породами ранней фазы Арамаздского гранитоидного массива (Сваранское) и Мегринского plutона (Камакарское), имеют собственно магматические (гистеромагматическое) происхождение. Геолого-генетические и минералого-геохимические особенности обоих месторождений, в титаномагнетитовых рудах которых развит плеонаст, специально рассматриваются в ряде работ (Межлумян Г. Б., 1970, 1974).

Микроскопическое изучение полированных шлифов титаномагнетитовых руд Сваранского и Камакарского месторождений позволило установить интересные срастания магнетита с ильменитом и плеонастом.

Плеонаст— $(\text{Mg}, \text{Fe})\text{Al}_2\text{O}_4$ представляет собой железомагнезиальную разность шпинели, имеющей промежуточный химический состав между герцинитом и алюмошпинелью, или собственно шпинелью.

Плеонаст входит в состав титаномагнетита, образуя в магнетите решетчатую, пластинчатую, эмульсионидную и др. структуры распада твердого раствора. При изучении титаномагнетитовых руд упомянутых железорудных месторождений были установлены цепочковидные, изометрические, прямоугольные и шестиугольные (часто с закругленными углами) формы выделения шпинели.

Под микроскопом диагностические признаки следующие: отражательная способность (R) 7—8%, т. е. выше, чем у обычных жильных минералов. Цвет коричневато-бурый, темно-серый с слабо коричневатым оттенком, в иммерсии почти черный. Оптически изотропен. Твердость очень высокая, порядка 7—8. Чета—белая до полупрозрачной. Магнитность слабая. Стандартные реактивы не действуют. Показатель преломления (N) не определен, ввиду очень малых размеров выделений. В проходящем свете непрозрачен.

Химический анализ (табл. 33) отобранного титаномагнетита с включениями шпинели показал следующие результаты:

Таблица 33

№ пробы	Компоненты		FeO	Fe ₂ O ₃	TiO ₂	MgO	Al ₂ O ₃	V ₂ O ₅	SiO ₂	CaO	Сумма
	Компоненты	Компоненты									
250			32,06	51,64	7,22	2,85	3,07	0,62	1,01	0,93	99,40

Исходя из диагностических признаков и парагенетических особенностей определяемого минерала, а также химического состава титаномагнетита (в котором количество Al_2O_3 достигает 3,07%), и, наконец, учитывая генетическую связь с ультраосновными и основными породами, минерал можно отнести к магний-железосодержащему типу шпинели—плеонасту ($(\text{Mg}, \text{Fe})\text{Al}_2\text{O}_4$).

Для выяснения геологических условий образования шпинели, необходимо вкратце остановиться на минеральном составе титаномагнетитовых руд, взаимоотношениях магнетита, ильменита и шпинели, а также на некоторых их структурных особенностях.

В минеральном составе титаномагнетитовых руд принимают участие магнетит, ильменит и шпинель.

Магнетит является главным рудообразующим минералом и пользуется наиболее широким распространением в месторождении.

Ильменит представлен как неправильными выделениями, располагающимися между зернами магнетита, так и пластинками внутри магнетита вдоль его кристаллографических направлений.

Характерными особенностями титаномагнетитовых руд Сваранского и Камакарского месторождений являются широкое развитие шпинели и тесное срастание ее с титаномагнетитом в самых разнообразных микроструктурных взаимоотношениях. Парагенезис и структуры распада твердых растворов магнетита, ильменита и шпинели свидетельствуют об общности геологических условий их образования. При этом в зернах магнетита и титаномагнетита наблюдаются различные формы выделений шпинели, которые можно подразделить на две группы: а) изометрические, б) удлиненные.

Большинство форм пластинчатых и часть изометрических выделений шпинели располагаются вдоль кристаллографических направлений магнетита. Как известно, тонкие пластинки ильменита в основном располагаются параллельно октаэдрическим граням магнетита, а пластинчатые или дисковидные выделения—параллельно граням куба.

Внутри зерен магнетита изометрические и призматические формы проявляются как отдельно, так и совместно. В полированных шлифах различной ориентировкой зерен магнетита обусловлено то или иное расположение выделений шпинели. Размеры выделений шпинели колеблются в пределах от тысячных до сотых долей миллиметра.

Одним из главных факторов образования мелких включений шпинели является, вероятно, низкое содержание Al_2O_3 , а также дальнейшем смена постоянного и медленного понижения температуры твердого раствора на резкое, что обусловило образование-

неполных и несовершенных структур распада твердых растворов шпинели в магнетите и титаномагнетите.

Экспериментальным путем показано, что гомогенный раствор шпинели с магнетитом образуется при температуре 1000°C, а распад шпинели с магнетитом происходит при 800°C.

В титаномагнетитовых рудах Сваранцского и Камакарского месторождений образование шпинели следует генетически связывать с основными и ультраосновными породами Арамаздского интрузива и Мегринского plutона соответственно.

Химические анализыrudовмещающих пород ирудных выделений Сваранцского месторождения показывают, что магма была богата FeO и MgO, но довольно бедна кремнеземом и щелочами, вследствие чего реакция Al₂O₃ с вышеупомянутыми окислами обусловила появление промежуточного окисла типа R''R'''O₄ или R''O·R₂'''O₃, т. е. соединений типа шпинели.

Якобсит—(Mn, Fe)₃O₄. Теорет. состав (в %): MnO—30,76; Fe₂O₃—69,24 (Михеев, 1955).

Якобсит кристаллизуется в кубической сингонии. Зерна его имеют преимущественно октаэдрический и ромбододекаэдрический габитус. Образуется в высокотемпературных гидротермальных и метаморфизованных марганцевых рудах в тесной ассоциации с гаусманитом, магнетитом и браунитом. От магнетита к якобситу в природе существует непрерывный ряд изоморфной смеси Mn₃O₄ и Fe₃O₄. Мезон предлагает называть якобситом твердый раствор с содержанием Mn₃O₄ от 16,7 до 54%. Твердый раствор с формулой 3Mn₃O₄·2F₃O₄ некоторые исследователи называют «вреденбургитом», который, по данным Мезона (1943), состоит из двух компонентов, якобсита и гаусманита, продуктов распада высокотемпературного материала. С изменением содержания марганца у якобсита меняются физические свойства.

Макроскопически цвет якобсита черный или буровато-черный. Чешуя—бурая. Блеск металлический, у разностей с высоким содержанием марганца—полуметаллический. Магнитные свойства колеблются от сильных до слабых—по-видимому, находятся в обратной зависимости от содержания Mn₃O₄.

В полированных шлифах под микроскопом якобсит серого цвета. От магнетита отличается оттенком. Если для последнего характерны розово-бурые и коричнево-бурые тона, то якобсит обладает оливковым или оливково-бурым оттенком. Интенсивность окраски меняется в зависимости от содержания марганца—с повышением последнего усиливается оливковый оттенок. Отражательная способность у якобсита низкая, порядка 19—20%, чуть ниже, чем у магнетита. Изотропен. В отличие от магнетита для якобсита характерны красные или красно-бурые внутренние рефлексы, которые наблюдаются лишь в иммерсии.

На территории Армянской ССР якосит широко развит в вулканогенно-осадочных метаморфизованных железо-марганцевых рудах Чайкендского месторождения (Яшвили, 1967). Здесь он образует сплошные тонкозернистые массы в тесных срастаниях с магнетитом. Встречается также в виде вкрапленников в полях, родонита и спесартина. Под микроскопом обнаруживает, главным образом октаэдрические формы, но в большинстве случаев выпадает после магнетита, выполняя пространство между скоплениями последнего гипидиоморфным агрегатом. В отдельных октаэдрических зернах при больших увеличениях наблюдаются тончайшие пластинки гаусманита (структура распада твердого раствора). Присутствие гаусманита подтверждается наличием характерных для гаусманита линий на дебаеграмме якосита.

В небольшом количестве якосит обнаружен в рудах Кармрашенского и Саринарского проявлений марганца.

В рудах Кармрашенского проявления якосит имеет гидротермальное происхождение. Он выпадает из высокотемпературных растворов в тесной ассоциации с браунитом, гаусманитом и магнетитом в небольшом количестве. По-видимому, в рудах Кармрашенского проявления в момент рудоотложения температура среды хоть и была высокая, но предела, при котором мог образоваться «вреденбургит» не достигала. Этим можно объяснить раздельное сонахождение в рудах указанного проявления якосита и гаусманита. Изучение текстурно-структурных особенностей кармрашенских руд под микроскопом показывает, что якосит выпадал раньше гаусманита — якосит образует тонкозернистые и скрытокристаллические скопления, а гаусманит, образовываясь несколько позже, выполняет пустоты между выделениями якосита.

На Саринарском проявлении якосит имеет весьма ограниченное распространение (Яшвили, 1971). Он в небольшом количестве развивается среди экскальационно-осадочных руд кремнисто-вулканогенной формации в виде вкрапленников и небольших обособленных гнезд, сложенных скрытокристаллическими агрегатами. В отдельных случаях встречается как продукт распада вреденбургита (рис. 28).

В табл. 34 приведены наиболее характерные линии на дебаеграммах якосита из марганцевых руд Армянской ССР.

Приближенно-количественными спектральными анализами магнитной фракции руд Чайкендского и Кармрашенского проявления, представленной смесью якосита и манганита (в пробе Чайкендского проявления эти два минерала присутствуют в приблизительно равных количествах, а из руд Кармрашенского проявления — манганит находится в резко подчиненном количестве) ус-

становлены следующие содержания элементов-примесей в % (табл. 35).

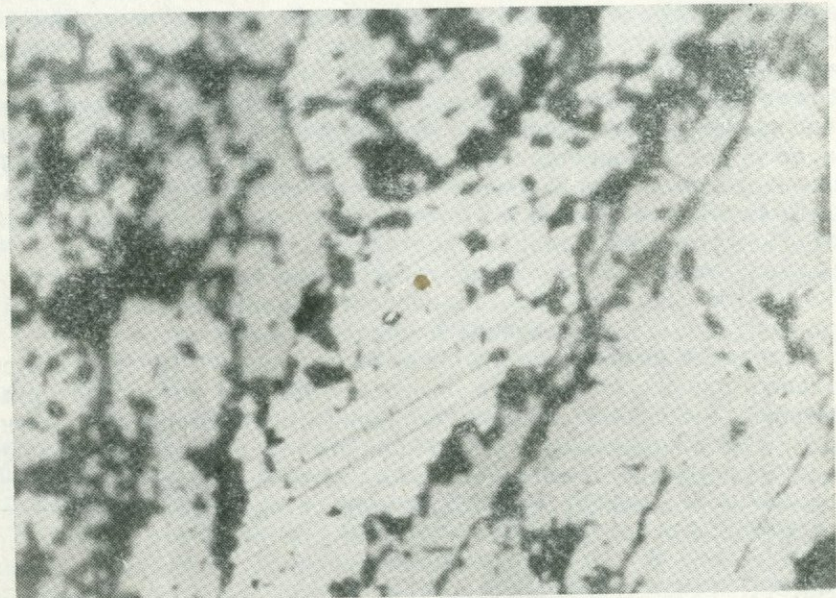


Рис. 28. Якобсит, образованный в результате распада «вреденбургита». Отчетливо видны пластинки гаусманита. Полир. шлиф, увел. 500. Сарниарское проявление марганца. По Л. П. Яшвили.

Таблица 34

Межплоскостные расстояния якобсита

Чайкаидское железо-марганцевое месторождение		Сарниарское проявление марганца	
I	d/n	I	d/n
7	2,97	—	—
—	—	4	2,74
10	2,511	5	2,51
7	2,087	10	2,08
8	1,607	1	1,61
9	1,480	4	1,46
8	1,09	—	—

Лаборатория ИГН АН АрмССР, Ревазова Н. В. Условия съемки: УРС-55, Feα, β, D=57,3, шарик, эксп. 21 ч.

Данные приближенно-количественных спектральных анализов якобсита
(аналитик Мартиросян М. Я.)

Элементы	Чайкендское проявление	Кармрашенское проявление	Элементы	Чайкендское проявление	Кармрашенское проявление
Si	0,3—1	4,2	Ni	0,003—0,14	0,0013
Al	0,3	4,2	Ti	0,03	0,075
Mg	0,03—0,1	(0,75)	V	0,003—0,03	—
Ca	0,3—1	1,3	Cr	0,001	—
Fe	3—10	5,6	Cu	0,003—0,05	0,003
Na	0,03—0,01	0,032	As	0,03—0,1	0,01
K	—	0,042	Zn	0,03—0,1	—
Mn	3—10	>10	Ge	0,0003—0,001	—

Магнетит — $\text{Fe}^{2+}\text{Fe}_2^{3+}\text{O}_4$. Магнетит входит в группу минералов двойных окислов — $\text{RO}\cdot\text{R}_2\text{O}_3$ т. е. $\text{FeO}\cdot\text{Fe}_2\text{O}_3$ типа шпинели. Синг. кубическая; для магнетита характерны октаэдрические, реже ромбододекаэдрические кристаллические формы (111), (110), (100) и (311). Обычно образует сплошные зернистые массы в рудных концентрациях, а в породах различных комплексов — вкрапленники. Магнетит хрупок, излом неровный, раковистый, твердость 5,5—6. Микротвердость магнетитов из железных руд различных генетических типов АрмССР варьирует в широких пределах — от 467 до 693 кгс/мм². Блеск металлический, иногда полуметаллический или матовый. Цвет магнетита железо-черный. Цвет черты — черный. Уд. вес 4,8—5,4. Сильно магнитен. Непрозначен при проходящем свете. В отраженном свете под микроскопом изотропен. В отдельных случаях проявляет заметную анизотропность. Под микроскопом в отраженном свете цвет серый со слабо буроватым или голубоватым оттенком. Отражательная способность 21 %. Стандартные реактивы почти не действуют на магнетит. Концентрированная HCl действует (поверхность буреет).

При структурном травлении (HCl) магнетиты Абовянского месторождения проявляют зональное строение; такая структура отчетливо видна среди мартитизированных зерен магнетита.

Теорет. состав (в %): FeO — 31,03 и Fe_2O_3 — 68,97.

В магнетитах, распространенных на территории АрмССР, в качестве элементов-примесей присутствуют: Ti, V, Mg, Mn, Ni, Co, Cr, Cu, Al, Si и др. элементы.

Все железорудные месторождения и проявления АрмССР группируются в семь железорудных формаций: собственно-магматическую, kontaktово-метасоматическую (скарновую), гидротермально-метасоматическую, осадочно-метаморфогенную, экскалиационно-осадочную, осадочную (прибрежно-морские россыпи).

Магнетит собственно магматического (гистеромагматического) происхождения развит в ультраосновных и основных рудоносных верхненеоцен-олигоценовых интрузивных комплексах Мегринского и Баргушатского рудных районов, входящих в Памбак-Зангезурскую структурно-металлогеническую зону Арм ССР.

В габброидах, пироксенитах, амфиболитах и оливинитах отмеченных рудных районов магнетит проявлен в виде густых вкраплений, прожилков, гнезд, линз, шлиров, полосок, сгустков и других форм выделений на Сваранцском и Камакарском месторождениях.

Железные руды обоих месторождений представляют собой ультраосновные породы: пироксениты, амфиболиты и оливиниты, богатые магнетитом, титаномагнетитом, с подчиненным значением ильменита.

Таблица 36

Полуколичественные спектральные анализы ранне- и позднемагматических магнетитов Сваранцского железорудного месторождения, в %

	10 ^a	10 ⁶	28	159	231 ^b	250
Si	5,0	1—3	1—5	0,3—1,0	1,0	1,0
Al	3,0	0,3	0,3	3,0	3,0	3—10
Mg	1—3	0,3	1—3	3—10	3—10	3—10
Ca	1—3	0,3	1—3	0,03—0,1	0,1	0,03
Fe	>10	>10	>10	>10	>10	>10
Mn	0,3	0,3	0,3	0,3	0,3	0,3
Ni	0,03	0,003	0,01	0,1	0,03—0,1	0,03
Co	0,01—0,03	0,003	0,01	0,03	0,01	0,01—0,03
Ti	3,0	1,0	1—3	3—10	3,0	3,0
V	0,1—0,3	0,03	0,1—0,3	0,3—1,0	0,1—0,3	0,3—1,0
Cr	—	0,001	0,003	0,01—0,03	0,1—0,3	1,0
Zr	0,003—0,01	—	?	0,01	0,001—0,003	0,003
Cu	0,1	0,03	0,01	0,01—0,03	0,0003—0,001	0,001
Ga	0,1—0,3	0,003	0,01	0,03	0,03	0,03
Sr	×	0,003	×	0,001	0,001	0,0003

Наименование проб: № № 10^a и 10⁶—магнетиты из амфиболизированных габбро; № 28—магнетит из оливиновых габбро; № № 231^b, 1/59 и 250 магнетиты из массивных титаномагнетитовых руд.

Одной из наиболее характерных специфических особенностей магнетитов собственно магматических месторождений АрмССР является постоянное присутствие структуры распада твердых растворов шпинели, реже ильменита в зернах магнетита.

Химическими и спектральными анализами в магнетитах из железных руд и вмещающих габброидов собственно магматической титаномагнетитовой формации установлено: Zn, Pb, Ag, Li, Ba, Nb, Ta, Y, Yb, Ge, Au, Pt и элементы¹⁾ ее группы, высокое содержание Ti, V, Mg, Mn, Ni, Co (табл. 36).

¹⁾ Содержание платины и элементов ее группы, а также золота в магнетитах определено также пробирным методом анализа.

Результаты химических анализов, пересчеты на изоморфный состав (миналы) показывают, что соотношение окиси и закиси железа исследуемых магнетитов Сваранцского и Камакарского месторождений несколько отличается от теоретического соотношения обычных магнетитов. В рассматриваемых магнетитах коэффициент соотношения окисного железа к закисному всегда больше, чем этот коэффициент обычных магнетитов (табл. 37). В этих

Таблица 37

Химический состав магнетитов Сваранцского и Камакарского
железорудных месторождений, в %

<u>№№ проб</u>	10/60	250/60	1/59	КМ—5/64	300 ^м /75
<u>Окислы</u>					
SiO ₂	5,60	1,01	1,72	2,81	3,32
TiO ₂	5,27	7,22	8,52	3,69	1,98
Al ₂ O ₃	не опр.	3,07	не опр.	3,80	3,58
Fe ₂ O ₃	52,15	51,64	54,70	59,90	58,06
FeO	33,40	32,06	31,86	24,55	27,49
MnO	0,29	не опр.	0,29	0,23	0,25
CaO	не опр.	не опр.	не опр.	не опр.	2,82
MgO	0,79	2,85	3,38	5,33	2,47
Na ₂ O	не опр.	не опр.	не опр.	0,10	0,40
K ₂ O	не опр.	не опр.	не опр.	0,10	0,19
P ₂ O ₅	не опр.	не опр.	не опр.	не опр.	0,13
V ₂ O ₅	0,15	0,62	0,20	0,22	0,22
Cr ₂ O ₃	0,25	не опр.	не опр.	не опр.	не опр.
Сумма	98,70	98,47	100,67	100,54	100,99
(Fe общ.)	63,04	61,08	63,07	61,02	62,02
<u>Минералы в %</u>					
Магнетит	73,09	72,95	70,11	63,42	81,26
Ильменит	7,38	13,03	11,03	6,10	4,03
Шпинель	19,43	14,02	15,09	27,51	13,91
Якосит	0,10	—	3,77	3,97	0,80

Примечание: спектральными анализами в единичных пробах магнетитов из амфиболизированных габбро обнаружено 0,003% Pb; 0,1—0,3% Zn; 0,001% Li и 0,0001% Ag, а в магнетитах из массивных богатых руд—0,0001—0,0003% Ge (анализы проведены в ИГН АН АрмССР, аналитик Мартirosyan M. Я.).

Наименование проб: 10/60—магнетит из рудовмещающих оливиновых габбро Сваранцского месторождения; 250/60 и 1/59—магнетиты из богатых массивных титаномагнетитовых руд Сваранцского месторождения; КМ-5/64—магнетит из богатых массивных титаномагнетитовых руд Камакарского месторождения; 300^м/75—магнетит из рудных пироксенитов Камакарского месторождения (анализы произведены в ИГН АН АрмССР, аналитик Гаспарян З. Ш.).

магнетитах по сравнению с магнетитами других железорудных формаций содержание магнетитовой молекулы довольно низкое (от 63,42 до 81,26%), а шпинелевой молекулы, наоборот, высокое от 13,91 до 27,51%.

Магнетит в железорудных месторождениях гидротермально-метасоматического происхождения является наиболее распространенным рудным минералом.

По данным многочисленных химических, количественных и полуколичественных спектральных анализов приводится содержание характерных элементов для магнетитов Абовянского железорудного месторождения (табл. 38, 39, 40).

Таблица 38

Приближенно-количественные анализы* магнетитов (10 проб) Абовянского железорудного месторождения (%)

Эле- менты	Пределы содер- жаний от—до	Среднее содер- жание	Эле- менты	Пределы содер- жаний от—до	Среднее содер- жание
Si	0,13 — 1,0	0,44	Zr	0,00018—0,0042	0,00077
Al	0,024 — 0,42	0,135	Nb	0,00056—0,0013	0,0008
Mg	0,42 — 1,3	0,66	Cu	0,00042—0,0024	0,00143
Ca	0,006 — 0,75	0,129	Pb	0,00032—0,013	0,0007
Fe	>10,0	>10,0	Zn	0,0013—0,042	0,016
Na	0,013 — 0,13	0,048	Sn	не обн.—0,0024	0,00032
Mn	0,0075—0,10	0,013	Ga	не обн.—0,0032	0,0003
Ni	0,0013—0,075	0,027	Y	не обн.—0,001	0,0003
Co	0,0018—0,010	0,0046	Ba	0,010 — 0,075	0,034
Ti	0,0010—1,0	0,192	Ge	не обн.—0,00013	0,0007
V	0,0042—0,075	0,031	Be	не обн.—0,00018	0,0007

Примечание: Спектральные анализы показали в двух пробах 0,000006% Ag, в единичных пробах—0,001% La и Yb и 0,024% Sr.

* Анализы выполнены в спектральной лаборатории ИГН АН АрмССР Мартиросяном М. Я.

Магнетит в скарновых железорудных месторождениях является главным рудообразующим минералом. В разных типах скарновых железных руд магнетит тесно ассоциирует с различными минералами: гранатом, пироксеном, эпидотом, апатитом, амфиболом, скаполитом, пиритом, халькопиритом и др. В скарнах магнетит образует мелко- и среднезернистые сплошные массы, а также ксеноморфные зерна по отношению к ранневыделевшимся скарновым минералам (гранату, пироксену, эпидоту).

Магнетиты из скарновых железных руд Разданского, Базумского, Ахавнадзорского и других месторождений проявляют следующие особенности.

Таблица 39

Химические анализы* магнетитов Абовянского железорудного месторождения, в %

№ № проб Компоненты	719/68	932/76	700/68	5/76	1/77	Среднее
SiO ₂	1,07	0,86	1,98	1,23	1,50	1,32
TiO ₂	0,33	0,21	0,20	0,26	0,64	0,38
Al ₂ O ₃	0,25	2,88	0,34	0,34	1,06	1,26
Fe ₂ O ₃	68,00	68,00	68,80	69,41	65,41	67,92
FeO	27,14	26,00	25,84	27,29	30,87	27,42
MnO	0,35	н. о.	0,12	0,02	0,17	0,15
CaO	0,48	н. о.	0,95	0,81	0,20	0,48
MgO	0,75	1,73	1,20	0,60	0,10	0,87
H ₂ O	0,06	0,03	0,02	н. о.	н. о.	0,02
п. п. п.	0,65	н. о.	0,26	н. о.	н. о.	0,18
P ₂ O ₅	0,02	н. о.	0,51	0,30	0,25	0,21
NiO	0,012	не опр.	0,095	не опр.	не опр.	0,05
CoO	0,019	не опр.	0,013	не опр.	не опр.	0,016
Cr ₂ O ₃	не опр.	0,01	не опр.	не опр.	0,02	0,015
S	0,06	0,02	0,03	не опр.	не опр.	0,037
Сумма	100,10	99,75	99,56	99,60	100,22	
М и н а л ы, в %						
Магнетит	87,90	89,00	91,73	95,62	97,70	
Ильменит	0,80	0,40	0,51	0,60	1,30	
Шпинель	10,13	10,60	7,36	3,80	0,50	
Якобсит	1,17	—	0,40	0,08	0,50	
Сумма	100,00	100,60	100,00	100,00	100,00	

Наименование проб: № № 719/68, 700/68 и 5/76—магнетиты из массивных, богатых магнетит-апатитовых руд; № № 932/72 и 1/77—магнетиты из брекчий-видных и прожилковых магнетит-апатитовых руд.

* Анализы проб № № 719/68 и 700/68 проведены в лаборатории силикатного анализа Института геохимии и физики минералов АН УССР, аналитик А. А. Стрыгина. Анализы проб № № 5/76, 932/72 и 1/77—произведены в химической лаборатории ИГН АН АрмССР, аналитики С. Г. Чаталян и Г. М. Джрабшян.

Магнетит в скарнах Разданского железорудного месторождения парагенетически ассоциирует с гранатом и эпидотом; в них он образует мелкие неправильные зерна (размером 0,004—0,7 мм) с разрозненными и расплывчатыми контурами. Магнетит здесь развивается метасоматически по гранатам и эпидотам, часто повторяя контуры зерен этих минералов.

Таблица 40

Количественные спектральные анализы* магнетитов Абовянского железорудного месторождения, в %

№№ п/п	№№ проб	Элементы						
		Ti	Mn	V	Ni	Co	Cr	Cu
1	700 ^г /68	0,028	0,12	0,07	0,068	0,010	0,009	0,0021
2	912/72	0,032	0,10	0,08	0,064	0,013	0,001	0,0120
3	1/75	0,040	0,14	0,11	0,089	0,018	0,001	0,0024
4	719/68	0,085	0,11	0,13	0,078	0,013	0,009	0,0032
5	706 ^м /68	0,160	0,11	0,11	0,068	0,0035	0,0049	0,0040
6	716 ^м /68	0,320	0,078	0,19	0,083	0,010	0,0069	0,0025
7	710/68	0,360	0,08	0,32	0,071	0,011	0,013	0,0030
8	713/68	0,510	0,07	0,25	0,074	0,012	0,009	0,0049
Среднее из 8 анализов		0,191	0,10	0,16	0,074	0,011	0,006	0,0030

Наименование проб: № № 719/68, 700^г/68, 1/75—магнетит из массивных богатых магнетит-апатитовых руд; № № 716^м/68, 710/68 и 713/68—магнетит из брекчиивидных магнетит-апатитовых руд; № № 912/72 и 706^м/68—магнетит из прожилково-вкрапленных магнетитовых руд.

* Анализы выполнены в спектральной лаборатории ИГН АН АрмССР.

Содержание магнетита в скарнах Базумского, а также Разданского месторождений варьирует в широких пределах—от редких тонких вкрапленников, вплоть до почти мономинеральных массивных магнетитовых руд.

По химическому составу магнетиты из сплошных и прожилково-шлировых магнетитовых и магнетит-апатитовых руд Ахавнадзорского месторождения обычно приближаются к теоретическому составу магнетита (табл. 41).

Магнетиты Разданского, Ахавнадзорского, Базумского месторождений характеризуются большим набором элементов-примесей (табл. 41, 42, 43, 44).

Для разданских магнетитов характерно сравнительно высокое содержание марганца, никеля, кобальта, цинка, хрома и низкое—титана и меди.

Магнетиты сравниваемых железорудных месторождений несколько отличаются также по среднему содержанию Ti, V, Co и резко отличаются по содержанию Cr, Ni, Cu и других элементов (табл. 44).

Магнетит в магнетитовых кварцитах метаморфогенного происхождения образует редкие и густые вкрапленники, цепочковидные выделения его зерен, а также полоски, прослои и другие формы.

Таблица 41

Химический состав и миналы магнетитов
Ахавнадзорского и Базумского железорудных месторождений, в %

№№ проб	396/70	394/68	846/76	14/76
Окислы				
SiO_2	1,74	1,93	2,08	2,55
TiO_2	0,77	0,29	0,37	0,55
Al_2O_3	0,50	0,50	н. о.	н. с.
Fe_2O_3	68,09	66,54	64,33	67,00
FeO	26,32	28,74	31,70	28,74
MnO	0,13	0,43	0,06	0,06
CaO	1,40	1,25	0,36	0,36
MgO	0,69	0,39	0,33	0,33
п. п. п.	н. о.	0,59	н. о.	н. о.
P_2O_5	—	—	0,05	0,09
Na_2O	0,26	—	0,22	0,22
K_2O	0,16	—	0,17	0,16
V_2O_5	0,006	0,004	не опр.	—
Сумма	100,06	100,07	100,17	100,06
Fe (общ.)	68,13	68,93	69,68	69,25

Изоморфный состав (миналы) магнетитов, в %

Магнетит	93,35	95,64	99,07	93,08
Ильменит	1,70	0,46	0,80	6,07
Якосит	0,65	1,20	0,13	0,13
Шпинель	4,30	2,70	—	—

Наименование проб: №№ 396/70 и 394/68—магнетит из богатых апатит-магнетитовых руд Ахавнадзорского м-ния; №№ 846/76 и 14/76—магнетит из богатых гранат-пироксен-магнетитовых руд Базумского месторождения.

* Анализы выполнены в химической лаборатории ИГН АН АрмССР. Анализы проб №№ 396/70 и 394/68 выполнила аналитик З. Ш. Гаспарян, а №№ 846/76 и 14/76—аналитик М. У. Давтян.

Магнетит представлен как изометричными, так и несколько продолговатыми зернами, которые ориентированно располагаются по направлению сланцеватости и полосчатости. В бедных магнетитовых кварцитах по количеству и мощности полосы магнетита обычно уступают кварцу. Зерна магнетита идиоморфны по отношению к кварцу. Размеры индивидов магнетита составляют 0,01—0,1 мм.

Химическими анализами в составе метаморфогенных магнетитов определены повышенные содержания SiO_2 и Al_2O_3 (табл. 45), что обусловлено примесями кварца в зернах магнетита.

Таблица 42

Приближенно-количественные спектральные анализы магнетитов (10 проб) из сплошных магнетитовых и магнетит-апатитовых скарновых руд
Ахавнадзорского железорудного месторождения, в %

Эле- менты	Содержание, в %		Эле- менты	Содержание, в %	
	от—до	среднее		от—до	среднее
Si	0,10 — 1,0	0,26	Zr	0,00018—0,00024	0,00021
Al	0,24 — 0,32	0,31	Nb	0,00075—0,001	0,00098
Mg	0,24 — 0,42	0,36	Cu	0,00042—0,010	0,0020
Ca	0,042 — 0,18	0,10	Pb	0,00056—0,001	0,0008
Fe	>10,0	>10,0	Zn	0,042 — 0,10	0,073
Na	0,0032—0,013	0,0051	Ga	0,000 6—0,001	0,00062
Mn	0,032 — 0,56	0,49	Y	0,00032—0,00056	0,00045
Ni	0,0018—0,0042	0,0032	Ba	0,024 — 0,075	0,049
Co	0,0013—0,0024	0,0019	Sn	0,0001	0,0001
Ti	0,013 — 0,032	0,026	Cr	0,0024 — 0,0056	0,003
V	0,0056—0,013	0,0099			

* Анализы выполнены в спектральной лаборатории ИГН АН АрмССР.

Таблица 43

Полуколичественные спектральные анализы* магнетитов из скарновых руд Разданского железорудного месторождения, в %

Эле- менты	Пределы содер- жаний от—до	Среднее содер- жание	Эле- менты	Пределы содер- жаний от—до	Среднее содер- жание
Si	0,042 — 3,0	1,24	Cr	0,003 — 0,007	0,006
Al	1,0 — 1,8	1,277	Zr	0,0032 — 0,013	0,0038
Mg	3,0 — 4,2	3,60	Nb	0,00042—0,0007	0,0006
Ca	0,13 — 3,0	0,90	Cu	0,0013 — 0,010	0,0037
Fe	>10,0	10,0	Pb	0,0007 — 0,0018	0,0011
Mn	1,0 — 4,2	2,70	Zn	0,32 — 1,0	0,61
Ni	0,042 — 0,10	0,08	Ga	0,0018 — 0,0024	0,0022
Co	0,03 — 0,06	0,042	Y	0,00042—0,0007	0,0006
Ti	0,024 — 0,3	0,080	Ba	0,024 — 0,042	0,03
V	0,007 — 0,013	0,011			

Примечание: Спектральные анализы в одной пробе показали 0,0001% Ag, а в двух пробах—0,0042% и 0,006% Sn.

Из результатов химических и спектральных анализов видно, что магнетиты из бедных и средних магнетитовых кварцитов по составу однообразны (табл. 46), а по содержанию и соотношению Fe₂O₃ и FeO близки к теоретическому составу.

Таблица 44

Количественные спектральные анализы магнетитов Разданского,
Ахавнадзорского и Базумского месторождений, в %

№№ проб	Элементы						
	Ti	V	Mn	Cr	Ni	Co	Cu
Разданское месторождение							
478/67	0,05	0,007	0,18	0,013	0,031	0,0062	0,0015
479/67	0,07	0,006	0,20	—	0,016	0,0035	0,0039
469/67	0,07	0,008	1,86	0,026	0,033	0,0190	0,0031
420/67	0,11	0,013	1,70	0,012	0,039	0,0350	0,0037
Среднее из 4 ан.	0,07	0,008	0,98	0,012	0,029	0,0160	0,0030
Ахавнадзорское месторождение							
395/70	0,10	0,004	0,23	—	0,006	0,006	0,0015
396/70	0,12	0,005	0,40	—	0,006	0,010	0,0014
96а/64	0,19	0,037	0,60	—	0,006	0,008	0,0047
96б/64	0,31	0,006	0,44	—	0,005	0,006	0,0013
Среднее из 4 ан.	0,18	0,013	0,41	—	0,005	0,007	0,0022
Базумское месторождение							
20м/73	0,11	0,009	0,04	0,0046	0,0025	0,0098	0,009
1609/73	0,04	0,005	0,09	0,0014	0,0096	0,0110	0,032
757/75	0,41	0,039	0,06	0,0040	0,0022	—	0,031
755м/75	0,47	0,022	0,05	0,0025	0,0028	—	0,017
Среднее из 4 ан.	0,25	0,018	0,06	0,0031	0,0042	0,0052	0,022

Примечание: Анализы выполнены в спектральной лаборатории ИГН АН АрмССР (рук. Мкртчян Г. М.).

Мушкетовит— $\text{FeO} \cdot \text{Fe}_2\text{O}_3$. Сингония кубическая, встречается в виде пластинчатых, листовидных и чешуйчатых агрегатов, а также неправильных выделений.

Мушкетовит представляет собой псевдоморфозу магнетита по гематиту и образуется в эндогенных условиях в результате падения окислительного потенциала. При kontaktовом метаморфизме мушкетовит образуется также из лимонита и водных силикатов.

Макроскопически цвет мушкетовита черный, железно-черный, нередко с синеватой побежалостью на поверхностях пластинок и листочек. Чешуя черная с едва заметным буроватым оттенком.

Таблица 45

Химические анализы* магнетитов из магнетитовых кварцитов
Меградзорского железорудного месторождения, в %

№ № проб		68/68	3/75	№ № проб		68/68	3/75
Компоненты				Компоненты			
SiO ₂	3.98	2.47	K ₂ O	0.15	0.14		
TiO ₂	0.63	0.54	Сумма	99,63	99,49		
Al ₂ O ₃	0.54	0.86	Fe (общ.)	66,54	68,05		
Fe ₂ O ₃	65,58	66,22	М и на л а л ы , в %				
FeO	26,58	27,90	Магнетит	95,27	96,53		
MnO	0.05	0.04	Ильменит	1,60	1,19		
CaO	1.40	0.70	Шпинель	3,02	2,07		
MgO	0.47	0.35	Якобсит	0,11	0.21		
Na ₂ O	0.22	0,27					

Наименование проб: № 68/68—магнетит из средних густовкрапленных магнетитовых кварцитов; № 3/75—магнетит из бедных редковкрапленных магнетитовых кварцитов.

* Анализ выполнен в химической лаборатории ИГН АН АрмССР, аналитик З. Ш. Гаспарян.

Таблица 46

Приближенно-количественные спектральные анализы* магнетитов
Меградзорского железорудного месторождения, в %

№ № проб	Э л е м е н т ы										
	Ti	V	Mn	Cr	Ni	Co	Cu	Pb	Zn	Sr	Ba
3/75	0,0008	0,0056	0,010	0,018	0,0013	0,00075	0,042	0,00056	0,01	—	0,018
98/68	0,0018	0,0042	0,013	—	0,001	0,00056	0,003	0,00042	0,0056	0,0018	0,018

Блеск металлический, непрозрачен, в очень тонких пластинках просвечивается темно-бурым цветом.

Твердость 5,5—6. Наблюдаются отдельность по плоскостям пластинок и листочек.

Мушкетовит в аншилифах по своим физическим свойствам почти не отличается от магнетита. Под микроскопом в отраженном свете мушкетовит по сравнению с гематитом отличается более

низким значением отражательной способности ($R=21$) и четким проявлением буроватого оттенка (рядом с гематитом). В отличие от гематита мушкетовит легко диагностируется магнитной восприимчивостью, а от магнетита — листоватой, пластинчатой и чешуйчатой агрегатной формами.

Стандартные реагенты, примеяемые при диагностике минералов, не действуют.

Мушкетовит в небольшом количестве встречается в железных рудах многочисленных месторождений и проявлений республики, но в качестве главного рудослагающего минерала большие скопления образует в железорудных месторождениях Цакери-дош (Кохб) и Мисхана в Ноемберянском районе.

Проведенное минералого-геохимическое изучение показало, что мушкетовитизация и заметное количество мушкетовита характерны для железорудных месторождений и проявлений контактово-метасоматического (Цакери-дош, Мисхана), частично скарнового (Раздан, Ахавнадзор, Казнахи и др.) происхождения, развитых в контактовых и приконтактовых частях гранитоидных интрузивов верхнего мела и верхнего эоценена. Мушкетовит в незначительном количестве встречается в гидротермально-метасоматических магнетит-апатитовых рудах Абовянского железорудного месторождения.

В железных рудах этих месторождений и проявлений мушкетовит тесно ассоциирует с магнетитом, гематитом, поздними сульфидами железа и меди — пиритом и халькопиритом.

Процесс мушкетовитизации в гематитах из различных типов железных руд месторождений Цакери-дош и Мисхана можно наблюдать от начальной стадии до почти полного замещения гематита мушкетовитом. При частичной мушкетовитизации сохраняются реликты гематита в полях новообразованного мушкетовита (рис. 29).

Для мушкетовитизированных железных руд характерны пластинчатая, спутанно-пластинчатая, радиально-лучистая, веерообразная, решетчатая, ячеистая и петельчатая структуры, которые унаследованы от первичных гематитовых руд.

В отношении окисных железных руд рассматриваемых месторождений следует отметить, что сульфиды (пирит и халькопирит) являются наложенными и образование мушкетовита может быть обусловлено воздействием поздних сульфидных растворов на гематитовые руды.

При воздействии сероводорода на гематит возникновение мушкетовита и пирита, по А. Г. Бетехтину, происходит следующим образом: $2\text{Fe}_2\text{O}_3 + 2\text{H}_2\text{S} \Rightarrow \text{Fe}_3\text{O}_4 + \text{FeS}_2 + 2\text{H}_2\text{O}$.

Таким образом, можно предполагать, что восстановительный характер среды в последних стадиях рудоотложения обусловлен повышением роли сероводорода в гидротермальных условиях, что привело к интенсивной мушкетовитизации с сульфидной минерализацией.

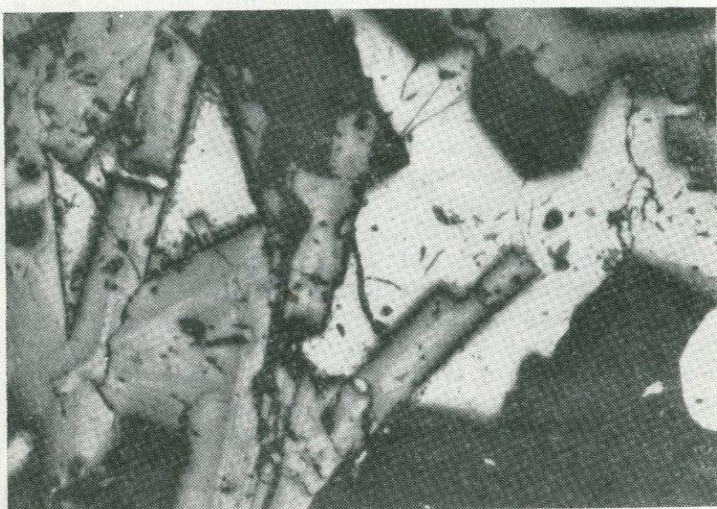


Рис. 29. Пирит-мушкетовитовая руда. Месторождение Цакери-дош (Кохб).
Полир. шлиф, увел. 70. По Г. Б. Межлумяну.

Хромшпинелиды— $(\text{Mg}, \text{Fe})(\text{Cr}, \text{Al}, \text{Fe})_2\text{O}_4$. Сингония кубическая. Относится к типу шпинели с формулой $\text{Fe}^{2+}\text{Cr}^{3+}\text{O}_4$, в которой, в зависимости от геологических условий образования Fe^{2+} может замещаться Mg^{2+} , а $\text{Cr}^{3+} \rightarrow \text{Al}^{3+}$ и Fe^{3+} , вследствие чего возникают следующие главнейшие минеральные виды: магнохромит— $(\text{Mg}, \text{Fe})\text{Cr}_2\text{O}_4$, хромпикотит— $(\text{Mg}, \text{Fe})(\text{Cr}, \text{Al})_2\text{O}_4$, алюмохромит— $(\text{Fe}, \text{Mg})(\text{Cr}, \text{Al})_2\text{O}_4$ и хромит— FeCr_2O_4 . Последний обнаружен в метеоритах, в земной коре очень редок. Все указанные минеральные виды на практике геологоразведочного и горного дела объединяются под названием „хромит“.

Хромшпинелиды встречаются в виде октаэдрических кристаллов, иногда округлых (рис. 30) или неправильной формы зерен размерами до 2 мм в качестве акцессорного минерала среди ультрамафитов и мафитов и в виде зернистых масс в качестве рудо-

образующего минерала среди дунитов. Рудообразующие хромшпинелиды слагают массивные, вкрапленные, такситовые и нодулярные руды (рис. 31). Нерудные минералы представлены серпентином, реже оливином, уваровитом, кеммереритом, хромдиопсидом, кальцитом и др.

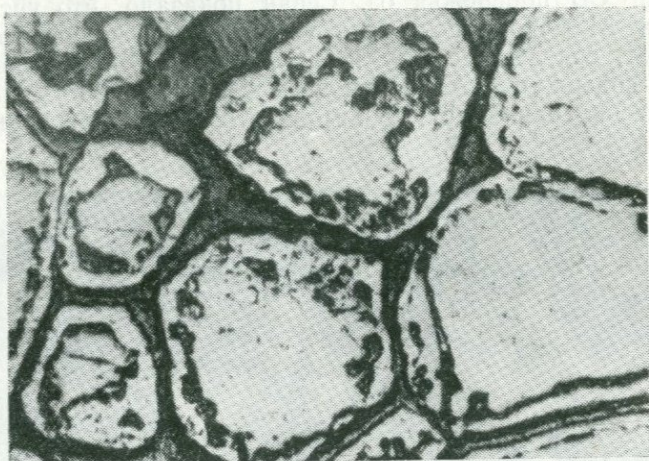


Рис. 30. Изометрические кристаллы хромита (CrI) окружены метаморфизованной магнитной каймой. Полир. шлиф, увел. 40. Месторождение Кочкаран.
По С. Б. Абояну.

Цвет хромшпинелидов черный, в тонких шлифах они полу-прозрачны или просвечивают густокрасным, коричневато-красным или желто-красным цветом. В результате серпентинизации хромшпинелиды подвергаются процессу метаморфизма, выражавшемуся в появлении вокруг зерен и вдоль трещин участков с отражательной способностью, приближающейся к таковой магнетита (см. рис. 30). В проходящем свете такие участки обычно непрозрачны. Излом ровный, иногда раковистый. Чешуя бурая. Блеск металловидный до жирного. Твердость 5,5—7,1. Спайность отсутствует, в зернистых агрегатах наблюдается трещиноватость, трещинки заполнены серпентином. Разновидности, содержащие не-большие концентрации железа, слабо магнитны, а богатые же-лезом и бедные хромом—сильно магнитны (Бетехтин, 1950). Мета-морфизованные хромшпинелиды также магнитны в связи с переходом FeO в Fe_2O_3 , в них нарушена кристаллическая решетка, вслед-

ствие перехода хромшпинелидов в коллоидное или скрытокристаллическое состояние (Абовян, 1959).

Теоретический состав магнохромита (в %): MgO —9,69, FeO —17,26, Cr_2O_3 —73,05, (при $Mg:Fe=1:1$); хромникотита: MgO —11,01, FeO —19,62, Al_2O_3 —27,85, Cr_2O_3 —41,52 (при $Mg:Fe$ и $Cr:Al=1:1$); алюмохромита: FeO —32,09, Cr_2O_3 —67,91.

Изучение химического состава хромшпинелидов из рудоизвлечений СВ побережья оз. Севан показало, что увеличение количества Al^{3+} компенсируется уменьшением количества Mg^{2+} и, наоборот, содержание Mg^{2+} и, особенно Cr^{3+} , возрастает с понижением содержания Al^{3+} ; при этом содержание Fe^{2+} почти не зависит от колебания других компонентов в составе хромитов.

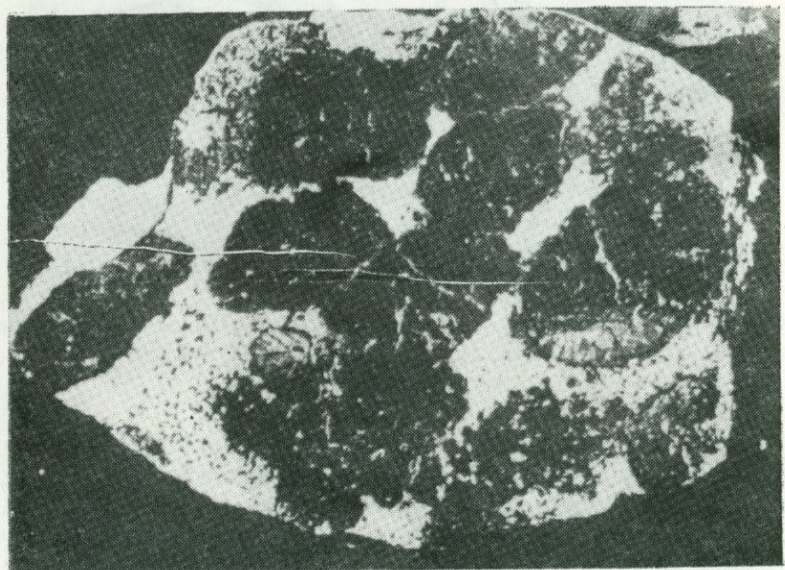


Рис. 31. Нодулярная хромитовая руда. Штуф, натур. величина. Месторождение Шоржа. По И. Г. Магакьяну

Анализами установлено (табл. 47), что магнохромиты обычно приурочены к нижним частям (придонные залежи) Шоржинского, Джил-Сатанахачского и Карайман-Зодского массивов. В них количество Mg^{2+} преобладает над Al^{3+} ; разница их содержаний колеблется между 0,038 и 0,622 молекулярных процентов.

Хромпикотиты и алюмохромиты (по номенклатуре А. Г. Бетехтина, 1937 и Г. А. Соколова, 1948) отмечаются в рудопроявлениях, расположенных вблизи верхних частей (верхние залежи) тех же массивов. В них содержание Al^{3+} всегда преобладает над Mg^{2+} ; разница их содержаний колеблется от 0,015 до 0,557 молекулярных процентов. Обычно хромшпинелиды верхних залежей сравнительно бедны хромом (табл. 47).

Химические составы акцессорных хромшпинелидов (табл. 48) позволяют установить закономерности их распространения, аналогичные таковым рудообразующих хромшпинелидов.

В виде изоморфных примесей в хромшпинелидах присутствуют (в %): TiO_2 до 2, V_2O_3 до 0,2, MnO до 1, ZnO до нескольких процентов, NiO и CaO до десятых и CoO до сотых долей. Наблюдается зависимость химического состава рудообразующих и акцессорных (табл. 49) хромшпинелидов и количественного содержания в них элементов-примесей от состава вмещающих их пород и от положения последних в теле массива. Так, глиноземистые хромшпинелиды характерны для перidotитов и дунитовых участков апикальных частей массивов; кроме того, хромшпинелиды ультрамафитов отличаются высокими содержаниями Ni , Co V и Ga , а хромшпинелиды мафитов— Ti , Mn , Cu и Ba .

Таблица 47

Средние химические составы (в %) хромшпинелидов из хромитовых руд
СВ побережья озера Севан*

Компоненты	Нижние залежи	Верхние залежи
Cr_2O_3	49,93	34,62
FeO^{**}	17,73	16,25
SiO_2	3,18	5,27
Al_2O_3	8,26	21,08
MgO	16,41	17,28
MnO	0,27	0,21
П. п. п.	1,10	3,13

* Анализы выполнены в химлабораториях ИГН АН АрмССР и УГ АрмССР.

** Fe_2O_3 пересчитан на FeO .

Примечание: Средний состав нижних залежей рассчитан по 14 анализам, которые распределяются по массивам следующим образом: Шоргинский массив—8 анализов, Джил-Сатанахачский—2, Карайман-Зодский—4.

Средний состав верхних залежей рассчитан по 11 анализам, которые распределяются по массивам следующим образом: Шоргинский массив—3 анализа, Джил-Сатанахачский—6, Карайман-Зодский—2.

Таблица 48

Химические составы (в %) акцессорных хромшпинелидов

№№ обр. Окислы	1752	2099	1594с	1754
Cr ₂ O ₃	43,76	44,18	31,34	32,24
Fe ₂ O ₃	5,86	6,28	6,18	6,75
Al ₂ O ₃	12,34	10,34	18,72	19,34
SiO ₂	4,50	3,84	7,45	7,87
TiO ₂	0,60	0,46	0,29	0,62
FeO	10,47	9,85	8,14	9,12
MgO	16,84	17,47	20,36	17,03
CaO	1,48	3,42	2,27	2,75
MnO	0,32	0,56	0,24	0,34
Na ₂ O	0,10	—	—	0,10
K ₂ O	0,10	—	—	0,08
П. п. п.	3,04	3,87	4,79	4,15
Сумма	99,41	100,27	99,78	100,39

Примечание 1752, 2099—из дунитов нижних частей Шоржинского и Джил-Сатанахачского массивов (соответственно), 1954с—из перидотитов Шоржинского массива, 1754—из дунита апикальной части Шоржинского массива, анализы выполнены в химлабораториях ИГН АН АрмССР и УГ СМ АрмССР.

Таблица 49

Элементы-примеси в акцессорных хромшпинелидах

№№ п/п	П о р о д а	Кол-во анализов	Содержание элементов в %								
			Ti	Mn	V	Ni	Co	Cu	Zn	Ga	B
1.	Дунит серпентинизированный	10	0,114	1,02	0,104	0,147	0,063	0,028	—	0,0053	0,0024
2.	Перидотит серпентинизированный	7	0,16	0,55	0,08	0,105	0,032	0,004	0,163	0,0030	0,0022
3.	Серпентинит	4	0,14	1,42	0,07	0,102	0,128	0,026	—	0,0019	0,0030
4.	Пироксенит (жильный)	5	0,125	0,46	0,113	0,064	0,047	0,006	0,106	0,0050	0,0019
5.	Троктолит	1	0,032	0,56	0,010	0,032	0,075	0,010	0,320	0,0056	0,0032
6.	Габбро	1	0,200	0,82	0,010	0,065	0,047	0,015	0,030	0,0005	—

Гаусманит—Mn₃O₄. Теор. состав (в %): MnO—31; Mn₂O₃—69. Гаусманит кристаллизуется в тетрагональной сингонии. Наиболее широко распространен в метаморфизованных марганцевых рудах. Часто встречается также в высокотемпературных гидротермальных и контактово-метаморфизованных рудах марганца. По сравнению с браунитом выпадает в более восстановительной среде.

При региональном метаморфизме марганцевых руд образуется из гидроокислов марганца, а также из пиролюзита и браунита при восстановительных условиях (Минералы, 1967). На большинстве гидротермальных месторождений и проявлений встречается в тесной ассоциации с браунитом, якоситом, магнетитом. Образует прожилки, вкрапленники, гнезда.

Макроскопически гаусманит черного цвета, иногда с бурым оттенком. Чешуя красно-бурая, блеск—полуметаллический. Характерны тонкозернистые или скрытокристаллические агрегаты. Иногда встречается в виде колломорфных выделений.

Под микроскопом в отраженном свете гаусманит серовато-белого цвета. Чаще образует плотные массы, сложенные аллотриоморфно-зернистыми агрегатами. Отражательная способность у гаусманита низкая, двутражение отчетливое. Р даже в положении наиболее высокого значения ниже, чем у браунита—колеблется в пределах 20—16%. В скрещенных николях эффекты анизотропии у гаусманита яркие. Часто наблюдаются весьма характерные для гаусманита полисинтетические двойники. В иммерсии все оптические свойства проявляются ярче. Часто наблюдаются красные, с бурым оттенком внутренние рефлексы.

На территории Армянской ССР гаусманит, как один из главных рудообразующих минералов, встречается в высокотемпературных гидротермальных марганцевых рудах (Кармрашенское месторождение марганца). Часто встречается также в метаморфизованных эксгалакционно-осадочных рудах марганца кремнисто-булканогенной формации (Саринар, Сваранц). В незначительном количестве образуется на месторождениях и проявлениях эксгалакционно-гидротермального и эксгалационного происхождения (Севкар-Саригюх, Ридамал).

На Кармрашенском проявлении гаусманит, наряду с браунитом, представляет собой главный рудообразующий минерал. В тесной ассоциации с последним образует микрокристаллические агрегаты, цементируя дробленные в различной степени кварцолиты. В полях браунита и якосита гаусманит образует гнезда, вкрапленники микрокристаллических выделений. В пустотах встречается в виде мелких гипидиоморфных зерен. Для гаусманита из Кармрашенского проявления полисинтетические двойники не характерны.

На Саринарском проявлении (Яшвили, 1978) гаусманит образуется среди кремней и марганцевистых силикатов в виде вкрапленников и гнезд тонкозернистых агрегатов в тесной ассоциации с браунитом, биксбитом и гематитом. Под микроскопом обнаруживает все характерные свойства. В отдельных зернах наблюдаются полисинтетические двойники. Среди кремней, в трещинах часто развивается в виде скрытокристаллических агрегатов, образуя ре-

шетчатые текстуры. Часто образует псевдоморфозы по мanganиту. На Саринарском проявлении гаусманит встречается также как продукт распада высокотемпературного «вреденбургита», образуя пластинки в полях якобсита. Реже в трещинах выпадает в виде колломорфных образований скорлуповато-слоистого строения (рис. 32).

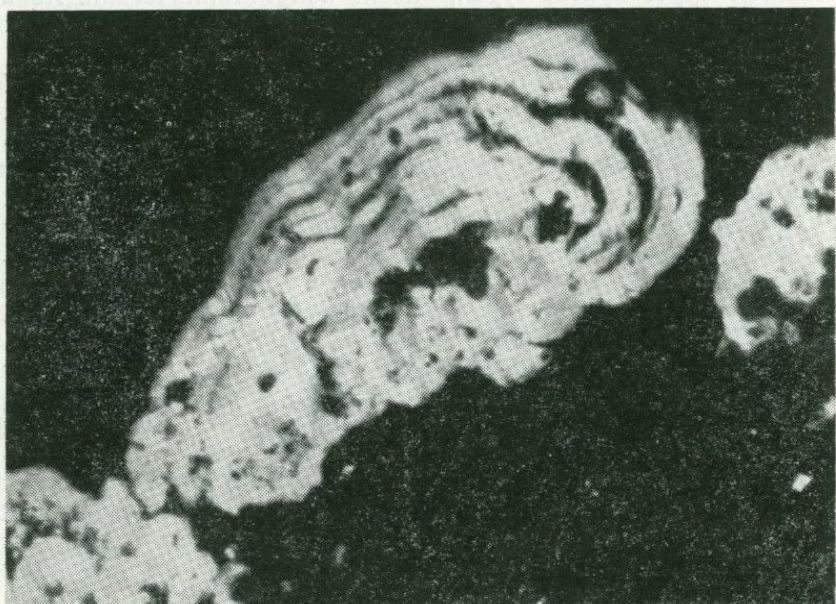


Рис 32. Коллорфные выделения гаусманита в кремнистой массе. Полир. шлиф, увел. 500. Саринарское проявление марганца. По Л. П. Яшвили.

На Сваранцком месторождении марганца гаусманит встречается в небольшом количестве в ассоциации и тесных срастаниях с браунитом. В виде мелких кристаллических выделений встречается также в прожилках, сложенных пьемонтит-родонитовым агрегатом (Андрющенко, 1978).

На Севкар-Саригюхском месторождении (Яшвили, 1979) и Ридамальском проявлении (Яшвили, 1978) гаусманит имеет весьма ограниченное развитие—образуется лишь на участках, где окисные и гидроокисные соединения марганца подвергались тер-

мальному воздействию в первом случае молодых базальтовых лав, а во втором—раскаленных эксплозивных материалов.

В таблице 50 приведены данные рентгеноструктурного анализа гаусманита из Кармашенского месторождения марганца.

Таблица 50

Межплоскостные расстояния гаусманита*

I	d/n	I	d/n
4	4,92	10	2,484
4	4,06	6	2,363
4	3,61	5	2,030
4	3,13	2	1,979
6	3,08	5	1,816
8	2,87	4	1,784
9	2,76	2	1,697
2	2,69	2	1,640
5	2,614	4	1,574
6	2,564	6	1,542

* Лаборатория ИГН АН АрмССР, Ревазова Н. В. Условия съемки: УРС-55, Fe α,β , D=57,3, шарик, эксп. 12 ч.

Таблица 51

Рентгенометрическая характеристика хризоберилла*

I	d/n	hkl	I	d/n	hkl	I	d/n	hkl
4	4,33	001	5	1,82	300	1	1,183	440
3	4,06	011	5	1,67	241	2	1,106	004
4	3,61	010	10	1,67	212	2	1,079	104
10	3,25	021	2	1,546	142	3	1,045	090
4	2,79	121	2	1,467	003	7	0,955	470
6	2,57	031	6	1,369	400	1	0,937	010
3	2,34	201	2	1,338	070	3	0,859	010
5	2,27	211	4	1,292	420	2	0,830	490
10	2,09	041	4	1,256	430			
3	1,97	022	7	1,213	270			

* Анализ выполнен в рентгеновской лаборатории ИГН АН АрмССР Э. Х. Хуршудян. Условия съемки: УРС-55, Cu—Ni, камера РКД, D=57,3, d=0,4 мм.

Хризоберилл—Al₂BeO₄. Хризоберилл встречается исключительно в виде хорошо образованных псевдогексагонально-бипирами-

дальних тройниковых кристаллов (рис. 33) прорастания по (031). Размеры кристаллов варьируют от 1 мм до 2—4 мм. Ввиду сильного развития граней (111), грани (100) и (011) выражены очень слабо, а часто и вовсе отсутствуют. Тройниковое срастание по характерной штриховке на грани (100) определить невозможно. Однако его легко определить по граням (121), образующим двуграные углы в основании грани (111).

Цвет хризоберилла зеленовато-желтый. Прозрачный. Характерна высокая твердость и хрупкость. Угол $2v = +66\text{---}69^\circ$. Свето-преломление: $Ng=1,755$, $Np=1,746$, $Ng-Np=0,009$. Слабый плеохроизм в желтых тонах.

Рентгенограмма хризоберилла (Мегри) показывает полное совпадение структуры с эталонной. Индицирование и расчет параметров элементарной ячейки показали (в Å): $a_0=5,479$, $b_0=9,384$, $c_0=4,42$.

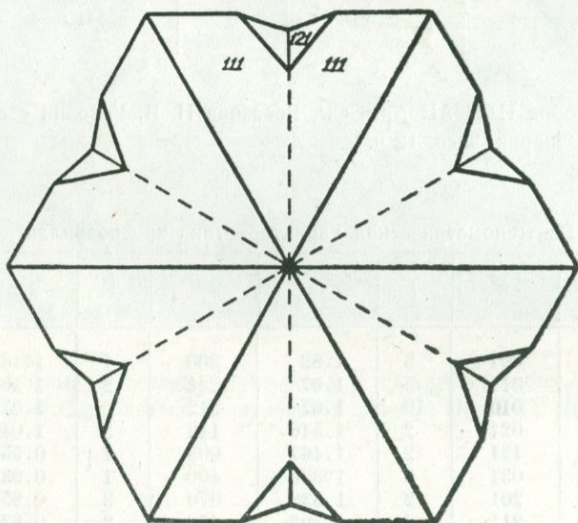


Рис. 33. Тройниковый кристалл хризоберилла (сел. Шванидзор). По Б. М. Меликсяяну

Химический состав изученного хризоберилла приведен в таблице 52.

Весьма характерно для желто-зеленых хризобериллов высокое содержание Fe, Ti, Na, Ge, Y, Sn, La, Ga.

Таблица 52

Химический состав хризоберилла*

Элементы	Содерж. в %	Элементы	Содерж. в %
Al	10,0	Ge	0,001
Be	10,0	Ga	0,01—0,03
Si	1,0	Sn	>0,03
Ca	0,3	Y	0,003
Mg	0,05	Yb	0,001
Fe	1,5	La	0,01
Ti	0,01—0,03	Li	0,001
Na	0,1—0,3	Zn	0,02

* По данным приближенно-спектральных анализов (аналитик Мартиросян М. Я.).

Акцессорный хризоберилл встречается в ассоциации с нефелином, содалитом в щелочных фельдшпатоидных пегматитах, реже в микроклин-мусковитовых пегматитах «линии скрещения» в ассоциации со шпинелью, ганитом, сине-зеленым корундом, циртолитом и титанониобиевыми минералами. Образование хризоберилла связано с явлениями десиликации и с поздними наложенными процессами содалитизации, мусковитизации и альбитизации.

Хризоберилл обнаружен в фельдшпатоидных и мусковит-микроклиновых пегматитах в связи с поздними замещающими комплексами (альбит-мусковитовый), в щелочных пегматитах, генетически связанных с щелочно-сиенитовыми фазами Мегринского plutона в пределах Пхрутского, Вартанадзорского, Калерского и Шванидзорского пегматитовых полей. Есть указания на находки хризоберилла в высокотемпературных метасоматитах Мегринского plutона (скарны, кварциты) в ассоциации с корундом и гранатом (Бабаджанян А. К., 1970).

Пирохлор—(Na, Ca, U, Ce, Y)₂(Nb, Ta, Ti)₂O₆(OH, F). Минералы группы пирохлора весьма широко представлены в комплексах щелочных пород, пегматитов (Тексарский, Мегринский, Калерский). Представлены они, по результатам проведенных исследований, следующими разновидностями: 1) эльсвортит (урановый пирохлор), 2) мариньякит (церниевая разновидность); 3) гатчентолит (урано-танталовая), 4) обручевит (иттриево-урановая разновидность).

Пирохлор имеет следующий теоретический состав: Na₂O—8,52, CaO—15,41, Nb₂O₅—73,05, F—5,22 %. Из характерных примесей—Ti, Ta, U, Th, TR и др.

Встречается в виде октаэдрических кристаллов (рис. 34) с хорошо развитыми гранями (111), (112), слабее развиты (100). Двойники редки. Более часты выделения неправильной формы. Цвет темно-бурый до черного. Блеск смолистый. Уд. вес 4,21. Под микроскопом просвечивает красно-бурым цветом. Изотропен и рентгеноаморфен. Показатель преломления $N=2,0-2,1$. Межплоскостные расстояния приведены в табл. 53. Параметр элементарной ячейки $a_0=10,38 \text{ \AA}$, соответствует эталону пирохлора (В. И. Минеев, 1957).

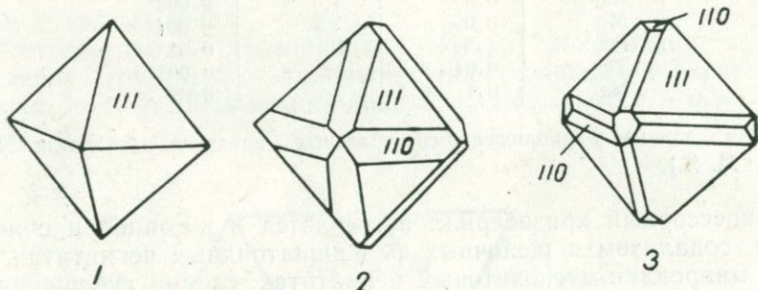


Рис. 34. Формы кристаллов пирохлора и гатчеттолита. 1. Памбак. 2. Мегри. 3. Тежсар. По Б. М. Меликсяну.

Для химического состава пирохлора характерны (по данным спектральных анализов): Na, Ca > 3,0%, Ti (1—3%), Ce 1—3%, La (0,3—1%), Y (0,3—1%), Yb (0,03%), Th > (3,0), U (1—3%), Ta (0,1—0,3%), а также примеси Li (0,001%), Be (0,001—0,003%), Sc (0,003%), Sn (0,001%), Bi (0,01%), V (0,003%).

Таблица 53

Рентгенометрическая характеристика пирохлора*

I	d/n	I	d/n
7	3,317	8	1,658
3	3,130	4	1,489
7	3,010	2	1,339
3	2,895	2	1,310
4	2,600	2	1,293
—	—	1	1,243
9	1,832	6	1,185
4	1,712	2	1,062

* Анализ выполнен в лаборатории Львовского госуниверситета (по Меликсяну Б. М.). Условия съемки: Fe—антикатод, D=86, d=0,7. Прокален $t=900^\circ$ 3 ч.

Пирохлор является наиболее распространенным минералом среди рассматриваемой группы. Ранее он отмечался И. Г. Матакяном (1960), Г. П. Багдасаряном (1957), А. Г. Миляном (1956). Образует включения в полевых шпатах и нефелине, ассоциирует с цирконом, бадделеитом, торитом, флюоритом, монацитом, орбитом и др. Интересны в отношении находок пирохлора щелочные фельдшпатоидные пегматиты района сс. Калер (рис. 35), Шванизор, Алдара, Мегринского plutона и Тежсарского щелочного комплекса, реже встречается в пегматитах Амзачиманского и Бундукского массивов.

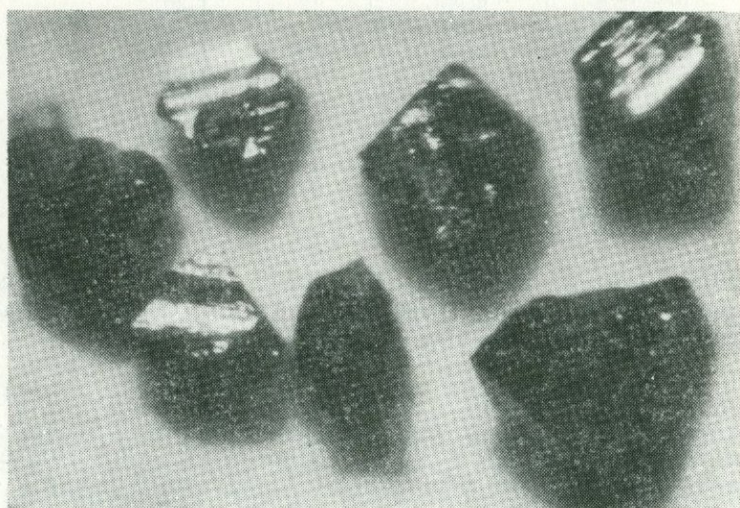


Рис 35. Кристаллы пирохлора и гатчettолита из содалитовых пегматитов (сел. Калер). Увел. 12. По Б. М. Меликсеяну.

Обручевит—гидратированная разновидность пирохлора, обогащенная редкими землями иттриевой группы, 10—15% урана, 10—15% иногда тория и титана. Ранее описан как винкит, уран-пирохлор, эльсвортит, которые по составу близки либо к эвксениту, либо к бетафиту, хотя и отличаются структурой, близкой к тающей пирохлора. Встречается в гранитных и сиенитовых пегматитах Мегринского plutона, особенно в мусковит-альббитовых разностях.

Обручевит образует грубооктаэдрические кристаллы с иска-
женными гранями (111), однако более часто встречается в виде
неправильных зерен, покрытых корочкой желтовато-серых продук-
тов изменения.

Таблица 54

Рентгенометрическая характеристика обручевита*

I	d/n	I	d/n
2	4,5	7	1,481
3	3,89	2	1,301
2	3,69	4	1,284
6	3,26	10ш	1,179
10	2,952	10ш	1,150
7	2,559	4	1,090
2 ш	2,368	9ш	1,049
10	1,813	9	0,995
6	1,707	9	0,992
3	1,694	9	0,988
10	1,548		

* Анализ выполнен в лаборатории Львовского госуниверситета. Усло-
вия съемки: Fe—антикатод, D=86 мм, d=0,7 мм. Образец прокален
 $t=850^\circ$, 3 часа. Эксп. 5 ч. По Меликсяну Б. М.

Цвет изменчивый—от красно-бурого до желто-оранжевого,
иногда оранжево-зеленого. Под микроскопом просвечивает ярко-
желтым цветом. Показатель преломления $N=2,1-2,2$. После про-
кашивания появляется дифракционная картина, близкая к обру-
чевиту или эльсвортиту по Г. А. Сидоренко (1966). Рассчитанный
по межплоскостным расстояниям (табл. 54) параметр элементар-
ной ячейки составляет $a_0=10,40\pm0,03\text{\AA}$.

Приближенно-количественным анализом установлены: Ca>5%,
Fe 1—3%, Si~3%, Ti 5—10%, Nb>5%, Ta—0,3—1%, Ce, La 1—
3%, Y>3%, Yb 0,3—1%, Th 1—3%, U>5—10%. Из других, пре-
имущественно адсорбированных примесей отметим Sn 0,01%, Bi
0,03%, Sb 0,3%, As 0,03—0,1%, Pb 0,1—0,3%, Mo 0,01%, V 0,03%,
Zr 0,03%. Встречается в ассоциации с другими минералами танта-
ла и ниобия, а также уранинитом, ураноторитом, иттриалитом,
флюоритом, эвксенитом, литиомусковитом в кварц-альбит-муско-
витовых пегматитах районов развития щелочных пород Мегрин-
ского plutона.

Маринъяkit—(Ce, Ca)₂(Nb, Ti)₂O₇. К маринъяkitу относятся
пирохлоры с 10 % и более редких земель цериевой группы.

Маринъякит образует идиоморфные октаэдрические кристаллы кубической сингонии с хорошо развитыми гранями (111), слабее (112). Цвет ярко-оранжевый. Часто грани октаэдра покрыты налетом сероватого цвета—продуктами изменения маринъякита. Прозрачен. Как правило, показатель преломления варьирует, $N=2,0-2,15$.

Рентгенограмма маринъякита (табл. 55) и рассчитанный по межплоскостным расстояниям параметр элементарной ячейки: $a_0=10,32 \text{ \AA}$ совпадают с эталоном по Е. И. Семенову (1963).

Таблица 55
Рентгенограмма маринъякита (Тажсарский массив)*

I	d/n	I	d/n
5	3,29	3	1,484
10	2,98	7	1,183
5	2,57	4	1,155
4	2,00	8	1,054
9	1,82	8	1,019
3	1,711	2	0,998
9	1,552		

* Анализ выполнен в рентгеновской лаборатории ИГН АН АрмССР Э. Х. Хуршудян. Условия съемки: Fea, D=57,3, d=0,45 мм. Эксп. 21 ч. Образец прокален 3 часа при $t=850^\circ$.

В отличие от сходного по составу пирохлора характеризуется высоким содержанием суммы редких земель: $\Sigma \text{TR}_2\text{O}_3=19-15\%$. Спектральным анализом установлены: Ti>10%, Ca (5%), Ce (>10%), La (3—5%), Y (03—1,0%), Nb (3—5%), Ta (0,1—0,3%), Yb (0,3%), Sc (0,03%), Bi (0,03%), Be (0,003%) и другие. Маринъякит установлен в альбитизированных сиенитовых пегматитах и жилах альбитита в ассоциации с бритолитом, флюоритом, орбитом, монацитом и др. Наиболее широко распространен в центральном штоке Тажсарского щелочного комплекса, особенно в нефелин-содалитовых, нефелин-ортоклазовых пегматитах, а также мусковитизированных и флюорит-биотитовых метасоматитах.

Гатчеттолит—(Ca, Fe, U)(Nb, Ta, Ti)₂O₆·H₂O. К гатчеттолиту в настоящее время относят те разновидности пирохлора, которые обогащены tantalом ($\text{Nb}:\text{Ta}=1$) и ураном, а также иттрием. Обычно содержат $\text{Ta}_2\text{O}_5=30\%$, $\text{Nb}_2\text{O}_5=35\%$, $\text{UO}_3=13-15\%$, $\text{Ti}=1-5\%$, Y_2O_3 до 5%, Fe_2O_3 до 5%, H_2O до 10%.

Гатчеттолит образует кристаллы октаэдрического габитуса с хорошо развитыми гранями (111), (311), (110), слабее (112).

Характерны двойники по (110). На гранях октаэдра (111) хорошо развита штриховка. Цвет минерала черный, бархатно-черный. Блеск смоляный. Изотропен, $N=1,78$.

Нередко поверхность кристаллов покрыта желтоватыми землистыми продуктами изменения.

Параметры элементарной ячейки гатчеттолитов, вычисленные по данным межплоскостных расстояний (табл. 56) равны: 1) Калер: $a_0=10,256$, 2) Тежсар: $a_0=10,35$, и близки к эталону ($a_0=10,29 \text{ \AA}$).

Химический состав изученных гатчеттолитов показывает преобладание U над Th, высокое содержание иттрия, бария, марганца, тантала и олова (табл. 57).

По составу мегринские (Калер) гатчеттолиты близки к бетафиту, но отличаются меньшим содержанием урана и тантала.

Кроме того, в виде примеси отмечаются Cu (0,003%), Ga (0,003%), Ba (0,1—0,3%), Sr (0,3%), Zr (0,01%) и др.

Таблица 56

Рентгенометрическая характеристика гатчеттолита*

Калер		Тежсар		Калер		Тежсар	
I	d/n	I	d/n	I	d/n	I	d/n
4	3,21	—	—	2	1,698	—	—
1	3,08	—	—	8	1,542	8	1,549
10	2,923	10	2,90	9	1,523	—	—
2	2,825	—	—	4	1,473	—	—
6	2,514	4	2,538	4	1,262	—	—
2	2,296	—	—	2	1,174	5	1,176
2	1,984	—	—	4	1,141	5	1,142
9	1,802	9	1,797	4	1,034	3	0,985
4	1,751	—	—				

* Анализ выполнен в Львовском госуниверситете. Условия съемки: гатчеттолит (Калер) Fe—антикатод, $D=85$ мм, $d=0,5$ мм. Образец Тежсар—в ИГН АИ АрмССР: Cu, $D=57,3$ мм, $d=0,45$ мм. Образцы прокалены $t=900^\circ$ 3 ч. Эксп. 3,5 ч. По Б. М. Меликсетяну.

Таблица 57

Химический состав (в %) гатчеттолита*

№	Ca	Fe	Mn	Ti	Nb	Ta	Sn	Pb	Be	La	Ce	Y	Th	U
1	>5	1—3	0,3—1	3—10	>5	>3	0,01	0,06	0,001	1—3	1—3	0,3—1	3—5	>3
2	>3	>3	0,03	>5	>3	1—3	0,003	0,01	0,003	1—3	1—3	1,0	>3	>5

* По данным спектральных анализов: 1—Калер, 2—Тежсар.

Гетчеллит ассоциирует с мариньякитом, уранинитом, циртолитом, апатитом, флюоритом, ильменорутилом и другими редкоzemельными минералами в нефелин-альбит-содалитовых пегматитах (Калер) и в альбитизированных нефелин-полевошпатовых пегматитах (Тексар).

Бетафит— $(\text{Ca}, \text{Ce}, \text{Y}, \text{U}, \text{Th}) (\text{Nb}, \text{Ti}, \text{Ta})_3\text{O}_9 \cdot n\text{H}_2\text{O}$.

Химический состав изменчив: Nb_2O_5 —23,3—45,8%, Ta_2O_5 до 28,5%, TiO_2 —6,7—18,3%, CaO —3,1—4%, UO_2 —18,26%, $\sum \text{TR}_2\text{O}_3$ —12—15%, ThO_2 —5—10%, H_2O —12,5%.

Нередко встречается в щелочных сиенитах и нефелиновых монцонитах и пегматитах Мегринского и Тексарского щелочных комплексов. Бетафит образует октаэдрические кристаллы, реже псевдотетрагонально-бипирамидальные (рис. 36) и реже пластинчатые кристаллы. Основные формы: (111), (110), (100), реже (311) и (101). Размер кристаллов и неправильных выделений 0,5—1 мм.

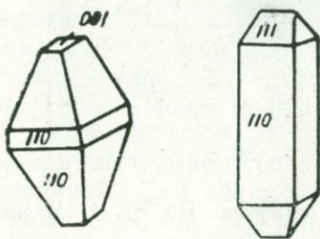


Рис. 36. Форма кристаллов бетафита. По Б. М. Меликсетяну

Цвет бетафита бурый до желто-оранжевого, иногда почти черный (рис. 37). Блеск восковой. Удельный вес $4,24 \pm 0,02$. Вокруг кристаллов бетафита отмечаются желтые продукты изменения. Изотропен, $N = 1,9 - 1,95$.

Межплоскостные расстояния разновидностей бетафита (табл. 58) и рассчитанные параметры элементарной ячейки: 1) Мегри $a_0 = 10,22\text{\AA}$, 2) Тексар $a_0 = 10,24\text{\AA}$ (эталон $a_0 = 10,20 - 10,42\text{\AA}$).

Судя по спектральным анализам, наблюдаются некоторые вариации в содержании кальция, титана и урана, что приближает некоторые разности черного цвета к титанобетафиту (анализ № 2) и к менделеевиту—анализ № 3 (табл. 59).

Из сортированных примесей постоянно отмечаются: Si (1—3%), Sb (0,01%), Li (0,003%), Mn (0,1—0,3%), Fe (0,3—1%), Al (0,1—0,3%), Bi (0,003%), а также следы Mg, Zr, Zn, Ga. Бетафит встречается в сиенитовых (Аткиз), щелочных (Шванидзор), гранитных (Мюльк), нефелин-содалитовых (Калер, Тексар), незамещенных разностях пегматитов. Обычно ассоциирует с ильме-

корутилом, давидитом, торитом, ураноторитом, турмалином, меланитом, орбитом, монацитом и др.



Рис. 37. Осколки кристаллов буро-коричневого бетафита. По Б. М. Мелик-сетяну.

Таблица 58

Рентгенометрическая характеристика бетафита

Тексар		Мегри		Тексар		Мегри	
I	d/n	I	d/n	I	d/n	I	d/n
6	3,28	7	3,26	8	1,546	5	1,550
9	2,97	10	3,00	8	1,477	4	1,484
7	2,82	4	2,80	7	1,277	1,5	1,243
4	2,47	4	2,57	2	1,146	2	1,145
—	—	—	—	6	1,049	2	1,044
2	2,004	1	1,978	4	1,042	—	—
9	1,805	7	1,820	—	—	2	0,986
3	1,670	2	1,630	—	—	1,5	0,936

Условия съемки: 1) Лаборатория ИМГРЭ, Cu-Ni, D=57,3 мм, d=0,6 мм. Эксп. 10 ч. (Мегри). 2) Лаб. ИГН АН АрмССР, аналитик Хуршудян Э. Х., Fea,β, D=57,3 мм, d=0,45 мм. Эксп. 21 ч. Образцы прокалены t=900° в течение 3 ч.

Химический состав (в %) бетафитов*

№	Ca	Ti	Nb	Ta	Be	Sn	Pb	La	Ce	Y	Yb	Th	U
1	>3	>5	>3	0,3	0,003	0,001	0,02	0,3—1	3—5	1,0	0,3	3,0	3
2	>3	>10	>3	0,2	0,003	0,003	0,01	3	0,3—1	1,0	0,3	1—3	3
3	>10	>5	>3	0,3	0,003	0,003	0,01	0,3—1	0,3—1	1,0	0,1	0,3—1	3
4	>3	>5	>3	0,1	0,001	0,001	0,03	0,3—1	1—0	0,3—1,0	0,2	1—3	3

* По данным спектральных анализов: 1—Тексар, фельдшпатоидный пегматит; 2—полевошпатовый пегматит (Аткиз); 3—кварц-альбит-мусковитовый пегматит (Гюмаранц); 4—кварц-полевошпатовый пегматит (Мегри).

Криптомелан— $K_2Mn^{2+}Mn^{4+}_8O_{16} \cdot H_2O$. Состав не постоянен.

Криптомелан кристаллизуется в тетрагональной сингонии. Для него главным образом характерны плотные скрытокристаллические агрегаты в виде почек, гроздьев, натеков. Образует также рыхлые землистые массы. Гораздо реже встречается в виде мелких кристаллических зернистых агрегатов (рис. 38). Во всех случаях встречается в тесной ассоциации с голландитом.

Макроскопически криптомелан, образующий колломорфные агрегаты, темно-бурового до черного цвета. Чертка бурая. Блеск смоляной. Для очень плотных разностей характерен раковистый излом, с тонкой иризирующей побежалостью. Для кристаллически-зернистых агрегатов характерен металлический блеск и серый цвет. Твердость криптомелана колеблется в широких пределах: для рыхлых разностей приближается к 1, а для плотных—6—6,5.

В отраженном свете в полях пиролюзита криптомелан серый, в полях гаусманита—белый. В хорошо отполированных шлифах отражательная способность ниже, чем у пиролюзита—составляет 27—25 %. Двуотражение слабое, но при больших увеличениях заметно отчетливо. В иммерсии отражательная способность снижается довольно сильно, особенно у не очень плотных разностей. Дву-преломление и эффекты анизотропии проявляются интенсивнее. Благородные рефлексы не наблюдаются.

Часто под микроскопом криптомелан обнаруживает метаколлоидные структуры в виде раскристаллизованных в различной степени почек, гроздьев (рис. 39).

Раскристаллизованные разности часто образуют характерный для криптомелана «ледовый» узор и сноповидные агрегаты ра-

диально-лучистого строения. Концентрически-слоистое строение почек, сложенных криптомеланом, хорошо видно под электронным микроскопом.

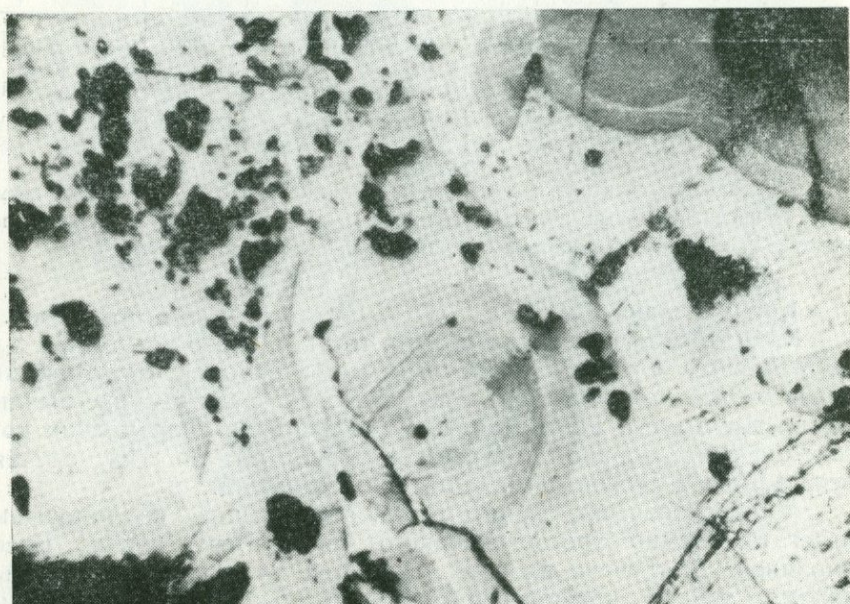


Рис. 38. Мелкокристаллический криптомелан между почками голландита. Но-
лир. шлиф, увел. 100. Мартиросское проявление. По Л. П. Яшвили.

Данные приближенно-количественных спектральных анализов мономинеральных фракций криптомелана с примесью голландита приведены в табл. 60. По данным химических анализов той же фракции криптомелана из Севкар-Саригюхского месторождения марганца имеем (в %): MnO —12,20; MnO_2 —52,40; BaO —6,41; K_2O —2,7; Na_2O —0,4; Tl_2O —0,6; SiO_2 —0,79; Fe_2O_3 —4,07; H_2O^+ —2,42; H_2O^- —0,92.

Надо отметить повышенное содержание в криптомелане Co , V , Cu , As и особенно таллия. Последний в виде изоморфной примеси в криптомелане замещает калий.

В табл. 61 приведены данные рентгеноструктурного анализа различных криптомеланов из некоторых месторождений Армении.

В марганцевых рудах Армянской ССР криптомелан является одним из наиболее распространенных минералов. Как основной ру-

дообразующий минерал, он входит в состав руд Севкар-Саригюхского месторождения марганца и Мартиросского проявления. На Кармрашенском, Сваранцском и Саринарском проявлениях имеет подчиненное значение. В первом случае развивается в тесной ассоциации с голландитом. На Севкар-Саригюхском месторождении криптомелан выпадает в раннюю стадию гидротермального этапа рудоотложения. Образует прожилки, гнезда. Местами цементирует раздробленную вмещающую породу.



Рис. 39. Криптомелан-голландитовая почка концентрически-слоистого строения. Полир. шлиф, увел. 150. Севкар-Саригюхское месторождение. По Л. П. Яшвили.

На Мартиросском проявлении криптомелан образует две генерации. Криптомелан ранней генерации представляет собой коломорфные образования в виде почек, натеков. Криптомелан же поздней генерации в виде тонкокристаллических агрегатов выполняет межпочечные пространства. Часто цементирует катализированные почки, сложенные голландитом и криптомеланом ранней генерации.

Таблица 60

Данные приближенно-количественных спектральных анализов (в %)
криптомелана с небольшой примесью голландита

Эле- менты	Севкар— Саригюх	Мартирос	Эле- менты	Севкар— Саригюх	Мартирос
Si	0,32	0,1—0,3	Cu	0,42	—
Al	0,32	>1	Pb	—	>0,001
Mg	0,32	0,3—1	Sb	—	0,01—0,03
Ca	3,2	≥1,0	As	0,1	—
Fe	0,42	0,1—0,3	Zn	—	0,003
Na	1,0	1,0	Tl	1,0	—
K	3	3—10	Y	—	0,003
Mn	>10	>10	Yb	—	0,0003—0,001
Ni	0,0032	0,003—0,001	Sr	0,056	—
Co	0,32	—	Ba	3,2	3
Ti	0,0042	0,03	Li	—	0,0006
V	0,1	>0,1	Be	0,001	—
Mo	0,024	—			

Примечание: Анализы выполнены в спектральной лаборатории ИГН АН АрмССР под рук. Г. М. Мкртчяна.

Голландит— $\text{BaMn}^{2+}\text{Mn}_8^{4+}\text{O}_{16} \cdot 2\text{H}_2\text{O}$. Состав не постоянен.

Голландит кристаллизуется в тетрагональной сингонии. Образуется в тесной ассоциации с криптомеланом. Слагает колломорфные почковидные или мелкозернистые радиально-лучистые скопления. Последние развиваются вокруг почек, сложенных криптомелан-голландитовым агрегатом. Иногда среди карбонатной массы встречается в виде обособленных гнезд субмикроскопических размеров радиально-лучистого строения. Макроскопически почковидные агрегаты бурого или черно-бурового цвета; кристаллически зернистые—серо-черные. Излом раковистый, блеск смоляной, черта черная.

Под микроскопом в отраженном свете голландит серо-белого цвета. В полях криптомелана белый с едва заметным желтым оттенком. В полях пиролюзита—серый. Отражательная способность умеренная, ниже чем у пиролюзита (порядка 27—28%), у почковидных агрегатов приближается к таковой криптомелана. У железосодержащих разностей R заметно понижается. Двуотражение отчетливое, но слабее, чем у криптомелана. Эффекты анизотропии довольно яркие. Внутренние рефлексы не наблюдаются.

Для почковидных агрегатов характерны структуры «ледового узора», вытянутые радиально от центра почек (рис. 40).

Данные приближенно-количественного спектрального анализа почковидных агрегатов голландита с небольшой примесью крипто-

мелана приведены в табл. 62. Необходимо отметить повышенное содержание Fe, Al, V, Ti, Co, которые входят в состав голландита в виде примеси.

Таблица 61

Межплоскостные расстояния криптомелана

Севкар—Саригюхское месторождение								Мартиросское проявление	
1) очень плотный черный		2) очень плотный бурый		3) рыхлый		4) данные электронограммы		5) кристаллически зернистый	
I	d/n	I	d/n	I	d/n	I	d/n	I	d/n
5	7,03	—	—	—	—	—	—	ср.*)	6,91
—	—	—	—	—	—	ср.	5,05	сл.	5,00
4	4,85	—	—	—	—	—	—	—	—
—	—	—	—	—	—	ср.	4,45	—	—
3	4,11	—	—	—	—	—	—	—	—
2	3,47	—	—	—	—	—	—	сл.	3,30
8	3,13	8	3,084	8	3,09	ср.	3,12	о. с.	3,08
—	—	—	—	—	—	о. сл.	2,74	о. с.	2,73
—	—	—	—	—	—	сл.	2,57	—	—
10	2,38	10	2,381	10	2,38	о. с.	2,40	с.	2,37
8	2,145	7	2,140	2	2,157	ср.	2,155	ср.	1,14
1	1,995	—	—	—	—	о. сл.	1,95	о. сл.	2,09
—	—	—	—	—	—	ср.	1,835	ср.	1,90
4	1,822	5	1,81	3ш	1,81	о. сл.	1,642	—	1,82
—	—	—	—	—	—	ср.	1,538	ср.	1,54
—	—	4	1,53	6ш	1,539	ср.	1,497	—	—
—	—	—	—	—	—	ср.	1,425	сл.	1,43
3	1,418	5	1,422	—	—	о. сл.	1,355	сл.	1,34
3	1,358	—	—	—	—	ср.	1,29	ср.	1,29
1	1,301	3	1,297	3	1,29	ср.	1,235	—	—
—	—	—	—	—	—	о. сл.	1,148	—	—
—	—	—	—	—	—	о. сл.	1,077	—	—
—	—	—	—	—	—	сл.	0,913	—	—
—	—	—	—	—	—	сл.	0,842	—	—
—	—	—	—	—	—	сл.	0,810	—	—

- 1) Центр. лаборатория Управления геологии АрмССР. Условия съемки: УРС-70, Feα,β, D=57,3, d=0,5, эксп. 12 ч.
- 2) Лаборатория ИГН АН АрмССР, Ревазова Н. В. Условия съемки: УРС-55, Feα,β, D=57,3, шарик, эксп. 10 ч.
- 3) Лаборатория ИГН АН АрмССР, Ревазова Н. В. Условия съемки: УРС-55, Cuα, D=57,3, d=0,3, эксп. 8 ч.
- 4) Лаборатория электронографии и эл. микроскопии ИГН АН АрмССР.
- 5) Лаборатория Армнипроцветмета. Условия съемки: УРС-60, Feα, β, D=57,3, d=0,5, эксп. 12 ч.

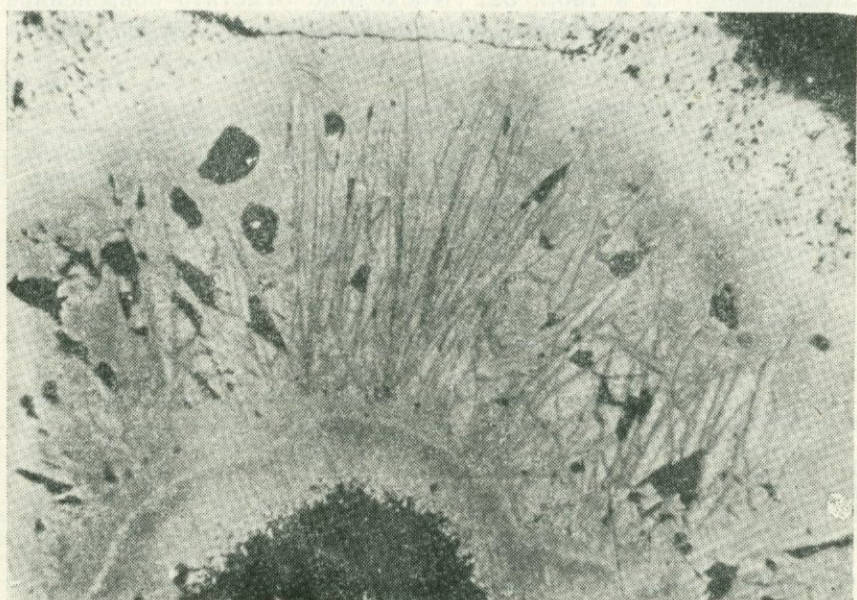


Рис. 40. Голландит метаколлоидной структуры с характерным «ледовым» узором. Вокруг почки развивается тонкозернистый криптомулан. Полир. шлиф, масляная иммерсия, увел. 1500, николи II. Мартиросское проявление. По Л. П. Яшвили.

Таблица 62
Данные приближенно-количественного анализа голландита (в %)

Элементы	1	2	Элементы	1	2
Si	8,8	5,6	Cu	0,063	0,032
Al	2,5	2,4	Pb	0,0006	—
Mg	0,08	0,24	Ag	0,00012	—
Ca	0,55	1,8	As	0,017	0,01
Fe	1,13	0,042	Zn	0,038	—
Na	0,6	1,0	Tl	—	0,0056
K	—	1,0	Yt	0,0025	0,0042
Mn	>10	>10	Yb	0,0015	0,00042
Ni	0,051	0,056	Sr	0,12	0,42
Co	0,055	0,44	Ba	3,45	3,2
Tl	0,1	0,24	Li	—	0,01
V	0,65	0,32	Be	0,0013	0,0024
Mo	0,063	0,056			

Примечание: Анализы выполнены в спектральной лаборатории ИГН АН АрмССР, под рук. Г. М. Мкртчяна.

Межплоскостные расстояния голландита

Севкар—Саригюх (1)		Мартирос (2)		Севкар—Саригюх		Мартирос	
I	d/n	I	d/n	I	d/n	I	d/n
6	6,90	c.	6,91	1	1,87	—	—
4	4,90	c,	4,90	—	—	c.	1,83
2	3,70	—	—	4	1,80	—	—
1	3,40	сл.	3,47	—	—	сл.	1,64
7	3,10	о. с.	3,09	3	1,54	ср.	1,54
2	2,49	—	—	3	1,42	ср.	1,43
9	2,39	c.	2,39	—	—	сл.	1,36
3	2,27	о. сл.	2,29	2	1,34	—	—
7	2,17	ср.	2,15	2	1,29	сл.	1,29
4	2,10	—	—	1	1,15	—	—
—	—	о. сл.	2,02	—	—	сл.	1,08
3	1,90	—	—	1	1,04	—	—

1) Центральная лаборатория Управления геологии АрмССР, аналитик Р. Г. Мхитарян. Условия съемки: УРС-70, $\text{Fe}_{\alpha\beta}$, $D=57,3$, $d=0,5$, эксп. 12 ч.

2) Лаборатория Армнипроцветмета. Условия съемки: $\text{Fe}_{\alpha\beta}$, $D=57,3$, $d=0,5$, эксп. 10 ч.

В табл. 63 приведены данные рентгеноструктурного анализа двух образцов голландита. Обр. 1 представляет собой тонкокристаллический агрегат радиально-лучистого строения из Севкар-Саригюхского месторождения марганца; обр. 2—почка метаколлондного строения из Мартиросского проявления марганца.

На территории Армянской ССР голландит входит в состав гидротермальных марганцевых руд как один из главных рудообразующих минералов. Как уже было отмечено выше, образуется в тесной ассоциации с криптомеланом.

На Мартиросском проявлении голландит выпадал в начальной стадии процессов рудоотложения. Здесь он образует почковидные агрегаты в виде гнезд и корок концентрически слоистого строения (рис. 41) в пустотах и порах андезито-базальтов. На Мартиросском проявлении образуется голландит двух генераций. Голландит ранней генерации, в отличие от позднего, содержит повышенное количество железа. Содержание железа в почковидных выделениях колеблется. Высокие содержания чаще наблюдаются во внутренних частях почек. Характерно также повышенное содержание V, Ti, Ni, Co, Mo, достигающее сотых, а иногда и десятых долей процента.

Голландит поздней генерации цементирует катаклазированные почки голландита ранней генерации.

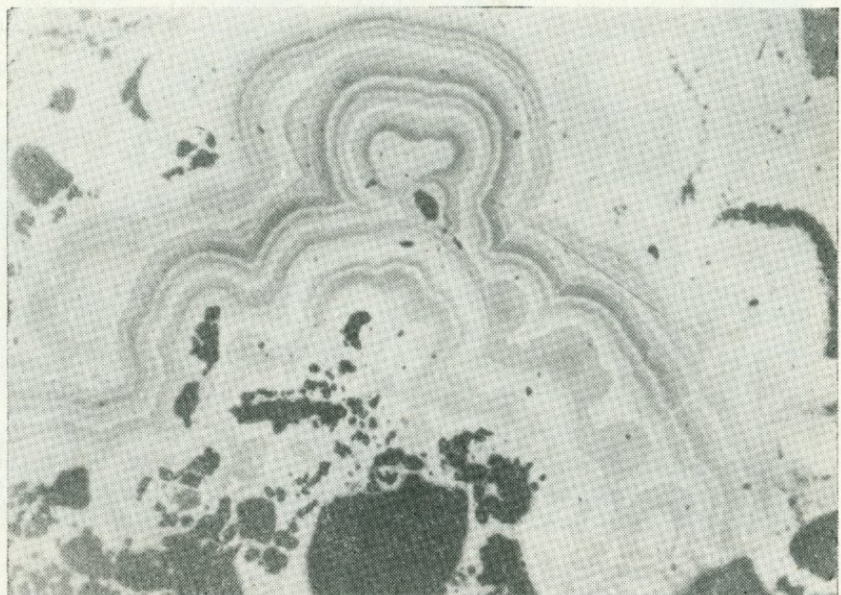


Рис. 41. Концентрически-зональное строение почковидных выделений голландита и криптомелана. Полир. шлиф, увел. 100. Мартиросякое проявление. По Л. П. Яшвили.

На Севкар-Саригюхском месторождении (Яшвили, 1980) голландит встречается исключительно в рудах гидротермального этапа оруденения. Так же как и на Мартиросяком проявлении образует две генерации: ранний выпадает в виде колломорфных агрегатов, в ассоциации с криптомеланом, образуя концентрически склеруповатые агрегаты. Голландит поздней генерации образует оторочки на почках и фестонах окисных соединений марганца в виде мелких короткопризматических кристаллов.

Тодорокит— $(\text{Mn}^{2+}, \text{Ca}, \text{Ba})_2\text{Mn}_6^{3+}\text{Mn}_{11}^{4+}\text{O}_{33} \cdot 8\text{H}_2\text{O}$. Точный состав не установлен.

Сингония тодорокита достоверно не установлена. По данным некоторых авторов, псевдоромбическая.

Макроскопически тодорокит темно-коричневого, иногда почти черного цвета. Чешуя коричневая. Блеск металлический, у землистых разностей полуметаллический до матового.

Под микроскопом в проходящем свете тодорокит темно-коричневый, иногда непрозрачный. Показатель преломления высокий, по данным разных авторов, колеблется в пределах 1,74—2,35. Плеохроизм в коричневых тонах. Двуосный, отрицательный.

В полированных шлифах тодорокит серый, разной интенсивности. Цвет находится в прямой зависимости от содержания воды. Отражательная способность низкая—порядка 21—24%, двутравжение слабое, сильно анизотропен. Внутренние рефлексы бурые или красно-бурые.

В рудах Армянской ССР тодорокит обнаружен П. Ф. Андрушенко (1978) на Сваранцском месторождении марганца, где развивается в незначительном количестве в полуокисленных манганит-браунитовых рудах. Обычно образует псевдоморфозы по брауниту и манганиту. Встречается также в виде почковидных выделений с концентрически-зональным строением.

В табл. 64 приведены данные рентгеноструктурного анализа скрытокристаллического плотного тодорокита из Сваранцского месторождения (по П. Ф. Андрушенко).

Таблица 64

Межплоскостные расстояния тодорокита*

I	d/n	I	d/n
10	9,55	2	2,14
4	7,16	1	1,84
7	4,87	1	1,766
7	4,54	2	1,699
3	3,35	2	1,647
4	2,73	3	1,581
3	2,59	4	1,538
10	2,44	10	1,419
3	2,33	2	1,323

* Рентгенограмма заимствована из работы П. Ф. Андрушенко (1978).

Рансьеит—(Ca,Mn²⁺+Mn⁴⁺)O₉·3H₂O. Точный состав не установлен.

Рансьеит кристаллизуется в гексагональной сингонии. Образует мелкие призматические, тонковолокнистые, тонкопластинчатые радиально-лучистые или скрытокристаллические агрегаты. Часто встречается в виде нераскристаллизованных или слабораскристаллизованных колломорфных скоплений. Образуется в тесной ассоциации с пиролюзитом и с гидроокислами железа в рудах некоторых марганецсодержащих сульфидных, а также осадочных и эвкаляпционно-осадочных мэрганцевых месторождений.

Цвет рансьента серебристо-серый, черный, бурый, густо-фиолетовый. Чешуя буро-коричневая. У хорошо раскристаллизованных разностей блеск металлический. В осколках просвечивает.

Под микроскопом в отраженном свете рансьент серый. Отражательная способность средняя, приближается к таковой криптомелана и голландита. Двуотражение отчетливое, эффекты анизотропии сильные.

В рудах Армянской ССР рансьент обнаружен на Сваранцском месторождении, на Кармрашенском и Саринарском проявлениях марганца. В рудах Сваранцского месторождения марганца (Андрющенко, 1978) имеет широкое распространение. Образует гнезда, вкрапленники, в полуокисленных браунит-родонитовых рудах, по видимому, образуется за счет окисления родонита. В виде тонкошлойкистых и тонкокристаллических агрегатов выполняет микротрециники, образуя сеть прожилков.

На Кармрашенском проявлении рансьент имеет ограниченное развитие. Встречается в окисленных рудах в ассоциации с пиролюзитом. Выполняет пустоты и микротрециники в виде скрытокристаллического агрегата.

Не исключено, что рансьент также входит в состав и других марганцевых проявлений Армянской ССР, но ввиду большого сходства с пиролюзитом и с минералами группы псиломелана, пока обнаружить его не удавалось.

Фергусонит— $\text{Y}(\text{Nb}, \text{Ta}, \text{Ti})\text{O}_4$. Химический состав (в %): CaO —1,96, Y_2O_3 —36,47, CeO —4,16, Nb_2O_5 —47,1, Ta_2O_5 —5,1, Mn —0,13, Fe —0,71.

Фергусонит образует призматические, реже боченковидные кристаллы тетрагональной сингонии с различной степенью развития граней призмы (230), дипирамиды (111) и пинакоида (001). Чаще встречаются неправильные выделения, включенные в калишпат. Как правило, поверхность кристаллов покрыта оранжевыми корочками вторичных продуктов изменения.

Цвет черный, черно-бурый. Очень характерны внутренние огненно-красные рефлексы. Блеск сильный, смолистый. В иммерсионных препаратах под микроскопом просвечивает красно-бурым цветом. Изотропизирован, $N \geq 2,1$. Как правило, рентгоаморфен; но при прокаливании до 900° (менее часа) проявляется рентгенограмма тетрагонального фергусонита, при более длительном прокаливании (более 1 часа) и рефлексы моноклинного (β -фергусонит) (табл. 65).

Изученные фергусониты из мусковитовых пегматитов Мегринского plutona подтверждают надежность диагностики (табл. 66).

Таблица 65

Рентгенометрическая характеристика фергусонита

I	d/n	I	d/n	I	d/n
10	3.31	3	1.786	4	1.154
10	3.07	8	1.558	4	1.058
5	2.751*)	3	1.510	2ш	1.045*)
5	2.584	2	1.478*)	6	0.996*)
6	2.151	3	1.468*)	5	0.877*)
6	1.876	2	1.218	5	0.864*)
8	1.825	3	1.185*)	3	0.819*)

Анализ выполнен в рентгеновской лаборатории ИГН АН АрмССР Э. Х. Хуршудян. Условия съемки: УРС-70, Cu—Ni, D=57,3, d=0,45. Экспозиция 16 часов. Образец прокален 3 ч., при t=900°. Звездочкой обозначены межплоскостные расстояния β-фергусонита.

Таблица 66

Химический состав фергусонита по данным спектральных анализов (%)

	Pb	Sn	Sb	Bi	Ti	Nb	Ta	Y	La	Yb	Er	Th	U
784	0,3	0,006	0,30	0,2	~3,0	>10	~1,0	5	0,3—1	0,3	0,3	>5	>10
790	0,1	0,003	0,03	0,3	~1,0	>10	~1,0	10	0,3—1	0,3	0,3	>3	>5

Из других характерных элементов-примесей отметим: Mn (0,07%), Ba (0,03%), Be (0,01—0,03%), Ce (0,3—1%), Fe (1—3%).

Наиболее часто фергусонит встречается в мощных полевошпат-мусковитовых пегматитах с наложенными процессами альбитизации, мусковитизации в ассоциации с гадолинитом, торианитом, турмалином, ксенотитом и циртолитом, монацитом, торитом, флюоритом и литиомусковитом (Калер, Буртин-Кар, Кармир-Кар, Шавзи). Пегматиты и альбиты с фергусонитом тяготеют к калиевым щелочным сциннитам Шванидзорского комплекса на ЮВ Мегринского plutона.

Ильменит—FeTiO₃. Синоним титанистый железняк. Сингония тригональная, характерны мелкие зерна неправильной формы. Нередко образует сплошные зернистые массы, таблитчатые и ромбоэдрические кристаллы, а также тонкие пластинки по [0001] в зернах магнетита, реже—гематита, рутила и других минералов. Спайность не выражена, излом раковистый, полураковистый, хрупок, твердость 5,6. Микротвердость ильменита в титаномагнетитовых рудах Свараницкого и Камакарского месторождений, измеренная на приборе ПМТ-3, составляет 593—734 кгс/мм² при на-

грузке 100 г (по С. И. Лебедевой, 1963), 553—825 при нагрузке 50 г и 501—752 при нагрузке 100 г по Янгу и Милмэку (1964).

Уд. вес 4,79. Цвет железно-черный, реже с буроватым или стально-серым оттенком. Цвет черты черный, буровато-черный. Блеск металлический, полуметаллический; слабо магнитный.

В полированных шлифах, в отраженном свете цвет ильменита светло-серый (или серовато-белый) со слабо-коричневым или буроватым оттенком.

Отражательная способность (R) ильменита при разных длинах волн изменяется. Оптические константы, измеренные с помощью фотометрического окуляра системы И. С. Волынского (в воздухе) следующие: $Ro=20,4\%$, $Re=17,1\%$. Двуотражение в воздухе заметное, а в иммерсии довольно отчетливое, особенно на двойниках. Ro —розовато-бурый, Re —темновато-бурый. Анизотропность ясная, особенно на пластинчатых разновидностях ильменита в зернах магнетита (ильменомагнетита) Сваранцского и Камакарского месторождений собственно-магматического (гистеромагматического) происхождения и из осадочных титаномагнетитовых песчаников Агарцинского месторождения. Непрозрачен в тонких шлифах, в проходящем свете слабо просвечивает темно-буроватым цветом. Проявляет сильное двупреломление. Иногда проявляет слабую магнитность, что, по всей вероятности, может быть вызвано микроявлениями и механической примесью магнетита. В литературе указывается зависимость этого свойства от содержания железа, в частности от соотношения FeO и Fe_2O_3 , входящих в состав ильменита. Чистый ильменит парамагнитен. Исследованиями Шевалье и Болфа доказано, что по мере увеличения содержания Fe_2O_3 магнитность синтетических ильменитов возрастает, достигая максимального значения при соотношении $Fe_2O_3:FeTiO_3=1:2$.

В отношении стандартных растворов-реактивов ильменит инертен и разлагается лишь после сплавления с бисульфатами щелочей. В кислотах не растворяется, только в тонком порошке частично растворяется при кипячении в HCl (Минералы, Справочник, 1967).

Полированная поверхность ильменита травится концентрированной HF и смесью $HF+H_2SO_4$.

Теоретический состав ильменита: $Fe=47,34\%$, $TiO_2=52,66\%$, обычно содержит примеси Mg и Mn , иногда Al , V , Si , Nb , Cr , Sc , Co , Zn , Ba , Y , Th , Ni , Cu и др. элементов.

В природе распространены две разновидности ильменита: пикроильменит¹, содержащий 9 и более процентов MgO и манганиль-

¹ Пикроильменит представляет собой промежуточный минерал между собственно ильменитом и гейкилитом, а манган-ильменит—между собственно ильменитом и пирофанитом (Минералы, Справочник, 1967).

менит с 13 и более процентов MnO; Fe²⁺ часто изоморфно замещается Mg и Mn²⁺.

В ильменитах из щелочных пород установлена примесь Nb₂O₅ до 3,5—3,8%.

Промышленные запасы ильменита являются сырьем для получения титана и ценных попутных элементов-примесей, подлежащих попутному извлечению при разработке ильменитовых руд.

Ильменит в виде акцессорного минерала встречается почти во всех типах интрузивных и метаморфизованных горных пород республики. Ильменитом особенно богаты основные и ультраосновные породы Сваранецкого и Камакарского железорудных месторождений. Некоторые разновидности этих пород—оливиновые габбро, троктолиты, оливиниты, пироксениты и амфиболиты отмеченных месторождений содержат богатую вкрапленность магнетита, титаномагнетита, ильменомагнетита и ильменита.

Ильменит является характерным рудным минералом для титаномагнетитовых руд, в частности богатых руд месторождений собственно магматического происхождения.

В титаномагнетитовых рудах содержание ильменита варьирует в широких пределах—от десятых долей до 2—3%, реже достигая 5—7% от общего количества рудных минералов.

В отраженном свете, в полированных шлифах титаномагнетитовых руд ильменит образует как самостоятельные ангедральные выделения (размером 0,01—0,8 мм) между зернами магнетита и титаномагнетита*, так и тонкие пластинки (0,001—0,06 мм) в зернах магнетита—ильменомагнетита**. На самом деле здесь имеются две разновидности, вернее, генерации ильменита:

а) пластинчатая или ранняя генерация ильменита образует ориентированные срастания с магнетитом по направлению плоскости октаэдра (под углом 60°), давая микропластинчатую и микрорешетчатую структуры распада твердых растворов;

б) поздняя генерация ильменита представлена самостоятельными ангедральными выделениями между зернами магнетита, образуя гипидиоморфнозернистые и петельчатые структуры.

Пластинчатый ильменит образовался при более высоких температурах (при медленном и постепенном понижении температуры), чем самостоятельные ангедральные его выделения между зернами магнетита (Межлумян Г. Б., 1974).

* Под титаномагнетитом нами понимается магнетит с изоморфной примесью TiO₂, без образования минералов титана.

** Магнетит с пластинчатыми выделениями ильменита является результатом распада твердого раствора.

Ильменит второй генерации является сравнительно низкотемпературной разновидностью и образовался, по всей вероятности, путем перегруппировки (пирокристаллизации) пластинчатых выделений ильменита.

Высокая концентрация ильменита осадочного происхождения имеется в прибрежных ископаемых россыпях типа титаномагнетитовых песчаников Агарцинского месторождения, Гарнасарского, Джангарлинского и Дайлахлинского рудопроявлений республики. В титаномагнетитовых песчаниках ильменит ассоциирует с магнетитом, где он представлен самостоятельными неправильными зернами (размером 0,01—0,2 мм) и тонкими пластинчатыми выделениями в зернах магнетита.

В отличие от ильменитов собственно магматического происхождения ильмениты в осадочных титаномагнетитовых песчаниках часто подвергнуты изменению—лейкоксенизации, т. е. замещению мелкозернистыми агрегатами неправильных выделений лейкоксена, реже рутила, анатаза и окислов железа. При полном замещении ильменомагнетита сохраняются пластинки ильменита, как более устойчивого минерала в виде скелетных структур. В некоторых случаях под воздействием поздних процессов по периферии пластинок образуется лейкоксен.

Давидит $(\text{TR}, \text{U}, \text{Fe}^{2+})_2(\text{Fe}^3, \text{Ti}_5)\text{O}_{12}$. **Браннерит** UTi_2O_6 .

Давидит и браннерит образуют мельчайшие срастания друг с другом, а в тех случаях, когда они образуют самостоятельные кристаллы, то преимущественно замещены рутилом, анатазом, брукитом, лейкоксеном, бастнезитом. Давидит образует идеально ограненные кристаллы (рис. 42) размером до $1 \times 1,5$ см в попереч-

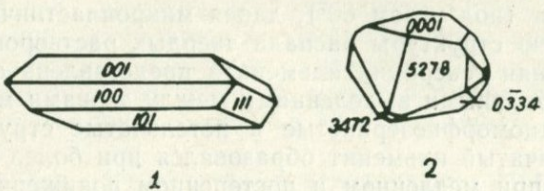


Рис. 42. Формы кристаллов давидита (1) и браннерита (2).
По Б. М. Меликсяяну.

нике и 3—5 см в длину. Кристаллы таблитчатые тригонального облика, реже призматического габитуса с хорошо развитыми гранями (0001), (1230) (2130) и др. Часты двойники прорастания по (1120). Излом раковистый. В противоположность давидиту бран-

нерит образует несовершенные призматические кристаллы (рис. 43), а чаще зерна неправильной формы, но с отчетливой спайностью.

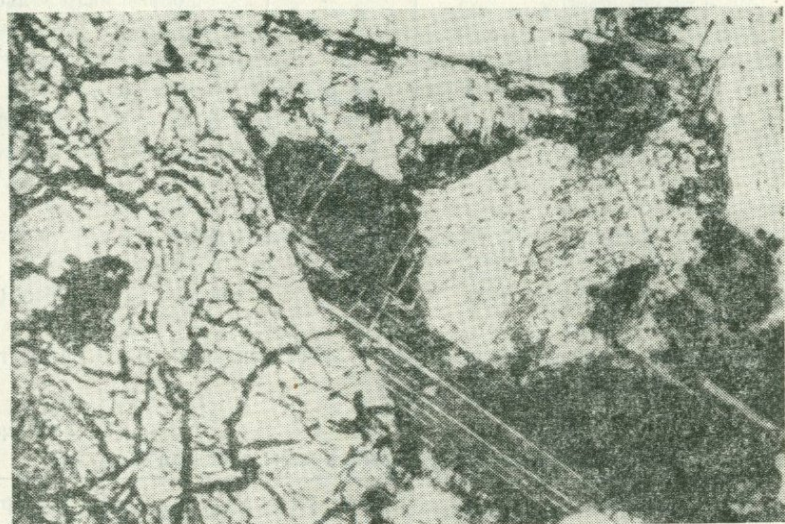


Рис. 43. Крупные выделения браннерита в альбитите. Прозрачн. шлиф, увел. 20, николи +. По Б. М. Меликсяну.

Таблица 67

Рентгенометрическая характеристика давидита

I	d/n	I	d/n	I	d/n
3	3,62	7	2,482	4	1,702
4	3,50*)	4	2,470	9	1,689*)
5	3,381	3	2,414*)	4	1,623*)
10	3,245	5	2,245	5	1,593
4	3,189*)	5	2,188	2	1,541
3	3,044	5	2,134	2	1,501
6	2,873	3	2,057	3	1,482
3	2,821*)	2	1,914	5	1,435
2	2,727*)	2	1,888	2	1,416*)
4	2,617	6	1,793	5	1,361*)
				2	1,317

Анализ выполнен в рентгеновской лаборатории ИГН АН АрмССР Э. Х. Хуршудян. Условия съемки: ДРОН-2, Соа. Образец прокален $t=900^\circ$ в течение 6 часов. Звездочкой обозначены линии браннерита.

Таблица 68

Химические анализы давидитов*

Оксиды в %	БМ—30А— из альбити- товых тел	БМ—30—из кварц-аль- бититовых жил	Оксиды в %	БМ—30А— из альбити- товых тел	БМ—30—из кварц-альбити- товых жил
SiO ₂	2,72	2,83	Nb ₂ O ₅	0,11	0,14
TiO ₂	61,43	58,33	Ta ₂ O ₅	н. о.	0,004
Al ₂ O ₃	4,23	5,05	Cr ₂ O ₃	3,24	2,00
Fe ₂ O ₃	14,20	17,43	V ₂ O ₅	1,60	1,00
FeO	—	—	TR ₂ O ₃	5,70	4,58
MnO	сл.	сл.	ThO ₂	0,063	0,09
MgO	н. о.	0,36	U ₃ O ₈	3,14	3,35
CaO	0,11	0,60	PbO	0,10	0,13
Na ₂ O	0,53	0,25	H ₂ O±	3,27	3,22
K ₂ O	0,12	0,25	Σ	100,56	100,224

* Химические анализы выполнены в ИМГРЭ аналитик В. Н. Архангельская.

Таблица 69

Количественно-спектральный анализ давидита*

Элемент	Содерж. в %	Элемент	Содерж. в %	Элемент	Содерж. в %
Si	2,60	La	2,30	Zr	0,16
Al	0,50	Ce	1,90	Hf	0,14
Fe	6,80	Gd	0,12	Nb	0,026
Ti	21,50	Tu	0,07	Sn	0,020
Mg	0,65	Yb	0,76	Ge	0,003
Ca	0,75	Lu	0,06	Ga	0,0037
V	2,32	Y	2,15	Be	0,004
Cr	1,20	ΣTR	7,36	Sc	0,26
Mn	0,06	Th	0,60	Ag	0,0008
Na	0,60	U	2,41	Sb	0,064
K	0,20	Pb	0,13	Zn	0,092
Ba	0,42	Cu	0,009	B	0,0013

* Анализ выполнен в ИГН АН АрмССР, аналитик Мартиросян М. Я.

Цвет давидита черный, темно-бурый, а браннерита—черный до желто-коричневого. Блеск полуметаллический, смолистый. Слабо магнитен лишь давидит. Непрозрачен, однако измененные разности просвечивают.

Под микроскопом в иммерсии тонкие осколки просвечивают. Вследствие метамиктности изотропны; показатели преломления, замеренные в фосфорных сплавах, варьируют: давидит $N=2,2-2,6$, браннерит $N=2,2-2,3$. Сильно радиоактивны. Альбититы,

включающие линзы и гнезда (1—3 см), как правило, окрашены в красноватые оттенки. В отраженном свете отчетливо проявляются включения ильменита, гематита, рутила, антаза, магнетита и других. Цвет светло-серый; отражательная способность 15—20 %. В отличие от браннерита давидит имеет желто-бурые внутренние рефлексы. В результате прокаливания приобретает бурый цвет, становится анизотропным. Рентгенограмма прокаленного давидита приведена в табл. 67. Кроме дифракционных линий давидита имеются линии браннерита и, возможно, рутила. Следует отметить сложность, изменчивость химического состава (табл. 68, 69, 70, 71).

Таблица 70

Химический состав давидита и браннерита

Элемент	Давидит	Браннерит
$\Sigma \text{TR}_2\text{O}_3$	3,87	3,35
UO_2	3,55	32,0
ThO_2	0,46	5,55

Хим. анализы по данным Б. К. Архипова (КЭ, 1977).

Браннерит совместно с давидитом в ассоциации с антазом, рутилом, орбитом, ксенотитом, бастнезитом встречаются в альбититах и кварц-альбитовых метасоматитах в пределах метаморфического фундамента и гранито-гнейсов Бжнийского массива. Давидит встречается в фельдшпатолитах Бундуцкого сиенитового массива, а также в порфировидных гранитах и пегматитах Вохчинского массива Мегринского plutона в ассоциации с ильменитом, ксенотитом, торитом, уранинитом и др.

Таблица 71

Редкоэлементный состав давидитов и браннерита (в %) по данным приближенно-количественных спектральных анализов

Минерал	Ni	Cr	V	Be	Ti	Nb	Sc	Ce	La	Y	Th	U
Давидит, Мегринский м-в	0,01	0,3—1	0,06	0,003	>10	0,3	0,03	>10	0,3	0,3—1	~1,0	1—3
Давидит, Бундуцкий м-в	0,03	0,03	0,01	0,001	>>10	0,05	0,06	>1	>1,0	0,1—0,3	3,0	1—3
Давидит, Бжнийский массив	0,06	0,5	0,03	0,003	>10	0,25	0,03	>3	>1	0,2	~1,0	>3
Браннерит (Бжни)	0,05	0,003	0,03	—	>10	0,2	0,03	1,0	0,3	~3,0	~3,0	>10

Колумбит—(Fe, Mn)(Nb, Ta)₂O₆. Химический состав весьма непостоянен. Образует непрерывный изоморфный ряд колумбит-танталит. Представлен толсто-таблитчатыми и таблитчатыми (010), (100) кристаллами (рис. 44); нередки двойники по (010). Габитус кристаллов часто игольчатый (в альбитах), радиально-лучистый в грейзенизованных породах, реже наблюдаются агрегаты зернистого сложения. Нередко толсто-столбчатые кристаллы (рис. 45) из пегматитов на гранях имеют резковыраженную штриховку. Часто грани матовые.

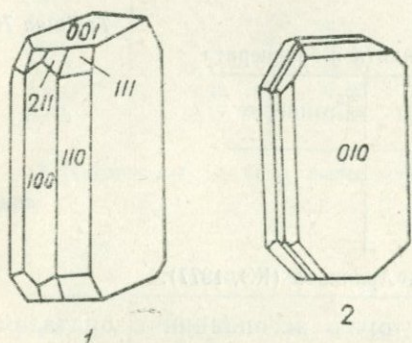


Рис. 44. Формы кристаллов колумбита. По Б. М. Меликсяяну.

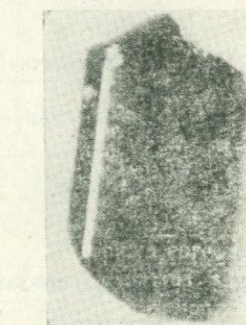


Рис. 45. Уплощенный кристалл колумбита (Памбак). Увел. 14.
По Б. М. Меликсяяну.

Цвет черный, буровато-черный. Характерны внутренние ярко-красные рефлексы. Блеск полуметаллический, иногда тусклый. Часто встречается на гранях кристаллов побежалость. Под микроскопом отчетливо плеохроируют от желтого по Np до темно-красно-коричневого по Ng. Обычно двуосный положительный. Показатели преломления: Ng=2,5, Np=2,4. Часто изотропизирован.

Приближенно-количественный спектральный анализ указывает на высокие содержания: Mn (>1—3), Nb ($\gg 10$), Ta (>5), Fe (>5), Ti (>0,3—1), Zr (0,3%), Be (0,003%), Pb (0,05%), примеси Cu, Mo, La, Ce, Y (п. 0,001%).

Рассчитанные по межплоскостным расстояниям параметры элементарной ячейки (\AA): $a_0 = 5,74$, $b_0 = 14,24$, $c_0 = 5,084$ и данные химического состава указывают на принадлежность к ферро-манган-колумбиту (табл. 72).

Колумбит встречен в гранитных пегматитах с поздними замещающими комплексами (Вохчи, Малев, Бжни) в тесной ассоциации с уранинитом (часто образующим включения в колумбите),

иттриалитом, самарскитом, турмалином, гранатом, апатитом, флюоритом и литномусковитом, в альбитах, кроме того, в ассоциации с давидитом, браннеритом, ильменорутилом, а в грейзенизованных гранитах и аляскитах—с гадолинитом, молибденитом, кассiterитом (Бжни, Агверан).

Таблица 72
Рентгенометрическая характеристика колумбита

I	d/n	I	d/n	I	d/n
2	7,2	3	2,496	3	1,684
1	6,12	3	2,374	3	1,601
3	5,37	1	2,282	4	1,530
2	4,76	2	(2,264)	5	1,471
7	3,69	3	2,240	2	1,460
2	3,54	4	2,201	2	1,445
10	2,968	3	2,080	7	1,390
4	2,865	3	2,050	2	1,436
2	2,542	5	1,901	5	1,372

Анализ выполнен в рентгеновской лаборатории Львовского госуниверситета. Условия съемки: Сиса, D=86 мм, d=0,5 мм. Экспл. 16 часов. Образец прокален t=900° 6 часов. По Б. М. Меликсетяну.

Следует отметить, что колумбит отмечается в гранитоидах как акцессорный минерал в естественных шликах в пределах древне-го кристаллического фундамента. Несмотря на геохимическую малую распространенность Nb и Ta в молодых гранитоидах и щелочных породах Армении, где они тесно связаны с TR, Y и Ti (титанониобаты и др.) в отдельных фациях, особенно в мусковит-альбитовых пегматитах возникают благоприятные условия для образования колумбита.

Самарскит—(Y, TR, U, Ca, Fe²⁺) (Nb, Ta, Fe³⁺, Ti) O₄.

Химический состав варьирует в значительных пределах CaO—0,94—3,94, Y₂O₃—12,47—13,93%, TR₂O₃—1,55—2,23%, Nb₂O₅—40—45%, Ta₂O₅—5—15%, ThO₂—1,2—6,2%, UO₂—5—11%, Sn—0,3—1,5%. Характерны призматические и таблитчато-пластинчатые кристаллы (рис. 46) моноклинной сингонии с хорошо развитыми гранями (100), (010), (011). Спайность по (100) несовершенная.

Цвет самарскита бархатно-черный, коричнево-бурый, иногда гидратированные разности красно-оранжевые. Блеск сильный, смоляный. В иммерсии просвечивает бурым цветом, изотропен, N≥2,15.

Судя по данным рентгенометрического (табл. 73) и приближенно-количественного спектрального анализов, минерал диагностируется как самарскит. Для химического состава характерны вариации: Ta (0,3—1,0%), иттрия (3—10%), Zr (0,3—1,0%), Nb (>3—5%), La (>1,0%), Er, Yb (0,3—1,0%), Th (3—5%), U (1—3%), а также примеси Pb (0,03—0,1%), Zn (0,1—0,3%), Sn (0,003—0,01%), Mn (0,3%), Ge (0,003—0,01%), Be (0,01%), Li (0,01%). Отдельные разности с высоким содержанием титана близки к хлопиниту.

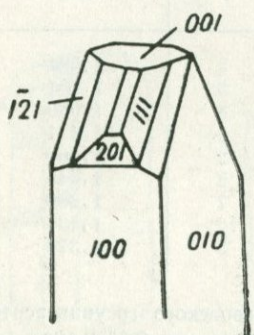


Рис. 46. Форма кристалла самарскита. По Б. М. Меликsetяну.

Встречается самарскит в гранитных пегматитах, генетически связанных с порфировидными гранитоидами (верховья р. Мюльк), реже в кварц-полевошпат-мусковитовых пегматитах (р-н с. Ма-

Таблица 73
Рентгенометрическая характеристика самарскита

I	d _{α/β}	I	d _{α/β}	I	d _{α/β}
4	4,93	6	1,884	5	1,388
8	3,53	5	1,860	3	1,363
3	3,34	5	1,760	5	1,320
4	(3,04)	8	1,710	4	1,275
9	2,80	4	1,680	3	1,254
5	2,73	6	1,650	2	1,199
4	2,55	3	(1,620)	3	1,173
5	2,48	10	1,555	3	1,109
3	2,43	6	1,497	4	1,059
4	2,27	6	1,454	3	1,004
5	1,996	4	1,434		

Анализ выполнен в рентгеновской лаборатории ИГН АН АрмССР Э. Х. Хуршудян. Условия съемки: РКД, D=57,3, d=0,4. Образец прокален t=900° в течение 3,5 ч. Эксп. 4,5 ч.

лев) Мегринского plutона. Ассоциирует с альбитом, эвксениитом, ильменорутилом, циртолитом, ураноторитом.

В виде акцессорной примеси встречается в молодых порфировидных гранитоидах южной Армении.

Эвксениит-поликраз— $(Y, Er, Ce)(U, Fe)(Nb, Ti, Ta)_2O_6$ Эвксениит $YNb_2(O, OH)_6$ —поликраз $Y(Ti, Nb)_2(O, OH)_6$ образуют твердые растворы титано-ниобатов редких земель иттриевой группы. Состав варьирует: Nb_2O_5 —15—33%, Ta_2O_5 —1—10%, ΣY —20—25%, TiO_2 —25—30%.

Таблица 74

Рентгенометрическая характеристика эвксениит-поликраза*

Мегри		Эталон		Мегри		Эталон	
I	d/n	I	d/n	I	d/n	I	d/n
2	3,43	3	3,36	1	1,528	1	1,522
10	2,95	10	2,98	5	1,478	5	1,487
—	—	3	2,77	2	1,288	2	1,292
3	2,57	3	2,58	—	—	3	1,222
—	—	4	2,43	2,5	1,202	2	1,203
2	2,26	1	2,252	2	1,179	3	1,173
—	—	3	2,106	2	1,151	4	1,156
—	—	2	1,935	2	1,132	—	—
4	1,831	5	1,823	1	1,101	2	1,100
3	1,698	5	1,723	2	0,949	3	0,941
4	1,640	4	1,635	2	0,888	2	0,890
2	1,580	1,5	1,583	1	0,866	2	0,84

* Условия съемки: рентгенограмма выполнена в ИМГРЭ, $Cu\alpha$, $D=57,3$; $d=0,6$ мм. Прокален $t=850^\circ$ в течение 3 ч. По Б. М. Меликсяну.

Широко распространен в альбитизированных кварц-полевошпатовых пегматитах порфировидных гранитоидов Мегринского plutона и Памбака (рис. 47). Образует редкие кристаллы, имею-

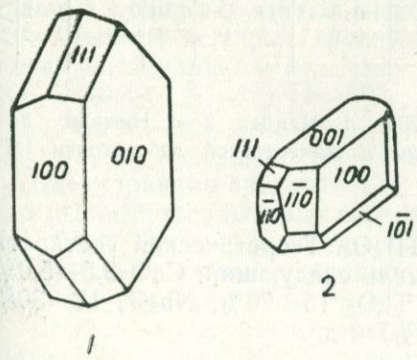


Рис. 47. Форма кристаллов эвксениита. 1. Мегри. 2. Памбак. По Б. М. Меликсяну.

щие толсто-призматический, иногда уплощенный по (010) и таблитчатый габитус с хорошо развитыми гранями (100), (010), (011), (111), слабее (201). На гранях характерная штриховка. Цвет черный, с красно-бурым оттенком и внутренними рефлексами. Изотропен, $N = 2,1 - 2,2$.

Рассчитанные параметры элементарной ячейки, по данным межплоскостных расстояний (табл. 74), следующие: $a_0 = 5,56$, $b_0 = 14,65$, $c_0 = 5,14 \text{ \AA}$.

Кристаллы и зерна покрыты корочкой вторичных продуктов (лейкоксен). Судя по имеющимся данным, спектрального анализа (табл. 75), образцы (3,4) близки к эвксениту, а остальные — к поликразу. Кроме элементов, указанных в таблице, постоянно устанавливаются Zr (0,3—1,0%), Hf (0,01%), Li (0,03—0,01%), Sc (0,003—0,01%), Ga (0,003%), Zn (0,003%), Sn (0,03%), Mo (0,003—0,01%) и другие.

Эвксенит-поликраз очень схож с колумбитом и, как правило, более характерен для обогащенных титаном гранитоидов базальтоидного ряда. Кроме акцессорного минерала в гранитоидах (Вохчи, Казан-лич, Памбак) очень часто встречается в гранитных пегматитах, особенно в участках блокового строения, подвергшихся альбитизации. Интересны находки эвксенита в альбитизированных-мусковитизированных разностях нефелиновых сиенитов Тежсарского комплекса. Эвксенит ассоциирует с уранинитом, бетафитом, анатазом, ильменорутилом, мусковитом и красным калиевым полевым шпатом.

Таблица 75

Химический состав (в %) эвксенит-поликраза* из пегматитов

Ca	Fe	Pb	Be	Ti	Nb	Ta	Y	La	Yb	Eu	Er	Th	U
1,1,0	3,0	0,1	0,03	>10	>5	0,3	>3	>3,0	0,3—1	0,1	0,3	1,0	3,0
2>3	1—3	0,03	0,01	3—5	3—5	0,3—1	>3	0,3	0,3—1	0,03	0,3	3	>3
30,3—1	>3	0,3	0,003	>5	>5	0,6	1—3	0,3—1	0,1—0,3	0,01	0,2	1—3	>3
40,3—1	>3	0,6	0,01	1—3	>5	0,3	>3	0,3	0,3—1	0,03	0,3	1—3	>3

* По данным спектральных анализов. 1—Памбак, 2—с. Нювади, 3—с. Мюльк, 4—с. Калер. Анализы выполнены в спектральной лаборатории ИГН АН АрмССР.

Эшинит — (Ca , Th) (Nb , Ti)₂O₆. Теоретический состав титано-ниобата церниевых редких земель следующий: CaO 2,5—5,0%, ΣTR_2O_3 23—32%, TiO_2 25—30%, ThO_2 15—20%, Nb_2O_5 15—30%, а также UO_3 (5—6%), Ta (0,5—3%) и др.

Эшинит — характерный минерал высокощелочных нефелин-содалит-полевошпатовых и содалит-канкринитовых пегматитов щелочных комплексов (Тексар, Шванидзор).

Таблица 76

Рентгенометрическая характеристика эшинита*

I	d/n	i	d/n
4	3,58	4—5	1,896
3	3,41	4	1,767
6	2,99	2	1,730
2	2,56	3	1,664
3	2,48	7	1,604
—	—	3	1,502
2	2,139	7	1,063

* Условия съемки: рентгенограмма выполнена в ЛГУ; D=86 мм, d=0,6 мм. Образец прокален t=850° 3 часа. По Б. М. Меликсяну.

Эшинит образует призматически-бипирамидального габитуса кристаллы с хорошо развитыми гранями (110), (021), (010). Более обычны выделения неправильной формы. Цвет черно-бурый, темно-бурый. Блеск сильный, смолистый. В проходящем свете вишнево-красный. Метамиктный, изотропный. Показатели преломления: Ng=2,45, Np=2,3±0,05. Характерным признаком по сравнению с другими редкометальными минералами является инертность к кислотам. Межплоскостные расстояния эшинита из Мегри (табл. 76) и рассчитанные по ним параметры элементарной ячейки близки к эталону: $a_0=5,12\text{\AA}$, $b_0=10,90\text{\AA}$, $c_0=7,48\text{\AA}$.

Как по составу, так и по рентгенометрической характеристике близок к бломстрандин-приориту. Однако, как показывают спектральные анализы, характеризуется накоплением исключительно редких земель церевой группы и тория. Приближенно-количественным спектральным анализом в эшините установлено: Th (3—5%), U (0,3—1%), Nb (1—3%), Ti (>10%), Ce (>5%), Y (0,3—1,0%), Ca (>10%), La (1—3%), в сотых и тысячных долях процента Sn, Bi, Pb, Cu, Zr, Li, V.

Бломстрандин-приорит — (Y, Ca, Th)(Ti, Nb)₂O₆. Составляют непрерывный твердый раствор приорита ($Ti:Nb \leqslant 1$) и бломстрандина ($Nb \gg Ti$), иногда составляя 75% Σ(Ti+Nb). Характерны для состава значительные вариации: ΣY—20—33%, Ca—1—5%, Ti—21—35%, Nb—15—35%, Th—1—5%, U—0,5—5%, Ta—0,3—3%.

Весьма характерный редкоземельный титано-ниобат фельдшпатоидных (натриево-калиевых) пегматитов Шванидзорского

комплекса. Нередко он представляет продукт изменения эшинита и бетафита.

Образует редкие таблитчато-призматические кристаллы с хорошо развитыми гранями ромбической сингонии: (010), (001), (110), (130). Наиболее обычны бесформенные выделения.

Цвет бломстрандин-приорита темно-коричневый до желто-коричневого. Блеск сильный, алмазный. Изотропен. Показатель преломления $N=2,00-2,35\pm 0,05$. Характерны ярко-оранжевые внутренние рефлексы. Удельный вес $4,76\pm 0,02$.

Химический состав бломстрандин-приорита вообще и Шванидзорского в частности характеризуется значительной изменчивостью, хотя в общих чертах сходен с эвксениит-поликразом. Следует отметить, что рентгенометрический анализ и рассчитанные параметры элементарной ячейки $a_0=4,93 \text{ \AA}$, $b_0=10,95 \text{ \AA}$, $c_0=7,30 \text{ \AA}$ приближают его к эвксениит-поликразу, что является следствием фазовых переходов при прокаливании. Однако до настоящего времени нет единства при выделении бломстрандин-приорита в систематике титано-ниобатов. Данные спектрального анализа (табл. 78) и сравнение величин межплоскостных расстояний указывают на самостоятельность бломстрандин-приорита, хотя возможно это результат гидратации эвксениит-поликраза.

Таблица 77

Рентгенометрическая характеристика бломстрандин-приорита

I	d/n	I	d/n	I	d/n	I	d/n
2	3,30	2	2,045	1	1,535	3ш	1,200
10	2,975	7	1,957	2	1,520	2	1,160
9ш	2,930	2	1,911	3	1,503	5	1,131
2	2,783	2	1,825	8	1,473	5,5	1,064
2ш	2,464	3	1,775	5	1,326	2	1,038
2	2,250	8	1,677	4ш	1,284		
2	2,139	8	1,579	3	1,234		

Анализ выполнен в рентгеновской лаборатории ИГН АН АрмССР Э. Х. Хуршудян. Условия съемки: $Cu\alpha$, $D=57,3$, $d=0,6$ мм, 40 kv, 20 mA. Образец прокален при $t=900^\circ$ в течение 3,5 часа.

Кроме того встречаются Bi (0,003%), Sb (0,01%), Li (0,001%), Cu, V, Na. Ассоциирует с эвксениит-поликразом, гельвином, гадолинитом, турмалином, альбитом, флюоритом, в своеобразных нефелин-содалит-канкринит-полевошпатовых пегматитах района Шванидзор Мегринского plutона.

Химический состав (в %) бломстрандин-приорита
(по данным спектрального анализа)

	Ca	Fe	Mn	Pb	Sn	Ti	Ta	Nb	Y	La	Ce	Yb	Th	U
1	5—10	3	0,3	0,01	0,003	>5	0,03	>>3	>3	>1,0	0,3—1	0,3—1	>3	~1,0
2	>5	>1,0	0,1	0,01	0,003	>10	0,1	>>3	>3	>1,0	0,3—1	0,3—1	>5	~1,0

Лопарит— $(\text{Ce}, \text{Ca}, \text{Na})_2(\text{Ti}, \text{Nb})_2\text{O}_6$. Теоретический химический состав лопарита: $(\text{Nb}, \text{Ta})_2\text{O}_5$ —11,0%, TiO_2 —39,2%, $\sum \text{TR}_2\text{O}_3$ —32,3%, FeO —0,1%, CaO —4,5%, Na_2O —8,0, ThO_2 —0,5%. Минерал кубической сингонии. Образует кристаллы кубической формы. Части весьма характерные двойники (рис. 48) по флюоритовому закону. Размеры выделений 2—3 мм. Характерны ксеноморфные зерна с исщербленной лейкоксенизированной поверхностью. Цвет черный, бархатно-черный. Изотропен, $N=2,3$. Прочевивает густым буровато-красным цветом. Рассчитанные параметры элементарной ячейки (табл. 79): $a_0=3,89\pm0,03\text{\AA}$

Приближенно-количественным спектральным анализом в лопарите обнаружены: Na , $\text{Ca} > 10\%$, $\text{Nb}=3,0$, $\text{Ti}>5\%$, $\text{Ce}>5,0\%$, La 3—6,0%, $\text{Th}=1—3\%$, $\text{Y}=0,1—0,3\%$, $\text{Sc}=0,01\%$, $\text{Sr}=0,1—0,3\%$, часто в тысячных долях процента Cu , Ni , Cr , V , Be , Zr .



Рис. 48. Двойниковые кристаллы лопарита (Памбакский хребет). Увел. 8.
По Б. М. Меликсетяну.

Межплоскостные расстояния лопарита

I	d/n	I	d/n
10	2,70	7	1,364
2	2,244	6	1,223
10	1,930	8	1,033
10	1,567	5	0,909

Условия съемки: Сua, D=57,3, d=0,45. Экспозиция 24 ч. Образец прокален t=900°. По Б. М. Меликсетяну.

По особенностям химического состава относится к ниоболопариту. Лопарит весьма характерный минерал сиенитов, пегматитов Тежсарского щелочного комплекса, особенно разностей, подвергшихся альбитизации и мусковитизации. Другая редкоземельная разность лопарита — кн опит — обнаружена в пегматитах Амзачиманского массива ($\text{Ce} > 10\%$, La—3—6%, Y—0,3—1,0%, Yb—0,05%).

Перовскит — CaTiO_3 . Состав непостоянный: $\text{CaO} — 30 — 41\%$, $\text{TiO}_2 — 48,5 — 61,5\%$, $\text{TR}_2\text{O}_3 — 1,5 — 4,0\%$, Nb_2O_5 — до 1,5% и т. д.

Перовскит является одним из широко распространенных минералов щелочных пород и пегматитов с заметно проявленными изоморфными замещениями как в позиции $\text{Ca}^{+2}(\text{TR}^{+3}, \text{Th}^{+4}, \text{U}^{+4}, \text{Na}^{+1})$, так и в позиции $\text{Ti}^{+4}(\text{Nb}^{+5}, \text{Ta}^{+5})$. В результате изоморфных замещений, преимущественно гетеровалентного типа ($\text{Ca}^{+2} + \text{Ti}^{+4} \rightarrow \text{Na}^{+} + \text{Nb}^{+5}; \text{Ca}^{+2} + \text{Ti}^{+4} \rightarrow \text{TR}^{+3} + \text{F}^{3+}; 2\text{Ca} \rightarrow \text{Na}^{+} + \text{TR}^{+3}$) выделяют восемь минеральных видов: кн опит (TR_2O_3 — до 12%), дизанлит (Nb_2O_5 — до 26%), лопарит ($\text{Nb}_2\text{O}_5 — 5,5 — 26,5\%$; $\text{Na}_2\text{O} — 6,5 — 9,5\%$, $\text{TR}_2\text{O}_3 — 27,5 — 45,5\%$), иринит ($\text{ThO}_2 — 13,0\%$, $\text{TR}_2\text{O}_3 — 24\%$), а также более редкий натриево-ниобиевый леушит (Nb_2O_5 до 79%) и промежуточный латрапит ($\text{Nb}_2\text{O}_5 — 50$). В щелочных породах и пегматитах довольно широко распространены три разновидности: кн опит и лопарит, ниоболопарит.

Кнопит — редкоземельная разновидность перовскита (до 12% TR_2O_3) встречается в виде смоляно-черных кубических и октаэдрических кристаллов с хорошо развитыми гранями (100) и (111) (рис. 49, 50). Характерны также двойники, сходные с лопаритовыми и пирохлоровыми. На гранях кристаллов часто проявлена тонкая параллельная штриховка. Цвет смоляно-черный. В иммерсии

просвечивает буро-коричневым цветом. Обычно изотропен, но не-редко слабая анизотропия с низким двупреломлением 0,006—0,010. Показатель преломления $N \geq 2,32$.

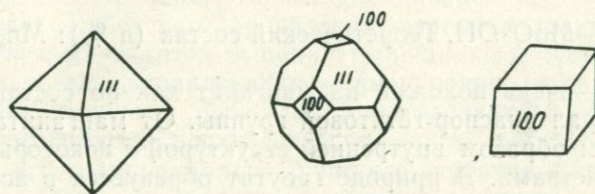


Рис. 49. Формы кристаллов перовскита. По Б. М. Меликсяну.

Рентгенограмма кнопита близка к таковой лопарита, но параметр элементарной ячейки $a_0 = 3,84 \text{ \AA}$, несколько меньше.

Спектральным анализом установлено: La (3—6%), Ce ($\sim 10\%$), Y (0,3%), Yb (0,05%), Th (0,6—1,0%), Sc (0,03%), Ве (0,002%), Ti (3—5%), Ca (1—3%) и незначительные примеси Mn, V, Cr, Zr, Na.

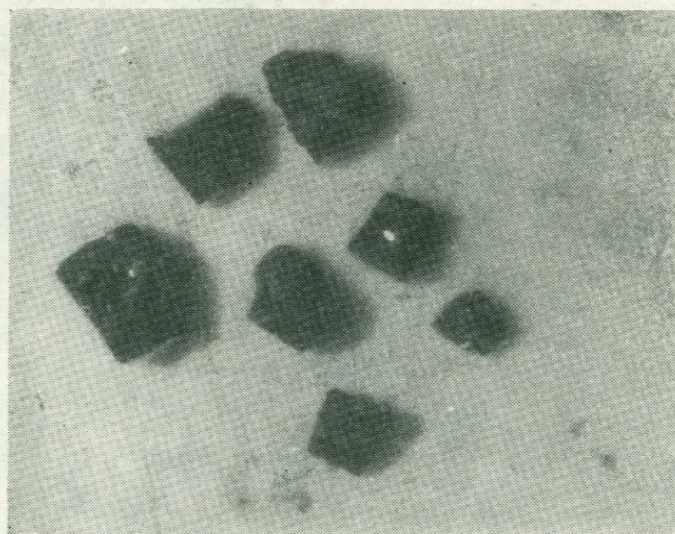


Рис. 50. Кубические кристаллы редкоземельного перовскита-кнопита. Увел. 10. Тежсар. По Б. М. Меликсяну.

Встречается в ассоциации с Ti—Nb—минералами в щелочных фельдшпатоидных пегматитах среди амфиболитовых сланцев (Шванидзор), гибридизированных пегматитов, поздних карбонатитов (Тежсар) и десилицированных гранитных пегматитов (Амзачиман).

Гроутит— $\text{MnO} \cdot \text{OH}$. Теоретический состав (в %): Mn_2O_3 89,76; H_2O 10,24.

Гроутит—очень похожий на мanganит как по составу, так и облику минерал диаспор-гётитовой группы. От мanganита отличается главным образом внутренней структурой и некоторыми оптическими свойствами. В природе гроутит образуется в ассоциации с мanganитом, гётитом, кварцем и иногда с кальцитом. В отличие от мanganита (монохлайнной сингонии) кристаллизуется в ромбической сингонии, часто ориентированно нарастает на кристаллы последнего при общей грани (100).

На территории Армянской ССР гроутит обнаружен в рудах Дебедского проявления марганца. Не исключено также, что он в небольшом количестве входит в состав руд Севкар-Саригюхского

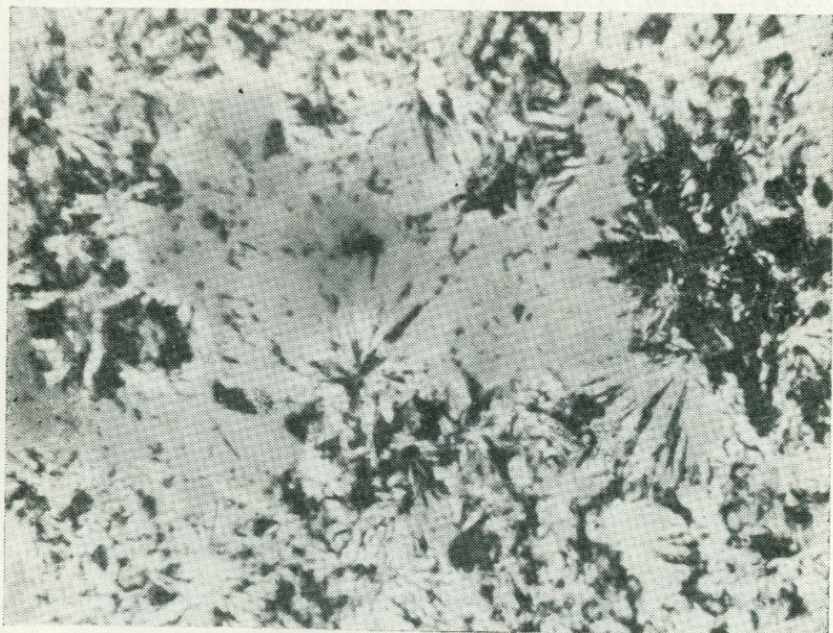


Рис. 51. Ориентированное замещение радиально-лучистого гроутита пиролюзитом. Полир. шлиф, увел. 500. Дебедское проявление. По Л. П. Яшвили.

месторождения марганца. О наличии гроутита в этих рудах может свидетельствовать наиболее характерная для него сильная линия 4,1, которая обнаружена на дебаеграммах всех исследуемых мanganитов из Севкар-Саригюхского месторождения.

В рудах Дебедского проявления марганца гроутит в тесной ассоциации с мanganитом выполняет трещинки и пустоты, образуя прожилки, гнезда, вкрапленники во вмещающих их измененных туфобрекциях. Мощность прожилок не превышает 2,5—3 см.

Макроскопически неокисленные разности гроутита представляют собой агрегаты радиально-лучистого строения (рис. 51) стально-серого цвета с металлическим блеском. Длина «лучей» в отдельных случаях достигает 3-х мм. Частично окисленные разности гроутита, которые на Дебедском проявлении развиты шире, представляют собой плотные, скрыто-кристаллические агрегаты черного цвета с матовым, реже—полуметаллическим блеском.

Под микроскопом в отраженном свете гроутит очень похож на мanganит—такого же серовато-белого цвета, со слабым бурым оттенком и сильным двоутражением. Обнаруживает главным образом сферолитовое строение. Отражательная способность низкая, несколько ниже, чем у мanganита. По данным Найчеда и Филипса R для различных длин волн колеблется в пределах 12—21%, тогда как у мanganита составляет 14,4—23%. Двоутражение и эффекты анизотропии у гроутита сильнее, чем у мanganита, но без цветовых эффектов. Часто наблюдаются сферолитовые кресты в серо-черных тонах. Внутренние рефлексы красные или буро-красные, обнаружаются редко, в иммерсии у полуокисленных разностей отчетливо наблюдается ориентированное замещение пиролюзитом и рамсделлитом.

Приближенно-количественный спектральный анализ радиально-лучистых агрегатов гроутита (возможно с небольшой примесью мanganита) из Дебедского проявления показал следующие содержания элементов-примесей: Ca—1,0; K—0,18; Na—0,056; Fe, Cu—0,042; Ti—0,032; Ba—0,01; Zr, Li—0,001; Ga—0,00013%.

В табл. 80 приведены данные рентгеноструктурных анализов неокисленных разностей гроутита из Дебедского проявления марганца (обр. 2 и 3). Как показал анализ рентгеноструктурных исследований, изучаемые образцы из Дебедского проявления представлены гроутитом, с небольшой примесью мanganита. Все наиболее характерные линии межплоскостных расстояний гроутита, хотя некоторые из них несколько ослабленные, на рентгенограмме присутствуют.

Термические анализы проб той же фракции (рис. 52) показали, что исследуемые образцы теряют воду уже при температу-

Таблица 80

Межплоскостные расстояния гроутита

Обр. 2		Обр. 3		Обр. 2		Обр. 3	
I	d/n	I	d/n	I	d/n	I	d/n
4	4,19	6	4,22	—	—	2	1,539
—	—	3	3,99	5	1,500	5	1,501
10	3,42	10	3,41	—	—	—	—
2	3,12	2	3,13	3	1,431	5	1,434
3	2,80	3	2,80	—	—	2	1,411
5	2,68	4	2,65	—	—	—	—
7	2,637	6	2,63	—	—	—	—
2	2,53	2	2,53	3	1,32	4	1,324
4	2,419	5	2,41	2	1,28	—	—
2	2,372	3	2,37	—	—	—	—
3	2,30	2	2,301	—	—	—	—
4—5	2,27	5	2,271	—	—	2	1,244
3	2,19	4	2,197	—	—	1	1,217
—	—	—	—	—	—	—	—
—	—	—	—	—	—	—	—
4	1,78	5	1,783	3	1,181	—	—
—	—	1	1,76	2	1,168	—	—
4	1,69	—	—	3	1,156	—	—
5	1,67	6	1,672	4	1,135	—	—
2	1,60	2	1,601	2	1,114	—	—
2	1,554	2	1,565	—	—	—	—

Лаборатория ИГН АН АрмССР, аналитик Ревазова Н. В. Условия съемки: ДРОН-2, Fea излучение.

ре 160°C. Имеющиеся на кривой нагревания эндотермические эффекты при температуре 380° и 1070°C вполне соответствуют имеющимся на кривой нагревания гроутита из Идикеля. Как известно, для природных неокисленных мanganитов первый эндотермический эффект появляется при температуре не выше 345—350°C; кроме того, для их крупнокристаллических разностей характерен эндотермический эффект в интервале 797—895°C. На нашем образце эндотермический пик при 680°C говорит о наличии в исследуемой пробе примеси пиролюзита, который образуется, как было уже указано, в зоне окисления за счет гроутита.

Гидроокислы железа. К этой группе относятся лимонит, гетит, гидрогетит, лепидокрокит, гидрогематит и некоторые разновидности водо- и гидроксилсодержащих минералов железа. Они отличаются главным образом содержанием адсорбированной воды, степенью кристаллизации, дегидратации и другими физическими свойствами.

Гидроокислы железа, состоящие из смеси гётита и лимонита с гидроокислами кремнезема, глинистыми веществами, принято называть бурьими железняками.

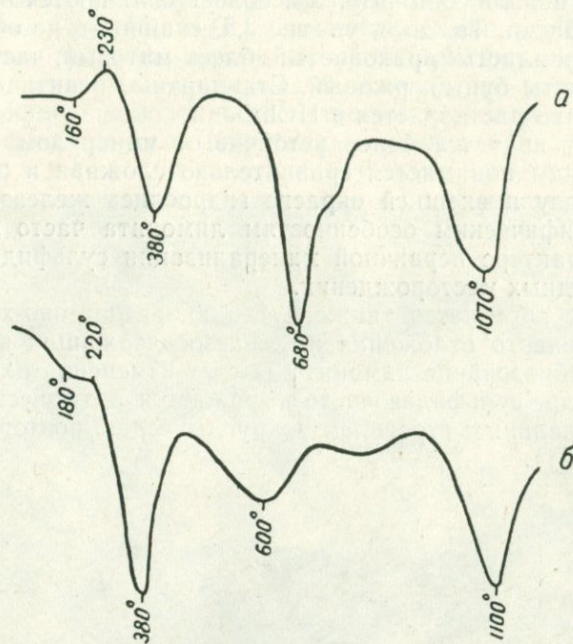


Рис. 52. Кривые нагревания гроутита: а) из Дебедского проявления; б) из Идикеля. По Л. П. Яшвили.

Характерными минералами группы гидроокислов железа являются лимонит и гётит, которые широкое развитие и распространение имеют в зоне окисления различных типов рудных, в особенностях сульфидных месторождений.

Лимонит— $\text{HFeO}_2 \text{-aq}$ представляет собой гидрогетиты или же смеси гётита, гидрогётита, лепидокрокита или гидрогематита, обычно с преобладанием одного из этих минералов, главным образом гидрогётита.

Многие исследователи нередко под лимонитом подразумевают бурьи железняки, что является ошибочным, т. к. последние, в отличие от лимонита, состоят из гётита и лимонита с гидроокислами кремнезема и глинистых веществ.

Лимонит образует плотные и землистые массы, конкреции, жеоды и оолиты.

Цвет лимонита бурый, желтовато-бурый и охряно-желтый. Чем больше воды в лимоните, тем более усиливаются охряно-желтые тона окраски. Тв. до 4, уд. вес 3,8, спайность не обнаруживается, излом землистый, раковистый, блеск матовый, часто стеклянный, цвет черты бурый, ржавый. Стандартные реактивы не действуют, медленно растворяется в HCl.

Лимонит является более устойчивым минералом зоны окисления; под ним понимается сравнительно сложная и разнообразная по составу и внешней окраске гидроокись железа. Отметим, что по специфическим особенностям лимонита часто приходится судить о характере первичной минерализации сульфидных и других типов рудных месторождений.

Лимонит образуется также путем анорганогенно-химического или органического отложения из железосодержащих вод различного рода. Образование лимонита за счет изменения пирита, халькопирита и др. сульфидов часто выражается ритмически-концентрическим зональным строением вокруг их зерен, повторяя их форму (рис. 53, 54).



Рис. 53. Ритмичное замещение сфалерита (Sl) лимонитом (lim) и смитсонитом. Полир. шлиф, увел. 80. Месторождение Зод. По. Ш. О. Амиряну.

Гётит— HFeO_2 ; назван в честь поэта Гёте. Гётит является наиболее богатой железом (89,9% Fe_2O_3) разновидностью из минералов группы гидроокислов железа. Гётит отличается кристаллическим строением и сравнительно низким содержанием воды (10,1% H_2O) против 12—14% H_2O в лимонитах. Синг. ромбич., образует почковидные, гроздьевидные и сталактитовые формы выделения, а также конкреции, сплошные массы. Характерно радиально-лучистое и параллельно-волокнистое строение агрегатов. Встречаются псевдоморфозы гётита по кристаллам пирита.

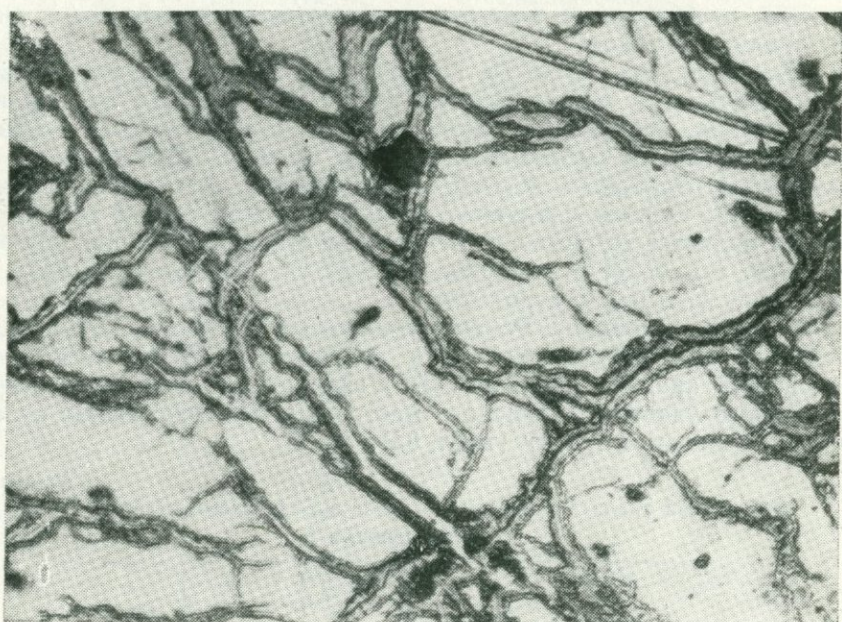


Рис. 54. Петельчатое замещение халькопирита (Cp) лимонитом (lim). Полир. шлиф, увел. 60. Месторождение Зод. По Ш. О. Амиряну.

Цвет гётита темно-бурый, до почти черного. Черта бурая, блеск полуметаллический, шелковистый, иногда алмазный. тв. 5, уд. вес 4,2; спайность хорошая, совершенная; излом неровный, раковистый. Оптически отрицательный.

Отражательная способность (R) низкая, порядка 15—17%, двутретражение (ΔR) слабое, хорошо заметно в иммерсии. Цвет под микроскопом в отраженном свете серый. Цвет и величина отражательной способности изменяются в значительных пределах. Про-

свечивает в тонких слоях; для гетита характерны желтоватые и красноватые внутренние рефлексы.

Гётит и лимонит образуются при гипергенных процессах как продукт разрушения и окисления сульфидов, окислов и карбонатов железа (пирита, пирротина, магнетита, реже гематита и сидерита), а также железосодержащих силикатных минералов.

Кроме этих минералов в природе встречаются промежуточные продукты из группы гидроокислов железа с различными содержаниями до 20—25% H_2O . Разности гидроокислов железа, богатые водой, представляют гидрогели. В поверхностных условиях закиси железа, растворенные в солях, окисляются и отлагаются в виде коллоидных осадков.

Как видно из табл. 75, проанализированная гидроокись железа Базумского месторождения отличается высоким содержанием фосфора, кремнезема, закиси железа и магния. Если основываться только на высоком содержании фосфора (2,76% P_2O_5), то изученную гидроокись железа можно отнести к стильпносидериту (табл. 81). Однако следует отметить, что химический анализ не всегда является единственным мерилом для диагностирования минералов, тем более трудноопределенных гидроокислов железа, определения которых контролируются данными рентгеновских и термических исследований. Рентгенограмма этого минерала свидетельствует о его принадлежности к гидрогётиту. Результаты рентгеновского анализа образца (1/79) гидроокисла железа с северо-восточного участка Базумского месторождения, указывают на его принадлежность к гётиту (табл. 82).

Таблица 81

Химический анализ* гидроокислов железа Базумского железорудного месторождения, в %

№ пробы	805/76	№ пробы		805 76
		Окислы	Окислы	
SiO_2	2,02	H_2O	10,88	
TiO_2	0,32	p.p.n.	0,68	
Al_2O_3	0,53	Na_2O	0,27	
Fe_2O_3	79,88	K_2O	0,23	
FeO	1,14	P_2O_5	2,76	
MnO	н. о.	V_2O_5	0,002	
CaO	0,98			
MgO	1,02			
		Сумма	100,21	

* Анализ выполнен в химической лаборатории ИГН АН АрмССР, аналитик Гаспарян З. Ш.

Гётиты Базумского и Анкаванского железорудных месторождений несколько отличаются набором элементов-примесей. Гётит из железорудных скарнов Анкаванского месторождения отличается присутствием в нем элементов-примесей: Li, Ba, Sn и Na, а гётит Базумского месторождения — наличием Pb и Ni (табл. 83).

Таблица 82

Межплоскостные расстояния гидроокислов железа
Базумского и Анкаванского месторождений Армянской ССР

1/79 Базум		769/75 Анкаван	
I	d _{z/n}	I	d _{z/n}
4	4,970	5	3,70
10	4,195	3	2,96
5	3,387	10	2,722
8	2,680	6	2,222
3	2,580	5	1,854
5	2,490	8	1,713
7	2,450	4	1,620
3	2,254	5	1,496
7	2,192	5	1,430
3	1,922	2	1,364
3	1,802	5	1,329
6	1,720	3	1,177
5	1,692	7	1,067
2	1,657		
2	1,605		
5	1,564		
4	1,508		
4	1,470		
5	1,454		
5	1,395		
5	1,359		
3	1,317		

* Анализы выполнены в рентгеноструктурной лаборатории ИГН АН АрмССР, аналитик Ревазова Н. В. Условия съемки: ДРОН-2 Соа, 20 кв 6 мА.

Проведенными исследованиями установлено (Е. А. Акопян, 1960), что гидроокислы железа в зоне окисления железорудных и других типов рудных месторождений (серно- и медноколчеданных, медно-молибденовых, полиметаллических, золоторудных) по способу образования разделяются на: а) образовавшиеся на месте путем замещения и б) перенесенные и отложенные вдали от места образования.

Гипергенных условиях гидроокислы железа, в частности гётит и лимонит в первом случае образуются под воздействием ак-

тивных вод на сульфидные, окисные, карбонатные минералы железа и железосодержащие силикатные минералы, а во втором случае часть железа выносится в виде бикарбонатов и гидратов, которые отлагаются в трещинках и пустотах.

Таблица 83

Полуколичественные спектральные анализы гидроокислов железа Базумского и Анкаванского железорудных месторождений, в %

	1/79 Базум	4/80 Анкаван		1/79 Базум	4/80 Анкаван
Si	1,8	1,3	V	—	0,0024
Al	0,075	0,24	Mo	0,0032	0,0032
Mg	0,024	0,24	Cu	0,0042	0,01
Ca	0,32	0,0075	Pb	0,00042	—
Fe	10	10	Zn	0,0032	0,0032
Na	—	0,032	Sa	—	0,001
K	0,0032	0,075	Ga	0,00024	0,00042
Mn	0,056	0,042	Ba	—	0,0032
Ni	0,00032	—	Li	—	0,00018
Ti	0,0042	0,024			

Примечание: Анализы выполнены в спектральной лаборатории ИГН АН АрмССР.

В железорудных (Базумском, Анкаванском, Мисханском, Арамаздском, Еркати-Цакерском, Моллакишилагском, Айри-джурском, Бовери-гашском, Разданском, Сваранцском, Агарцинском), медно-молибденовых (Каджаранском, Агаракском, Анкаванском), медноколчеданных (Кафанском, Алавердском, Шамлугском), серноколчеданных (Тандзутском, Чибухлинском) и других типах рудных месторождений республики гидроокислы железа ассоциируют с пиритом (часто его реликтами), мартитом, магнетитом, кальцитом, кварцем, малахитом и азуритом (рис. 55).

Лимонит и гётит нередко с кварцем и аметистом встречаются в жеодах раздробленных пород Иджеванского месторождения бентонитовых глин и агата, а также с некоторыми минералами марганца (месторождения Сари-гюх, Сваранц и другие).

Манганит—MnO·OH. Теоретический состав (в %): Mn₂O₃ 89,76; H₂O 10,24.

Кристаллизуется в моноклинной сингонии. На территории Армянской ССР встречается в виде темно-бурых, почти черных почковидных агрегатов средней твердости, реже—в виде хорошо раскристаллизованных радиально-лучистых агрегатов. Чешуя бурая, блеск от матового до полуметаллического.

Под микроскопом мanganит серый, с едва заметным бурым оттенком. Отражательная способность низкая, колеблется в пределах 14,5—21,8%. Двуотражение довольно сильное. От очень похожего на мanganит криптомелана отличается бурым оттенком, бархатистой поверхностью. Мanganит в скрещенных николях обнаруживает сильную анизотропию с яркими цветовыми эффектами.



Рис. 55. Чередование колломорфных образований гетита (ht) и малахита (mal). Полир. шлиф, увел. 120. Месторождение Каджаран. По К. А. Карамяну.

В иммерсии отражательная способность сильно снижается. Не затронутый процессами окисления мanganит встречается редко. Под микроскопом почти во всех шлифах отчетливо видно замещение мanganита пиролюзитом.

Стандартные реагенты на мanganит не действуют. Травится концентрированной HCl (выявляется спайность). Медленно травится 8% H_2SO_3 .

На территории Армянской ССР мanganит встречается в рудах как марганцевых, так и немарганцевых месторождений. На Севкар-Саригюхском месторождении марганца мanganит входит в

состав гидротермальных руд как раннего вулканогенно-осадочного, так и собственно гидротермального этапов оруденения. В обоих случаях образует сплошные массы частично зернистой, частично почковидной текстуры (рис. 56). Последние местами нацело замещены пиролюзитом. В низкотемпературных гидротермальных рудах манганит часто образует друзы и щетки (рис. 57).

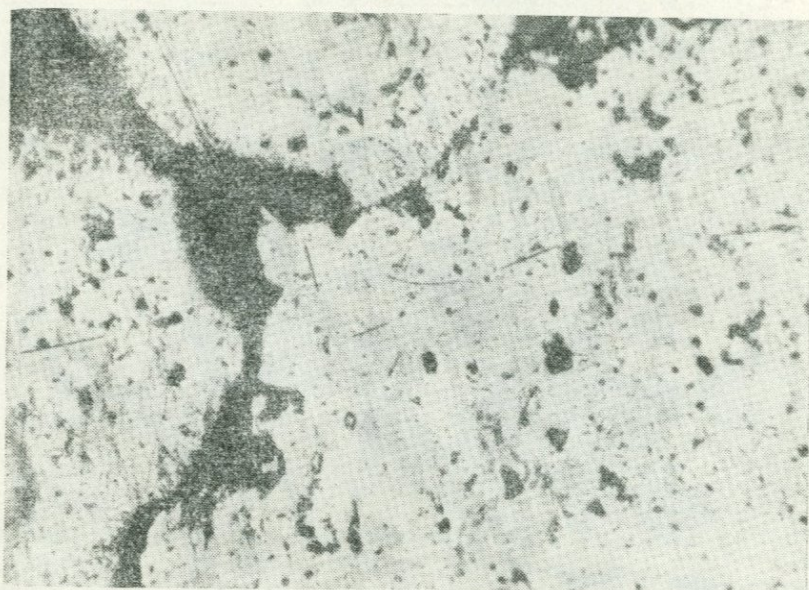


Рис. 56. Мелкозернистые выделения манганита. Отчетливо видно двутражение. По краям зерен манганит почти полностью замещен пиролюзитом. Полир. шлиф, увел. 200. Севкар-Саригюхское месторождение. По Л. П. Яшвили.

Изучение Севкар-Саригюхского манганита (табл. 84), не затронутого процессами окисления, под электронным микроскопом выявило его блочное строение.

На Кармрашенском и Сваранцком месторождениях манганит сбрасывает прожилки в виде скрытокристаллических агрегатов.

На Дебедском проявлении марганца представляет собой главный рудообразующий минерал. Образует прожилки, гнезда, выполненные хорошо раскристаллизованными радиально-лучистыми агрегатами. Размер лучей иногда достигает 10 мм. Встречается в тесной ассоциации с гроутитом.

На Саринарском проявлении (Яшвили, 1978) призматические выделения манганита полностью замещены браунитом и гаусманитом.



Рис. 57. Кристалл манганита, ориентированно замещенный пиролюзитом. Ноплир. шлиф, увел. 200. Севкар-Саригюхское месторождение. По Л. П. Яшвили.

Таблица 84
Межплоскостные расстояния манганита из
Севкар-Саригюхского месторождения

I	d/n	I	d/n
10	4,1	3	2,53
5	3,72	6	2,39
10	3,39	7	1,77
5—6	2,62	8	1,66

Лаб. УГСМ АрмССР. Аналитик Р. Г. Мхитарян. Условия съемки: Fe_a, β, D=57,3, d=0,5, эксп. 8 ч.

Манганит, как конечный продукт процесса гидротермального рудоотложения, встречается в рудах медно-молибденовой (Агаракское месторождение) и полиметаллической (Газма, Гюмушхана) формаций.

По данным приближенно-количественного спектрального анализа манганит из Дебедского проявления содержит следующие элементы-примеси (в %): Si—1,8; Al—1,3; Ca—1,0; Mg—0,32; K—0,18; Na—0,56; Fe и Cu—0,042; Ti—0,032; Ba—0,1; V—0,0075, Zr, Li—0,001; Ni—0,00032; Be—0,00018.

Брусит—Mg[OH]₂. Сингония тригональная. Встречается в трещинах серпентинизированных дунитов, среди месторождений магнезита СВ побережья озера Севан, в ассоциации с артинитом (Абовян, 1957).

Образует слюдоподобные чешуйчатые агрегаты размерами от 0,3 до 1 см. Спайность весьма совершенная по {0001}. Чешуйки тонкие и очень гибкие. Бесцветный, реже—слабозеленоватый. Блеск в изломе стеклянный, на плоскостях спайности—перламутровый; в соляной кислоте растворяется. Твердость 2,5. Уд. вес 2,4. Оптически положительный, N_e=1,580—1,600; N₀=1,560—1,590; N_e—N₀=0,012—0,020.

Теоретический состав (в %): MgO—69, H₂O—31. В виде изоморфных примесей иногда присутствуют Fe и Mn. В табл. 85 приведен химический анализ брусита, выполненный в химлаборатории УГ АрмССР. Наличие SiO₂ и Fe₂O₃ в составе брусита, возможно, объясняется примесями, попавшими в пробу (Абовян, 1961). Кризис нагревания рассматриваемого брусита (рис. 58), полученная в термической лаборатории ИГЕМ АН СССР, характеризуется слабой эндотермической остановкой при 270°C (вследствие Fe₂O₃·H₂O) и более резкой эндотермической остановкой при 540°C. По своим термоэффектам описанный брусит близок к уральскому (пунктирная линия) (Гинзбург, Рукавишникова, 1951).

Химический анализ брусита

Таблица 85

Окислы	Вес. %
SiO ₂	1,44
Fe ₂ O ₃	2,09
Al ₂ O ₃	нет
MnO	0,12
CaO	0,25
MgO	62,32
H ₂ O	28,75
CO ₂	5,75
Сумма	100,72

Брусит в Армянской ССР встречен на участках развития сильно серпентинизированных дунитов, приуроченных к месторождениям магнезита, в ассоциации с артинитом и серпентином и, по-видимому, образовался в результате гидротермального изменения дунитов в процессе их серпентинизации.

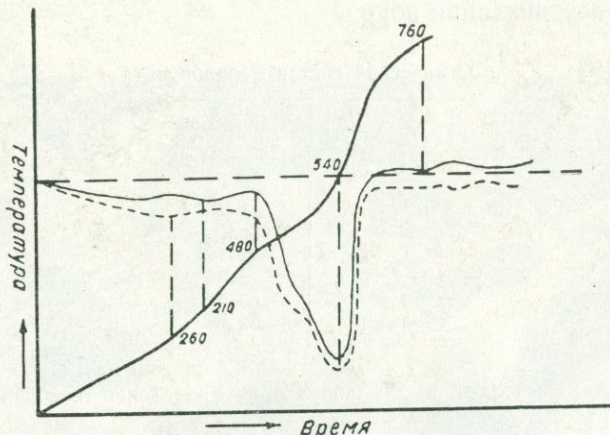


Рис. 58. Кривая нагревания брусита. Даринское месторождение магнезита.
По С. Б. Абояну.

Ферробрусит— $(\text{Mg}, \text{Fe})_2[\text{OH}]_2$. Сингония тригональная.

Ферробрусит также встречается в трещинах серпентинизированных дунитов, месторождений хромита и магнетита, в ассоциации с артинитом, серпентином, бруситом (Абоян, 1957).

Представлен слюдоподобным тонкочешуйчатым агрегатом, с размерами отдельных чешуек до 2—3 мм. Цвет темно-коричневый, что, по-видимому, обусловлено присутствием изоморфной примеси железа. Твердость 2,5—3. Уд. вес—2,5. В HCl легко растворяется. Оптически положительный, $N_e = 1,580—1,600$; $N_0 = 1,560—1,590$; $N_e - N_0 = 0,012—0,020$.

Химический анализ ферробрусита (табл. 86) показывает, что от брусита он отличается сравнительно высоким содержанием Fe_2O_3 и низким содержанием MgO , CO_2 и CaO (Абоян, 1961). В свежем состоянии по внешним признакам совершенно не отличается от брусита. На воздухе в течение нескольких дней окисляется, желтеет, буреет до темно-коричневого цвета. При этом минерал расщепляется по спайности и тускнеет в связи с разрушением кристаллической решетки. В зоне выветривания за счет CO_2 , раст-

воренного в поверхностных водах, частично карбонатизируется, приобретает вид чешуек золотисто-бурого цвета и переходит в пироаурит. Условия нахождения ферробрусита (полые трещины в серпентинизированных дунитах, иногда в хромитовых залежах) указывают на то, что он образовался в числе последних минералов гидротермального происхождения и, по-видимому, связан с процессом серпентинизации пород.

Таблица 86

Химический состав ферробрусита

Оксиды	Содержание в %
MgO	34,29
CaO	сл.
Fe ₂ O ₃	32,18
CO ₂	3,34
H ₂ O	30,12
Сумма	99,93

Анализ выполнен в химлаборатории Управления геологии АрмССР.

Ферробрусит встречен на Урале в платиноносных месторождениях хромита в Нижне-Тагильском дунитовом массиве, иногда в кернах буровых скважин с значительных глубин. В Армянской ССР обнаружен на глубоких горизонтах Шоржинского хромитового месторождения, в трещинах серпентинизированных дунитов и весьма редко—в трещиноватых магнезитизированных породах Даринского месторождения.

Вернадит—MnO₂·nH₂O. Точная формула не установлена.

По В. И. Михееву—псевдотетрагональный. Образует сплошные слабораскристаллизованные землистые и натечные выделения. Часто встречается также в виде корок. Образуется в зоне окисления марганцевых и некоторых марганецсодержащих полиметаллических месторождений и проявлений.

Макроскопически цвет вернадита черный или темно-бурый. Твердость в зависимости от агрегатного состояния колеблется от 2 до 6. Чешуя бурая. Блеск от матового до смоляного с призирующим налетом.

Под микроскопом в отраженном свете плотные разности вернадита серо-белого цвета, отражательная способность низкая, приближается к таковой манганита. Изотропен, внутренние рефлексы отсутствуют.

В рудах Армянской ССР вернадит обнаружен на Севкар-Саргиюхском месторождении марганца в ассоциации с минералами

группы псиломелана, а также с манганитом и гаусманитом. Развивается как в виде землистых масс, так и концентрически-скорлуповатых агрегатов, главным образом в пустотах (рис. 59). На Севкар-Саригюхском месторождении вернадит в основном черного цвета, но встречаются и бурые разности с повышенным содержанием железа.



Рис. 59. Вернадит колломорфного строения. Полир. шлиф, увел. 200. Сивкар-Саригюхское месторождение. По Л. П. Яшвили.

Для точной диагностики проведены рентгеноструктурные анализы рыхлых разностей с поверхности почек, сложенных криптомелан-голландитовым агрегатом (обр. 1) и концентрически-скорлуповатых разностей (обр. 2). Данные рентгеноструктурного анализа приведены в табл. 87.

По данным приближенно-количественного спектрального анализа, концентрически-скорлуповатого вернадита, содержания элементов-примесей следующие (в %): K—3, Ba~1, Ca и Na~1, Sr—0,3—1, Si~0,1, Al, Mg, Fe—0,1—0,3, V~0,03, Mo—0,01—0,03, Cu—0,003, Li—0,001, Pb—0,0003.

Межплоскостные расстояния вернадита

Обр. 1		Обр. 2		Обр. 1		Обр. 2	
I	d/n	I	d/n	I	d/n	I	d/n
6	6,9	—	—	3	1,90	—	—
4	4,9	5	4,99	4	1,80	2	1,83
10	4,1	—	—	—	—	3	1,69
2	3,4	—	—	—	—	5	1,62
7	3,1	5	3,11	3	1,54	5	1,54
2	2,49	—	—	3	1,42	4	1,42
9	2,39	9	2,39	3	1,34	—	—
3	2,27	—	—	2	1,29	3	1,29
7	2,17	6	2,16	1	1,15	—	—
4	2,10	3	1,98	1	1,04	—	—

Лаборатория ГУСМ АрмССР, аналитик Р. Г. Мхитарян. Условия съемки: УРС-70, D=57,3, d=0,5, Fe_{a,β}, Cu_a, 10 ч. и 9 ч. соответственно.

Блекеит—Fe₂(TeO₃)₃. Мало изученный минерал. Установлен в окисленных золото-теллуридовых рудах Зодского месторождения (Амирян Ш. О., 1974), где он ассоциирует с монтанитом, данхемитом и гипергенным золотом, замещая теллуриды золота, серебра, висмута, свинца. Представлен в виде корочек и землистых масс бурого и красновато-бурового цветов.

Под микроскопом блекеит характеризуется низкой интенсивностью отражения. Коэффициент отражения составляет 10—12%. Изотропный, серого цвета с бурыми, красными внутренними рефлексами, низкой твердостью.

Спектральным анализом в минерале установлены: Al, Mg, Ca, Mn, Ni, Co, Ag, As в тысячных, сотых и десятых долях процента, Fe, Te, Bi от 3 до 10 и более процентов, Sb, Au, Cu от 1 до 3%.

В продуктах окисления теллуридов золота, серебра, висмута, никеля и свинца наблюдаются и другие минералы кирпично-красного, красного, красновато-голубого, желто-красного цветов в тестной ассоциации с сохранившимися от изменения теллуридами. В полях этих минералов обычно наблюдаются тонкие включения гипергенного золота. Микроспектральные анализы этих минералов показывают высокие содержания Fe, Au, Pb, Ag, Te. Аналогичные минералы описываются Т. Ватанабе (1959) в рудах из золото-теллуридовых месторождений Японии, где предполагается существование теллуридов и теллуратов золота, откуда впоследствии восстанавливается самородное (гипергенное) золото.

Данхемит— PbTeO_4 . Химически—теллурат свинца. Химического анализа нет. Кристаллографически не изучен.

В отраженном свете имеет светло-буровый цвет. В скрещенных николях сильно анизотропен. Двуотражение отчетливо заметно в воздухе с цветным эффектом. Отражательная способность по визуальной оценке выше сфалерита и значительно ниже галенита. R для желтой части спектра равен 22 %. Микротвердость минерала в среднем равна 11—13 кгс/мм². От HNO_3 быстро чернеет с выявлением структуры. HCl действует. С KCN , HgCl_2 и KOH не реагирует. Данхемит является продуктом окисления алтита. Установлен только в анишлифах.

Данхемит совместно с жильными минералами встречается в зоне окисления золоторудных (Зод, Меградзор) и медноколчеданного (Кафан) месторождений. На Кафанском месторождении при окислении алтит переходит в данхемит, а реже по нему образуются коррозионные структуры разъединения церуссита (теллурид-теллурат-карбонат).

Микрохимическим и микроспектральным анализами в описываемом минерале определены свинец и теллур.

Дебаеграмма данхемита Кафанского месторождения полностью идентична дебаеграмме искусственного теллурата свинца.

Результаты рентгеноструктурного исследования кафанско-данхемита, приведены в табл. 88.

Таблица 88

Межплоскостные расстояния данхемита из Кафанского месторождения

d/n	I	d/n	I	d/n	I	d/n	I
3,71	2	1,867	10	1,387	1	1,132	3
3,37	10	1,825	1	1,349	1	1,120	2
3,23	4	1,690	4	1,305	2	1,113	6
3,06	4	1,653	7	1,264	3	1,092	6
2,96	10	1,560	1	1,259	7	1,075	
2,79	2	1,514	6	1,226	6	1,029	1
2,39	5	1,489	6	1,201	1	1,016	4
2,13	1	1,474	6	1,185	8	1,001	2
2,05	5	1,405	1	1,150	2		

Анализ выполнен в лаборатории ВИМС-а Г. А. Сидоренко. Условия съемки: Fe—антикатод, РКД—57,3, эксп. 8 ч.

Монтанит— $\text{Bi}_2\text{TeO}_4(\text{OH})_4$. Химически—водный теллурат висмута: Bi_2O_3 —68,64 %, TeO_3 —26,04 %, H_2O —5,32 %.

Сингония моноклинная. Цвет белый с желтоватым оттенком. Оптически отрицательный. Дисперсия очень сильная. Твердость низкая. Оптические константы: $N_m=2,09$; $N_g-N_p=0,01$.

В отраженном свете серый, всегда неоднородный, слабо двутрассажающий. Отражательная способность низкая. Анизотропный. Имеет бесцветные внутренние рефлексы. От HNO_3 , HCl , KCN и царской водки чернеет.

Землистые корки монтанита совместно с другими гипергенными минералами встречаются в зоне окисления Зодского, Анкаванского и Меградзорского месторождений, а также Сарнахпюрского проявления. Обычно монтанит является продуктом окисления теллуровисмутита и тетрадимита. Спектральным анализом в монтаните Зодского месторождения обнаружены: Te , Bi 10%; Sb , Pb 1—3%; Fe , Ni , Co , Ti , Cr , Hg , Cu , Ag , Zn , Au —0,001—0,1%.

РАЗДЕЛ VIII.

ВОЛЬФРАМАТЫ, МОЛИБДАТЫ

Вольфрамит—(Mn, Fe) WO_4 . Вольфрамит образует призматические, пластинчатые кристаллы моноклинной сингонии. Агрегаты имеют радиально-призматический облик с отчетливо проявленной штриховкой. Спайность совершенная по (010).

Цвет красно-бурый до буровато-черного. В прозрачных шлифах просвечивает красно-оранжевым цветом. $\text{Ng}=2,3$, $\text{Nr}=2,2$. В полированных шлифах из кварцеворудных жил вольфрамит встречается в тесных срастаниях с шеелитом, который, как правило, разъедает и замещает вольфрамит. Отражательная способность примерно 16—18. Погасание косое $< 30^\circ$. Анизотропия и двутрассажение проявлены отчетливо. Внутренние рефлексы густые, буровато-красные. Параметры элементарной ячейки рассчитаны по результатам рентгеновского анализа (табл. 89)— $a_0=4,68\text{\AA}$, $b_0=5,724\text{\AA}$, $c_0=4,941\text{\AA}$ указывают на повышенную роль гюбнеритовой составляющей в вольфрамите из Маргаовитского месторождения.

Приближенно-количественный спектральный анализ показал: Fe (3—5%), Mn (~10%), Ti (0,3%), W (>10%) Nb (0,3%), Sc (0,03%), Sn (0,01%), а также Ca , Mg , Co , La .

Вольфрамит тесно ассоциирует с шеелитом, турмалином, молибденитом, пиритом, висмутином, кассiterитом и другими минералами высокотемпературных кварц-турмалиновых (Маргаовит), кварц-полевошпатовых, кварц-молибденитовых (Вохчи, Мегригет) жил. Кроме того, вольфрамит в ассоциации с шеелитом, орбитом, турмалином и редкометальными минералами установлен в грейзенизированных породах и в виде акцессорной составляющей Маргаовитского и Вохчинского интрузивов порфировидных гранитоидов и связанных с ними пегматитов. Следует отметить, что воль-

фрамит, совместно с шеелитом, И. Г. Магакьяном, А. Г. Мидяном и др. отмечался в естественных шлихах в пределах Памбакского и Мегри-Сисианского рудных районов.

Таблица 89

Межплоскостные расстояния вольфрамита

I	d/n	I	d/n	I	d/n
3	4,72	5	(1,698)	3	1,170
2	3,969	3	1,653	2	1,130
3	(3,678)	8	1,575	10	1,057
10	3,018	3	(1,537)	1	1,041
8	2,885	3	1,501	2 ш	1,015
5	2,578	1	1,455	3	0,990
5	(2,417)	7	1,431	2 ш	0,966
4	2,254	4	(1,368)	3	0,958
4	2,151	2	1,334	2	0,940
2	1,973	9	1,246	3	0,919
7	1,895	1	1,228	2	0,907
2	1,831	2	1,207	2	0,892
3	1,752	6	1,182	6	0,888

Анализ выполнен в лаборатории ИГН АН АрмССР Хуршудян Э. Х. Условия съемки: камера РКД, Сиа анкатод, D=57,3, d=0,4, эксп. 15 часов.

Шеелит— CaWO_4 . Шеелит образует тетрагонально-бипирамидальные (рис. 60) кристаллы или плотные сплошные зернистые агрегаты. Характерна косая штриховка на гранях (112). В различных формационных типах месторождений Армянской ССР имеет различную окраску. Обычно серый с желтоватым оттенком, белый, реже—красный и даже бесцветный. Блеск алмазный жирный. На раковистом изломе отчетливо проявлены спайности (111). Одноосный, положительный, $N_e = 1,938 \pm 0,003$, $N_o = 1,923$, $N_e - N_o = 0,015$. В отраженном свете в виде неправильных агрегатов заполняет порожек между идиоморфными кристаллами пирита и кварца, нередко образует идиоморфные кристаллы в микродрузах. Отражательная способность 10%. Внутренние рефлексы интенсивные, слабо желтоватые.

Рентгенометрическая характеристика аналогична таковой молибдо-шеелита (табл. 90). Рассчитанные параметры элементарной ячейки следующие: $a_0 = 5,23\text{\AA}$, $c_0 = 11,36\text{\AA}$.

Характерной особенностью химического состава шеелита, по данным приближенно-количественных спектральных анализов, является богатый редкоэлементный состав (табл. 91). Для шеелитов характерно постоянное присутствие Mo (0,03—0,1%), La (0,2—

0,3), Sn (0,0005—0,001%), Pt (0,001), а также V, Ni, Cr, Ti, Li, Pd, Ce (до 0,3—0,1%).

Шеелит весьма характерный минерал контактово-метасоматических (скарны, роговики, амфиболиты) месторождений, связанных с экзоконтактовыми зонами гранитоидных интрузий Мег-

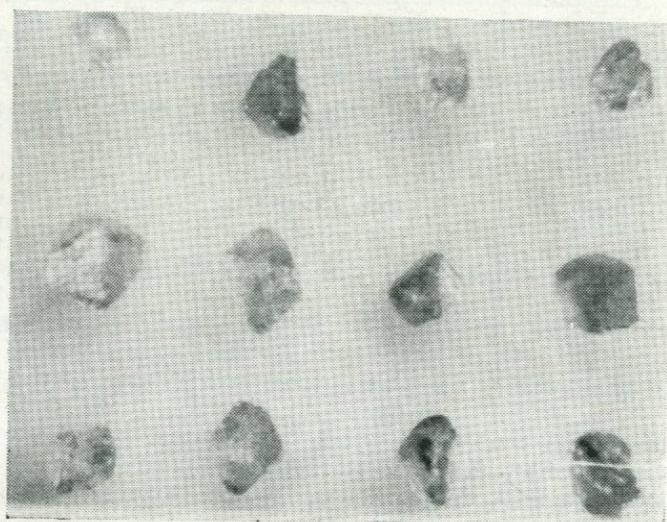


Рис. 60. Тетрагонально-бипирамидальные кристаллы шеелита (Амзачиманский массив). Увел. 10. По Б. М. Меликсяну.

Таблица 90
Межплоскостные расстояния шеелита (по Р. Л. Мелконяну, 1976)

I	d/n	I	d/n	I	d/n
5	4,71	9	1,586	1	1,125
10	3,09	4	1,550	2	1,108
3	2,80	2	1,432	6	1,084
4	2,60	4	1,367	6	1,010
4	2,280	4	1,340	2	0,964
3	1,975	4	1,317	3	0,953
8	1,910	8	1,244	4	0,940
4	1,850	3	1,205	5	0,902
6	1,675	3	1,188	3	0,888
3	1,621	4	1,170	4	0,880

Условия съемки: УРС-70, D=57,3, d=шарик, Сша эксп. 18 ч.

ринского, Сисианского, Айоцдзорского, Памбакского и Алавердского рудных районов. В скарновых полях шеелит приурочен к высокотемпературным пироксен-плагиоклазовой, гранат-амфибол-эпидотовой зонам. Кроме того, шеелит встречается в рудах кварц-молибденитовой стадии минерализации Каджаранского месторождения (А. С. Фарамазян, 1975), а также играет ведущую роль в золото-шеелитовых полях Гамзачиманского месторождения. Указания о довольно широком проявлении шеелитовой минерализации в скарновых полях и Си—Мо месторождениях Памбак-Зангезурской зоны встречаются в работах И. Г. Магакьяна, В. Н. Котляра, Е. А. Акопян, А. Г. Мидяна, А. С. Фарамазяна (1975) и др. В. Сейраняном (1972) шеелит в ассоциации с гипогенным повеллитом установлен в кварц-карбонатных жилах районов проявления колчеданного медно- и полиметаллического оруденения (Шамлуг, Ахтала). Небезынтересно отметить, что Р. Л. Мелконяном (1976) шеелит установлен в гранитоидах Алавердского рудного района (Кохбский, Банушский).

Таблица 91

Спектральные анализы шеелитов

Разновидности	Mn	Ti	V	Cr	Mo	W	Zr	Cu	La	Pb	Sn
1. Красный, из Гамзачиманского месторождения	0,004	0,03	0,01	0,003	0,03	>10	0,004	0,005	0,2	0,003	0,001
2. Серый из Мегринского plutона	0,003	0,02	0,03	—	0,01	>5	0,003	0,01	0,01	0,003	0,003
3. Белый, из Шамлугского месторождения	0,01	—	0,03	0,003	0,1	>10	—	0,01	0,3	0,02	0,0005

Анализы № 1—2 по данным Б. М. Меликsetяна (ИГН); № 3—по данным В. Сейраняна.

Шеелит является весьма распространенным акцессорным минералом умеренно-кислых олигоцен-миоценовых гранитоидов и связанных с ними пегматитов Южной Армении (Мегринская, Баргушатская и Калялинская группы интрузивов, а также Памбака). Интересны находки значительных концентраций шеелита (0,05—0,3%) в амфиболизированных, эпидотизированных габбро-амфиболитах района с. Вагравар, представляющих собой фации эпидот-амфиболовых скарнов.

Исследования акцессорных шеелитов Амзачиманского массива и связанных с ним пегматитовых и кварцеворудных жил позволили впервые определить довольно редкую разность—молибдошеелит, который описывается отдельно.

Молибошоелит— $\text{Ca}(\text{Mo}, \text{W})\text{O}_4$. Молибошоелит, как и шеелит, кристаллизуется в тетрагональной сингонии. Характерны хорошо ограниченные дипирамидально-тетрагональные кристаллы с коркой штриховкой на гранях (112). Обычны неправильной формы выделения. Редко встречаются друзы серых и бесцветных кристаллов молибошоелита.

Таблица 92
Межплоскостные расстояния молибошоелита

I	d/n	I	d/n	I	d/n
5	4,71	9	1,585	2	1,126
10	3,08	4	1,548	2	1,106
3	2,82	2	1,432	7	1,082
4	2,603	4	1,367	7	1,010
4	2,277	4	1,340	2	0,964
3	1,974	4	1,317	3	0,953
8	1,911	8	1,244	5	0,938
4	1,894	4	1,205	6	0,920
6	1,675	3	1,187	3	0,887
3	1,621	4	1,171	5	0,880

Анализ выполнен в лаборатории ИГН Хуршудян Э. Х. Условия съемки:
Сия антикатод, $D=57,3$ мм, $d=0,45$ мм, эксп. 9,5 часов.

Молибошоелит обычно бесцветный, бледно-голубой, серый. Блеск сильный, алмазный. Под люминескопом в катодных лучах светится ярко-голубым цветом. В изломе отчетливо заметна спайность по (111). В иммерсионных препаратах бесцветен. Одноосный, положительный: $N_e=1,935$, $N_o=1,920$, $N_e-N_o=0,015$.

По данным межплоскостных расстояний (табл. 92), рассчитаны параметры элементарной ячейки молибошоелита: $a_0=5,258\text{\AA}$, $c_0=11,392\text{\AA}$, что несколько больше, чем у шеелита.

Характерной особенностью химического состава молибошоелита, по данным приближенно-количественных анализов, является высокое содержание молибдена (3—5%), а из элементов-примесей Mn (0,02%), V (0,03—0,04), Cu, La и др. (табл. 93).

Таблица 93
Спектральные анализы молибошоелитов

Разновидность	Mn	Ti	V	Cr	Mo	W	Zr	Cu	La	Li
Бесцветный	0,02	—	0,03	0,005	>3	>10	—	0,03	0,3	0,001
Серый	0,02	0,03	0,04	0,006	~5	>10	0,004	0,04	0,03	0,002

Лаборатория ИГН АН АрмССР, аналитик Мартиросян М. Я.

Молибдошеелит встречается в пегматитах, аплит-пегматитах, гранитах и кварцевых жилах Амзачиманского массива в ассоциации с красным шеелитом поздней генерации ($\text{Mo}=0,01-0,03\%$), молибденитом, вольфрамитом, самородным золотом, ураноторитом, ксенотитом, турмалином и другими редкометальными акцессорными минералами.

Повеллит— CaMoO_4 . Теоретический состав: $\text{CaO}-28\%$, $\text{MoO}_3-72\%$. Является характерным минералом зоны окисления медно-молибденовых месторождений Армянской ССР. Он установлен на Каджаранском, Агаракском, Айгедзорском, Дастанкертском и Анкаванском месторождениях. Однако больших скоплений не образует. Более или менее значительные количества повеллита установлены на Каджаранском и Агаракском месторождениях, где повеллит проявляется на значительном вертикальном интервале.

Отмечаются несколько цветовых разностей повеллита—серый, светло-серый, желтовато-зеленый и белый.

Удельный вес каджаранского повеллита, по данным М. П. Исаенко, 3,742.

Повеллит обычно развивается псевдоморфно по молибдениту. В этом случае он пластинчатый с деталями строения молибденита. Для псевдоморфных агрегатов повеллита характерна реликтовая структура замещения.

М. П. Исаенко (1966) помимо этой разновидности выделяет и разность повеллита, образованного в результате кристаллизации вещества в пустотах и трещинах, а также перекристаллизованную разность. Повеллит, образованный в результате кристаллизации в трещинах, характеризуется зональным строением (рис. 61).

В отраженном свете повеллит имеет низкую отражательную способность: $R=9-11\%$. Цвет минерала под микроскопом серый.

Химический состав повеллита из Каджаранского месторождения представлен в табл. 94.

Как видно из табл. 94 химический состав повеллита из Каджаранского месторождения близок к теоретическому. Спектральным анализом в повеллите установлены следующие элементы-примеси (в %): $\text{Mn}-0,0053$, $\text{Ti}-0,0018$, $\text{V}-0,0046$, $\text{Cu}-0,066$, $\text{Pb}-0,009$, $\text{Ag}-0,0013$, $\text{Bi}-0,001$, $\text{Zn}-0,009$, $\text{Sn}-0,0017$, $\text{Y}-0,0009$, $\text{Cr}-0,11$, $\text{Ba}-0,18$, $\text{B}-0,00018$.

Межплоскостные расстояния повеллита из Каджаранского месторождения представлены в табл. 95.

Ферримолибдит— $\text{Fe}_2\text{O}_3 \cdot 2\text{MoO}_3 \cdot 7\frac{1}{2}\text{H}_2\text{O}$. Теоретический состав ферримолибдита: $\text{MoO}_3-60,2$, $\text{Fe}_2\text{O}_3-22,2$, $\text{H}_2\text{O}-17,6$. Минерал относится к ромбической сингонии. Ферримолибдит является характерным минералом зоны окисления медно-молибденовых месторождений.

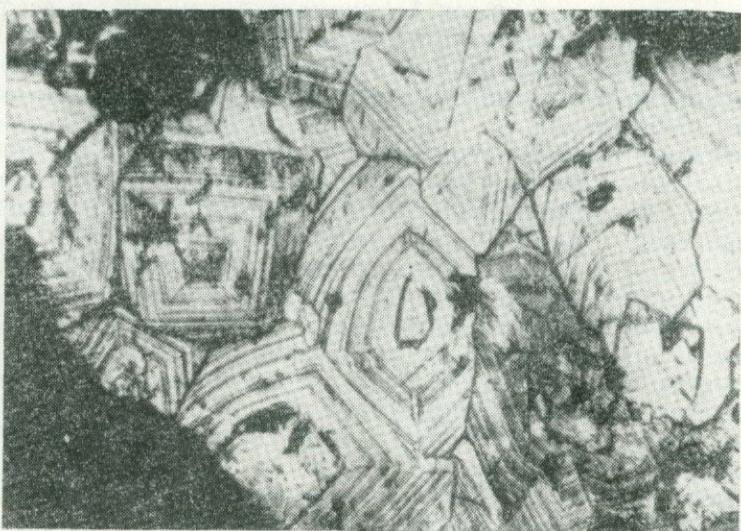


Рис. 61. Зональная структура повеллита. Прозрачный шлиф, увел. 150. Месторождение Каджаран. По К. А. Карамяну.

Таблица 94

Оксиды	MoO ₃	CaO	Fe ₂ O ₃	Сумма	Автор	Аналитик
Содержание в %	69,80	27,99	2,15	99,94	М. П. Исаенко	О. Степанян

Межплоскостные расстояния повеллита

Таблица 95

I	d _α /n	I	d _α /n
6	1,548	6	1,191
2	1,437	7	1,170
9	1,378	3	1,155
1	1,357	6	1,131
3	1,330	4	1,114
1	1,306	6	1,092
1	1,292	9	1,082
10	1,249	9	1,066
7	1,205	7	1,035

Лаборатория ИГЕМ, Слудская Н. Н., Янченко М. Т. Железное излучение. D=57,3, d=0,6 мм.

рождений. Однако он не образует больших скоплений. Установлен на Каджаранском, Агаракском, Дастанкертском и Анкаванском месторождениях, где главным образом развит в верхних горизонтах месторождений. В более глубоких частях месторождения он проявляется преимущественно в мощных кварц-молибденитовых жилах.

Ферримолибдит легко устанавливается по канареечно-желтому цвету. Он образует охристые налеты, корки и редко почкообразные выделения. Ферримолибдит образует как псевдоморфозы, замещая пластинчатые агрегаты молибденита, так и тонкозернистые агрегаты, раскристаллизованные в пустотах и трещинах. При псевдоморфном образовании замещает пластинки молибденита. Ферримолибдит обычно образует спутанно-волокнистый агрегат, длина волокон которого обычно не превышает 2,0 мм. Ферримолибдит тесно ассоциирует с лимонитом и установлен в смеси лимонита с ферримолибдитом в различных пропорциях. При преобладании лимонита смесь имеет бурый цвет.

Химический состав ферримолибдита из Каджаранского месторождения представлен в табл. 96.

Таблица 96

Оксиды	MoO ₃	Fe ₂ O ₃	H ₂ O	Сумма	Месторожд.	Автор	Аналитик
Весовые %	61,59	21,28	17,13	100,0	Каджаран	М.П. Исаенко	М. О. Степаниян

Как видно из табл. 96, состав ферримолибдита Каджаранского месторождения близок к теоретическому.

Таблица 97

Межплоскостные расстояния ферримолибдита

I	d _{z/n}	I	d _{z/n}
7	9,56	2	2,12
10	8,34	2	1,807
1	4,91	2	1,671
2	3,74	2	1,633
5	3,35	4	1,548
1	3,25	6	1,376
3	3,01	3	1,206
3	2,74	3	1,185
3	2,44		

Рентгеновская лаборатория ИГЕМ. Аналитик Г. В. Голубович. Условия съемки: железное излучение, D=57,9 мм, d=0,6 мм.

По данным М. П. Исаенко (1966), показатель преломления ферримолибдита, измеренный фосфорными жидкостями, равен по $Ng > 2,065$ и $Np = 1,722 \pm 2$.

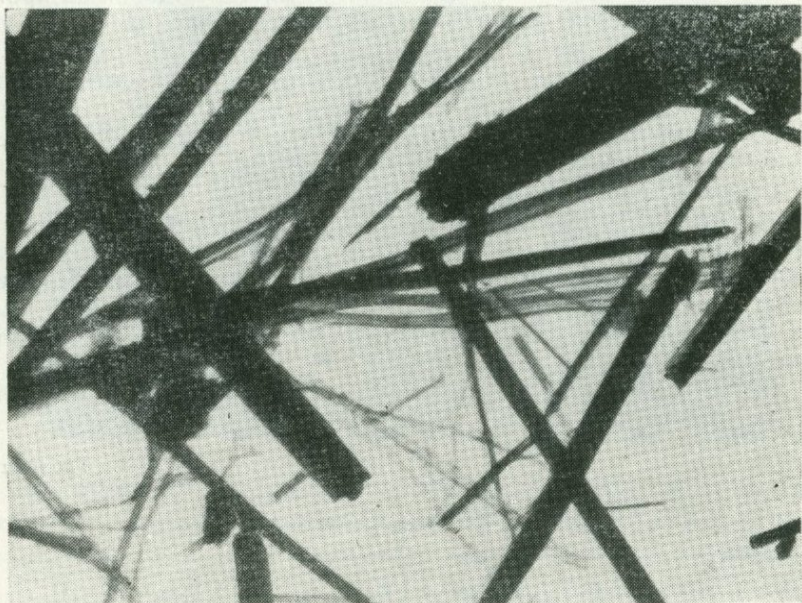


Рис. 62. Микроморфология кристаллов ферримолибдита. Электронномикроскопический снимок, увел. 15000. По К. А. Карапяну.

Электронно-микроскопический снимок ферримолибдита выявляет игольчатую и волокнистую форму кристаллов (рис. 62). В табл. 97 приводятся межплоскостные расстояния ферримолибдита из Каджаранского месторождения.

Спектральным анализом в ферримолибдите установлены следующие элементы-примеси: Mg—0,032, Mn—0,016, Ni—0,0004, Co—0,0004, Ti—0,05, V—0,0045, Zr—0,0001, Cu—0,0014, Pb—0,15, Ag—0,0012, Sb—0,016, Bi—0,0011, As—0,48, Zn—0,02.

РАЗДЕЛ IX.

ФОСФАТЫ, АРСЕНАТЫ, ВАНАДАТЫ.

Пироморфит— $\text{Pb}_5(\text{PO}_4)_3\text{Cl}$. Гексагональная сингония. Встречается в виде столбчатых, призматических кристаллов. Обычно, в виде почковидных, шаровидных агрегатов. Твердость 3,5—4,0, уд. вес 6,7—7,1. Чешуя белая, желтоватая. Блеск алмазный, жирный.

Пироморфит установлен в рудах Зодского и Меградзорского, (Арчасарский участок) месторождений (Амирян Ш. О., 1974) где он в ассоциации с плumbоярозитом, церусситом, смитсонитом развивается по минералам полиметаллических руд. Наблюдается псевдоморфное замещение галенита пироморфитом. Характеризуется зелено-желтой и бурой окраской. Образует зернистые агрегаты и корочки.

Спектральными анализами в минерале определены: Pb, P, Cl, Fe, Cu, Zn, As. Основа состоит из Pb, P, Cl.

Пироморфит имеет вторичное происхождение, так как наблюдается только в зоне окисления, где он развивается за счет гипогенных полиметаллических руд.

Апатит— $\text{Ca}_5[\text{PO}_4]_3\text{F} - \text{Ca}_5[\text{PO}_4]_3\text{Cl}$. Апатит со всеми разновидностями, встречающимися в природе, входит в группу безводных фосфатов с общепринятой формулой $\text{A}_{10}\text{B}_6\text{O}_{24}\text{X}_2$, в которой допускается возможность изоморфных замещений ионов различных элементов обозначенных индексов. Катионы (A) представлены в основном ионами Ca, которые частично могут замещаться ионами Sr, Ba, Mn, Mg, Na, R_2O_3 (в том числе и редкоземельных элементов). В группу «B» в качестве комплексного аниона входят ионы фосфора $[\text{PO}_4]^{4-}$, которые частично могут быть замещены более слабым анионом $[\text{SiO}_4]^{4-}$, но в комбинации с более сильным анионом $[\text{SO}_4]^{2-}$, если при этом не происходит изменения зарядов в катионах (А. Г. Бетехтин, 1950).

Индекс «X» представлен добавочными анионами $\text{F}^-, \text{Cl}^-, [\text{OH}]^{1-}, \text{O}^{2-}, \text{CO}_3^{2-}, \text{As}^{2-}$.

На территории республики выделяются три апатитоносные железорудные формации:

1. Апатит-магнетитовые руды гидротермально-метасоматической формации;

2. Апатит-гранат-магнетитовые и апатит-пироксен-магнетитовые руды контактово-метасоматической (скарновой) формации и

3. Амфиболизированные апатитоносные рудные пироксениты, амфиболиты и габбро-амфиболиты собственно магматической титаномагнетитовой формации.

1. Апатит гидротермально-метасоматической

железорудной формации находится в парагенезисе с магнетитом, концентрация которых пространственно приурочена к эфузивно-экструзивному комплексу миоплиоценового возраста. Типичным представителем является пока единственное в своем роде на территории Армянской ССР Абовянское месторождение апатит-магнетитовых руд.

Железные руды Абовянского месторождения состоят, в основном, из магнетита и апатита, содержание которых в различных типах руд колеблется от первых процентов до 85—90%, иногда почти мономинеральных магнетитовых и апатитовых руд. В подчиненных количествах отмечаются кальцит, скаполит, актинолит, трепомелит, кварц, пирит, мартит, биотит; сравнительно реже встречаются лимонит, гематит, халькопирит, мушкетовит, ильменит и другие минералы.

Таблица 98

Результаты полуколичественных спектральных анализов*
ранних (2 пробы) и поздних (4 пробы) апатитов Абовянского
железорудного месторождения (%)

Элементы	Ранний		Поздний	
	пределы от—до	среднее	пределы от—до	среднее
Si	0,3—0,5	0,4	0,1—3,0	0,75
Al	0,03—0,3	0,16	0,05—1,0	0,35
Mg	0,3	0,3	0,1—1,0	0,55
Ca	10,0	10,0	10,0	10,0
Fe	0,2—0,3	0,25	0,03—1,0	0,35
Mn	0,10	0,10	0,03—0,3	0,12
Ti	0,01	0,01	0,01—0,07	0,03
V	—	—	не обн.—0,03	0,008
Cu	0,0003—0,001	0,0006	0,001—0,002	0,0006
Pb	0,001	0,001	не обн.—0,1	0,007
Zr	—	—	не обн.—0,003	0,001
Sr	0,3—0,4	0,35	0,1—0,2	0,0001
Ba	—	—	не обн.—0,001	0,00
Na	0,7	0,7	0,1—3	0,8
Ga	—	—	не обн.—0,07	0,018
Li	—	—	не обн.—0,001	0,0001
P	>10,0	10,0	10,0	10,0
F(CaF)	—	—	не обн.—0,3	0,1
Yt	0,3	0,3	0,1	0,1
Yb	0,003	0,003	0,01	0,01
Ce	7,0	7,0	0,7—1,0	0,8
La	1—3	2,0	0,3—1,0	0,7

* Анализы выполнены в спектральной лаборатории ИГН АН АрмССР М. Я. Мартиросяном.

Кроме упомянутых типов магнетит-апатитовых руд, в которых апатит играет роль рудослагающего нерудного минерала, он в виде вкрапленников в небольших количествах встречается в различных породах эфузивного, экструзивного, вулканогенно-осадочного и осадочного комплексов, слагающих рудное поле.

Многообразие и возрастное взаимоотношение минеральных ассоциаций и агрегатных форм рудослагающих минералов, большое колебание размеров зерен, особенности текстур и структур руд позволяют на месторождении выделить апатит двух этапов: а) ранний—пневматолитовый и б) поздний—гидротермально-метасоматический.

Апатит раннего пневматолитового этапа представлен крупно-кристаллическими зернами—призматическими, клинообразными и радиально-лучистыми агрегатными формами, с высоким содержанием редкоземельных элементов.

Апатиты гидротермально-метасоматического этапа более разнообразны как по цвету, так и агрегатной форме, являющиеся продуктом более позднего процесса гидротермальной деятельности магматического очага, породившего парагенетически связанные экструзивные андезито-дациты (Межлумян Г. Б., 1978).

По литературным данным (Саруханян Л. Б., 1971) и данным детальных исследований, на Абовянском месторождении выделяются три разновидности апатита: фтор-хлор-апатит, эллестадит и франколит, среди которых широким развитием пользуется первая разновидность.

Фтор-хлор-апатит— $\text{Ca}_5[\text{PO}_4]_3(\text{F},\text{Cl})$. Сингония гексагональная, представлен как сплошными зернистыми массами, так и шестоватыми и призматическими кристаллами, иногда дипирамидальными, а также кристаллами таблитчатого и коротко-столбчатого габитуса.

Фтор-хлор-апатит является характерной и наиболее широко развитой разновидностью апатитов Абовянского месторождения. Формы кристаллов, агрегатное состояние и окраска апатита из различных типов железных руд и пород Абовянского месторождения довольно разнообразны.

В массивных богатых магнетит-апатитовых рудах апатит обычно образует «сливные» плотные массы, слагающие шестоватые, столбчатые, клинообразные, пламевидные неправильные удлиненные, а также червообразные формы выделения молочно-белого, светло-серого, желтовато-серого цветов, иногда с коричневатым и розоватым оттенками. На самом деле эти выделения состоят из нескольких, или же многочисленных зерен апатита, тесно соприкасающихся друг с другом, которые хорошо различаются в скрещенных николях. Размеры перечисленных форм выделений апатита колеблются в широких пределах—от нескольких миллиметров до

ров до 3—4 см в длину и 5—7 мм в толщину.

Для массивных богатых магнетит-апатитовых руд характерен также так называемый «сахаровидный» апатит, представленный непрозрачными короткопризматическими и короткостолбчатыми выделениями.

Апатиты из апатитовой, апатит-карбонатной, апатит-магнетитовой разностей руд характеризуются мелкими длиннопризматическими прозрачными и водяно-прозрачными кристалликами, размером до 4—8 мм.

В магнетит-апатитовых рудах пегматоидного характера апатит представлен крупными длиннопризматическими кристаллами (размером до 3—5 см) радиально-лучистого строения. Цвет этой агрегатной формы апатита желтоватый, медово-желтый, желтовато-серый. Набор и количественное соотношение минералов, ассоциирующих с апатитом, изменчивы в различных типах железных руд и пород. Он больше всего тесно ассоциирует с магнетитом и, как правило, всегда идиоморфен по отношению к магнетиту; последний занимает межзерновые пространства апатита, выступая в роли цементирующего материала, иногда образуя сидеронитоподобные структуры (рис. 63).

В апатитоносных прожилковых и брекчиевидных типах железных руд Абовянского месторождения апатит ассоциирует с ак-

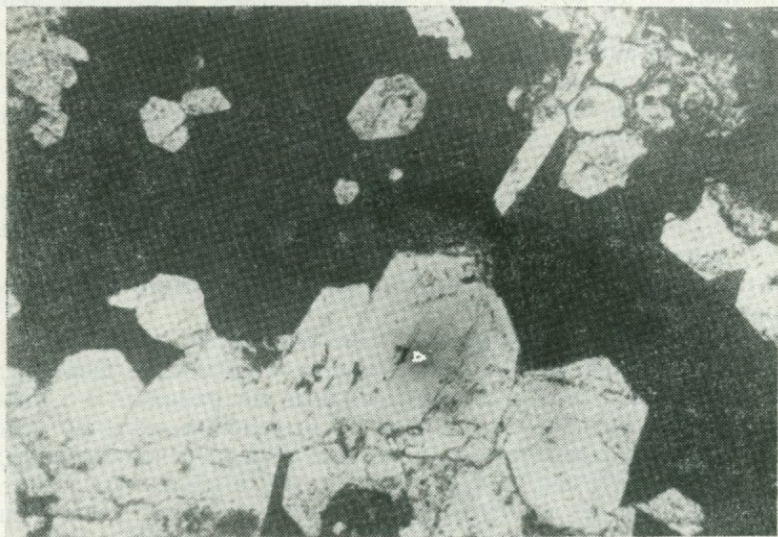


Рис. 63. Кристаллы апатита, скементированные магнетитом. Прозр. шлиф.,
увелич. 120. Камакарское месторождение. По Г. Б. Межлумяну.

тиноолитом, скаполитом, кальцитом, пиритом, пироксеном, роговой обманкой, биотитом, кварцем, эллестадитом и франколитом. Последний минерал является продуктом метасоматического изменения апатита.

Удельный вес апатита колеблется от 3,21 до 3,34. Твердость колеблется от 5,2 до 5,4 по Моосу, хорошо согласуется с микротвердостью, измеренной на приборе ПМТ-3, при нагрузке 0,05 кг 558—675 кгс/мм². Блеск стеклянный, излом жирный. Хрупок. Спайность несовершенная.

Показатели преломления изученного апатита колеблются: Ng=1,635—1,658; Np=1,630—1,656; Ng—Np=0,002—0,006; оптически отрицательный, двуосный.

По результатам имеющихся химических анализов апатит Абовянского месторождения относится к смешанному типу—фторхлор-апатиту, причем фтор преобладает над хлором (табл. 99, 100).

Таблица 99

Результаты химического анализа* апатитов Абовянского месторождения (в %)

№№ проб. Компоненты	501/76		№№ проб. Компоненты		501/76	
		708 ⁶ /68		708 ⁶ /68		
P ₂ O ₅	42,21	45,30	K ₂ O	не обн.	не обн.	
SiO ₂	1,60	1,06	H ₂ O ⁻	не обн.	не обн.	
Al ₂ O ₃	не обн.	не обн.	H ₂ O ⁺	0,20	0,28	
Fe ₂ O ₃	0,03	0,05	F	2,50	2,30	
CaO	52,65	50,20	Cl	1,16	1,30	
SrO	—	—	CO ₂	не обн.	сл.	
BaO	—	—	SO ₃	не обн.	не обн.	
MgO	не обн.	не обн.	Σр. з.	0,58	0,65	
MnO	0,20	0,22	Сумма	100,63	99,82	
Na ₂ O	0,50	0,40				

Наименование проб: № 501/76—апатит из магнетит-апатитовой руды; № 708/68—апатит из апатитовой линзы.

* Анализы выполнены в химической лаборатории ИГН АН АрмССР, аналитик О. А. Бозоян.

Апатит собственно магматической титаномагнетитовой формации развит в амфиболизированных пироксенитах, амфиболитах и габбро-амфиболитах Камакарского железорудного месторождения; ассоциирует с магнетитом и титаномагнетитом.

В отмеченных породах апатит распределен неравномерно: его содержание колеблется в пределах от 0,5% до 5—7%, реже 10%.

Содержание P_2O_5 в апатитоносных породах варьирует в пределах от 1,2 до 3,8%.

Апатит макроскопически представлен идиоморфными кристаллами призматического габитуса и продолговатыми неправильными по форме зернистыми скоплениями в виде вкраплеников и пятен. Для апатита Камакарского месторождения характерны коротко-призматические и короткостолбчатые кристаллы, размером 0,04—2,5 мм с пирамидальными окончаниями обеих сторон с хорошо развитыми гранями гексагональной призмы.

Цвет апатита серый, светло-серый, иногда желтовато-серый, блеск стеклянный на плоскости грани призмы, а на свежих изломах—жирный. Твердость 4,8, хрупкий, излом раковистый, спайность не обнаруживается.

Под микроскопом, в проходящем свете, апатит бесцветный, отличается высоким рельефом и шагреневой поверхностью. Угасание прямое. Поперечные разрезы имеют шестиугольную форму. Показатели преломления, определенные иммерсионным методом, следующие: $No = 1,634$; $Ne = 1,631$; двупреломление—0,003.

Таблица 100

Пределы колебаний и средние содержания* некоторых главных компонентов фтор-хлор-апатитов из различных типов руд и пород Абоянского железорудного месторождения (по данным химических анализов**)

№ № п/п	Содержание компонентов в %						К-во проб
	F		Cl		P_2O_5	CaO	
	от	до	среднее	от	до	среднее	среднее
1	—	—	1,67	1,67	40,47	52,70	1
2	0,50—1,20	0,85	1,75—1,77	1,76	40,98	50,82	2
3	0,36—2,16	0,95	1,42—3,00	2,54	39,69	51,29	7
4	0,72—1,24	0,98	2,20—2,70	2,45	40,31	50,97	2
5	1,04—1,62	1,25	1,24—2,30	1,72	39,38	53,74	4
6	1,80	1,80	1,25	1,25	40,63	51,99	1
	—	0,97	--	1,89	40,24	51,91	17

Наименование и характеристика проб: 1—апатит из брекчированных андезито-дацитов; 2—апатиты из массивной руды; 3—апатиты из прожилковой магнетит-апатитовой руды; 4—апатиты из туфобрекций; 5—апатиты из жильной магнетит-апатитовой руды; 6—апатиты из метасоматически измененных андезито-дацитов.

* Таблица средних содержаний приведенных компонентов составлена по данным полных химических анализов (Л. Б. Саруханян, 1971).

** Анализы выполнены в химической лаборатории ИГН АН АрмССР, аналитиками М. М. Языджян и В. А. Бабаян.

Химический анализ апатита из Камакарского месторождения приводится в табл. 101. По химическому составу (содержанию и соотношению фтора и хлора) и физическим свойствам апатит Камакарского месторождения относится к смешанному—фторхлор-апатиту, и характеризуется преобладанием содержания фтора над хлором примерно в два раза. Апатит был изучен также рентгеноструктурным анализом (лаборатория ИГН АН АрмССР, аналитик Э. Х. Хуршудян), результаты которого подтверждают его принадлежность к указанной разновидности апатита. Отличительной особенностью рассматриваемого апатита является также высокое содержание суммы редкоземельных элементов.

Таблица 101

Химические анализы* апатитов из железорудных месторождений АрмССР

№ № обр. Оксиды	A—10/64		122а/64	
	вес %	молек. кол. (x10000)	вес. %	молек. кол. (x10 ⁰⁰)
P ₂ O ₅	38,24	2694	39,28	2767
SiO ₂	2,50	416	0,55	92
TiO ₂	не обн.	—	0,16	20
Al ₂ O ₃	0,20	20	не обн.	—
Fe ₂ O ₃	1,10	69	0,65	407
FeO	0,71	99	не обн.	—
CaO	52,15	9299	51,49	9181
MgO	сл.	—	1,67	414
MnO	0,10	14	сл.	—
Na ₂ O	0,07	11	0,07	11
K ₂ O	0,07	7	0,12	13
H ₂ O ⁻	0,40	222	не обн.	—
F	0,70	368	2,16	1137
Cl	1,14	322	1,10	310
CO ₂	0,76	173	—	—
S	0,17	53	—	—
Σр. з.	1,21	—	2,96	—
Сумма	99,52	13767	100,04	14352
—O=F ₂	0,29	368	0,91	1137
—O=Cl ₂	0,32	322	0,32	310
Сумма	98,91	13077	98,81	12905

* Анализы произведены в химической лаборатории ИГН АН АрмССР, аналитики М. М. Языджян (проба № А—10/64) и В. А. Бабаян (проба № 122а/64).

Апатит контактово-метасоматической (скарновой) железорудной формации широко развит в магнетит-гранат-пироксеновых ч магнетит-гранат-эпидот-пироксеновых скарнах

которые генетически связаны с умеренно-кислыми гранитоидными интрузивными массивами верхнего эоцена Памбакского и Базумского рудных районов АрмССР.

В отношении апатитоносности интерес представляют скарновые железные руды Ахавнадзорского и Базумского железорудных месторождений, расположенных соответственно в отмеченных рудных районах республики.

Магнетит-апатитовое скарновое оруденение пространственно приурочено к скарновой полосе гранат-эпидот- и гранат-пироксенового состава, развитой вдоль контактовой и приконтактовой зоны Ахавнадзорского и Каджерийского гипабиссальных интрузивов.

Магнетит-апатитовые руды среди скарнов образуют прожилки, линзы, жилы и шлиры размером от нескольких сантиметров до 40—50 см. Эти руды развиты в северной части месторождения.

Апатит является одним из характерных рудослагающих нерудных минералов скарновых магнетит-апатитовых руд Ахавнадзорского месторождения; он широко развит в богатых массивных рудах и в подчиненном количестве присутствует в прожилковом типе магнетит-апатитовых руд. В рудах апатит распределен весьма неравномерно, его количество варьирует в значительных пределах. В магнетит-апатитовых рудах содержание апатита составляет 1—2 до 10—13%, иногда—18% от общего объема руды. Содержание апатита в массивных рудах в среднем составляет 3,5%.

Апатит макроскопически представлен как идиоморфными кристаллами, так и зернистыми скоплениями в виде жил, прожилков, цепочек, гнезд, шлиров и других форм выделений.

Кристаллы апатита обычно короткопризматические и короткостолбчатые, размером 0,8—3,0 мм, иногда до 5—6 мм в поперечных сечениях. В массивных и прожилковых магнетит-апатитовых рудах апатит образует также хорошо ограниченные шестигранные короткие призмы размером 1—3 мм в длину и 0,6—0,8 мм в поперечнике.

Для изученного апатита наиболее характерным являются призмы с хорошо развитыми боковыми гранями (1010).

Цвет апатита серый, мутновато-серый, зеленовато-серый. Излом раковистый, блеск стеклянный на плоскости грани, а на свежих изломах—жирный. Твердость—5, хрупкий, спайность не проявляется. Под микроскопом в проходящем свете апатит почти бесцветен, отличается характерным для него высоким рельефом и шагреневой поверхностью. В скрещенных николях анизотропен, окраска меняется от серого до темно-серого, почти черного. Угасание прямое. Поперечные разрезы отличаются характерной шестиугольной формой. Минерал оптически одноосный, отрицательный. Показатели преломления, определяемые иммерсионной жидкостью, равны: $N_o = 1,635$, $N_e = 1,630$, двупреломление 0,005.

При сравнении результатов химических анализов апатитов различных железорудных месторождений АрмССР наблюдается высокое содержание редкоземельных элементов (2,69%) в апатитах Камакарского месторождения, низкое—в апатитах Абовянского месторождения (0,61%, среднее из двух проб). Промежуточное положение занимают апатиты Ахавнадзорского месторождения.

Бирюза— $\text{CuAl}_6[\text{PO}_4]_4[\text{OH}]_8 \cdot 5\text{H}_2\text{O}$. Химический состав: $\text{CuO}—9,57\%$, $\text{Al}_2\text{O}_3—36,84\%$, $\text{P}_2\text{O}_5—34,12\%$, $\text{H}_2\text{O}—19,47\%$.

Сингония триклиническая, мелкие кристаллники встречаются редко, обычно образует скрытокристаллические массы почковидной формы, корки, прожилки. Рентгеноструктурный анализ (табл. 102) подтверждает принадлежность к бирюзе, а в табл. 103 приводятся результаты спектрального анализа бирюзы.

Цвет небесно-голубой, яблочно-зеленый, зеленовато-серый. Блеск восковый. Оптически положительный, $\text{Ng}=1,5$, $\text{Nm}=1,62$, $\text{Nr}=1,62$; $\text{Ng}-\text{Nr}=0,04$.

Твердость 5—6, хрупкая, уд. вес 2,60—2,83.

Дает реакцию на медь и на фосфор.

Таблица 102

Межплоскостные расстояния бирюзы

I	$\frac{d_x}{n}$	I	$\frac{d_x}{n}$
3	9,01	2	2,19
4	6,70	4	2,126
5	6,16	4	2,069
4	4,78	5	2,010
10	3,67	5	1,993
6	3,43	3	1,900
5	3,27	3	1,846
3	3,07	2	1,782
4	2,52	2	1,725
3	3,49	3	1,670
3	2,31	3	1,634
4	2,28	4	1,384
4	2,24	4	1,372

Анализ выполнен в лаборатории ИГН АН АрмССР Хуршудян Э. Х. Проба снята на дифрактометре ДРОН-2, на Соа-излучении.

В Армянской ССР интересное месторождение бирюзы обнаружено в районе с. Техут Туманянского района, где бирюза часто с лимонитом заполняет трещинки в выветрелых гранодиоритах—кварцевых диоритах Кохбского интрузивного массива. Общая форма оруденелого участка—штокверк с мощностью прожилков бирюзы в пределах 1—5 мм, редко больше.

Разности бирюзы небесно-голубого цвета служат здесь предметом разработки карьером.

Месторождение образовалось при воздействии меденоносных поверхностных растворов на горные породы, содержащие полевые шпаты (источник Al_2O_3) и апатит (источник Р). Среди других месторождений бирюзы известны Кара-Тюбе и Нура-Тай в Узб. ССР, Нишапур в Иране, Вади-Магара в Египте и др.

Таблица 103

Результаты спектрального анализа бирюзы

Si	>10(~16,0)	Mo	0,0014	Cd	—	Ba	0,016
Al	>10(~20,0)	W	—	Te	—	Li	—
Mg	0,1	Zr	0,0033	Tl	—	P	>10(18,0)
Ca	0,39	Hf	—	Sn	0,00021	Au	—
Fe	1,0	Nb	(0,00027)	Ge	0,00022	Pt	—
Na	0,16	Ta	—	Ga	0,00025	Be	0,0006
	—	Cu	5,6	In	0,00032	Sc	0,0033
Mn	0,0008	Pb	0,0013	Hg	—	B	0,0005
Ni	0,00014	Ag	0,00025	Y	0,00026	F(CaF)	—
	—	Sb	0,004	Yb	(8,5 · 10 ⁻⁵)	Th	—
Ti	0,07	Bi	0,001	Lu	—	U	—
V	0,0016	As	0,028	Ce	—		
Cr	0,024	Zn	0,013	Sr	0,028		

Монацит— $\text{Ce}[\text{PO}_4]$. Теоретический химический состав:
 $\Sigma \text{TR}_2\text{O}_3$ —50,68 %, Y_2O_3 —5 %, P_2O_5 —22—31 %, Th—3—10 %.

Монацит среди редкоземельных минералов Армении наравне с орбитом является наиболее распространенным минералом. Образует уплощенные, нередко таблитчатые по (100), иногда призматические кристаллы с хорошо развитыми гранями (110), (010), и (101). Характерны двойники по (100) (рис. 64, 65). Спайность по (001) и (100).

Цвет ярко-желтый, зеленоватый, реже-бесцветный. Под микроскопом—бесцветный. Плеохроирует от бесцветного по Nr до желтого по Ng.

Показатели преломления варьируют: $\text{Ng}=1,78-1,85$, $\text{Nr}=1,76-1,78$. Оптически положителен, $+2v=12-16^\circ$.

Изученные разности монацитов, как правило, покрыты серо-желтыми корочками и налетами.

Химический состав монацита из пегматитов щелочных сиенитов приведен в таблицах 105, 106, 107. Обращает внимание существенно цериевый состав редкоземельных элементов (рис. 66), на долю которых приходится 85 % от $\Sigma \text{TR}_2\text{O}_3$. Кроме того, для монацитов характерны изоморфные примеси: Sr, Sc, Be, Pb, Mn, Mo.



Рис. 64. Призматический кристалл монацита из гранит-порфиров (Мюльк-Джиндары), Увел. 32. Прозр. шлиф. По Б. М. Меликсяну.

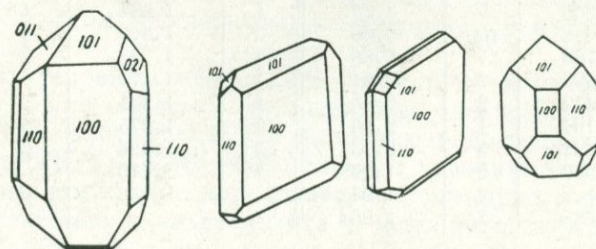


Рис. 65. Формы кристаллов монацита: 1. Памбак. 2. Шванидзор. 3. Мюльк. 4. Амзачиман. По Б. М. Меликсяну.

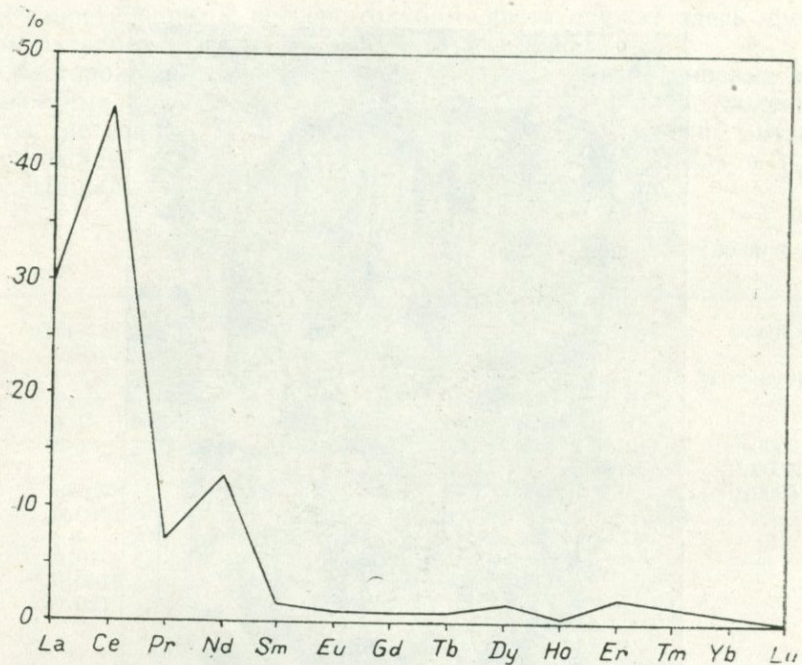


Рис. 66. Характер распределения РЗЭ в монацитах. По Б. М. Меликсяну.

Межплоскостные расстояния монацитов

Таблица 104

Тежсар		Мегри		Тежсар		Мегри	
I	d/n	I	d/n	I	d/n	I	d/n
3	3,453	2	3,52	6	1,740	4	1,755
8	3,209	5	3,29	4	1,664	4	1,670
10	3,018	10	3,08	3	1,610	5	1,623
7	2,780	7	2,88	3	1,528	2	1,545
3	2,592	2	2,61	1	1,471	—	—
2	2,417	2	2,45	4	1,331	3	1,325
3	2,161	1	2,20	3	1,275	5	1,289
2	2,122	5	2,13	3 ш	1,236	3	1,223
6	1,949	6	1,96	1	1,110	—	—
6	1,838	4	1,94				
		2	1,864				

Анализ выполнен в лаборатории ИГН АН Армянской ССР Журшудян Э. Х. Условия съемки: Сua, Ni-фильтр, D=57,3, d=0,5 мм. Экспозиция 12 часов.

Таблица 105

Редкоэлементный состав монацитов по данным спектральных анализов (в %)

Монациты	Mn	Pb	Sc	Y	La	Ce	Yb	Be.	Th	U	Sr
Тежсар	0,03	—	0,003	0,1	>5	>5	0,03	0,003	1—3	0,1	0,01
Мегри	0,1	0,003	0,003	0,3—1	>10	>5	0,01	0,003	3—10	0,3	0,003

Лаборатория ИГН АН АрмССР, аналитик Мартиросян М. Я.

Таблица 106

Химический состав (в %) монацита из пегматита (Мегри)
(аналитик И. С. Разина ИМГРЭ)

$\Sigma \text{TR}_2\text{O}_3$	Y_2O_3	ThO_2	UO_2	P_2O_5	SiO_2	Σ
62,3	2,5	5,6	0,62	26,28	3,2	100,2

Таблица 107

Содержание лантаноидов в монаците от $\text{TR}_2\text{O}_3 = 100\%$

La	Ce	Nd	Pr	Sm	Eu	Gd	Tb	Dy	Ho	Er	Tu	Yb	Lu
30,0	44,5	6,8	12,0	1,1	0,2	0,2	—	0,4	—	2,1	1,9	0,2	—
28,5	44,5	5,9	18,0	3,1	—	—	—	—	—	—	—	—	—

Расшифровка TR по данным Р. Л. Баринского и Ю. А. Балашова.

Монацит встречается как в гранитных пегматитах и порфиро-видных гранитоидах, так и в богатых алюминием нефелиновых сиенитах Мегринского plutона и Тежсарского щелочного комплекса. Монацит в кислых породах и пегматитах ассоциирует с ураноторитом, давидитом, апатитом, флюоритом, а в щелочных породах — с бритолитом, веллеритом, бадделентом, циртолитом и пирохлором.

Касаясь условий образования монацита, следует отметить, что редкие земли образуют две взаимные трехкомпонентные системы — $\text{TR}(\text{Y})-\text{CaO}-\text{P}_2\text{O}_5(\text{F})$ в условиях недосыщенности кремнекислоты и $\text{TR}(\text{Y})-\text{CaO}-\text{P}_2\text{O}_5(\text{SiO}_2)$ в условиях избытка кремнезема. В первом случае весь фосфорный ангидрид и фтор связываются с известью в виде апатита и флюорита, а редкие земли частично маскируются в них, частью (избыток TR) рассеиваются в сфене или образуют ортит. В случае же недостатка извести ос-

новная масса редких земель концентрируется в монаците и бритолите. Таким образом, возникают два устойчивых парагенезиса, характерных для различных условий щелочности: I—апатит-ортит-сфен-флюорит; II—апатит-меланит-бритолит-монацит. Этим собственно объясняется определенный антагонизм ортита и монацита в парагенезисах.

Ксенотим— $\text{Y}[\text{PO}_4]$. Химический состав варьирует; Y_2O_3 —45—60%, P_2O_5 —28—35%, SiO_2 —2—4%, Th —3—5% U —5—10%. Кристаллы ксенотима имеют тетрагонально-бипирамидальный габитус. Основные формы (110), (011), реже наблюдается развитие узкого пояса тетрагональной призмы (100). Иногда наблюдались грани (211), (111). Очень часто пирамидальные грани искажены или развиты неправильно. Как правило, характерны срастания с кристаллами циртолита. Размеры кристаллов 0,3—0,5, реже 1—2 мм. Цвет серовато-желтый, буро-коричневый. Полупрозрачный. Часто на гранях ксенотима образуются корочки вторичного минерала черпичта ($\text{Y}[\text{PO}_4] \cdot 2\text{H}_2\text{O}$).

Показатели преломления ниже, чем у циркона: $N_g' = 1,820$, $N_p' = 1,720$. Двупреломление высокое— $N_g - N_p = 0,100$.

Межплоскостные расстояния приведены в табл. 108. Рассчитанные параметры элементарной ячейки: $a_0 = 6,84 \text{ \AA}$, $c_0 = 6,12 \text{ \AA}$.

По данным приближенно-количественных анализов установлены: Zr (1—3%), Y (3—5%), Yb (0,3—1,0%), La, Ce (0,1—0,3%), Er (0,3%), Nb (0,01%), Ti (0,3%), Fe (1%), Be (0,001%), Sc (0,03%), Th (7,0%), U (4,0%) (рис. 67).

Таблица 108
Межплоскостные расстояния ксенотима

I	d_{α}/n	I	d_{α}/n	I	d_{α}/n	I	d_{α}/n
3	4,4	6	2,136	5	1,540	4	1,146
5	3,81	2 _ш	1,934	4	1,436	4	1,108
3	2,73	5	1,820	3	1,378	5	1,090
6	2,55	9 _ш	1,774	4	1,348	7	1,076
4	2,416	5	1,710	5	1,280	6	0,984
2	2,367	2	1,608	8	1,232	7	0,955

Лаборатория ИГН АН АрмССР, аналитик Хуршудян Э. Х. Условия съемки: Сиа, эксп. 15 ч.

Кроме типичных ксенотимов встречается и цералит с высоким содержанием $\text{Si} > 3,0\%$, $\text{Pb} 0,03—0,1\%$, $\text{Ca} 0,7—1,0\%$, $\text{U} 3—10\%$. Ксенотим ассоциирует в пегматитах и гранитах с циртолитом,

альбитом, мусковитом, ураноторитом, флюоритом, монацитом и тантало-ниобатами. Встречается также в пегматитах, особенно связанных с молодыми порфировидными гранитами (Вохчи, Маргаовит, Агверан), реже—в пределах массивов щелочных сиенитов.

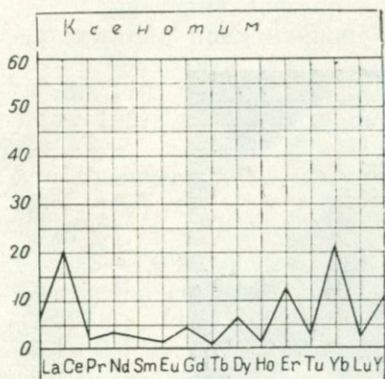


Рис. 67. График распределения РЭЗ в ксенотиме. По Б. М. Меликсяну.

Бритолит— $(Ce, La, Nd, Ca)_5[Si, P]O_4[F, O]$.

Химический состав: ΣTR_2O_3 —52—62%, CaO —14%, SiO_2 —15—22%, P_2O_5 —1—7,0%, Th —1—20%, Y_2O_3 —3—19%.

Бритолит образует удлиненно-призматические кристаллы (рис. 68) с хорошо развитыми гранями гексагональной призмы (1010) и бипирамиды (1012) и (1011). Габитус кристаллов короткостолбчатый, бипирамидальный, размером 0,3—2 мм. Цвет варьирует от бледно-желтого и серого до желто-оранжевого. В тонких осколках просвечивает желтым цветом с плеохроизмом от бесцветного до коричневого. Часто анизотропен, одноосен, оптически отрицателен; $Ne=1,748—1,742$ с низким двупреломлением— $Ne=No=0,009$. Иногда изотропизирован: $N=1,75—1,78$.

Таблица 109

Межплоскостные расстояния бритолита

I	d/n	I	d/n	I	d/n	I	d/n
2	3,34	2	2,315	5	1,892	5	1,485
3	3,26	2	2,112	4	1,800	2	1,263
4	3,16	1	2,080	5	1,771	3	1,139
10	2,895	6	1,994	3	1,565		
2	2,806	6	1,941	2	1,541		

Лаборатория ИГН АН АрмССР, аналитик Хуршудян Э. Х. Условия съемки: Fea , $D=57,3$; $d=0,5$. Эксп. 16 ч. Образец прокален 3 ч., при $t=900^\circ$.

Рентгенометрический анализ минерала (табл. 109) показал идентичность с бритолитом Е. И. Семенова (1963). Параметры элементарной ячейки: $a_0=9,65 \text{ \AA}$, $c_0=7,084 \text{ \AA}$.

Бритолит находится в парагенетической ассоциации с меланитом, браннеритом, веллеритом, торитом и другими редкоземельными минералами.



Рис. 68. Гексагонально-призматические кристаллы бритолита из нефелиновых пегматитов. Увел. 20. По Б. М. Меликсяну.

Проведенные приближенно-количественные спектральные анализы бритолитов показали заметные колебания в химическом составе, особенно $\text{Ce}>10\%$, $\text{La}-3-5\%$, $\text{Y}-0,3-1,0\%$, $\text{Th}>3,0\%$, $\text{U}-0,3-1,0\%$, $\text{Nb}-0,03\%$, $\text{Zr}-0,1\%$, $\text{Yb}-0,03\%$, $\text{Sr}-0,5\%$. Установлен в альбитизированных мусковитизированных нефелиновых сиенитах и пегматитах Текسارского и Мегринского щелочного комплексов.

Иттроалюмобритолит является другой разновидностью бритолита, содержащей заметное количество алюминия, иттрия и циркония, причем, вероятно, совместно с редкими землями иттриевой группы находятся в семерной координации. Ранее минерал описан как беккелит (Меликсетян, 1972).

Характерна ярко-оранжевая окраска столбчатых кристаллов. Показатели преломления изученного алюмосиликофосфата ниже, чем у бритолита, и не превышает $N=1,71-1,725$. Рентгенограмма (табл. 110) близка к таковой беккелита (М. А. Кудрин, В. С. Кудрина, 1961) с параметрами элементарной ячейки: $a_0=9,62 \text{ \AA}$, $c_0=7,08 \text{ \AA}$.

Химический состав, по данным спектрального анализа: Al (0,3—1%), Ca (1—3%), Fe (0,3%), Zr (0,3%), Nb (0,3%), Ta (0,01%), Y (0,3—1%), La, Ce ($>5\%$), Yb (0,1%), Th ($\sim 3,0\%$), U (0,3—1,0%), в незначительном количестве встречаются преимущественно сорбированные примеси: Ti (0,3%), Mn (0,003%), Cu (0,003%), Pb (0,03%), Bi (0,01%), Zn (0,01%), Sn (0,003%), Na (0,1—0,3%), P (0,1—0,3%).

Встречается совместно с бритолитом в обогащенных глиноzemом нефелиновых сиенитах и пегматитах (Тексар).

Таблица 110

Межплоскостные расстояния алюмобритолита

I	d/n	I	d/n	I	d/n	I	d/n
5	3,508	6	2,205	4	1,867	5	1,214
9	3,120	3	2,040	3	1,812	4	1,109
10	2,813	4	1,960	8	1,644		
3	2,720	6	1,905	5	1,280		

Лаборатория ИГН АН АрмССР, аналитик Хуршудян Э. Х. Условия съемки: Fea, D=57,3 d=0,45. Эксп. 24 ч. Образец прокален t=900° 3 часа.

Рабдофанит—(TR, Fe, Ca) [PO₄] · H₂O. Как правило, встречается в виде сферолитовых агрегатов и землистых продуктов за счет изменения монацита, ортита, циртолита, церита и других редкоземельных минералов. Сингония моноклинная. Спайность по (001) и (100). Цвет желтовато-серый, желтовато-оранжевый, непрозрачный. Блеск жирный. Показатели преломления Ng=1,724, Np=1,671±0,003. Двупреломление высокое. Часто изотропизирован. Размер кристаллов 0,4—2 мм. Рабдофанит был подвергнут рентгенометрическому анализу (табл. 111), полученные межплос-

костные расстояния близки к эталону. По данным рентгено-спектрального анализа (Ю. А. Балашов), состав TR в рабдофаните Тежсарского комплекса (от 100%): La—27,0, Ce—41, Pr—5,4, Nd—15, Gd—1,8, Dy—1,0, Yb—0,4, Y—5 (в %) (рис. 69).

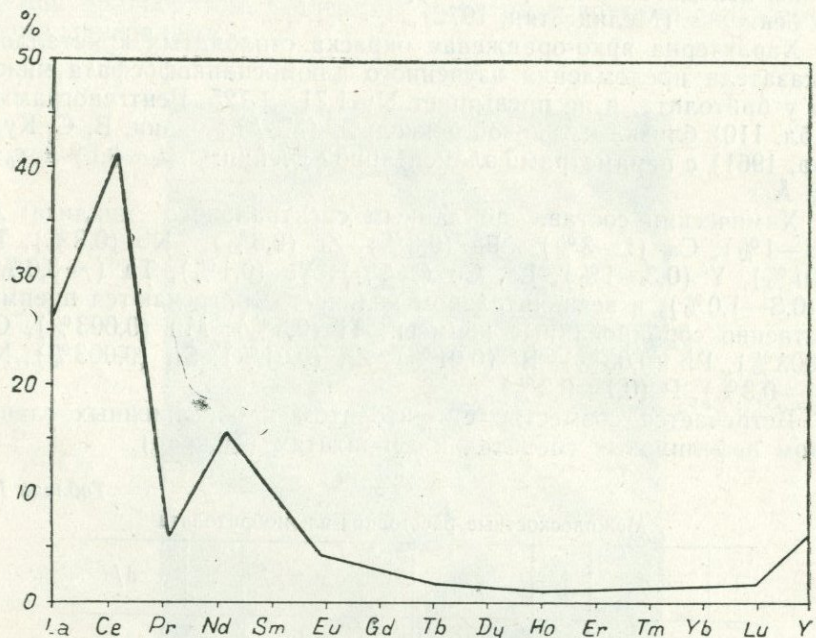


Рис. 69. Распределение РЗЭ в рабдофаните. По Б. М. Меликсяну.

Спектральным анализом в рабдофаните обнаружены: Ce \gg 5%, La $>$ 3%, P—3—5%, Ca \sim 1%, Si \gg 1%, Fe 0,3—1%. Реже встречаются Mo (0,0001%), Pb (0,001%), Be (0,03%), Th \gg 1%, U—0,3%.

Межплоскостные расстояния, рабдофанита

Таблица 111

I	d/n	I	d/n	I	d/n	I	d/n
3	3,50	5	2,41	7	1,739	3	1,360
5	3,29	8	2,87	5	1,685	6	1,324
10	3,07	8	2,128	3	1,598	7	1,275
10	2,865	6	1,957	6	1,530	7	1,288
3	2,600	6	1,861	5	1,473		

Условия съемки: Fea, эксп. 7 ч. (по Мкртчян А. А.).

Рабдофанит очень широко распространен в пегматитах как гранитного, так и сиенитового состава, подвергшихся гидротермальному изменению, где он ассоциирует с циртолитом, бритолитом, клевеландитовым альбитом и мелкочешуйчатым мусковитом. Кроме того, рабдофанит установлен в флюорит-биотит-карбонатовых гидротермальных (Г. Е. Кочинян, 1975) Тежсарского щелочного комплекса, а также в составе акцессорной фракции щелочных сиенитов Мегринского и Памбакского plutонов.

Скородит— $\text{Fe}(\text{AsO}_4)_2 \cdot 2\text{H}_2\text{O}$. Ромбическая сингония. Образует плотные землистые массы и зернистые агрегаты. Твердость 3,5, уд. вес 3,3. Хрупок. Излом неровный. Спайность несовершенная по (100), (001) и (201). В алюмоскородитах содержится до 7,1% Al_2O_3 .

Скородит установлен на Зодском, Тейском, Гегарчинском месторождениях (Амирян Ш. О., 1974), где он развивается по арсенопириту, образуя плотные агрегаты зеленовато-белого, яблочно-зеленого, голубовато-зеленого цветов. Образует петельчатую микротекстуру замещения по арсенопириту. За счет скородита развиваются лимониты.

На Зодском месторождении присутствует алюминиевая разновидность скородита—мансфеллит, в рентгенограмме которого установлены следующие сильные линии: (10) 3,118; (10) 2,521; (9) 4,27; (8) 2,975; (6) 2,449; (6) 5,42; (5) 1,504.

Эритрин— $\text{Co}_3(\text{AsO}_4)_2 \cdot 8\text{H}_2\text{O}$. Моноклинная сингония. Образует призматические мелкие кристаллы игольчатого или тонкопластинчатого облика. Обычно представлен в виде землистых масс. Твердость 1,5—2,5 до 1 для землистых масс. Уд. вес 2,95. Спайность по (010) весьма совершенная. Черта бледно-красная. Блеск кристаллов стеклянный, на плоскостях спайности перламутровый.

В Армянской ССР эритрин установлен на Зодском золоторудном месторождении Т. А. Твалчелидзе. Встречается в виде налетов, землистых масс и корок. Развивается по арсенидам и сульфидам кобальта. Характеризуется розовым, красноватым цветом. Обычно ассоциирует с аннабергитом и первичными сульфидами и арсенидами никеля и кобальта.

Спектральным анализом в эритрине определены более 10% Со и As, целые проценты Ni, десятые доли процента Fe, Mg, Ca и Mn. Имеет гипергенное происхождение, встречается в зоне окисления сульфидных руд.

Аннабергит— $\text{Ni}_3(\text{AsO}_4)_2 \cdot 8\text{H}_2\text{O}$. Моноклинная сингония. Образует призматические, волосистого облика кристаллы. Обычно наблюдается в виде землистых масс. Твердость 2,5—3, уд. вес 3,0. Хрупок. Спайность по (010) совершенная.

Аннабергит установлен в рудах Зодского золоторудного месторождения (Ш. О. Амирян, 1974) в ассоциации эритрина и гипо-

генных арсенидов и сульфидов никеля и кобальта. Характеризуется зеленым, яблочно-зеленым цветом. Образует корки, налеты, землистые массы, которые развиваются по сульфидам и арсенидам Ni. Происхождение гипергенное. В минерале спектральным анализом определены Ni, As (основа), Co, Fe, Mg, Ca. Часто аннабергит развивается по никелину, хлоантиту, миллериту, линнит-полидимиту.

В рентгенограмме аннабергита установлены следующие сильные линии: (10)2,848; (9)2,970; (6)3,307; (6)3,146; (3)2,692; (3)2,425; (3)2,280; (4)2,179 (Ш. О. Амирян, 1971).

РАЗДЕЛ X. КАРБОНАТЫ

Малахит— $\text{Cu}_2(\text{CO}_3)(\text{OH})_2$. Химический состав: Cu—71,9%, CO_2 —19,9%, H_2O —8,2%. Примеси: CaO , Fe_2O_3 , SiO_2 и др. Сингония моноклинная. Цвет зеленый. Блеск стеклянный до алмазного, у волокнистых разностей шелковистый. Показатели преломления: $\text{Ng}=1,909$, $\text{Nm}=1,879$ и $\text{Np}=1,655$. Твердость 3,5—4. Хрупок.

В отраженном свете цвет серый. Отражательная способность низкая ($R=6$ —10%), примерно как у сидерита. Относительный рельеф выше кальцита, но ниже доломита. Анизотропный. Двутрение заметно. Внутренние рефлексы характеризуются зеленым цветом. От HNO_3 , HCl , KOH , KCN травится с выявлением структуры.

Малахит является самым распространенным минералом зоны окисления всех медных месторождений. Почти всюду ассоциирует с самородной медью, азуритом, теноритом, купритом, лимонитом и хризоколлой. Обычная форма проявления карбоната меди—тонкие пленочки, корочки, примазки на стенках трещин отдельности. На месторождениях распространена также колломорфная разность малахита. Иногда характерны псевдоморфозы малахита по азуриту. Этот поздний малахит обладает скрытокристаллическим строением.

Для каджаранского малахита, по данным химического анализа, характерно присутствие селена—0,0005% и теллура—0,0004%.

На медно-молибденовых месторождениях Каджаран, Агарак, Дастанкарт, Джиндара и Анкаван образует землистые массы и налеты, а также заполняет пустоты в породе. Малахит часто образует натечные образования с колломорфным строением. Нередко отмечаются и игольчатые кристаллы, а также скопления с радиально-лучистым строением. Малахит образует совместные срастания с купритом, халькозином, борнитом, гетитом и азуритом. Малахит

хит обычно развивается по куприту, халькоzinу и борниту. Обрастает выделениями гетита, лимонита и др. гидроокислов железа. Азурит же повсеместно нарастает на малахит, либо проникает вдоль плоскостей его колломорфных почек.

Химический состав малахита из Каджаранского месторождения представлен в табл. 112.

Таблица 112

Компоненты	CuO	CO ₂	H ₂ O	Сумма	Аналитик	Автор
Содержание в %	69,5	21,8	8,37	99,67	М. Давтян	К. А. Карамян

Азурит—Cu₃(CO₃)₂(OH)₂. Синоним: медная лазурь. Химический состав: CuO—69,2%, CO₂—25,6%, H₂O—5,2%.

Сингония моноклинная. Цвет темно-синий, в землистых масах—голубой. Блеск стеклянный. Оптические константы: Ng=1,838, Nm=1,785 и Nr=1,730. Твердость 3,5—4.

В аншлифах цвет серый с розовым оттенком. Анизотропный, R=7—9%. Характерны синие внутренние рефлексы. Относительный рельеф ниже доломита, но выше кальцита. От HNO₃, HCl, FeCl₃ травится с выявлением структуры.

На всех медных месторождениях по сравнению с малахитом имеет значительно меньшее распространение. В отличие от малахита, преобладающей формой отложений азурита являются ясно-кристаллические агрегаты. Почти всегда встречается с малахитом. В зонах окисления сульфидных месторождений республики наблюдается следующая последовательность образования карбонатов меди: малахит—азурит.

На Зодском месторождении среди малахита и азурита нередко встречается тонкая вкрапленность самородного золота.

В каджаранском азурите, по данным химического анализа, установлены Se (0,0004%) и Te (0,0006%).

На медно-молибденовых месторождениях Каджаран, Агарак, Дастакерт, Джиндар, Анкаван азурит является распространенным минералом зоны окисления и развит в приповерхностных участках этих месторождений. Нередко отмечаются большие скопления. Образует сплошные налеты по стенкам трещин, заполняет пустоты с образованием жеод с друзами пластинчатых кристаллов (рис. 70). На стенках трещин нередко образует отдельные почки, внутри которых азурит имеет радиально-лучистое строение.

Совместные срастания азурита и малахита отмечаются редко. Обычно азурит нарастает на почки малахита.

Азурит нередко образуется совместно с лимонитом и гетитом. В этом случае обычно азурит является более поздним и заполняет трещины дегидратации в лимоните.

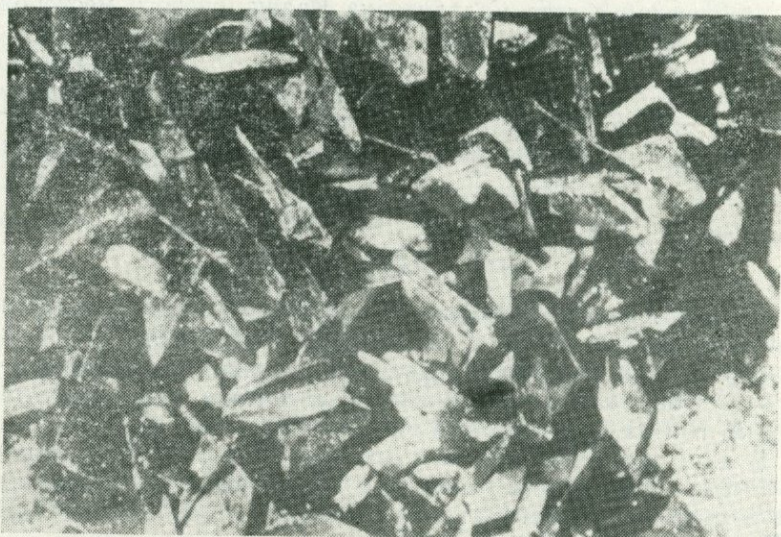


Рис. 70. Щетки кристаллов азурита. Увел. 9. Агаракское месторождение. По Е. А. Акопян.

Химический состав азурита Каджаранского месторождения представлен в табл. 113.

Таблица 113

Компоненты	CuO	CO ₂	H ₂ O	Сумма	Аналитик	Автор
Содержание в %	68,5	25,3	5,18	98,98	М. Давтян	К. А. Карамян

Паризит CaCe₂[Co₃]₃F; Бастнезит Ce(CO₃)F.

Учитывая их тесное совместное нахождение и исключительную близость физических свойств и структуры, ниже приводится их совместное описание. Эти минералы образуют тончайшие выделения в интерстициях обломков измененных трахитов, скементированных фиолетовым флюоритом. Редко кристаллы бастнезита таблитчатые по (0001) и столбчатого габитуса с преобладанием грани (1121) для паризита.

Таблица 114

Межплоскостные расстояния паризита и бастнезита

Паризит		Бастнезит		Паризит		Бастнезит	
I	d/n	I	d/n	I	d/n	I	d/n
5	3,54	9	3,55	6	1,528	5	1,560
9	2,82	10	2,875	3	1,403	4	1,430
10	2,036	9	2,054	6	1,338	5	1,371
8	1,869	9	2,000	10	1,285	9	1,298
5	1,766	10	1,878	1	1,103	2	1,106
8	1,651	6	1,670				

Условия съемки: Cuα, D=57,3 (паризит по данным Г. Е. Кочиняна).

Цвет агрегатов фтор-карбонатов редких земель варьирует от желто-охристого до буро-коричневого. Показатели преломления высокие: Ng=1,750—1,780, Np=1,700—1,680. Двупреломление порядка 0,060—0,080. Оптически одноосные, положительные.

В иммерсионных препаратах под микроскопом видно землисто-агрегатное строение с участками, не реагирующими на поляризованный свет.

Рентгенограммы паризита и бастнезита приведены в табл. 114.

Целый ряд спектральных анализов паризит-bastnезитовых выделений показывает: Ce, La>5—10%, Th 1—3%, U—0,3—1%, а также Ca—5%, Fe—3,0%, Mn—1—3% и примеси Zr, K, Na, Ba, Sr, Mo, Be, особенно много Ca, F (>3,0%) (рис. 71). Среднее содержание в брекчированных флюорит-биотит-карбонатных породах (поздние карбонатиты) достигает 3—3,5% TR₂O₃.

Таблица 115

Состав редких земель в паризите (в % от ΣTR₂O₃=100)*

ΣTR ₂ O ₃	La	Ce	Pr	Nd	Sm	Eu	Gd
53,5%	28,0	46,0	5,2	15,0	3,4	0,1	2,3

* По Г. Е. Кочиняну.

Паризит и бастнезит ассоциируют с флюоритом, родохрозитом, бритолитом, ильменорутилом, баритом, псиломеланом, рабдофенитом, монацитом. Рассматриваемые минералы широко развиты в Тежсарском комплексе (Лагерный, Тежагет) и образуют до-

вольно значительные скопления в гидротермальных фтор-карбонатных формациях и измененных пегматитах.

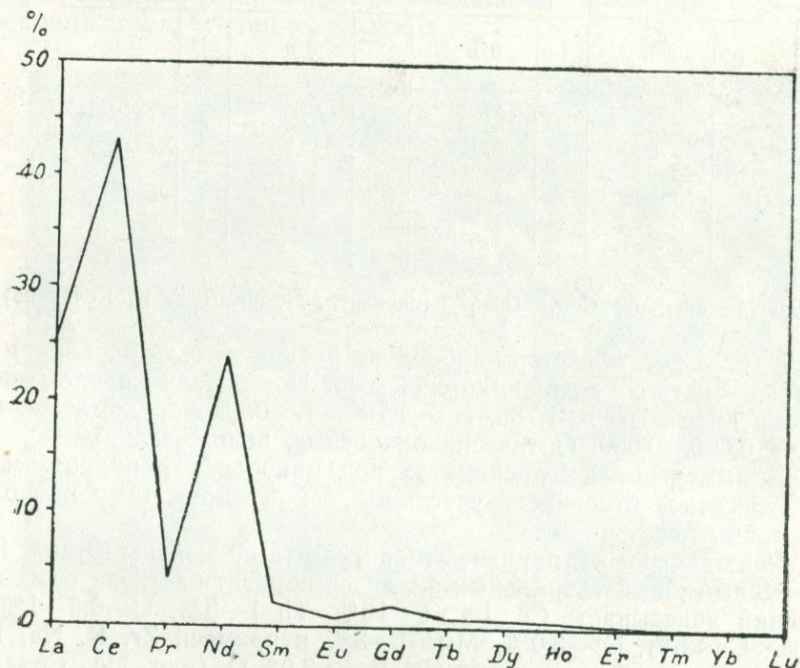


Рис. 71. Распределение РЗЭ в паризите. По Б. М. Меликссетяну.

Бастнезит описан также Р. Л. Мелконяном (1976) в лейко-кристаллических эндоконтактовых фациях тоналитов Кохбского массива. В отличие от гидротермальных фтор-карбонатных формаций (Тежсар) здесь бастнезит встречен в виде самостоятельных желто-желтых призматических кристаллов ($N_g' = 1,816$, $N_p' = 1,715$) и достаточно надежно диагностирован как рентгенометрическим, так и спектральным анализом. В гранитоидах бастнезит вероятнее всего имеет вторичное происхождение за счет ассоциированного опротита.

Лантанит $(La, Ce)_2(CO)_3 \cdot 8H_2O$. Теоретический состав: $Ce_2O_3 - 25,67\%$, $La_2O_3 - 28,54\%$, $CO_2 - 21,89\%$, $H_2O - 23,90\%$.

В виде скрытокристаллических масс встречается в мусковитизированных пегматитах и флюорит-биотитовых зонах Тежсарского щелочного комплекса совместно с фторкарбонатами и силикатами редких земель.

Встречается, как правило, в виде скрытокристаллических охристых агрегатов, очень редко в виде кристаллов пластинчатого габитуса. Цвет белый, серый, красно-бурый. В проходящем свете отмечается, что буровый цвет обусловлен примесью гидроокислов железа.

Двусный, отрицательный; показатели преломления $N_g = 1,620$, $N_p = 1,510$. Легко растворяется в HCl.

Межплоскостные расстояния, приведенные в табл. 116, указывают на близость к эталону (Е. Н. Семенов, 1963).

Таблица 116

Межплоскостные расстояния лантанита

I	d/n	I	d/n
8 ш	9,0	3	2,425
2	4,10	1	1,968
2	4,00	2	1,709
3	3,26	2	1,501
2	3,15	1	1,409
2	2,67		

Лаборатория ИГН АН АрмССР, Хуршудян Э. Х. Условия съемки: Fe—антикатод, $D=57,3$, $d=0,45$ мм. Эксп. 25 ч. Образец не прокален.

Спектральным анализом установлены: Ce \gg (3—5%), La (1—3%), Fe—1—3%, Si—1—3%, также Y (0,05—0,1%), Sr, Ba (0,05%), Li (0,003%), Zr, Mn, Ti, V, Ca.

Лантанит как вторичный минерал образуется за счет первичных редкометальных минералов и постоянно ассоциирует с паризитом, бастнезитом, церитом, реже ортитом и монацитом. Характерен для фтор-карбонатитов щелочного комплекса (Шванидзор, Тексар).

Церуссит— $PbCO_3$. Теоретический состав: PbO—83,5 (Pb—77,5), CO_2 —16,5%.

Церуссит является редким минералом в месторождениях Армянской ССР. Установлен в весьма небольшом количестве на Каджаранском месторождении в единичных пунктах, где ассоциирует с полиметаллическими рудами. Церуссит здесь представлен землистым выделением белого цвета с сероватым оттенком.

Церуссит описан К. Х. Аракеляном на Газминском полиметаллическом месторождении, где представлен в виде корок и натечных образований. Развивается по галениту.

Церуссит установлен Ш. О. Амиряном на Зодском золоторуд-

чом месторождении, где представлен в виде петельчатых выделений, развивающихся по галениту.

Смитсонит— $ZnCO_3$. Теоретический состав: ZnO —64,8 (Zn —52%), CO_2 —35,2.

Смитсонит является редким минералом в месторождениях Армянской ССР. Он установлен в весьма небольшом количестве на Каджаранском месторождении в единичных пунктах. Здесь смитсонит образует землистые массы, характеризуется темно-серым цветом. Развивается главным образом по сфалериту, с которым образует постепенные переходы.

Смитсонит описан К. Х. Аракеляном на Газминском полиметаллическом месторождении, где он образует корки, колломорфные выделения и натеки. В массивных полиметаллических рудах развивается по трещинкам в сфалерите.

На Зодском золоторудном месторождении установлен Ш. О. Амиряном (1974). Здесь смитсонит образует петальчатые выделения, образующиеся также по сфалериту.

Магнезит— $MgCO_3$. Сингония тригональная.

Встречается в виде горошин размерами от 0,5 до 6 см в попечнике (рис. 72), взаимно-пересекающихся прожилков длиной от 0,5 до 10 м и мощностью от 0,5 до 20 см, отдельных натечных масс неправильной формы небольших размеров с измерениями в

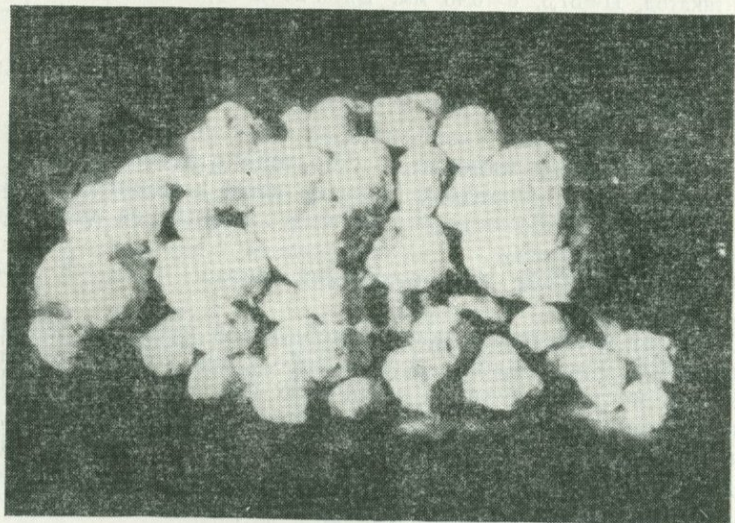


Рис. 72. Горошины магнезита, отобранные вручную. Даринское месторождение. 1/3 натур. величины. По С. Б. Абояну.

3-х направлениях, не превышающими $30 \times 40 \times 60$ см, и скоплений порошкообразного магнезита вдоль плоскостей трещин—спайности ультрамафитовых пород. Все указанные морфологические разновидности магнезита представляют собой продукт выветривания ультрамафитовых пород (Абовян, Арутюнян, 1957).

Рассматриваемые магнезиты представляют жирную на ощупь мелоподобную массу от серовато-белого до нежно-белого цвета. Блеск матовый. Излом ровный, иногда раковистый. Под микроскопом обнаруживается тонко- и скрытокристаллическая структура магнезита. Оптически отрицательный, $N_m = 1,703$, $N_p = 1,509$, $N_m - N_p = 0,194$. Твердость 4. Хрупок. Уд. вес 3,0.

Теоретический состав: $MgO = 47,6\%$, $CO_2 = 52,4\%$. В табл. 117 приведены химические анализы описанных магнезитов. Часть Fe, иногда Ca, могут изоморфно замещать Mg^{2+} ; часть CaO входит в состав магнезита в виде механической примеси соответственно опала, глинистого вещества и доломита, что подтверждается также данными микроскопических исследований (Абовян, 1961). Некоторые разновидности магнезита, как видно из табл. 117 (графа 4), относятся к гидромагнезиту.

Таблица 117

Химический анализ магнезитов

Оксиды	1	2	3	4
SiO_2	3,10	3,08	0,42	—
TiO_2	не обн.	не обн.	не обн.	—
Al_2O_3	0,43	0,82	0,02	—
Fe_2O_3	0,57	1,10	не обн.	0,57
FeO	—	—	не обн.	—
MnO	не обн.	не обн.	не обн.	не обн.
CaO	0,80	0,43	1,87	0,80
MgO	43,20	43,75	46,10	43,44
H_2O	—	—	0,19	17,08
CO_2	52,10	51,03	51,68	37,38
P_2O_5	—	—	0,07	—
Na_2O	не обн.	не обн.	не обн.	—
K_2O	не обн.	не обн.	не обн.	—
Сумма	100,20	100,21	100,35	—

1—магнезит прожилков, 2—гороховидный магнезит, 3—магнезит натечных масс неправильной формы, 4—гидромагнезит из прожилков. Анализы выполнены в химической лаборатории ИГН АН АрмССР аналитиком Дехтриян С. А.

Магнезит на отдельных участках массивов ультрамафитовых пород слагает значительные скопления—месторождения, имеющие

промышленное значение. На таких участках наряду с главнейшим минералом — магнезитом в весьма подчиненном количестве встречаются минералы-спутники магнезита. К их числу относятся тальк, tremolit-асбест, андрадит (демантOID), артинит, ревдинскит (непуит), гарниерит, брусит, ферробрусит, асболан, пироаурит, бруньятеллит, арагонит, кальцит и опал (Абовян, 1957).

Карбонаты (группа кальцита). В группу безводных карбонатов входят многочисленные минералы двухвалентных металлов — Ca, Mg, Fe, Mn, Zn, Ba. В природных условиях наибольшее распространение имеют Ca, Mg-карбонаты, меньше Fe, Mn, редко Zn и Ba, что примерно соответствует убыванию кларков указанных элементов в земной коре. Карбонатобразующие элементы с относительно малым ионным радиусом (Mg, Fe, Mn, Zn) изоструктурны (сингония тригональная) и могут смешиваться в широких пределах, между тем, как их изоморфизм с карбонатами более крупных катионов (Ca, Ba) ограничен (кальцит диморfen; кристаллизуется как в тригональной, так и в ромбической сингонии).

Карбонаты являются вторым после кварца главным жильным минералом гидротермальных рудных месторождений Армянской ССР. Образование карбонатов происходило в течение всего гидротермального этапа, начиная от дорудного изменения боковых пород (в метасоматитах карбонаты встречаются в различных парагенетических соотношениях с кварцем, хлоритом, эпидотом, альбитом и др.) в течение рудных стадий и кончая завершающими их безрудными карбонатными и кварц-карбонатными образованиями.

Гидротермальные карбонаты в целом не образуют крупных концентраций. Для них характерны небольшие прожилки и реже невыдержаные по простираннию жилы, мощность которых редко доходит до нескольких десятков сантиметров.

В медноколчеданных месторождениях (Шамлуг, Алаверди, Кафан) карбонаты имеют ограниченное распространение. Более интенсивно они развиваются в рудных полях медно-молибденовых месторождений (Каджаран, Дастанерт, Джиндара, Айгедзор), где, однако, по интенсивности распространения, карбонаты значительно уступают кварцу. Карбонаты вместе с кварцем являются главными жильными минералами золото-теллуровых руд Зодского месторождения. Роль карбонатов значительно возрастает (по сравнению с медноколчеданными и медно-молибденовыми рудами) в полиметаллических рудах.

В полиметаллических рудах карбонаты встречаются в основных парагенетических ассоциациях: полиметаллической, карбонатной или кварц-карбонатной (почти во всех месторождениях и рудопроявлениях). В указанной возрастной последовательности па-

рагенетических ассоциаций заметно возрастает роль карбонатов. В рудопроявлениях Джргалидзор и Пхрут наблюдается отчетливое уменьшение количества карбонатов и возрастание кварца от верхних к нижним горизонтам рудных тел. Почти во всех выше-перечисленных рудных объектах отмечается тенденция скопления карбонатных жил и прожилков во флангах месторождений.

Цвет карбонатов в основном белый, с сероватым, кремовато-белым, редко розоватым и буроватым оттенком. По исследованию Т. М. Арутюняна основным красителем карбонатов является марганец, присутствие которого придает карбонатам бледно-розовый и розовый тона. Буровато-черная окраска карбонатов по указанному автору может быть обусловлена наличием тонкодисперсного гематита, псиломелана, или же осколков сульфидных минералов.

В рудных ассоциациях, по данным многих исследователей (Г. О. Пиджян, К. А. Карамян, Т. М. Арутюнян), карбонаты, как правило, образуются после сульфидов, интенсивно разъедая их, и кварц. В полиметаллических рудах прожилки карбонатов почти всегда отмечаются в пирите, халькопирите, сфалерите, но очень редко — в галените. Последовательность образования: кварц-сульфид-карбонат указывает на повышение щелочности растворов в конце рудообразующих процессов.

Химическим, спектральным рентгенометрическим и термическим методами в рудных месторождениях Армянской ССР установлен ряд разновидностей карбонатов. Результаты этих исследований сведены в нижеприведенных описаниях минеральных видов. Состав карбонатов, согласно этим исследованиям, меняется как в пределах отдельных объектов, так и в конкретных рудных телах и парагенетических ассоциациях. При этом в полиметаллических рудах, по которым мы располагаем большим количеством материала, вырисовываются некоторые тенденции, которые, возможно, могут иметь несколько более общее значение; в частности, в Айоцдзорском рудном районе наряду с кальцитом значительная роль принадлежит доломиту, анкериту, олигониту, родохрозиту, в полиметаллических же ассоциациях в целом преобладающим является кальцит; от относительно высокотемпературных (Каялу, Гюмушхана) к более низкотемпературным (Газма) рудам падает роль Mg-, Fe-, Mp-карбонатов и возрастает роль кальцита. В безрудных карбонатных и кварц-карбонатных образованиях карбонат представлен в основном кальцитом (Шамлуг, Ахтала, Мовсес, Гюмушхана, Газма и др.). Указанные тенденции распространения тех или иных разновидностей карбонатов подтверждаются и в региональном распределении карбонатов в рудных формациях. С этой целью составлена табл. 118, где приведены вычисленные значения частоты встречаемости отдельных разновидностей карбонатов.

Таблица 118

Частота встречаемости карбонатов в гидротермальных рудах
Армянской ССР

Формация	Месторождение	Кол-во проб	Частота встречаемости, в %					
			кальцит	доломит	анкерит	олигонит	подохризит	сидерит
Медно-колчеданная и колчеданно-полиметаллическая	Шамлуг, Кафан, Ахтала, Мурхузская зона	20	60	30	10			
Свинцово-цинковая Полиметаллическая	Марц Газма, Гюмушхана, Азатек, Чирахлу, Пхрут, Личкваз-Тей	54	20	20	60	2	4	7
Медно-молибденовая	Каджаран, Дастанерт, Айгедзор	26	27	27	38	4	4	

Кальцит— CaCO_3 . В рудных формациях Армянской ССР среди карбонатов является наиболее широко распространенным минералом. Присутствует почти во всех парагенетических ассоциациях, наряду с этим образует самостоятельные безрудные кальцитовые (часто с кварцем, реже с баритом) прожилки и жилы. Как мы уже заметили выше, карбонаты в медноколчеданных месторождениях Алавердского и Кафанского рудных районов представлены в основном кальцитом. Среди карбонатов медно-молибденовых месторождений кальцит количественно уступает анкериту; установлен почти во всех месторождениях (Г. О. Пиджян, К. А. Карапетян, Т. М. Арутюнян и др.), более часто в рудах Айгедзорского месторождения. Кальцит является широко распространенным жильным минералом и встречается в различных парагенетических ассоциациях в Зодском золото-сульфидно-теллуром месторождении. Кальцит по частоте встречаемости является превалирующим карбонатом и для полиметаллических руд различных формаций, в особенности колчеданно-полиметаллической (Ахтала, Шаумян-Халадж) и полиметаллической (Газма, Гюмушхана, Чирахлу и др.). В полиметаллических рудах Газминского месторождения кальцит является наряду с кварцем главным жильным минералом руд.

Во всех случаях для кальцита характерны средне-мелкозернистые, иногда—скрытокристаллические массы. В жеодовых пустотах редко отмечаются скаленоэдрические и ромбоэдрические кристаллы (рис. 73). Колломорфные концентрически-зональные агрегаты также отмечаются в редких случаях. В Ахтальском мес-

торождении установлены друзы секториального кальцита (Т. М. Арутюнян и др.), 1970); кристаллы последнего состоят из комбинаций трех простых форм {1011}, {1012} и {0112}.

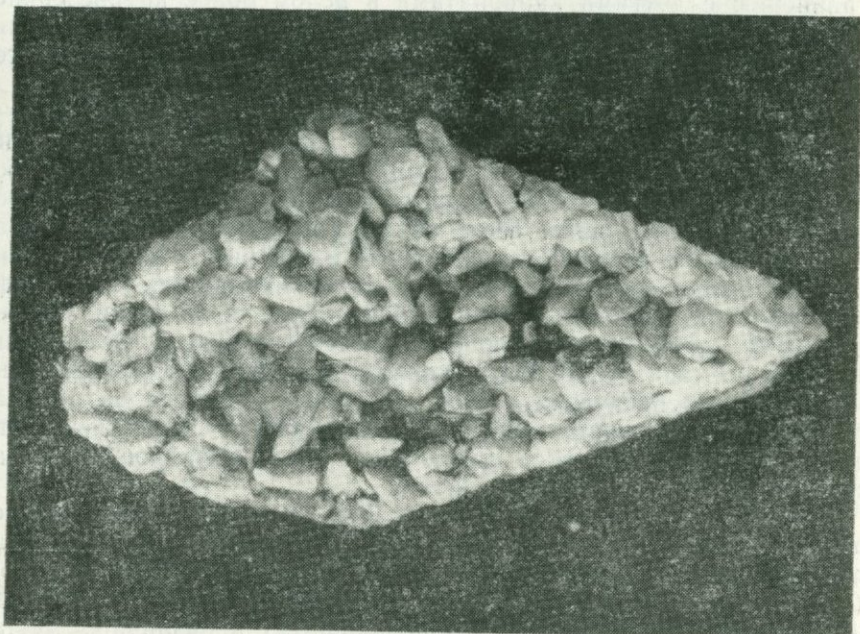


Рис. 73. Друзы скаленоэдрических кристаллов кальцита. Натур. величина.
Месторождение Джиндара. По К. А. Карамяну.

Цвет кальцита серовато-белый, молочно-белый, кремово-белый и реже—розовато-белый. Под микроскопом в отраженном свете цвет кальцита, так же как и других безводных карбонатов из группы кальцита, серый. Отражательная способность немного выше, чем у кварца и возрастает в ряду кальцит-доломит-анкерит-сидерит. Полируется хорошо; относительный рельеф примерно равен таковому сфалерита и возрастает по вышеупомянутой последовательности. Двуотражение у всех карбонатов выражено отчетливо и сильно; эффекты анизотропии часто не обнаруживаются из-за интенсивного проявления внутренних рефлексов; анизотропность чаще всего можно наблюдать у Mg, Fe—карбонатов (доломит, олигонит, анкерит, сидерит). Внутренние рефлексы кальцита белые, желтовато-белые; доломит и анкерит обладают желтовато-белыми, коричневыми и бурьими внутренними рефлексами.

Структура зернистых масс карбонатов обычно мелкозернистая, аллотриоморфнозернистая, реже—гранобластовая. Зональные кристаллы обнаруживаются редко. Внутреннее строение кальцита по сравнению с другими карбонатами в целом более крупнозернистое, с большой склонностью к гипидноморфному строению. У кальцита широко проявлены следы спайности по (0112) и полисинтетические двойники параллельно этим направлениям. Спайность и двойникование доломита и анкерита обнаруживаются редко.

В парагенетических ассоциациях кальцит, а также другие карбонаты образуются после кварца, ксеноморфно заполняя промежутки зерен последнего с коррозионными границами. Микропрожилки карбонатов чаще всего обнаруживаются в пирите и сфalerите, гораздо реже—в халькопирите и галените. Последний минерал по отношению к карбонатам часто оказывается ксеноморфным. О послесульфидном образовании кальцита (и других карбонатов) отмечено многократно (А. Г. Бетехтин, 1956; Г. О. Пиджян, 1975; К. А. Карапян, Т. М. Арутюнян и др.). Анализ фактического материала по последовательности выделения минералов в парагенетических ассоциациях полиметаллических руд показывает, что отложение главной массы карбоната послесульфидное, хотя частью происходит раньше галенита.

Кальциты медно-молибденовых руд диагностированы дифференциальным термическим анализом. Термограммы кальцитов характеризуются во всех случаях одним экзотермическим эффектом (рис. 74), характеристика которого несколько меняется (очевидно, в связи с изменением состава кальцита) в различных месторождениях.

Изоморфное вхождение в структуре кальцита других карбонатобразующих катионов—Mg, Fe, Mn очевидно, ограничено из-за значительного расхождения их ионных радиусов (Ca^{2+} —1,06; Mg^{2+} —0,78; Fe^{2+} —0,83; Mn^{2+} —0,91 Å). Вхождение в структуру кальцита хоть одного из перечисленных малых катионов облегчает изоморфное вхождение других, а также целого ряда редких элементов— Co^{2+} (0,82), V^{2+} (0,72), Zn^{2+} (0,83 Å). Вторая группа редких примесей—Y, Yb, Ba и Sr по физико-химическим показателям больше приближается к Ca^{2+} и, следовательно, должна предпочтительно накапливаться в кальците. Эти теоретические соображения подтверждаются нижеприведенным эмпирическим материалом.

Как видно из таблицы 119, содержание Mg и Mn в кальцинах медноколчеданных, медно-молибденовых и полиметаллических руд не превышает 5—6%, содержание Fe не превышает 2,59% и в среднем составляет 0,5%. Средний химический состав кальцитов медно-молибденовых руд, по данным 7 химических анализов, составляет: CaO —52,28%; MgO —1,16; MnO —1,2; Fe_2O_3 —0,49; FeO —178

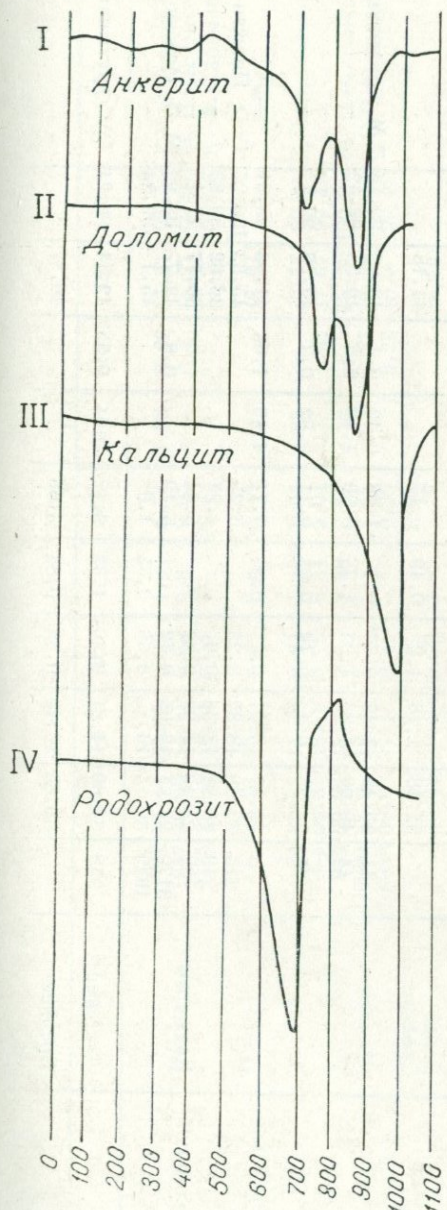


Рис. 74. Термограммы кальцита, анкерита, доломита и родохрозита.

По К. А. Карапяну.

0,47; CO_2 —41,18%. Средний химический состав кальцитов полиметаллических руд следующий: CaO —49,9; MgO —2,18, MnO —2,39; FeO —0,5; CO_2 —42,05%, т. е. во втором случае кальциты примерно в два раза обогащены Mg и Mn по сравнению с первым, при одинаковом более низком содержании железа. Аналогичные соотношения компонентов обнаружаются и при сопоставлении доломитов обоих формационных типов руд.

В кальцитах различных месторождений и формаций многочисленными спектральными анализами, помимо этого установлено большое число элементов-примесей (табл. 120), в том числе Ba до 2,0; Sr до 0,14; Ce , La —до 0,1; V до 0,0096; Y до 0,04; Ni , Co , Yb —до 0,0033%, возможно изоморфных— Cu до 0,0052; Zn до 0,42. В качестве примесей в кальците постоянно присутствуют Pb до 0,07% и Ag —до 0,0042%.

Химическими и спектральными анализами установлены также разновидности кальцита—манганокальцит и магниевый кальцит.

Манганокальцит отмечен в полиметаллических рудах Газминского, Чирахлинского и Татнинского месторождений. Химический состав манганокальцита Газминского месторождения следующий: CaO —

Таблица 119

Химический состав карбонатов медно-молибденовых и медноколчеданных руд Армянской ССР

Минерал	Месторождение	№ пробы	Содержание компонентов в %								Сумма	Автор
			CaO	MgO	MnO	Fe ₂ O ₃	FeO	SiO ₂	Al ₂ O ₃	П.п.п.		
1	2	3	4	5	6	7	8	9	10	11	12	13
Кальцит	Каджаран	38	55,21	0,5	0,04	0,3	0,3	0,5	0,29	42,57	99,71	К. А. Карамян Т.М. Арутюнян
		71	48,24	0,73	0,07	2,36	0,16	8,32	0,46	39,8	100,14	
	Дастакерт	15	49,42	2,65	4,5	0,13	0,6	2,29	0,55	39,82	99,96	—*—
		55	52,15	1,38	1,73	—	0,85	0,6	0,3	42,65	99,66	
	Айгедзор	28	54,11	1,05	0,91	0,19	0,28	1,99	0,32	40,51	99,96	—*—
		29	52,95	0,69	0,4	0,33	0,74	2,72	0,6	41,47	99,9	
		80	53,32	1,16	0,77	0,11	0,35	2,47	0,37	41,42	100,41	
	Среднее		52,28	1,16	1,2	0,49	0,47			41,18		
Доломит	Шамлуг	41	53,49	1,47	0,77	0,1	1,06	0,42	0,4	42,02	99,73	Т.М. Арутюнян
		44	49,08	1,83	1,23	1,7	0,99	4,06	0,2	40,76	98,62	
	Ахтала	65	54,2	0,4	0,16	0,83	0,11	0,82	0,3	42,28	99,7	—*—
		5	29,67	15,77	0,5	0,85	5,71	4,49	1,06	41,86	99,91	
	Каджаран	213	32,29	18,87	0,23		3,25			45,63	100,27	Г. О. Пиджян М. П. Исаенко
		219	29,91	18,36	0,6		4,34			36,62	89,83	
		28	25,46	14,93	0,32		5,64			30,77	77,12	
		3170	28,61	16,95	0,72		5,12		0,8	43,7	95,9	
	Дастакерт	1649	30,13	16,1	3,56	0,35	4,6			45,1	99,84	—*—
	Среднее		34,09	14,21	2,36	1,33	2,12	2,84	0,55	42,44	99,24	Т.М. Арутюнян
			30,05	16,45	0,89	0,84	3,66			40,87		

1	2	3	4	5	6	7	8	9	10	11	12	13
		37 1647 2175	31,41 30,96 25,45	14,75 14,14 16,71	0,23 0,58 0,51	1,01 0,8 —	6,74 9,05 15,44	1,92 — —	0,68 0,2 —	43,21 44,27 41,25	99,95 100,0 99,36	T.М. Арутюнян M. П. Исаенко K. A. Карамян
Анкерит	Каджаран											
	Итого		29,27	15,2	0,44	0,6	10,41			42,91		
		54 54-a 935 1/6030 2/6030	29,96 29,31 29,35 33,0 30,0	14,76 16,78 15,3 18,24 17,1	-0,61 0,76 0,5 1,7 0,4	1,47 6,61 0,38 7,47 9,35	8,53 5,04 8,56 7,47 —	1,25 1,7 0,12 — —	сл. 1,61 45,27 1,77 3,23	42,77 37,67 100,2 38,28 40,0	99,35 99,48 — 100,46 99,08	T.М. Арутюнян — M. П. Исаенко B.O. Пароникян —
	Дастакерт											
	Итого		30,32	16,43	0,79	2,82	7,79			40,79		
	Чичагли	6056	24,0	15,96	0,38		9,24		12,34	38,36	100,28	B.O. Пароникян
	Айгедзор	23	36,25	11,98	3,85	3,71	4,28	5,93	3,09	30,91	100,0	T.М. Арутюнян
	Среднее		30,0	15,57	0,95	2,0	8,37			40,1		
Арагонит	Две сестры	6235 ^a	54,0	1,14	0,02	—	—		1,37	43,15	99,68	B.O. Пароникян

Таблица 120

Содержание элементов-примесей в карбонатах медно-молибденовых руд
Армянской ССР по данным спектральных анализов*

Минерал	Место- рождение	Кол-во проб	Содержание в %											
			Fe	Mn	Ni	Co	Ti	V	Cu	Pb	Zn	Y	Sr	Ba
Кальцит	Каджаран	3	2,17	0,2	—	—	0,005	—	0,002	0,00063	—	—	0,095	0,0032
	Дастакерт	4	0,17	4,12	0,00007	—	0,0003	—	0,0021	0,0005	0,0017	0,00025	0,1	—
	Айгедзор	7	0,94	5,2	—	—	0,0024	—	0,0038	0,0009	0,0008	0,0156	0,06	0,0093
Доломит- анкерит	Каджаран	11	>1,0	0,91	0,0018	0,0012	0,0021	0,0072	0,0081	0,0009	0,0012	0,0004	0,0218	0,0094
	Дастакерт	8	>1,0	1,2	0,0034	0,0027	0,0074	0,0012	0,0095	0,0004	0,0059	0,0008	0,025	0,0062
	Айгедзор	2	>1,0	6,5	—	—	0,002	—	0,0001	0,0015	0,02	0,0015	0,005	—

* Вычислены по данным Т. М. Арутюняна.

54,52; MgO—0,83; MnO—13,6; CO₂—31,24 %. Спектральными анализами в мanganокальцитах вышеупомянутых месторождений установлены: Mg—2,7—4,5; Fe—3—7; Ni, Co, Ag, Yb—0,0002—0,0004; Ti, V—0,0015—0,003; Cu—0,001; Pb—0,01—0,026; Zn—0,04—0,26; Ba—0,026—0,08; Sr—до 0,047 и La—0,006—0,014 %.

Магнезиальный кальцит установлен в рудах Ахтальского и Азатекского (В. О. Пароникян) месторождений. Его средний химический состав по двум анализам следующий: CaO—43,54; MgO—9,62; MnO—1,37; FeO—1,15; CO₂—42,17 %.

Параметры элементарной ячейки кальцита определены на 7 образцах из медно-молибденовых и других месторождений (табл. 121). Значения параметров варьируют в некотором интервале (связанном с изменением состава): a_0 —4,881—4,94; c_0 —16,92—17,16 Å. Результаты рентгенометрических исследований кальцитов и мanganокальцита медно-молибденовых (Т. М. Арутюнян) и полиметаллических (В. О. Пароникян) руд Армянской ССР приведены в табл. 121.

Доломит—CaMg(CO₃)₂ является после кальцита вторым по распространенности карбонатом в рудных формациях Армянской ССР. В медноколчеданных (Шамлуг) и колчеданно-полиметаллических рудах Алавердского и Кафанского рудных районов доломит отмечается редко. Он является главным жильным минералом Мовсесского свинцово-цинкового месторождения и широко развит также в полиметаллических рудах колчеданного типа Мурхузской рудоносной зоны (Шамшадинский район). Доломит установлен почти во всех медно-молибденовых месторождениях. В группе месторождений этой формации южного Зангезура доломит преобладает или встречается почти в равных с кальцитом количествах (см. табл. 117). Доломит широко распространенный жильный карбонат в рудах полиметаллических формаций, установлен почти во всех месторождениях и рудопроявлениях (Азатек, Каялу, Гюмушхана, Чирахлу, Пхрут и др.) в количестве, уступающем только кальциту, но чаще чем анкерит или другие безводные карбонаты (см. табл. 118). Доломит установлен также в рудах Зодского золоторудного месторождения.

В рудах доломит встречается как в парагенезисе с сульфидными минералами (Джргализдзор, Мовсес, Гюмушхана, Азатек, Пхрут), так и более часто связан с послерудными карбонатными и кварц-карбонатными образованиями.

Для доломита в большинстве случаев характерны мелко-, среднезернистые агрегаты, редко отмечаются колломорфные массы с концентрически-зональным строением (рис. 75). В пустотах редко образует кристаллы ромбоэдрического облика.

Цвет доломита серый с кремовым, желтоватым и реже буро-ватым оттенками. Под микроскопом в отраженном свете цвет се-

Таблица 121

Межплоскостные расстояния кальцитов рудных месторождений Армянской ССР*

Каджаран		Дастакерт		Айгедзор		Ахтала		Мовсес		Газма	
38		10a		24		620-а		4700-а		2/1131**/	
I	dx/n	I	dx/n	I	dx/n	I	dx/n	I	dx/n	I	dx/n
3	4,14										
3	3,79										
		3	3,43	3	3,44	3	3,84	2	3,82	2	3,82
5	3,30	5	3,26	5	3,27			5	3,33		
10	3,00	10	2,98	10	2,98	10	3,01	10	3,02	10	3,01
						2	2,831	1	(2,74)	2	2,51
5	2,47	4	2,46	5	2,45	3	2,492	4	2,48	3	2,468
		5	2,25	6	2,26	6	2,276	5	2,27	4	2,27
6	2,07	5	2,05	6	2,05	6	2,085	4	2,089	4	2,076
								2	2,06		
				2	1,97			2	1,92		
8	1,89	8	1,88	8	1,88	8	1,906	6	1,908	6	1,899
8	1,86	8	1,84	8	1,86	7	1,868	5	1,87	5	1,859
				3	1,81						
3	1,76							1	(1,764)		
2	1,66			3	1,65	1	1,669	1	(1,668)	1	1,653
2	1,61	2	1,61			2	1,621	2	1,621		
5	1,59	3	1,58	4	1,59	4	1,601	3	1,600		
2	1,57							2	1,582		
6	1,51	4	1,51	4	1,52	5	1,514	3ш	1,513		
4	1,46	4	1,46	4	1,50					3	1,503
					4	1,48					
5	1,43	3	1,42			4	1,439	2	1,437		
5	1,41	3	1,40	4	1,39	3	1,417	2	1,419	3	1,408
3	1,35	3	1,36	4	1,36	1	1,351				
4	1,33	3	1,34	2	1,34	2	1,335				
		4	1,32	2	1,32						
5	1,29	3	1,28	4	1,28	3	1,393	2	1,294		
		4	1,26	3	1,25	3	1,231	2—3	1,232		
5	1,22	4	1,22	3	1,22					2	1,226
				3	1,19						
5	1,176	4	1,17	3	1,17	3	1,176				
7	1,15	7	1,14	8	1,14	3	1,15				
5	1,137	3	1,13	3	1,13						
4	1,058	3	1,05	5	1,07	4	1,04				
8	1,042	10	1,04	8	1,05						
5	1,031	3	1,02								
6	1,009	6	1,00	5	1,00						

* Анализы образцов 38, 10-а, 24 выполнены в лаборатории НИГМИ. Условия съемки: УРС-60, Fea, D=57,3, d=0,5 мм, эксп. 22—32 ч.; анализы образцов 620-а и 4700-а выполнены в лаборатории ИГН АН АрмССР, аналитик Н. В. Ревазова; условия съемки образца 620-а и 2/1131—дифрактометр ДРОН-2; Coa, скорость сканирования—1°/мин; условия съемки обр. 4700-а; УРС-55, Cuа, D=57,3, d=0,4 мм.

** Мanganокальцит.

рый; отражательная способность близка к анкериту и немного выше, чем у кальцита. Относительный рельеф также немного выше, чем у последнего. Двутрение отчетливо; эффекты анизотропии затушевываются интенсивными внутренними рефлексами (желтовато-белыми, коричневыми и бурыми), но наблюдаются чаще кальцита. Внутреннее строение зернистых агрегатов обычно мелкозернистое, аллотриоморфнозернистое, реже гипидиоморфнозернистое. Следы спайности и двойниковые пластинки, в отличие от кальцита, отмечаются редко.

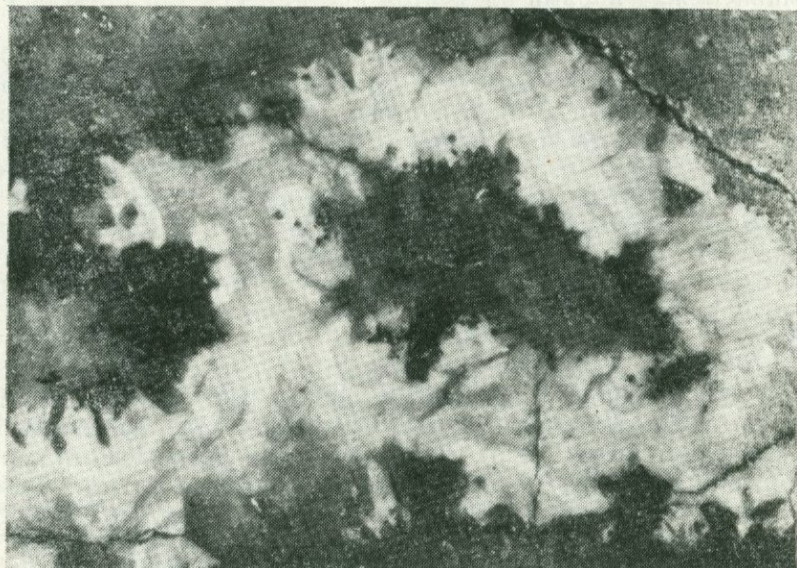


Рис. 75. Колломорфные образования доломита. Увел. 2. Месторождение Дас-такерт. По К. А. Карапяну.

Средний химический состав доломитов медно-молибденовых месторождений по 7 химическим анализам следующий: CaO —30,05%; MgO —16,45%; MnO —0,89%; Fe_2O_3 —0,84%; FeO —3,66%; CO_2 —40,87%. Средний химический состав этого минерала из полиметаллических руд (по 5 анализам): CaO —30,23%; MgO —21,17%; MnO —2,65%; FeO —3,15%; CO_2 —40,83%. В этих же рудах устанавливается и промежуточный между доломитом и анкеритом минерал с химическим составом: CaO —27,7%; MgO —20,7%; MnO —1,1%; FeO —7,7%; CO_2 —38,3%. Доломиты полиметаллических руд от медно-молибденовых отличаются повышенной магнезиальностью и марганцевостью. В ря-

ду кальцит-доломит содержание Mg возрастает в 9—14 раз с одновременным возрастанием содержаний железа в 4—6 раз; содержание марганца мало изменяется.

Спектральными анализами в доломитах медно-молибденовых и полиметаллических руд установлен также Ba, Zn до 1,2; Ti—0,01—0,063; Cu—0,002—0,035; Pb—0,0019—0,2; Y—0,002—0,018; Sr—до 0,047; La до 0,024; Ni, Co, Ag до 0,002; V—до 0,014 и Yb—до 0,00074%. Как следует из вышеприведенных данных, в ряду кальцит-доломит, как и следовало ожидать, возрастают содержания Ni, Co, Zn, V, но падают Y, Yb, Ba и Sr. Коэффициент корреляции между парами элементов Fe—Mg, Fe—Co, Fe—Cu, Fe—Zn, Fe—V в общей выборке карбонатов полиметаллических руд высокий и составляет положительное число в границах 0,5—0,65. Между содержаниями железа и группой изоморфных элементов—Ba, Sr, La, Y получено либо нулевое, либо же отрицательное значение коэффициента корреляции (Fe—Y=—0,24; Fe—Ba=+0,07; Fe—La=—0,31), т. е. указанные компоненты проявляют предпочтение накапливаться не в Mg, Fe—карбонатах, а в кальците. Установлены также высокие положительные значения между содержаниями Fe—Cu (0,51) и Fe—Zn (0,65), что указывает на возможность изоморфного нахождения меди и цинка в Mg и Fe карбонатах, правда в ограниченных количествах (Cu до 0,1%, Zn до 0,5%).

От вышеприведенных характеристик гидротермальных доломитов значительно отличаются рудообразующие доломиты Мовсесского свинцово-цинкового месторождения, залегающего в осадочных карбонатных породах. В отличие от нормально-гидротермальных доломитов рудообразующие доломиты этого месторождения бедны марганцем (0,5%) и в особенности железом (до 0,3%). Рудообразующие доломиты в этом случае возможно являются переотложенными из вмещающих пород (доломитизированных известняков).

Температура полной термической диссоциации у доломита (также у анкерита) находится на более низком уровне, чем у кальцита (по 6 измерениям охватывает интервал 975—1066°C). Термограмма доломита (рис. 74), в отличие от кальцита характеризуется двумя эндотермическими максимумами. Первый соответствует стадии диссоциации $\text{CaMg}(\text{CO}_3)_2 \rightarrow \text{CaCO}_3 + \text{MgCO}_3$ на интервале 794—850, а второй—диссоциации $\text{CaCO}_3 \rightarrow \text{CaO} + \text{CO}_2$ на интервале 940—1020°C (данные Т. М. Арутюняна).

Параметры элементарной ячейки доломита и анкерита, а также межплоскостные их расстояния мало отличаются друг от друга.

Анкерит— $\text{Ca}(\text{Mg}, \text{Fe})(\text{CO}_3)_2$. В кристаллохимическом отношении анкерит весьма сходен с доломитом. Состав природных об-

разцов анкеритов изменчив из-за неограниченного изоморфизма между Ca и Mg, Fe, Mn; от доломита анкерит надежнее всего отличить химическим составом, принимая в основу положение, что в анкерите не менее 20% магния замещено железом и марганцем.

Химическим, спектральным, термическим, а также рентгено-метрическим исследованиями анкерит установлен в медно-молибденовых месторождениях Каджаран, Дастанерт, Айгедзор, Анкаван, Джиндары (И. Г. Магакьян, Г. О. Пиджян, К. А. Карапян, Т. М. Арутюнян), в Зодском золоторудном месторождении (Ш. О. Амирян, 1974) и в полиметаллических рудах Марцского, Джрагализдорского, Хозюртского, Гюмушханского рудопроявлений.

Анкерит является редко встречающимся минералом в медно-колчеданных месторождениях Армянской ССР. В колчеданно-полиметаллической формации этот минерал отмечен лишь в рудах Мурхузской зоны (Шамшадинский рудный район). В медно-молибденовых месторождениях по частоте встречаемости анкерит значительно превосходит другие главные карбонаты—кальцит и доломит. Анкерит является также главным карбонатом в свинцово-цинковой Марцигетской группе месторождений. Роль анкерита значительно падает в рудах полиметаллических формаций Памбак-Зангезурской зоны, где в общей совокупности карбонатов доля его составляет лишь 11%.

Цвет, физические и оптические характеристики анкерита сходны с таковыми доломита (см. доломит). Средний химический состав анкеритов из медно-молибденовых месторождений (по 8 анализам) следующий: CaO—30,0; MgO—15,17; MnO—0,95; Fe₂O₃—2,0; FeO—8,37; CO₂—40,1%. Спектральными анализами в анкеритах из полиметаллических руд установлены примеси: Ba—до 1,1; Zn—до 0,5; Ti, V, Cu, Pb, Sr, La—до 0,05; Ni, Co, Ag, Cd, Y, Yb—до 0,0035%.

Термограмма анкерита (см. рис. 74) довольно сходна с таковой доломита, отличается появлением третьего небольшого максимума эндотермического эффекта, соответствующего диссоциации Fe—составляющего. По результатам исследования 18 образцов анкеритов из медно-молибденовых месторождений Каджаран, Дастанерт, Айгедзор, границы вариаций максимумов следующие (данные Т. М. Арутюняна): I (диссоциация Mn-составляющего)—754—848°; II (диссоциация Fe-составляющего)—824—867°; III (диссоциация Ca-составляющего)—927—1006°C.

В зависимости от соотношения Ca:(Fe+Mg) размеры элементарной ячейки анкерита меняются в пределах $a_0=4,74-5,001$; $c_0=15,84-16,09 \text{ \AA}$. Межплоскостные расстояния анкеритов медно-молибденовых (по Т. М. Арутюняну) и полиметаллических (по В. О. Пароникяну) руд приведены в табл. 122.

Таблица 122

Межплоскостные расстояния анкеритов рудных месторождений
Армянской ССР*

Каджаран		Дасгакерт		Ангедзор		Марц		Джргализор		Гюмушхана	
8		10		19		5350-с		5674-а		1084-о	
1	d _{z/n}	1	d _{z/n}	1	d _{z/n}	1	d _{z/n}	1	d _{z/n}	1	d _{z/n}
1	2	3	4	5	6	7	8	9	10	11	12
3	3,64			4	4,16						
5	3,28			4	3,68	2	(3,69)	2	3,68	3	3,69
4	3,14	5	3,11	5	3,34	2	3,33	4	(3,35)	2	3,47
10	2,86	10	2,84	10	2,86	10	2,89	10	2,88	10	2,867
4	2,65	4	2,65	3	2,68	2	2,67	3	2,66	2	2,68
4	2,40	7	2,39	5	2,40	3	2,41	2	2,53	2	2,548
5	2,36			3	2,50			3	(2,40)	4	2,401
6	2,17	7	2,15	6	2,18	4	2,19	2	2,27		
			3	2,10				5	2,19	5	2,191
5	2,00	3	2,04	5	2,01	4	2,02	3	2,04	2	2,06
4	1,97	5	1,98	4	1,96	2ш	(1,988)			3	2,019
			3	1,94						1	1,932
			5	1,89				2	1,903		
								2	1,867		
8	1,80	3	1,82	9	1,80	4ш	1,80	2	1,847	2	1,848
8	1,77	8	1,78	9	1,78	10	1,737	5	1,803	6	1,810
4	1,67	8	1,76	3	1,69			6	1,784	7	1,797
				3	1,65					3	1,768
			7	1,61	3	1,61				2	1,645
4	1,57	4	1,59	3	1,56	1	1,57	1	1,565	1	1,600
4	1,53	4	1,55	4	1,54	2	1,55	2	1,542	3	1,579
				4	1,52					2	1,546
4	1,47	3	1,49	5	1,46			2	1,464		1,508
3	1,45	4	1,45	5	1,43	2	1,44	1	1,43	2	1,442
3	1,43	4	1,42	3	1,42						
				3	1,41						
4	1,38	2	1,40	5	1,38			2	1,387		
4	1,36	5	1,37	3	1,37						
3	1,33	5	1,32	5	1,33			2	1,344	3	1,332
3	1,30	3	1,28	2	1,30					3	1,309

* Анализы образцов 8, 10 и 19 выполнены в лаборатории НИГМИ. Условия съемки: УРС-60, Fea, D—57,3; d—0,5 мм. Анализы образцов 5350, 5674 выполнены в лаборатории ИГН Н. В. Ревазовой. Условия съемки: УРС-55, обр. 5350 и 5674—Fea Cuа, D—57,3, d—0,4 мин; обр. 1074—дифрактометр ДРОН-2,0; Соа, скорость сканирования—1°/мин.

1	2	3	4	5	6	7	8	9	10	11	12
4	1,11	4	1,26	4	1,27					1	1,296
		4	1,23	5	1,23					1	1,283
		3	1,20	4	1,20						
		4	1,17	3	1,18						
		4	1,15	3	1,16						
		5	1,10	6	1,10	8	1,11				
			6	1,04							

Олигонит—(Fe, Mn)CO₃—редко встречающийся карбонат. Установлен (В. О. Пароникян, 1964) в Гюмушханском и Газминском полиметаллических месторождениях. В первом случае олигонит встречается в пирит-халькопиритовой ассоциации (с сульфидами висмута), а также образует самостоятельные маломощные и невыдержаные прожилки, секущие руды пирит-халькопиритовых и полиметаллических ассоциаций. В Газминском месторождении олигонит отмечен в ассоциации с галенитом, сфалеритом и блеклой рудой. Цвет кремово-белый, коричневато-бурый. Физико-оптические свойства под микроскопом в отраженном свете сходны с тальковыми доломита и анкерита. По трещинкам спайности иногда петельчато развиваются вторичные окислы железа и марганца. Олигонит из Гюмушханского месторождения имеет следующий химический состав (в %): CaO—2,13; MgO—6,75, MnO—31,13, FeO—22,47, CO₂—35,4. Спектральными анализами в олигонитах вышеуказанных месторождений установлены примеси: Cu, Pb—0,02—0,1; Zn, Sr, La—0,1—0,3; Ni, Co, Ti, V, Y—до 0,0065%. Межплоскостные расстояния олигонита из Гюмушханского месторождения (по В. О. Пароникяну) приведены в табл. 123.

Сидерит—FeCO₃. Установлен в Айгедзорском медно-молибденовом месторождении (К. А. Карамян); здесь он встречен в виде прожилков, пересекающих кварц-молибденитовое оруденение. По Г. О. Пиджяну (1961) сидерит в медно-молибденовых месторождениях имеет более широкое распространение. Мелкозернистые агрегаты сидерита отмечены в ассоциации с теллуридами Au, Ag, Pb в Зодском месторождении (Ш. О. Амирян, 1974).

Спектральный анализ одного образца сидерита из Айгедзорского месторождения показывает присутствие в нем следующих элементов-примесей: Mn—0,9, Mo—0,1, Ti—0,047, Zn, Sr, P—0,021—0,022, V—0,012, Cu, Y—0,0068—0,0072, Cr, Zr, Pb, La, Sc, Nb—0,00012—0,0018, Ni, Co, Ba—0,0024—0,0027, Ag, Ge, Ga, Yb—0,0002—0,0007%. Межплоскостные расстояния сидерита (по К. А. Карамяну) приведены в табл. 123.

Родохрозит—MnCO₃. Является редко встречающимся карбонатом в рудных месторождениях Армянской ССР. Установлен в

рудах Дастанкертского месторождения (К. А. Карамян, 1957) в ассоциации с алабандином. Здесь он образует колломорфные почковидные массы, иногда с радиально-лучистым сложением; аналогичные образования родохрозита отмечаются и в рудах Зодского месторождения (Ш. О. Амирян, 1974), где он встречен в ассоциации с мanganокальцитом, теллуритами, сульфидами и арсенитами. Родохрозит довольно часто отмечается и в полиметаллических рудах Чирахлинского месторождения (В. О. Пароникян), в ассоциации с анкеритом, кальцитом, доломитом и мanganокальцитом в качестве жильного минерала полиметаллической минерализации. В этом случае родохрозит образует мелкозернистые массы. Цвет кремово-розовый. В родохрозитах этого месторождения установлены примеси (%): Mg, Fe—5,6—5,8; Zn, Ba—0,08—0,097; Cu, Pb—0,01—0,03; La—0,0055; V, Cd—0,001—0,0024; Ni, Co, Ag, Y—0,00018—0,00043 %. По Т. М. Арутюняну, термограмма родохрозита из Дастанкертского месторождения характеризуется одним эндотермическим максимумом при 691°C и экзотермическим эффектом при 792°C. Величина параметров элементарной ячейки родохрозита этого месторождения составляет a_0 —4,75; c —15,6 Å₀; межплоскостные расстояния (по Т. М. Арутюняну) приведены в табл. 123.

Бисмутит—Bi[CO₃][OH]₄. Тетрагональная сингония, синонимы: бисмутосферит, гидробисмутит. Встречается в виде корочек и порошковатых, землистых масс. Цвет минерала от серовато-белого до желто-бурого. Образуется в зоне окисления и карбонатизации за счет гипогенных минералов висмута.

В рудах Армянской ССР установлен в зоне окисления Зодского золоторудного месторождения в виде порошковатых масс и налетов (Г. О. Пиджян, 1953; Ш. О. Амирян, 1974). Минерал слабо изучен. В рудах Армянской ССР практического значения не имеет.

Базобисмутит—Bi₄[CO₃][OH]₂O₄? Является слабо изученным минералом. Встречается в скрытокристаллических, плотных и землистых массах и имеет серый цвет. В Армянской ССР установлен в шлихах Каялинского рудного поля (И. Г. Магакьян, 1946), в бассейнах рр. Мармариц, Арпа, Воротан и др. (А. Г. Мидян, Г. О. Пиджян и др.). В зоне окисления золоторудных месторождений (Зод, Меградзор и др.) отмечается в виде порошковатых и землистых масс, развитых по висмут-теллуровым минералам (Ш. О. Амирян). Базобисмутит в рудах Армянской ССР практического значения не имеет.

Артинит—Mg₂[CO₃][OH]₂·3H₂O. Сингония моноклинная. Встречен в нижних горизонтах Даринского месторождения магнетита (СВ побережье озера Севан), где наблюдается переход от рыхлых магнезитизированных пород, через сильно трещиноватые,

Таблица 123

Межплоскостные расстояния карбонатов рудных месторождений Армянской ССР.

Гюмушхана		Дастакерт		Айгедзор		Две сестры	
Олигонит		Родохрозит		Сидериг		Арагонит	
I	d _{z/n}	I	d _{z/n}	I	d _{z/n}	I	d _{z/n}
10	2,783	2	4,08	3	4,25	2	4,20
				3	3,72		
			5	3,66	3	3,64	
					4	3,36	6
					3	3,10	3,38
		10	2,82	10	2,80	1	2,86
			1	2,60		4	2,70
					2	2,47	6
					3	2,36	5
					2	2,30	2,481
2	2,346	5	2,38	1	2,26	1	2,364
						4	
						2	
						10	
						2	2,188
		10	1,15	4	2,14	10	2,102
			5	1,98	3	1,973	2
					2	1,922	5
							1,974
						4	1,879
2	2,128	3	1,82	3	1,827	3	1,815
				2	1,807		
		10	1,76	9	1,741	4	1,739
						3	1,725
2	2,128	3	1,55	1	1,709		
				2	1,673		
		4	1,52	4	1,547	2	1,555
				3	1,512		
2	2,128	4	1,44	1	1,461	1	1,499
				2	1,433	5	1,467
		2	1,40	4	1,387		
2	2,128	4	1,37	3	1,362		
		3	1,30	1	1,329		
2	2,128	4	1,28	2	1,287		
		4	1,22	3	1,231	3	1,239
						1	1,224
						2	1,206
						5	1,171
2	2,128	3	1,149	1	1,156		
				1	1,144		
				1	1,126		
		4	1,104	10	1,083		
				3	1,067		
				3	1,049		
				3	1,045		
				4	1,034		
2	2,128	3	1,087	3	1,015		
		3	1,010	1	1,010		

* Анализы выполнены в лаборатории ИГН АН АрмССР, Н. В. Ревазовой.
Условия съемки; УРС-55, Сua, D—57,3, d—0,4.

в плотные породы. Артинит здесь выполняет тонкие трещинки мощностью до 0,5 см. Кроме того он встречен на глубоких горизонтах Шоржинского месторождения хромита в виде тонких прожилков в трещинах плотных серпентинизированных дунитов (Абоян, 1957).

Артинит образует тонконогольчатые, нежные волосовидные пушистые агрегаты с радиально-лучистым строением. Цвет—белый, снежно-белый. Блеск стеклянный. Твердость 2. Уд. вес 2. $\text{Ng} = 1,558$, $\text{Nr} = 1,489$, $\text{Ng} - \text{Nr} = 0,069$. Оптически отрицательный.

Химический состав артинита

Таблица 124

Окислы	Содерж. в вес. %
SiO_2	1,66
Fe_2O_3	0,25
MnO	0,02
CaO	1,54
MgO	41,35
CO_2	15,25
$\text{H}_2\text{O} \pm$	30,47
Сумма	90,54

Химический анализ артинита приведен в табл. 124. Анализ выполнен в химлаборатории ИГН АН АрмССР аналитиком А. А. Петросян. Наличие SiO_2 , Fe_2O_3 и CaO , возможно, указывает на наличие примесей, попавших в пробу в процессе ее отбора. Судя

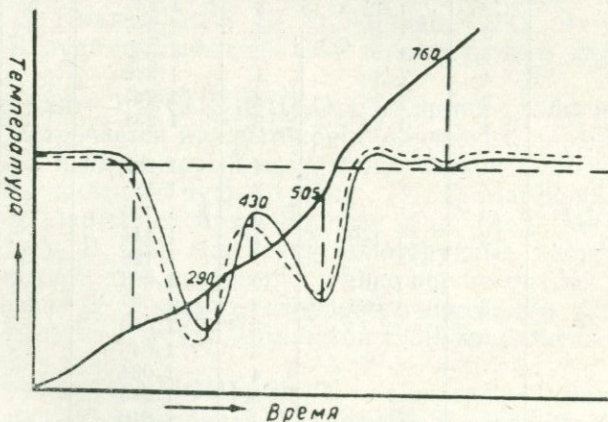


Рис. 76. Кривая нагревания магнезита. Даринское месторождение. По С. Б. Абояну.

по химическому анализу, состав артинита соответствует его гео-
ретической формуле.

Для кривой нагревания артинита (рис. 76), полученной в тер-
мической лаборатории ИГЕМ АН СССР, характерны две эндотер-
мические остановки при 290° и 505°C, и намечается третья неболь-
шая остановка при 750°C (Абоян, 1961). По своим термоэффектам
исследованный артинит близок к артиниту из Урала (пунк-
тирная линия) (Гинзбург, Рукавишникова, 1951).

Артинит—довольно редкий минерал, отмечен в асBESTовых
рудниках в Баженовском районе (Урал), в трещинах серпентини-
зированных дунитов Нижне-Тагильского платиноносного массива,
а также в асBESTовых рудниках Ломбардии (Италия) и в др. мес-
тах. Относится к низкотемпературным гидротермальным минера-
лам, образующимся в трещинах пород в связи с процессом сер-
пентинизации.

Бруньятеллит— $Mg_6Fe[OH]_{15}\cdot CO_3\cdot 4H_2O$. Сингония гексаго-
нальная.

Встречен в виде тонких прожилков в трещинах дунитов, при-
уроченных к месторождениям магнезита северо-восточного побе-
режья озера Севан. По внешнему виду и физическим свойствам
бруньятеллит похож на ферробрусит, но отличается только более
светлой окраской чешуйчатых агрегатов и в соляной кислоте, в
отличие от ферробрусита, выделяет пузырьки CO_2 . Спайность
местами совершенная. Оптически отрицательный минерал.

$N_o=1.542-1.533$, $N_e=1.514-1.510$, $N_o-N_e=0.028-0.030$.

Химический анализ бруньятеллита из Шоржинского массива
(графа 1), выполненный в химлаборатории Управления геологии
АрмССР, и бруньятеллита из Урала (графа 2, Гинзбург, Рукавиш-
никова, 1961) приведен в табл. 125. Как видно из таблицы, оба
минерала сходны по составу. Данные анализа укладываются в
следующую формулу: $MgCO_3\cdot 3,5Mg(OH)_2\cdot 0,8Fe(OH)_3\cdot 3H_2O$.

Бруньятеллит ассоциирует с бруситом, серпентином, ферро-

Таблица 125

Состав бруньятеллитов

Оксиды	Содержание в %	
	1	2
MgO	43,33	43,13
Fe ₂ O ₃	14,25	13,78
Al ₂ O ₃	0,19	—
TiO ₂	сл.	—
CO ₂	10,64	10,41
H ₂ O	31,46	32,90
Сумма	99,87	100,22

бруситом, пироауритом и др. и образовался в результате карбонатизации брусита.

Бруньятлит был впервые описан в Торре Санта Мария, в долине Маленко, Ломбардия (Италия), затем на Урале. В Армянской ССР он встречен на Шоржинском и Джильском месторождениях магнезита.

Пироаурит — $Mg_6 Fe_2 [OH]_{16} CO_3 \cdot 4H_2O$ — Сингония тригональная.

Пироаурит обнаружен среди мелких трещин дунитов и перидотитов, реже — среди разрыхленных участков месторождений магнезита северо-восточного побережья озера Севан.

Таблица 126

Состав приоауритов

Окислы	1	2
MgO	34,75	34,50
CaO	сл.	—
Fe ₂ O ₃	22,38	23,49
CO ₂	7,15	7,87
H ₂ O	33,45	33,92
Сумма	97,73	99,78

Анализ (графа 1) выполнен в химлаборатории Управления геологии АрмССР.

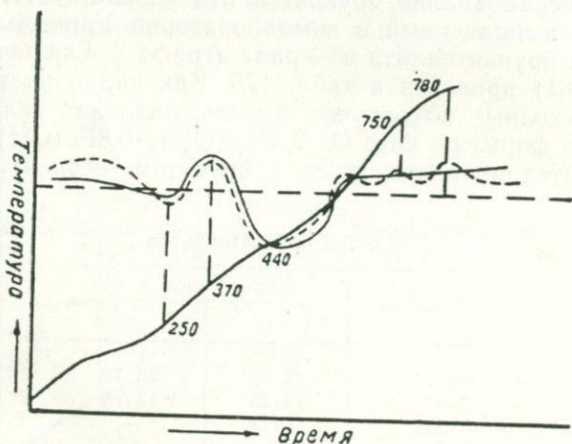
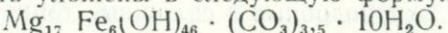


Рис. 77. Кривая нагревания пироаурита. Шоржинское месторождение магнезита. По С. Б. Абояну.

Образует тонкие прожилки, выполненные тонкочешуйчатым слюдоподобным агрегатом с размерами отдельных чешуек до 3 мм. Цвет золотисто-бурый; блеск—перламутровый. Спайность весьма совершенная. Твердость 2, уд. вес 2,1. В соляной кислоте легко растворяется. Оптически отрицательный, $N_o = 1,567 - 1,570$; $N_e = 1,538 - 1,540$; $N_o - N_e = 0.027 - 0.030$.

В табл. 126 приведен химический состав пироаурита из Шоржинского массива (графа 1) и для сравнения состав пироаурита из Урала (графа 2) (Гинзбург, Рукавишникова, 1951). Как видно из таблицы, по составу оба пироаурита очень сходны. Данные анализа могут быть уложены в следующую формулу:



На рис. 77 приведена кривая нагревания пироаурита, которая аналогична кривой нагревания уральского пироаурита (показана пунктиром) (Гинзбург, Рукавишникова, 1951). Для кривой характерны две резко выраженные эндотермические остановки при 230° и 470°C и слабая остановка при 700°C.

Пироаурит встречается в ассоциации с серпентином, бруситом, артинитом и, по-видимому, образуется в результате карбонатизации железистых разновидностей брусита—ферробрусита в зоне выветривания, за счет CO_2 , растворенного в поверхностных водах.

Пироаурит довольно редкий минерал, встречен в асBESTовых рудниках в Баженовском районе на Урале, а также в доломитизированных известняках контактово-метасоматических месторождений в Лонгбан, Нордмарк (Швеция) и др. местах. В Армянской ССР он встречен среди серпентинизированных дунитов Шоржинского месторождения хромита и среди магнезитизированных дунитов Даринского месторождения.

РАЗДЕЛ XI.

СУЛЬФАТЫ

Брошантит— $\text{Cu}_4(\text{OH})_6[\text{SO}_4]$. Теоретический состав: $\text{CuO}—69,04—70,36\%$; $\text{SO}_3—17,07—18,32\%$; $\text{H}_2\text{O}—11,03—13,81\%$. Ромбическая сингония. Образует короткопризматические выделения, прожилковые, почковидные агрегаты, корочки колломорфного строения. Твердость 3,5—4, уд. вес 3,91. Блеск на плоскостях спайности перламутровый. Цвет изумрудно-зеленый до темно-зеленого.

Брошантит установлен (Ш. О. Амирян, 1974) на Меградзорском и Зодском месторождениях золото-сульфидно-теллуровых руд, в ассоциации с малахитом, азуритом, смитсонитом, церуситом, плюмбоязозитом и пиromорфитом, развивающихся по пирит-халькопиритовым и полиметаллическим рудам. Представлен кор-

ками и землистыми массами. Отмечен также на Каджаранском (Е. А. Акопян), Агаракском (М. П. Исаенко), Дастанкертском (К. А. Карамян) месторождениях.

В отраженном свете имеет темно-бурый цвет и низкую интенсивность отражения. Характеризуется яркими внутренними рефлексами зеленого оттенка. Двутрахающий и заметно анизотропный. В составе минерала спектральными и микроспектральными анализами установлены Cu (основа), Fe, Zn, Pb, As, Sb. Имеет гипергенное происхождение. Развивается только в зоне окисления сульфидных руд.

Ярозит— $\text{KFe}_3[\text{SO}_4]_2[\text{OH}]_6$. Сингония тригональная, образует рыхлые землистые охроподобные и сплошные тонкозернистые массы, а также порошковатые налеты, плотные скролуповатые корочки. Нередко встречаются мелкие ромбодрические кристаллы в пустотах трещин измененных туфов и порфиритов, богатых пиритом.

Цвет охряно-желтый, буровато-желтый и коричнево-желтый. Чешуя желтая, блеск стеклянный, матовый. Излом корочек раковистый. Уд. вес 3,2, твердость 2,8–3,1. Оптически отрицательный, показатели преломления— $N_m = 1,819$; $N_p = 1,714$; двупреломление ($N_m - N_p$) довольно высокое—0,0105.

Плеохроирует от светло-золотисто-желтого (по N_p) до соловленно-желтого (по N_g). Минерал растворяется в HCl.

Ярозит относится к одному из распространенных гипергенных минералов зоны окисления ряда железорудных (Базумского, Анкаванского, Цакери-дошского и др.), медно-молибденовых (Каджаранского, Агаракского, Дастанкертского, Анкаванского) и других типов рудных месторождений, в которых он образуется при выщелачивании сульфидов железа, главным образом пирита. Ярозит ассоциирует с лимонитом, гетитом и гидрогематитом.

В отмеченных месторождениях ярозит представлен в виде налетов, тонких корочек и плотных скрытокристаллических масс в приповерхностных частях оруденелых зон, главным образом, в отвалах старых горных выработок.

В медно-молибденовых месторождениях несколько повышенное количество ярозита наблюдается в Центральном и СВ участках Каджаранского месторождения, в пиритизированных измененных порфиритах Ял-Юртского участка Дастанкертского и главном участке Анкаванского месторождений.

Химическим анализом* в составе нечистого ярозита Каджаранского месторождения, загрязненного гидроокислами железа, определены следующие компоненты (табл. 127).

* Анализ заимствован у Е. А. Акопян (1960). Анализ выполнен в химической лаборатории ИГЕМ АН СССР, аналитик Т. М. Митюшина (Москва).

Несмотря на некоторые расхождения содержаний, приведенных главных компонентов от таковых типичного ярозита (теоретического состава), данные химического анализа исследуемого минерала Каджаранского месторождения подтверждают его принадлежность ярозиту.

На Агаракском медно-молибденовом месторождении Е. А. Акопян (1960) установлен богатый натрием, так называемый, натриярозит.

Таблица 127
Химический анализ ярозитов Каджарана и Шоптыкуля

Каджаран		Шоптыкуль	
Компоненты	Данные анализа, в %	Компоненты	Данные анализа, в %
Fe ₂ O ₃	53,41	Fe ₂ O ₃	54,55
SO ₃	26,60	SO ₃	26,78
H ₂ O	14,04	H ₂ O	11,39
Шелочи	не опр.	Na ₂ O	4,70
Сумма	94,05	Сумма	97,42

Халькантит—CuSO₄·5H₂O. Синоним: медный купорос. Теоретический химический состав: CuO—31,8%, SO₃—32,1%, H₂O—26,1%. В виде примесей присутствуют Fe, иногда Zn, Co, Mg (магнохалькантит).

Сингония триклинистая. Блеск стеклянный. Цвет синевато-голубой, иногда с зеленоватым оттенком. Твердость 2,5. Весьма хрупкий. Показатели преломления агаракского халькантита, по данным Е. А. Акопян (1960), следующие: Ng=1,544, Nm=1,538, и Np=1,520, 2V=54°. В воде растворяется, раствор окрашивается в синий цвет.

Обычно халькантит в виде сталактитов с радиально-волокнистым строением или в сплошных массах встречается на стенках старых заброшенных выработок, проведенных в зонах окисления медносульфидных месторождений (Каджаран, Анкаван, Агарак, Дастакерт, Кафац, Алаверди, Шамлуг и др.). На указанных месторождениях изредка наблюдаются также короткопризматические или таблитчатые кристаллы описываемого минерала.

В составе агаракского халькантита, по данным химического анализа (аналитик М. М. Стукалова), установлены (в %): CuO—26,28, SO₃—29,93, H₂O—33,32, R₂O₃—0,20, CaO—0,8, нер. ост. 6,55.

Копиапит—(Fe²⁺, Mg)Fe₄³⁺ [(OH)(SO₄)₂]₂ · 20H₂O. В копиапите вместо Fe²⁺ часто присутствуют другие катионы: Mg, Al, Mn, Cu, Zn и др.

Сингония триклинистая. Цвет серо-желтый, красноватый, фи-

летовый, а блеск стеклянный с жемчужным отливом. Показатели преломления: $Ng = 1,575 - 1,600$; $Nm = 1,528 - 1,550$; $Np = 1,506 - 1,540$, $Ng - Np = 0,057 - 0,070$. Колебания показателей преломления несомненно связаны с вариациями состава. Оптически положительный. $2V = 45 - 74^\circ$. Плеохроизм: по Np — желтовато-зеленый, по Nm — светло-желтый и Ng — серо-желтый. Твердость 2,5. В воде растворяется.

Копиапит в виде рыхлых агрегатов, микросферолитов и тонких налетов вместе с другими сульфатами железа часто встречается в зоне окисления Дастанкерского медно-молибденового месторождения. Наличие копиапита, по всей вероятности, обусловлено повышенной пиритизацией Ял-юртского участка месторождения. Повышенная растворимость копиапита в воде является причиной отсутствия его существенных концентраций в зоне окисления Дастанкерского месторождения.

Мелантерит — $FeSO_4 \cdot 7H_2O(?)$. Теоретический химический состав: $FeO = 25,9\%$, $SO_3 = 28,8\%$, $H_2O = 45,3\%$. Примеси: Mg, Ni, Zn, Cu, иногда Mn.

Сингония моноклинная. Цвет светло-зеленый, изредка темно-серый или серовато-черный. Блеск стеклянный. Оптические константы: $Ng = 1,486$, $Nm = 1,478$, $Np = 1,471$, $Ng - Np = 0,015$. Оптически положительный. $2V = 88^\circ$. Твердость 2,0.

Образуется из пересыщенных сульфатных вод в условиях недостатка кислорода. Незначительные количества мелантерита отмечаются И. В. Баркановым в устьевых частях разведочных штолен Агаракского месторождения.

Алюнит — $KAl_3[SO_4]_2[OH]_6$. Синонимы: алюнит или квасцовий камень. Коллоидная разновидность называется левигитом. Теоретический химический состав: $K_2O = 11,4\%$, $Al_2O_3 = 37,0\%$, $SO_3 = 38,6\%$, $H_2O = 13,0\%$.

Богатые окисью натрия разности (когда K_2O наполовину замещен Na_2O) носят название натроалунита. Иногда в коллоидных разновидностях обнаруживаются редкие земли.

Сингония тригональная. Цвет белый с сероватым или желтоватым оттенком. Обычно блеск стеклянный, а иногда перламутровый. Оптически положительный. Показатели преломления: $Ng = 1,592$, $Nm = 1,572$ (у натроалунита — 1,585), $Ng - Nm = 0,020$. Твердость 3,5—4. Смоченный раствором азотно-кислого кобальта приобретает синий цвет (реакция на алюминий). В H_2SO_4 растворяется с трудом. В HCl и H_2O нерастворим.

Сероватые или желтоватые тонкозернистые, землистые, иногда волокнистые массы алюнита встречаются почти во всех гидротермально измененных зонах месторождений (Каджаран, Агарак, Дастанкер, Кафан и др.).

Образуется за счет щелочных полевых шпатов (алунитизация). Встречается также в некоторых рудоносных жилах и прожилках указанных месторождений.

Ильземанит— $\text{MoO}_3 \cdot \text{SO}_3 \cdot 5\text{H}_2\text{O}$. Ильземанит является очень редким минералом зоны окисления медно-молибденовых месторождений. Впервые установлен В. Г. Грушевым на Дастанкерском месторождении в виде черных порошковатых налетов. На Чичаглинском месторождении установлен И. Г. Магакьяном. Ильземанит здесь образует налеты чернильного цвета на породах зоны окисления; в результате растворения его вода ручья окрашивается в темно-синий цвет. На Каджаранском месторождении установлен К. А. Карапяном в отвалах штолен в верхних частях месторождения. Образует налеты чернильного цвета на обломках кварц-молибденитовых жил.

Ангидрит— CaSO_4 . Химический состав: $\text{CaO} = 41,2$; $\text{SO}_3 = 58,8\%$. Сингония ромбическая. Цвет минерала белый, обычно бесцветный, однако на Техутском месторождении отмечается и густо-сиреневый. Блеск стеклянный с перламутровым оттенком. Обычно образует толстотаблитчатые кристаллы. Проявляется в виде зернистых масс, а также шестоватых пластинчатых агрегатов.

Под микроскопом характеризуется высокой интерференционной окраской, $\text{Ng} = 1,614$, $\text{Nm} = 1,576$, $\text{Nr} = 1,571$, $\text{Ng} - \text{Nr} = 0,043$. Оптически положительный, $2V = 42^\circ$. Характеризуется отчетливой псевдоабсорбцией.

Ангидрит установлен в рудах ряда месторождений колчеданной и медно-молибденовой формаций.

Из колчеданных месторождений ангидрит широко развит на Кафанском, Шамлугском, Алавердском, Ахтальском и Анкадзорском месторождениях. Из месторождений медно-молибденовой формации ангидрит установлен на Каджаранском, Джиндаринском, Шикахохском и Техутском месторождениях.

Наибольшее развитие ангидрита установлено на Кафанском месторождении, где ангидритовая залежь прослежена на 200 м вдоль Каварт-Джурского и Восточно-Саядашского разломов. По данным В. Г. Грушевого (1930), ангидрит имеет широкое распространение на Алавердском месторождении, где он приурочен к висячему боку Алавердского разлома. О широком развитии гипса и ангидрита на Шамлугском месторождении указывал Н. Я. Монахов, который относил их к гипогенным образованиям, учитывая их глубокое залегание (175 м от поверхности). Ангидрит развит на Анкадзорском месторождении, где образует пологозалегающее линзовидное тело.

На Каджаранском месторождении ангидрит образует жилы и гнезда протяжением 5—7 м при мощности 25—30 см. Участки разбития ангидрита и гипса тяготеют к полосе Дебаклинского разло-

ма. На Джиндаринском месторождении ангидрит образует гнездообразные тела мощностью до 30—40 см при длине 3—5 м. В указанных ангидритовых образованиях Каджарана и Джиндары ангидрит обычно тесно ассоциирует с баритом. При этом ангидрит сбразовался после барита. Тончайшие прожилки ангидрита пересекают веретенообразные кристаллы барита.

Довольно широко развит ангидрит на Техутском медно-молибденовом месторождении, где он образует мощные жилы, прожилки, гнезда крупнокристаллического облика. Размеры отдельных кристаллов ангидрита здесь, по данным А. Т. Асланяна и др. (1980), достигают 5 см.

Среди исследователей нет единого мнения о месте и времени образования ангидрита в гидротермальном процессе указанных месторождений. На Кафанском месторождении Ван-Цзу-Бан и В. Н. Котляр (1957) описали проявления ангидрита с сульфидами—они считают, что сульфиды и ангидрит образовались единовременно. Аналогичной точки зрения придерживается и А. Г. Казарян (1958), который считал, что здесь проявился ангидрит-сульфидный парагенезис. Совершенно отличной точки зрения придерживаются Ю. А. Лейе и Е. А. Афанасьева (1971), которые полагают, что ангидритовая минерализация является пострудной. По данным этих исследователей, кварц-сульфидная минерализация пересекается и разъедается ангидритом. Такое же расхождение во взглядах относительно времени образования ангидрита и сульфидов сложилось на Каджаранском и Джиндаринском месторождениях.

А. Г. Казарян (1958) описывает пересечение ангидрита прожилками сульфидов. Однако позднее К. А. Карамян и А. С. Фарамазян (1959) в результате более детальных исследований установили, что сульфиды на указанных месторождениях являются более ранними образованиями по отношению к ангидриту. На этих месторождениях ангидритовая минерализация накладывается на сульфиды. Как видно из рис. 78, сульфиды здесь раздроблены и скементированы ангидритом. Более того, на Каджаранском месторождении позднее образование ангидрита отчетливо устанавливается даже по отношению к самой поздней безрудной карбонатной стадии минерализации.

Таким образом, для Каджаранского и Джиндаринского месторождений четко устанавливается более позднее образование ангидрита как по отношению к сульфидной, так и по отношению безрудной карбонатной минерализации.

Несколько иные возрастные взаимоотношения устанавливаются между сульфидами и ангидритом на Техутском медно-молибденовом месторождении. Здесь, по данным А. Т. Асланяна и др. (1980), проявлены две самостоятельные ангидритсодержащие ми-

неральные ассоциации. Первая ассоциация представлена крупно-кристаллическим ангидритом густосиреневого цвета, вторая, очевидно, более поздняя, образует мелкозернистый агрегат прозрачного ангидрита в кварц-ангидрит-пирит-халькопирит-мolibденитовой стадии минерализации. Обе эти разновозрастные ассоциации ангидрита являются более ранними по отношению к сульфидам—сульфиды довольно четко пересекают и разъедают выделения ангидрита.



Рис. 78. Взаимоотношения между сульфидами (черное) и ангидритом. Сульфиды раздроблены и скементированы ангидритом. Прозрачн. шлиф, увел. 90, николи +. Месторождение Джиндары. По К. А. Карамяну.

Таким образом, разюмируя описание ангидрита, можно отметить, что ангидритовая минерализация на различных месторождениях проявляется по-разному. Она проявляется как между рудоносными стадиями минерализации (Техут), так и в конце гидротермального процесса (Каджаран, Агарак, Джиндары, Кафан, Алаверди и др.).

Химическим анализом техутского ангидрита установлены следующие компоненты: $\text{CaO}=40,36$, $\text{SO}_3=57,43$ и нераств. остаток—1,22 %. Спектральными анализами установлены следующие элементы-примеси: $\text{Mn}=0,0024\%$, $\text{Ti}=0,005\%$, $\text{Mg}=0,024—0,056\%$, $\text{Mo}=0,0032\%$, $\text{Cu}=0,032\%$, $\text{Y}=0,056—0,075\%$, $\text{Yb}=0,0018—0,0032\%$, $\text{La}=0,0013—0,010\%$, $\text{Sr}=0,75—4,2\%$.

Межплоскостные расстояния ангидрита из Техутского месторождения приведены в табл. 128. Расчет параметров элементарной ячейки показал следующие значения: $a_0=6,240 \text{ \AA}$, $b_0=6,984 \text{ \AA}$ и $c_0=7,008 \text{ \AA}$.

Таблица 128

Межплоскостные расстояния ангидрита из Техутского месторождения

I	d α /n	I	d α /n	I	d α /n
10	3,504	4	2,183	5	1,649
2	3,122	4	2,087	2	1,594
5	2,850	3	2,029	4	1,564
2	2,799	3	1,995	3	1,547
4	2,475	2	1,937	3	1,491
6	2,342	4	1,870	3	1,433
7	2,329	2	1,852	3	1,425
6	2,209	10	1,746	4	1,397

Анализ выполнен в рентгеновской лаборатории ИГН АН АрмССР Э. Х. Хуршудян. Условия съемки: ДРОН-2, Соа, скорость сканирования 2°/мин.

Гипс— $\text{CaSO}_4 \cdot 2\text{H}_2\text{O}$. Химический состав: CaO—32,5, SO₃—46,6, H₂O—20,9%. Сингония моноклинная, обычно образует таблитчатые агрегаты, иногда прожилки с поперечно-волокнистым строением, напоминающим асбест. Имеет характерный шелковистый блеск, совершенную спайность. Цвет гипса белый, встречается также кремовый и розовый. Под микроскопом характеризуется низкой интерференционной окраской: Ng=1,530; Nm=1,528; Np=1,520; Ng-Np=0,010. Твердость гипса низкая—1,5, легко чертится ногтем.

Гипс является характерным минералом некоторых месторождений Армянской ССР. Он установлен на колчеданных, полиметаллических и медно-молибденовых месторождениях.

Из колчеданных месторождений гипс развит на Кафанском, Алавердском, Шамлугском и Анкадзорском месторождениях. Из полиметаллических месторождений он развит на Арманисском и Личкваз-Тейском золото-полиметаллических месторождениях; установлен гипс также на Каджаранском и Джиндаринском медно-молибденовых месторождениях. Широко отмечается гипс и на Техутском медно-молибденовом месторождении.

На Кафанском, Шамлугском, Алавердском и Анкадзорском месторождениях гипс образовался вследствие гидратации ангидрита. На Арманисском золото-полиметаллическом месторождении, по данным Р. С. Мовсесяна, гипс является продуктом последней пострудной стадии минерализации и локализуется вдоль Арманинского разлома. Аналогичная картина наблюдается на Каджаранском, Джиндаринском и Техутском медно-молибденовых месторождениях.

рождениях. Здесь гипс является продуктом наиболее поздней гипсовой стадии минерализации. На Каджаранском и Джиндаринском месторождениях нередко образует поперечно-волокнистое строение.

Химические анализы гипса из различных месторождений представлены в табл. 129. Спектральным анализом в гипсе Каджаранского месторождения установлены следующие элементы-примеси: Mn—0,00042%, Ti—0,042%, Mo—0,0013%, Cu—0,00013%, La—0,0042%, Sr—0,0024%.

Таблица 129

Результаты химических анализов гипса из различных месторождений Армянской ССР

Компоненты	CaO	SO ₃	H ₂ O	n/o	Сумма	Автор	Месторождение
Содерж. %	31,94	45,64	20,61	2,42	100,61	А.С. Фарамазян	Каджаран
	33,70	44,50	21,03	—	99,23	К. А. Карамян	Джиндары
	32,00	46,70	20,84	1,21	100,75	Р. С. Мовсесян	Арманис
	31,26	44,34	20,12	3,48	99,20	А.С. Фарамазян	Техут

Образцы гипса из Джиндаринского и Техутского месторождений изучены также рентгенометрическим анализом (табл. 130) которые оказались идентичными с эталоном.

Таблица 130

Межплоскостные расстояния гипса из Техутского месторождения*

I	d α /n	I	d α /n	I	d α /n	I	d α /n
10	7,7	1	2,790	2	2,405	4	1,812
8	4,29	3	2,683	4	2,219	3	1,781
5	3,81	2	2,598	4	2,085	2	1,665
7	3,140	1	2,537	4	2,077	4	1,622
9	3,067	2	2,497	5	1,900	1	1,585
4	2,873	2	2,453	3	1,882	1	1,534

* Анализ выполнен в рентгеновской лаборатории ИГН АН АрмССР Э. Х. Хуршудян. Условия съемки: ДРОН-2, Со α , скорость сканирования 1°/мин.

Барит—BaSO₄. Примородный сульфат бария, обладает большим удельным весом, является главным и наиболее распространенным бариевым минералом.

Химический состав барита согласно теоретической формуле: BaO—65,7%, SO₃—34,3%. Минерал в виде изоморфной примеси

часто содержит Sr и Ca, изредка Pb. Кроме того, отмечаются примеси Fe_2O_3 , глинистого и органического вещества.

Кристаллизуется в ромбической сингонии. Кристаллы барита обычно имеют таблитчатую форму; реже встречаются призматические, столбчатые (рис. 79) и изометрические кристаллы. Характерны полисинтетические двойники по (201), (011). Агрегаты барита обычно зернистые, иногда плотные, землистые, скрытокристаллические. Встречаются также в виде шаровидных и эллипсоидальных конкреций с радиальнолучистым строением.

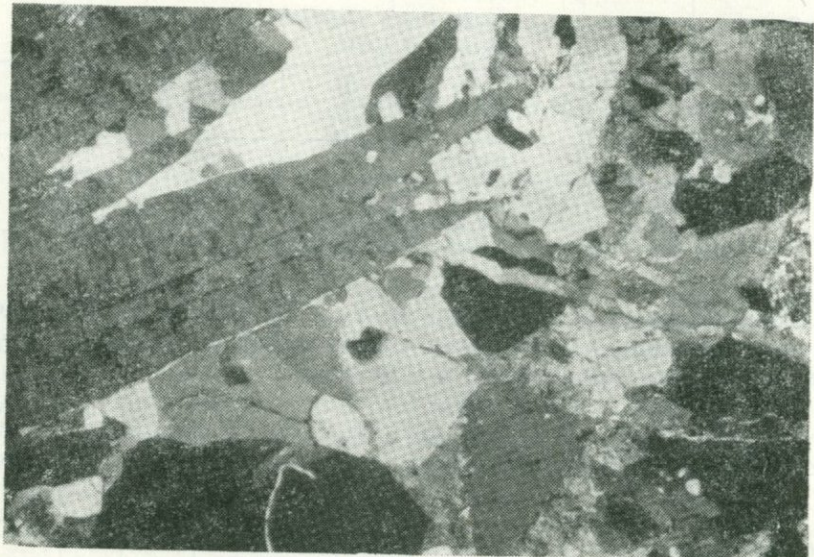


Рис. 79. Кристаллы барита в ассоциации с низкотемпературным кварцем.
Прозр. шлиф, увел. 90, николи +. Месторождение Джиндара. По К. А. Ка-
рамяну.

Цвет барита большей частью обусловлен наличием в нем посторонних примесей и бывает белым или серым, красным, желтым или бурым, темно-серым и черным; встречаются также бесцветные прозрачные кристаллы барита, используемые в качестве оптического сырья. Блеск стеклянный, на плоскостях спайности {010} перламутровый. Показатели преломления: $\text{Ng} = 1,648$, $\text{Nm} = 1,637$ и $\text{Nr} = 1,636$.

Твердость барита 3—3,5. Хрупок. Спайность по {010} совершенная, по {201} средняя и по {001} несовершенная. Удельный вес колеблется в пределах от 3,0 до 4,4.

Баритовые месторождения и проявления в пределах Армянской ССР известны в Туманянском, Ноемберянском, Шамшадинском, Красносельском, Гугаркском, Разданском районах.

Барит образует как самостоятельные жильные месторождения (Акоринское, Алавердское, Ахпатское, Каинджское, Учкилисинское, Кохбское, Котигюхское, Арчикохерское, Ттуджурское и др.), так и встречается в виде минерала-спутника (слагает рудные тела) или жильного минерала в колчеданной (Ахтала, Шамлуг, Алаверди, Кафан), медно-молибденовой (Каджаран, Джиндара и др.), полиметаллической (Погаанк, Газма, Азатек, Ариндж, Баршран), золоторудной (Зод и др.), марганцевой (Кармрашен, Кабахлу и др.) формациях.

Наиболее значительные скопления барита связаны с рудами колчеданной (колчеданно-полиметаллической) формации. Так, например, на Ахтальском месторождении барит тесно ассоциирует с полиметаллами и образует самостоятельные залежи.

В рудах медно-молибденовой формации, по данным Г. О. Пиджяна, «барит встречается очень редко и установлен только на Джиндаринском месторождении в ассоциации с карбонатами». Как отмечает К. А. Карапян, на Каджаранском медно-молибденовом месторождении барит является одним из нерудных минералов и формируется в ангидрит-гипсовую стадию минерализации. В тесном срастании с ангидритом барит образует кристаллы сложной формы или прожилки, секущие карбонатные образования.

По Ш. О. Амиряну, в рудах золоторудной формации барит играет весьма подчиненную роль; в незначительных количествах фиксируется, в частности, в кварц-карбонатных жилах Зодского месторождения.

Подавляющая часть баритовых месторождений и проявлений приурочена к вулканогенным и вулканогенно-осадочным образованиям юрского возраста. Все известные скопления барита по условиям образования относятся к гидротермальному типу.

Наиболее крупные—Учкилисинское и Ахтальское месторождения барита находятся в Алавердском рудном районе. Следует отметить, что Учкилисинское жильное месторождение полностью отработано, а на Ахтальском месторождении в настоящее время барит разрабатывается попутно с добывчей полиметаллической руды. В небольшом количестве в качестве нерудного минерала барит присутствует на Шамлугском и Алавердском медноколчеданных месторождениях.

Вопросы условий образования барита в различных рудных формациях, источника его серы, времени отложения и положения в рудном процессе все еще остаются спорными. Однако, по мнению большинства исследователей, сульфаты, в том числе и сульфат бария, в гидротермальных месторождениях образуются в за-

ключительные стадии процесса рудоотложения, в результате окисления сульфидных ионов и повышения концентрации сульфат-иона в растворе.

На Акоринской группе месторождений баритовая минерализация слагает жилы, которые имеют преимущественно северо-западное и близмеридиональное простиранье; мощность их колеблется в пределах от 0,2 до 0,4 м. Жилы по составу почти мономинеральные и сложены обычно крупнокристаллическим баритом молочно-белого цвета с подчиненной ролью кварца, количество которого с глубиной на некоторых участках возрастает. Кроме барита, кварца и карбоната в жильной массе изредка встречается вкрапленность рудных минералов, в основном сульфидов: халькопирита, халькозина, пирита, галенита, сфалерита, блеклой руды, а из вторичных минералов присутствуют малахит и азурит. Среднее содержание сернокислого бария в жильной массе Акоринской группы месторождений составляет около 80 %. По данным Г. А. Синаняна, результаты химических анализов проб, отобранных по жилам отдельных участков Акоринской группы баритовых месторождений, приведены в табл. 131

Таблица 131

Наименование участков и номера жил	Содержание в %				Удельный вес
	BaSO ₄	SiO ₂	Fe ₂ O ₃	CaO	
Акоринский участок					
Жила № 1	81,7	2,0	1,6	1,1	4,0
Жила № 2	79,4	1,9	0,9	1,0	4,3
Кондский участок					
Жила № 3	83,6	4,5	0,9	1,9	3,9
Жила № 4	72,8	6,5	0,4	0,6	4,0
Голерский участок					
Жила № 1	77,1	2,4	1,8	сл.	4,1
Жила № 2	67,4	0,7	0,4	0,1	4,1
Бердзенидзорский участок					
Жила № 1	90,6	1,0	0,3	0,4	4,2
Жила № 2	83,8	4,8	0,7	1,1	3,8
Далакидзорский участок					
Жила № 3	66,7	25,8	1,5	1,8	3,4
Джейраноглинский участок					
Жила № 1	71,7	23,1	1,4	1,4	3,8
Урутский участок					
Жила № 1	86,1	7,2	1,1	1,8	
Жила № 2	92,5	2,4	0,5	2,0	
Жила № 4	95,5	1,7	1,3	1,5	4,0
Жила № 5	85,6	7,4	1,8	1,7	4,0
Татидзорский участок					
Жила № 1	87,0	12,0	0,8	0,2	3,9
	74,7	21,0	1,8	1,4	4,0

Как видно из таблицы, содержание сернокислого бария на отдельных участках и жилах Акоринской группы месторождений колеблется в пределах от 67 до 95,5 %, а содержание кремнезема—в более широких пределах—от 0,7 до 25,8 %.

На Учкилисинском месторождении барит вместе с кварцем слагает жилы мощностью от 0,5 до 1,5 м. В жильной массе барит образует линзы, прожилки и гнезда или скопления с брекчевидной текстурой. Учкилисинский молочно-белый барит отличается высоким качеством, представлен хорошим ограненным таблитчатыми кристаллами, обладающими совершенной спайностью и не-высокой твердостью. Основным спутником барита является кварц, который в заметных количествах фиксируется в жильной массе; в качестве примесей присутствуют кальцит, реже вкрапленность халькопирита.

Результаты химических анализов учкилисинского барита, по данным Л. Поклета и М. Ладан, приведены в табл. 132.

Таблица 132

№ жил	Содержание в %				Удельный вес
	BaSO ₄	CaO	Fe ₂ O ₃ +Al ₂ O ₃	SiO ₂	
1	63,7—95,0	0,01—8,9	0,2—5,5	1,8—20,7	3,8—4,3
2	61,6—88,2	0,2—5,9	1,9—5,1	3,2—12,7	3,3—4,4
4	81,8—90,0	0,2—0,5	1,5—6,8	4,2—9,2	3,8—4,0
5	69,3—81,8	0,07—0,1	4,0—5,0	7,8—11,6	3,8—3,9

Баритовое оруденение на Ахтальском месторождении представлено барит-полиметаллическими телами, залегающими в виде плоских пологопадающих линз и гнезд, мощностью 1—3 м (в раздувах до 12 м), в контакте вмещающих кварцевых дацитовых порфиров с покровной толщей андезитовых порфиритов, непосредственно над полиметаллическими рудами. По имеющимся данным, на месторождении известны два собственно баритовых и девять барито-полиметаллических рудных тела.

В вертикальном разрезе (сверху вниз) непосредственно под покровными андезитовыми порфиритами расположена баритовая залежь, которая книзу резко переходит в массивную полиметаллическую руду, а последняя, в свою очередь, с глубиной постепенно сменяется прожилково-вкрапленным оруденением того же—полиметаллического состава.

По окраске на месторождении различают белые, серые, розовые, красные, лилово-красные, темно-буро-красные разности барита. Темные разности барита широко развиты в висячем боку

рудных тел в контакте с глинкой трения, развитой под покровными андезитовыми порфиритами. Окраска его обусловлена присутствием в нем дисперсной вкрапленности окислов и гидроокислов железа. Наличие пигментирующего вещества в красном барите отчетливо устанавливается под микроскопом. По мере удаления от контакта красный барит постепенно через розово-серые разности переходит в серый барит. В зависимости от содержания Fe на Ахтальском месторождении выделяются железистые, маложелезистые, и почти безжелезистые разности.

Судя по взаимоотношениям с сульфидными минералами, барит выделяется позже них, в одну из завершающих рудный процесс — баритовую стадию минерализации.

Полиметаллические руды пересечены прожилками темноокрашенного барита, а последние в свою очередь, прожилками белого барита и карбоната. Сульфиды разъедены и замещены темным баритом, который содержит в себе разъеденные обломки пирита, сфалерита, галенита, и халькопирита. Особенно тесны взаимоотношения агрегатов пирита с баритом. Эти взаимоотношения, а также наличие секущих прожилков белого барита в массе красного барита дали основание некоторым исследователям выделить ранние и поздние бариты и считать их продуктами различных этапов рудоотложения. По этим представлениям ранний барит по времени образования занимает промежуточное положение между серноколчеданной и полиметаллической стадиями минерализации, в то время как прожилки позднего белого барита пересекают как ранний барит, так и полиметаллические руды. На этом основании делается вывод о двух этапах гидротермальной деятельности на месторождении и, следовательно, о появлении барита в конечных стадиях обоих этапов. Однако все эти объяснения недостаточно обоснованы и остаются спорными. До сих пор никем и нигде не установлены признаки перерыва между двумя «этапами» рудообразования и не объяснены причины, приведшие к резкому изменению окислительно-восстановительного потенциала рудоносных растворов и появлению сульфата (барита) между двумя сульфидными стадиями минерализации.

По данным спектрального анализа, в окрашенных и совершенно белых баритах фиксируются почти одинаковые содержания элементов-примесей: Sr 1—3%, Ti, V, Cu, Pb, Zn 0,01—0,03%, Ag 0,001—0,003%. Содержание Fe возрастает от светлых к темноокрашенным разностям.

По данным К. М. Мурадяна, на Мец-блурском проявлении в Шамшадинском рудном районе баритовое оруденение представлено жильными, линзообразными, гнездообразными и брекчевидными рудными телами.

Цвет барита молочно-белый, реже розовый и кремовый. Пока-

затели преломления: Ng —1,642, Nr —1,638. Барит массивный, сложен из крупнопластинчатых, таблитчатых, реже мелкозернистых агрегатов. Температура гомогенизации газово-жидких включений в барите равна 180—220°.

Барит мономинеральный, изредка содержит вкрапленность сульфидов: халькопирита, сфалерита, таленита, пирита и др.

Целестинобарит— $(\text{Ba}, \text{Sr})\text{SO}_4$. Целестинобарит описан К. А. Карамяном и А. А. Авакяном (1978) для грейзеновых образований с. Аревис.

Сингония ромбическая, проявляется в виде пластинчатых кристаллов. Целестинобарит бесцветен, блеск стеклянный. Оптические константы: $\text{Ng}=1,630$ —1,631; $\text{Nr}=1,621$ —1,622, $\text{Ng}-\text{Nr}=0,009$, сптически положительный: $2V=+38^\circ$.

Химический анализ чисто отобранного целестинобарита показал следующее содержание окислов (табл. 133).

Таблица 133

Окислы	BaO	SrO	SO_3	R_2O_3	Сумма
Содержание в %	61,64	2,62	35,78	0,101	100,14

Кристаллохимическая формула: $(\text{Ba}_{0,94}\text{Sr}_{0,06})\text{SO}_4$.

Как видно из таблицы, в описываемом минерале установлено повышенное содержание стронция.

Минерал изучен рентгеновским анализом на дифрактометре УРС-50 ИМ на железном неотфильтрованном излучении со скоростью сканирования 1° в минуту.

Рассчитанные Э. Х. Хуршудян все три параметра элементарной ячейки из Аревисского месторождения составляют: $a_0=8,856 \pm 0,003 \text{ \AA}$; $b_0=5,448 \pm 0,003 \text{ \AA}$; $c_0=7,128 \pm 0,003 \text{ \AA}$.

Таким образом, элементарная ячейка целестинобарита оказалась меньше, чем элементарная ячейка барита; это, естественно, обусловлено изоморфной примесью стронция, радиус которого по В. Гольдшмидту, ($1,27 \text{ \AA}$), меньше, чем у бария ($1,43 \text{ \AA}$).

Образование целестинобарита в грейзенах района с. Аревис обусловлено по Д. С. Коржинскому, кислотно-щелочной дифференциацией растворов, в наиболее ранние стадии происходит формирование грейзенов, а в конце процесса из растворов, обогащенных щелочными компонентами вмещающих пород, осаждается целестинобарит.

РАЗДЕЛ XII. СИЛИКАТЫ

Хризоколла— $\text{CuSiO}_3 \cdot n\text{H}_2\text{O}$ ($n = \sim 2$). Теоретический состав: $\text{CuO}—45,2$, $\text{SiO}_2—34,2$ и $\text{H}_2\text{O}—20,5\%$. Минерал криптокристаллический.

Хризоколла является довольно редким минералом зоны окисления медно-молибденовых месторождений. Достоверно установлена только на Каджаранском и Агаракском месторождениях.

Минерал описан С. А. Мовсесяном и Е. А. Акопян (1960), а также С. А. Мовсесяном и М. П. Исаенка (1974). На Агаракском месторождении упоминается И. В. Баркановым.

К. А. Карамяном хризоколла установлена на нескольких участках Каджаранского месторождения. В районе проявления хризоколлы вмещающие породы характеризуются интенсивной выщелоченностью и, помимо этого, присутствием малахита. Хризоколла наблюдается в виде небольших по мощности корок, тончайших прожилков и налетов на стенках трещин. Обычно ее агрегаты имеют бугорчатую поверхность. В некоторых случаях, по данным Е. А. Акопян, хризоколла характеризуется опаловидным строением и имеет раковистый излом. В ряде случаев при заполнении отдельных пустот имеет колломорфное строение. Цвет минерала меняется от голубого до светло-зеленого и белого.

Ниже, в табл. 134 приведен химический состав хризоколлы.

Таблица 134

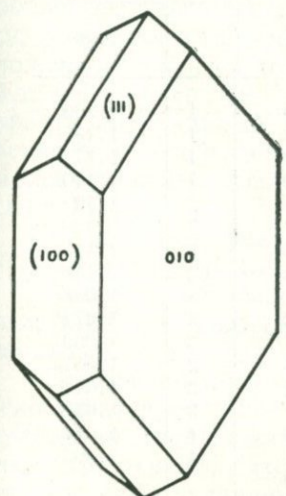
Окислы	SiO_2	CuO	Fe_2O_3	Al_2O_3	H_2O	Сумма	Аналитик	Автор
Содерж. в %	33,5	40,70	1,11	5,45	20,38	101,14	О. Степанян	М.П. Исаенко

Спектральным анализом в хризоколле из Агаракского месторождения установлены следующие элементы-примеси (в %): $\text{Si} \gg \gg 10$ ($\sim 27,5$) $\text{Al}—3,85$, $\text{Mg}—0,4$, $\text{Ca}—0,9$, $\text{Fe}—0,7$, $\text{Na}—0,23$, $\text{K}—0,3$, $\text{Mn}—0,044$, $\text{Ni}—0,00026$, $\text{Co}—0,0006$, $\text{Ti}—0,035$, $\text{V}—0,004$, $\text{Cr}—0,0037$, $\text{Mo}—0,018$, $\text{Zr}—0,0047$, $\text{Cu} \gg 10$ ($\sim 42,0$), $\text{Pb}—0,0012$, $\text{Ag}—0,00011$, $\text{Zn}—0,015$, $\text{Sn}—0,00019$, $\text{Ga}—0,00024$, $\text{Y}—0,0014$, $\text{Yb}—0,00032$, $\text{Ba}—0,008$, $\text{P}—0,027$, $\text{Be}—0,0004$, $\text{Sc}—0,00085$, $\text{B}—0,0008$.

Стеллерит— $\text{Ca}(\text{Al}, \text{Fe})_2\text{Si}_7\text{O}_{18} \cdot 7\text{H}_2\text{O}$. Описан для медно-молибденовых месторождений К. А. Карамяном (1967) и подтвержден химическим (табл. 135) и рентгеноструктурным (табл. 136) анализами.

Стеллерит установлен на Тейском золото-сульфидном месторождении, где образует небольшие прожилки и налеты на трещи-

нах. В прожилках отмечаются хорошо сформировавшиеся кристаллы. В пустотах отмечаются друзы кристаллов таблитчатого габитуса (рис. 80). На стенках трещин образует налеты радиально-лучистого строения. В поперечнике такие сферолиты достигают 1,0—1,5 см.



Стеллерит имеет белый цвет, прозрачен, блеск стеклянный. Уд. вес 2,12. Показатели преломления стеллерита при 20° иммерсионной жидкости, проверенные на рефрактометре: Np—1,489, Ng—1,492. Химический анализ тейского стеллерита приведен в табл. 135.

Расчетная формула стеллерита из Тейского месторождения имеет следующий вид:

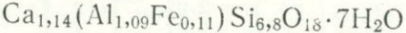


Рис. 80. Кристалл стеллерита из Тейского месторождения. По К. А. Карамяну.

Таблица 135

Окислы	SiO_2	Al_2O_3	Fe_2O_3	CaO	H_2O	Сумма	Автор	Аналитик
Содерж. в %	56,72	16,25	0,24	8,36	18,33	99,90	К.А Карамян,	Т. Т. Авакян

Гранаты. Общая формула $-\text{A}_3\text{B}_2[\text{SiO}_4]_3$. Представляют собой сложные, главным образом, трехкомпонентные силикаты, иногда состоящие из четырех, пяти и даже шести компонентов, где A может быть Fe^{2+} , Mn^{2+} , Ca , Mg , а B— Fe^{3+} , Al^{3+} , а также Cr^{3+} , Mn^{3+} и Ti^{4+} . К так называемым конечным членам изоморфной серии гранатов (трехкомпонентным) относятся альмандин, грессуляр, андрадит, спессартин, пироп и уваровит, среди которых большое разнообразие минеральных видов имеют гранаты альмандинового и андрадитового рядов.

На основании анализа литературных данных и многолетних исследований установлено, что гранаты широко развитые на территории Армянской ССР, в основном представлены андрадитовым и грессуляр-андрадитовым составом, относятся к уграндитной группе.

пс* по классификации Винчелла и имеют контактово-метасоматическое (скарновое) происхождение.

Таблица 136

Межплоскостные расстояния стеллерита

I	d _{z/n}	I	d _{z/n}	I	d _{z/n}	I	d _{z/n}
10	10,17	3	2,56	8	1,590	1	1,200
10	8,94	2	2,45	8	1,558	1	1,190
3	5,31	3	2,35	1	1,522	1	1,179
3	5,18	2	2,31	1	1,500	1	1,170
7	4,67	2	2,27	1	1,469	2	1,133
5	4,48	2	2,22	4	1,447	2	1,126
4	4,23	2	2,12	2	1,413	1	1,115
10	4,05	2	2,10	2	1,393	2	1,108
4	3,74	4	2,07	2	1,381	3	1,093
4	3,49	4	2,04	4	1,363	3	1,074
4	3,41	3	1,900	1	1,337	3	1,069
5	3,35	1	1,860	1	1,318	2	1,057
5	3,18	3	1,827	5	1,302	3	1,045
9	3,01	2	1,815	5	1,277	3	1,031
2	2,87	3	1,787	5	1,259	4	1,014
1	2,83	3	1,733	4	1,241	4	1,406
7	2,79	3	1,675	2	1,230		
1	2,73	3	1,647	1	1,208		

Лаборатория ИГЕМ АН СССР. Условия съемки: Fea—излучение, D=57,3, d=0,6.

Поскольку в составе рудоносных скарнов главным нерудным минералом является гранат андрадитового и гроссуляр-андрадитового изоморфного ряда, то ниже приводится его краткая минералого-геохимическая характеристика.

Андрадит— $\text{Ca}_3\text{Fe}_2[\text{SiO}_4]_3$. Сингония кубическая, чаще всего образует сплошные зернистые массы, а также ромбододекаэдрические (110), тетрагон-триоктаэдрические (211) кристаллы и их комбинационные формы.

Цвет андрадита разный: светло-коричневый, темно-коричневый, красновато-бурый, темно-бурый, мутно-зеленый, прозрачно-зеленый и т. д. Такое разнообразие обусловлено изменением состава, присутствием и содержанием тех или иных элементов-примесей (Fe^{2+} , Mn, Cr, Ti) и генетических условий образования.

* Гранаты конечных членов изоморфной серии Винчеллом подразделяются на две группы—пиарльспиты (пироп, альмандин, спессартин) и уграндиты (уваровит, андрадит, гроссуляр).

В шлифе почти бесцветный с едва заметным желтоватым или розоватым оттенками.

Оптически изотропен, иногда проявляет заметную анизотропность, выражющуюся в разновременном зональном угасании при повороте столика микроскопа и секториальным двойникованием с общей вершиной в центре кристалла. Спайность не обнаруживается, поверхность шагреневая, зерна андрадита иногда слегка расположены и разбиты тонкими разноориентированными трещинками. Уд. вес 3,74; тв. 6,9. Излом неровный, блеск стеклянный на монокристаллах, жирный на мелкозернистых сплошных массах. Значение N в зависимости от состава, т. е. содержания гроссуляровой молекулы колеблется в широких пределах—от 1,792, до 1,912 (см. табл. 137).

Стандартные реагенты не действуют, кроме HCl, в последнем растворяется с трудом и очень медленно.

Андрадит встречается в парагенезисе с магнетитом, актинолитом, эпидотом, кальцитом, роговой обманкой, хлоритом и др. минералами.

Проведенными исследованиями (оптическое, химическое, рентгеноструктурное, спектральное) гранатов из различных железорудных месторождений и проявлений Армянской ССР выяснилось, что они относятся к гроссуляр-андрадитовому изоморфному ряду, с преобладанием андрадитовой молекулы вплоть до почти чистого андрадита.

Результаты пересчетов анализов на миналы показали, что самое низкое содержание андрадитовой молекулы (44,42—48,79 %) у гранатов—из Анкаванских гранат-эпидотовых железорудных скарнов, а высокое (86,11—93,64 %)—из гранат-пиroxеновых железорудных скарнов Базумского месторождения и Моллакишлакского проявления. Максимальное количество андрадитового компонента (94,20 %) содержит гранат из гидротермально-метасоматически измененных андезито-дацитов Абовянского месторождения магнетит-апатитовых руд.

Гранаты из гранатовых железорудных скарнов Ахавнадзорского месторождения по содержанию андрадитовой молекулы занимают среднее положение между вышехарактеризованными гранатами. Андрадитовые молекулы в них составляют 51,05—66,00 %, а гроссуляровые—21,68—40,34 %.

Гранаты из скарнов бассейна р. Гехи относятся к гроссуляр-андрадитовому ряду с резким преобладанием андрадитового компонента. Содержание последнего колеблется от 54,3 до 96,2 %, в среднем 77,2 % из пяти анализов, а гроссулярового компонента этих же гранатов варьирует в пределах 0,2—37,6 %, в среднем 14,2 %.

Как видно из результатов полукачественных спектральных анализов (табл. 138), в составе всех гранатов из железорудных

Таблица 137

Химические анализы и миналы гранатов в скарнах и
метасоматически измененных породах железорудных месторождений Армянской ССР

№ № проб.	100/64		201/77		Г—15/65		14		М—2/5		2520/73		19/71		12/71		681*)		
	вес. %	мол. количество																	
Оксиды	1	2	3	4	5	6	7	8	9	10	11	12	13	14	15	16	17	18	19
SiO ₂	38,00	632	37,64	621	35,10	580	36,06	596	38,22	636	35,80	596	35,13	585	36,45	603	37,20	621	
TiO ₂	0,23	003	0,20	002	0,26	003	0,23	003	0,19	002	0,09	001	0,23	003	0,21	003	0,60	008	
Al ₂ O ₃	12,54	123	9,88	096	10,61	105	7,61	074	5,69	056	0,69	007	2,89	028	1,24	012	1,15	011	
Fe ₂ O ₃	16,87	106	20,33	127	16,98	107	19,40	121	23,24	146	28,85	181	26,50	166	29,56	184	23,12	145	
FeO	1,43	145	1,43	020	1,87	026	2,01	028	1,14	016	0,32	005	1,43	020	0,43	006	0,34	005	
MnO	0,22	003	0,28	004	0,70	010	2,28	032	0,51	007	0,48	007	0,62	009	0,44	006	0,04	001	
CaO	28,52	509	30,59	541	32,62	585	31,85	564	30,22	539	32,87	586	31,32	556	30,99	549	31,37	562	
MgO	0,83	021	н. о.	—	0,73	018	0,99	023	0,88	022	0,60	015	0,62	015	0,48	012	1,18	030	
H ₂ O—	0,11	—	н. о.	—	н. о.	—	0,11	—	—	—	н. о.	—	0,03	—	0,09	—	0,10	—	
П.п.п.	0,36	—	н. о.	—	0,15	—	0,01	—	0,32	—	0,30	—	0,03	—	0,20	—	2,00	—	
Na ₂ O	н. о.	—	0,06	001	0,17	003	0,15	002	0,15	002	н. о.	—	0,27	004	0,40	007	2,30	037	
K ₂ O	0,28	003	0,32	003	0,17	002	н. о.	—	н. о.	—	н. о.	—	0,80	008	0,07	001	0,18	002	
Сумма	99,39	100,73	99,36	—	100,70	—	100,56	—	100,02	—	99,87	—	100,56	—	99,58	—	—	—	

* Анализ граната (№ 681) Абовянского железорудного месторождения заимствован у Л. Б. Саруханян.

М и н а л ы в %

1	2	3	4	5	6	7	8	9	10	11	12	13	14	15	16	17	18	19
Андрадид	44,42	48,79		51,05	66,00		70,78		89,71		86,11			93,64		94,20		
Гроссуляр	33,70	47,08		40,34	21,68		22,55		7,09		6,90			2,18		0,93		
Спессартин	0,26	0,77		1,40	4,70		1,29		1,04		2,58			1,04		0,1		
Альмандин	20,32	3,35		3,80	3,82		2,04		0,10		3,02			1,04		0,16		
Пироп	0,71	—		3,00	3,70		3,33		2,13		1,29			2,08		4,64		
Аналитик Лаборатория				С. Чаталян ИГН АН Арм. ССР														
N	1,792	1,812		1,836	1,864		1,869		1,879		1,872			1,885		1,912		

Наименование проб: № № 100/64 и 201/77—гранатовые скарны Анкаванского железорудного проявления; № № Г—15/65 и 14—гранатовые скарны из Ахавнадзорского железорудного месторождения; № М—2/5—гранатовый скарн из Шишкертского железорудного проявления; № 2520/73—гранатовый скарн из Моллакишлакского железорудного проявления; № 19/71 и 12/71—гранатовые скарны из Базумского железорудного месторождения; № 681—гранатовый скарн из измененных андезитовых порфиритов Абовянского магнетит-апатитового месторождения.

скарнов кроме главных элементов (Si, Ca, Al, Fe, Mg, Mn), слагающих основные компоненты изоморфного ряда, характерными и постоянно присутствующими элементами-примесями являются Ti, Co, Zn, Cu, Ga, Ba, Sn; часто присутствуют Cr, Sc, Zn, V, Ni.

Спектральные анализы двух проб гранатов Моллакишлакского проявления показали 0,0032% W, 0,00032% Pb и 0,0000056% Ag; в единичных пробах Анкаванского проявления 0,0001% Yb и 0,001% Ge, в одной пробе гранатов Ахавнадзорского месторождения 0,001% La и 0,00042% Nb.

Образование гранатов андрадитового и грессуляр-андрадитового составов в скарнах железорудных месторождений связано с kontaktово-метасоматическими процессами, происходящими в результате взаимодействия умеренно-кислых верхнеэоценовых гипабиссальных гранитоидных интрузий и карбонатных (известняков, мергелистых известняков верхнего мела), а также алюмосиликатных пород. Дир У. А., Хаун Р. А., Зусман Дж. допускают, что в kontaktово-метасоматических процессах андрадит может образоваться в условиях привноса SiO_2 и Fe_2O_3 по следующей реакции:

$$3\text{CaCO}_3 + \text{Fe}_2\text{O}_3 + 3\text{SiO}_2 \rightarrow \text{Ca}_3\text{Fe}_2\text{Si}_3\text{O}_{12} + 3\text{CO}_2.$$

Наряду с рассмотренными гранатами скарнового генезиса на территории нашей республики Ю. А. Араповым и Б. М. Мелик-сетяном выделяются еще три генетических типа гранатов: kontaktово-метаморфические (приуроченные к контакту кислых пород с основными метаморфическими сланцами), регионально-метаморфические—в кристаллических сланцах и магматические, приуроченные к интрузивам щелочных, частью основных пород. Эти генетические типы гранатов имеют ограниченное развитие и распространение по сравнению с гранатами скарнового происхождения.

Уваровит— $\text{Ca}_3\text{Cr}_2[\text{SiO}_4]_3$. Сингония кубическая. Обнаружен среди хромитовых руд Шоржинского, Бабаджанского и Джанахмедского месторождений на северо-восточном побережье озера Севан как минерал-спутник хромитовых руд. Образует тонкие (до 4 мм) прожилки и неправильные включения, реже асбестовидные прожилки с параллельно-волокнистым строением в рудах хромистого железняка. Прожилки и включения сложены плотными, реже—зернистыми массами.

Спайность отсутствует, редко несовершенная по 110. Твердость 6,9, хрупок. Уд. вес 3,50. Цвет изумрудно-зеленый, блеск жирный, стеклянный. Оптически изотропный, $N=1,872$.

Теорет. состав (в %): CaO —33,5, Cr_2O_3 —30,6, SiO_2 —35,9; из примесей присутствуют Na_2O , K_2O , V_2O_5 , ZrO_2 , P_2O_5 и др. Химический анализ уваровита из Шоржинского месторождения хромистого железняка приведен в табл. 139. В составе уваровита, по-видимому, Fe^{3+} и Al^{3+} изоморфно замещают Cr^{3+} вследствие чего содержание последнего низкое.

Таблица 138

Полуколичественные спектральные анализы* гранатов из
железорудных скарнов Армянской ССР, в %

	12/7	12 ^a /71	14	201	25 ^c 0/73	2525/73
Si	>7,5	>10	>10	>10	>10	10
Al	1,3	0,56	10	4,2	0,18	1,8
Mg	0,18	0,24	0,24	0,1	0,13	0,42
Ca	>10	>10	>10	>10	>10	>10
Fe	>10	>10	>10	>10	>10	>10
Na	0,042	0,018	0,0075	0,075	—	—
Mn	0,42	0,75	0,42	0,18	3,2	4,2
Ni	0,0013	0,0018	0,001	0,00075	—	—
Co	0,00024	0,00042	0,0001	0,00013	0,0001	0,00056
Ti	0,024	0,032	0,032	0,01	0,056	0,075
V	0,0024	0,0024	0,0024	0,0024	—	—
Cr	0,0032	0,0042	0,0032	—	—	—
Zr	0,001	0,001	0,0056	0,00056	0,0032	0,0032
Cu	0,024	0,024	0,00056	0,024	0,0056	0,0018
Zn	0,01	0,0075	0,0075	0,0042	—	—
Ga	0,00042	0,00056	0,00042	0,0013	0,0018	0,00056
Y,	0,00024	0,00056	0,0001	0,00024	—	—
Ba	0,018	0,018	0,018	0,018	0,024	0,024
Sc	0,0001	0,00013	0,00024	—	—	—
Sn	0,0024	0,0024	0,0013	0,0013	0,0013	0,00018

* Анализы выполнены в спектральной лаборатории ИГН АН АрмССР
М. Я. Мартиросяном.

Уваровит образовался в постмагматическую (пневмато-гидротермальную) стадию в процессе серпентинизации ультрамафитов и метаморфизма хромшпинелидов. Необходимый для его образования хром был заимствован из хромшпинелидового вещества.

Таблица 139

Химический состав уваровита

Окислы	Уваровит	Окислы	Уваровит
SiO ₂	36,75	MgO	5,52
TiO ₂	0,16	CaO	31,34
Al ₂ O ₃	2,10	Na ₂ O	0,13
Cr ₂ O ₃	13,44	K ₂ O	0,13
Fe ₂ O ₃	9,98	H ₂ O	не обн.
FeO	0,74	П.п.п.	0,57
MnO	не обн.	Сумма	100,86

Анализ выполнен в химической лаборатории ИГН АН АрмССР Бозояном О. А.

Практического значения уваровит в Армянской ССР не имеет.

Скалолит— $\text{Na}_4[\text{AlSi}_3\text{O}_8]_3\text{Cl} \cdot \text{Ca}_4[\text{Al}_2\text{Si}_2\text{O}_8]_3[\text{SO}_4, \text{CO}_3]$, по гречески означает столбчатый камень, что, очевидно, было обусловлено формой кристаллов этого минерала. Сингония тетрагональная, образует длинно-призматические и столбчатые кристаллы, а также неправильные зернистые агрегаты. Цвет скалолита белый и зеленовато-серый (в скарнах), бесцветный (в измененных андезитовых порфиритах), блеск стеклянный, тв. 5,6; излом раковистый, неровный, уд. вес 2,7. Спайность несовершенная по (110).

В проходящем свете скалолит прозрачный, бесцветный, иногда окрашен в светло-зеленоватые, светло-голубоватые тона.

Оптически одноосный, удлинение отрицательное, погасание прямое, двойникование не обнаруживается.

Показатели преломления скалолита, измеренные на многочисленных зернах, довольно близкие и колеблются в пределах: $N_o = 1,552 - 1,562$, $N_e = 1,545 - 1,556$, $N_o - N_e = 0,007 - 0,016$ (скалолиты Базумского месторождения).

Скалолиты Абовянского железорудного месторождения отличаются несколько более низкими значениями показателей преломления: $N_o = 1,556 - 1,560$; $N_e = 1,543 - 1,546$; $N_o - N_e = 0,012 - 0,015$.

Согласно общепринятой номенклатуре минералов группы скалолита, изученные скалолиты Базумского и Абовянского железорудных месторождений относятся к мариалит-дибибуру с 14—36% молекулярным количеством мейонита.

Химические анализы и показатели преломления скалолитов из метасоматитов Базумского и Абовянского железорудных месторождений приведены в табл. 140.

Принадлежность скалолитов к мариалит-дибибуру подтверждается данным рентгеноструктурных анализов (табл. 141).

По данным полуколичественных спектральных анализов, в составе скалолитов Базумского и Абовянского железорудных месторождений наряду с главнейшими компонентами, приведенными в табл. 140, установлены 17 элементов, содержание которых приведено в табл. 142.

Из результатов полуколичественных спектральных анализов следует, что по содержанию ряда элементов-примесей (Y, Yb, La, Ge, Ba) скалолиты Абовянского месторождения отличаются от базумских. Содержание таких элементов-примесей, как Mn, V, Co, Ni, Zr, Cu, Ga и Sr от десяти до 20 и более раз больше в скалолитах Абовянского месторождения, чем в базумских.

Скалолит является одним из распространенных типоморфных минералов в метасоматитах скарновых и гидротермально-метасоматических железорудных месторождений Армянской ССР.

Из литературного обзора известны различные способы образования скалолита и скалолитизированных пород, среди которых

бажную роль отводят метасоматическим и kontaktово-метаморфическим процессам.

В метасоматитах Базумского скарнового железорудного месторождения скаполит ассоциирует с гранатом, пироксеном, плагиоклазом и магнетитом, иногда с апатитом. Из вторичных минералов встречаются эпидот, альбит, карбонат, цеолит и хлорит.

Таблица 140

Результаты химических анализов скаполитов железорудных месторождений Армянской ССР

№ № проб.	880*	362*	1/75
Компоненты			
SiO ₂	58,52	57,08	53,68
TiO ₂	—	—	0,05
Al ₂ O ₃	18,47	19,63	19,05
Fe ₂ O ₃	0,69	0,77	1,94
FeO	н. о.	—	2,87
MgO	сл.	н. о.	3,98
CaO	6,62	7,12	8,00
Na ₂ O	9,75	10,40	6,70
K ₂ O	1,25	1,80	0,80
H ₂ O	н. о.	н. о.	1,85
CO ₂	—	—	—
SO ₃	—	—	—
Cl	2,85	3,20	1,57
Сумма	98,15	100,00	100,49
Показатели N _o	1,560	1,556	1,553
преломления N _c	1,545	1,545	1,547

Наименование проб: № № 880 и 362—скаполит из карбонат-биотит-скаполитового прожилка Абовянского месторождения; № 1/75—скаполит из скаполит-магнетитового прожилка Базумского железорудного месторождения.

* Анализы скаполитов № № 880 и 362 заимствованы у Саруханяна Л. Б.

В этих образованиях гранат, пироксен и магнетит по отношению к скаполиту являются поздними выделениями, что доказывается взаимоотношениями между ними—замещением скаполита остальными минералами.

Скаполит на Базумском месторождении по своему происхождению теснейшим образом связан с kontaktово-метасоматическим процессом, развиваясь, по плагиоклазам (андезин-лабрадор). Скаполит образовался в результате метасоматического изменения силикатных и известково-силикатных пород, при участии таких компонентов, как Cl, CO₂, SO₃ и H₂O.

Таблица 141

Межплоскостные расстояния скаполитов Абовянского и Базумского
железорудных месторождений Армянской ССР

843/76		700		843/76		700	
I	d α /n	I	d α /n	I	d α /n	I	d α /n
2	8,560	4	4,230	2	1,826	4	1,508
2	6,430	7	3,807	4	1,818	4	1,462
3	6,030	4	3,558	1	1,777	6	1,420
1	4,380	10	3,466	3	1,748	2	1,398
4	4,270	8	3,058	4	1,704	2	1,382
1	4,070	10	3,008	2	1,675	5	1,364
7	3,806	6	2,833	3	1,622	2	1,344
5	3,551	4	2,717	2	1,606	2	1,331
10	3,461	6	2,698	2	1,585	2	1,315
8	3,061	1	2,364	3	1,560	3	1,284
7	3,010	4	2,296	3	1,510	3	1,173
5	2,843	1	2,206	2	1,470	3	1,152
5	2,729	5	2,136	4	1,464		
7	2,687	3	2,067	4	1,422		
1	2,532	3	2,006	1	1,403		
2	2,364	6	1,906	3	1,382		
5	2,300	4	1,895	5	1,364		
2	2,201	4	1,814	2	1,345		
5	2,142	3	1,746	2	1,332		
2	2,071	4	1,707	2—3	1,320		
3	2,013	1	1,671	2—3	1,285		
6	1,913	2	1,616	2	1,269		
5	1,895	3	1,557	2	1,206		

* Анализ выполнен в рентгеноструктурной лаборатории ИГН АН АрмССР, аналитик Н. Ревазова.

На Базумском месторождении нами выделяется скаполит поздней генерации, который в виде тонких прожилков (мощностью 2—4 мм) с магнетитом, реже с пиритом пересекают железорудные скарны.

Исходя из взаимоотношения с ранним скаполитом и магнетитом, степени идиоморфизма, можно предположить, что скаполит и магнетит поздней генерации образовались в процессе дальнейшей перекристаллизации скаполитизированных оруденелых метасоматитов под воздействием поздних гидротермальных растворов.

На Абовянском месторождении магнетит-апатитовых руд гидротермально-метасоматического происхождения скаполит развит в метасоматически измененных рудовмещающих андезито-дактиках, пиритизированных глинистых отложениях, брекчированных магнетит-апатитовых рудах и т. д. Здесь скаполит с карбонатом,

Полуколичественные спектральные анализы* скаполитов
Базумского и Абовянского** железорудных месторождений, в %

Элементы	I	II	Элементы	I	II
	Средние из 5 анализов	Средние из 11 анализов		Средние из 5 анализов	Средние из 11 анализов
Mn	0,024	0,1	Zn	0,01	0,1
Ni	0,00016	0,006	Ga	0,0015	0,006
Co	0,00016	0,001	Ge	—	0,003
V	0,0024	0,01	Sr	0,032	0,3
Cr	0,0009	—	La	—	0,02
Zr	0,00018	0,02	Ba	—	0,2
Cu	0,00042	0,1	Yb	—	0,003
Pb	0,00025	—	Y	—	0,003

Наименование проб: I—скаполиты Базумского железорудного месторождения; II—скаполиты Абовянского железорудного месторождения.

* Анализы выполнены в спектральной лаборатории ИГН АН АрмССР М. Я. Мартиросяном.

** Спектральные анализы скаполитов Абовянского месторождения заимствованы у Саруханяна Л. Б.

биотитом и амфиболом встречаются в виде жил и прожилков (мощностью до 4—5 см), а также гнезд и линзочек (размером 2,5×6 см, реже до 5×9 см).

В пределах Абовянского месторождения наиболее интенсивная площадная скаполитизация зафиксирована на участке рудной аномалии № 5, представленной скаполит-карбонат-биотитовой минеральной ассоциацией.

Не вдаваясь в подробности геолого-генетических особенностей нахождения изучаемых скаполитов, лишь отметим, что в железорудных месторождениях АрмССР они образовались по плагиоклазам алюмосиликатных пород (андезитовых туфов, туффитов, андезитовых дацитов) и результате инфильтрационного метасоматического процесса хлор-натриевого характера. Судя по минеральным парагенезисам скаполитизированных пород и руд, большое значение придается активному участию хлора и натрия при метасоматическом минералообразовании Абовянского, Базумского, Ахавнадзорского железорудных месторождений АрмССР, что выражается в образовании апатита, скаполита, альбита и некоторых других минералов.

Касаясь вопроса температуры образования скаполита, следует отметить, что многочисленные опыты по гомогенизации газово-жидких включений в скаполитах и ассоциирующих с ними пирок-

сенах из Давыдовского, Качарского, Соколовского, Алешинского на Тургае, Дашкесанского и других железорудных месторождений, позволяют считать температурный интервал образования ска-политов от 500 до 580°C.

Ортит— $(\text{TR}, \text{Ca})_2(\text{Al}, \text{Fe})_3[\text{Si}_3\text{O}_{12}] \text{OH}$, синоним алланит (ред-коземельный эпидот). Сингония моноклинная, кристаллы толстотаблитчатые, иногда шестоватые; главные формы: пинакоид (100) и призмы (110) и (101), менее развиты грани (001) и (111); иногда образует сплошные агрегаты, гнезда.

Цвет бурый, до смоляно-черного, блеск стеклянный, излом неровный, близок к раковистому.

Ng—Nr до 0,032, плеохроичен (от красновато-бурых тонов по Ng до зеленовато-желтых по Nr), оптически отрицательный.

Твердость 6, хрупок, уд. вес до 4,1, радиоактивен.

В Армянской ССР наиболее известен и хорошо изучен ортит из пегматитов и аплитов Амзачиманского месторождения, связанного с массивом сиенито-гранитов, которые сами содержат вкрапленность акессорного ортита.

В аплитах и пегматитах ортит представлен крупными (1—2 см в поперечнике, изредка до $10 \times 5 \times 1,5$ см) хорошо образованными таблитчатыми кристаллами (рис. 81). С разрушением ортитсодержащих сиенито-гранитов, пегматитов и аплитов связаны элювиально-делювиальные и аллювиальные россыпи р. Агстев и ее правых притоков, содержащие до 2—3, местами 10 кг/м³ ортита

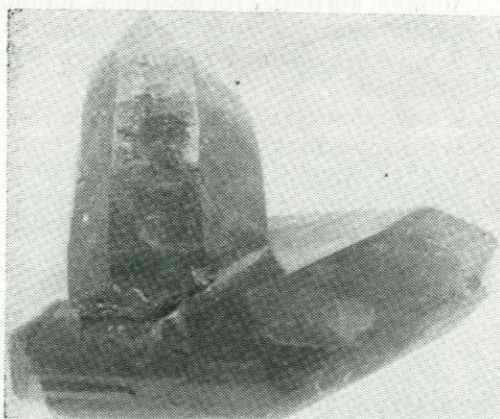


Рис. 81. Таблитчатый кристалл ортита с наросшим на него кристаллом кварца. Месторождение Амзачиман. Увел. 2. По А. Т. Асланяну.

и одновременно 45—160 г/м³ шеелита и до 0,5—2 г/м³ золота, что представляет определенный практический интерес.

Ортит в виде акцессорного минерала установлен также в щелочных породах Памбакского хребта (в среднем 30 г/т) и в гранитоидах и пегматитах Мегринского plutона (в щелочных сненитах в среднем 100 г/т породы).

Химический анализ Мегринского ортита (аналитик И. С. Разина) по данным Б. М. Меликsetяна (1960) представлен в табл. 143.

Таблица 143

SiO ₂	TiO ₂	ThO ₂	Al ₂ O ₃	Fe ₂ O ₃	Ce ₂ O ₃ *	La ₂ O ₃ *	Y ₂ O ₃	FeO	MnO	MgO	CaO	Na ₂ O	H ₂ O	Σ
32,09	0,11	1,28	14,83	8,11	11,88	8,78	0,16	7,90	0,49	1,73	11,29	0,43	0,95	100,11

* Состав редких земель от Σ Ce₂O₃ и La₂O₃=20,66% и принятой за 100%: La—31, Ce—57,5, Pr—3, Nd—8,15, Sm—0,4%.

Спектральные анализы ортитов из Тежсарского и Мегринского массивов представлены в табл. 144.

Несколько рентгеноструктурных анализов ортитов из различных мест (Маргаовит, Тежсар, Мегри и др.) подтверждают принадлежность их к группе ортитов. В качестве иллюстрации приводим данные (дебаеграммы) ортита из Амзачимана (табл. 145).

Химические составы ортитов Амзачиманского массива приводятся нами из книги Б. М. Меликsetяна и Р. Л. Мелконяна (1976) (табл. 146).

Таким образом, амзачиманские ортиты характеризуются резко выраженным цериевым и неодимовым максимумами, при отсутствии редких земель иттриевой подгруппы (табл. 147).

Турмалин— Na(Fe, Mg)₃Al₃(B₃Al₃Si₆)O₂₇[OH]₃. Турмалин является весьма распространенным минералом. Он образует крупнокристаллические скопления в участках пегматитовой структуры щелочных и гранитных пегматитов, в виде «турмалиновых солнц» в гранитоидах и метаморфических сланцах, а также в виде «щеток» и сплошных масс в кварц-турмалиновых высокотемпературных жилах.

Турмалин, чаще в пегматитах, образует призматические кристаллы, достигающие 5—6 см в длину. Часто кристаллы тесно срастаются друг с другом, причем иногда в такой степени, что образуют сплошные массивные агрегаты. Габитус кристаллов столбчатый с хорошо развитыми призматическими гранями (1120) и (1010) и гранями ромбоэдра (1121) и (1212), находящимися на

одном конце кристалла. Иногда кристаллы турмалина деформированы, трещиноваты или превращены в черный грубый порошок. Как правило, вдоль призматических граней проявлена отчетливая штриховка. Цвет турмалина смоляно-черный. Блеск стеклянный. В шлифах окраска неравномерная, пятнистая в бурых и синих тонах. Зональность часто проявляется от центра к периферии с освещением окраски.

Плеохроизм от светло-коричневого по Nr до густо зелено-бурового по Ng. Оптические константы в зависимости от состава варьируют (табл. 148).

Вычисленные по величинам межплоскостных расстояний параметры элементарной ячейки: $a_0 = 16,10 \text{ \AA}$, $c_0 = 7,22 \text{ \AA}$ заметно превышают стандартные параметры для шерла ($a_0 = 15,97 \text{ \AA}$, $c_0 = 7,196 \text{ \AA}$) что связано с высоким содержанием Fe_2O_3 мегринских турмалинов.

Как видно из приведенных химических анализов и показателей преломления, черные турмалины описываемого плутона отвечают шерлам с высоким содержанием Fe_2O_3 и значительной примесью дравитового компонента.

Интересен и редкоэлементный состав турмалинов. Характерны высокие концентрации: Li (0,1—0,3), галлия (0,03—0,1%), стронция (0,1—0,3%), Be (0,01—0,03%), а также La, Cu, Mo, Sn, Ni, Co, V.

Турмалин ассоциирует с амфиболом, биотитом, ортитом, мусковитом, альбитом, нефелином, корундом и редкоземельными минералами. Помимо широкого распространения в пегматитах, генетически связанных с монцонитоидами и щелочными сиенитами Мегринского plutона, известны своеобразные турмалинизованные гранитоиды — типа ранних грейзенов (р-н с. Ванк, ущ. Мецдзор, с. Урут, Аравис, Анкаван и др.), а также турмалиновые сланцы в пределах метаморфического фундамента (с. Бжни). Следует подчеркнуть исключительно широкое развитие борнощелоч-

	Mn	Ni	Co	Ti	V	Zr	Cu
Тежсар	1,00	0,001	0,03	1,0	0,01	—	0,003
Мегри	0,03	—	0,01	0,3	0,001	0,5—1	0,001

* Химический состав по данным приближенно-количественных спектральных анализов, выполненных в лаборатории ИГН АН АрмССР (Г. М. Мкртчян, М. Я. Мартirosyan).

ного метасоматоза в пределах гранитоидных plutонов Южной Армении.

Известны случаи нахождения турмалина в кварцеворудных жилах Каджаранского медно-молибденового, Азатенского свинцово-сурьмянного и Мец-дзорского месторождений и в kontaktово-метасоматических породах Зиракского интрузива.

Таблица 145

Межплоскостные расстояния орбитита

I	d α /n	I	d α /n
4	3,54	1	1,576
4	3,20	1	1,548
10	2,89	3	1,436
8	2,69	5	1,410
3	2,61	1	1,308
8	2,14	1	1,280
8	1,887	1	1,248
10	1,625		

Анализ выполнен в рентгенлаборатории ИМР АН УССР Р. Г. Сизовой. Условия съемки: Cu α , D=57,3 мм, d=0,5. Эксп. 10 ч.

Везувиан редкоземельный $(\text{Ca}, \text{TR})_{10}(\text{Mg}, \text{Fe}^2)_2(\text{Al}, \text{Fe}^3)_4[\text{SiO}_4(\text{Si}_2\text{O}_7)(\text{OH})_4]$.

Две необычные разновидности везувианов были обнаружены в альбитизированных пегматитах эндоконтактовой зоны Тежсарского комплекса: натровый и редкоземельный. Кроме того, в скарах и кальцифириях Сурбкарского массива встречается вилонит. Ниже рассматриваются все три разновидности.

1. Натровый везувиан, образующий тонкошестоватые радиально-лучистые агрегаты, имеет серовато-желтый цвет. Блеск шелковистый. Хрупок. Показатели преломления: Ng=1,726, Np=1,721. Двупреломление низкое—Ng—Np=0,005. Цвета интерференции аномальные.

2. Черный редкоземельно-радиоактивный везувиан, образующий игольчатые кристаллы с хорошо выраженным гранями тет-

Таблица 144

Nb	Sc	La	Ce	Th	U	Be	Ge	Sn
0,001	0,03	3—10	10	1,0	—	0,001	0,001	—
0,01	0,003	1—3	10	0,3—1	0,002	—	—	0,03

ных анализов, выполненных в лаборатории ИГН АН АрмССР (Г. М. Мкртчян, рагональной призмы. Оптические константы: Ng=1,730, Np=1,728. Двупреломление очень низкое, Ng—Np=0,002; часто даже изотропен вследствие метамиктного распада.

Таблица 146

Химические составы ортитов Амзачиманского массива.

Оксиды	1	2	3
SiO ₂	28,36	25,88	29,68
TiO ₂	0,84	0,73	2,05
ThO ₂	0,93	0,67	—
Al ₂ O ₃	16,80	22,71	13,85
La ₂ O ₃	6,53	6,73	9,68
Ce ₂ O ₃	10,38	10,10	14,52
(Pr, Nd) ₂ O ₃	2,55	—	—
Fe ₂ O ₃	10,06	19,40	7,30
FeO	7,26	—	8,15
MnO	0,60	—	0,40
MgO	2,45	2,11	2,75
CaO	11,34	12,34	4,24
SrO	—	—	5,01
Na ₂ O	0,61	—	1,04
K ₂ O	0,23	—	1,40
H ₂ O—	1,24	—	0,30
H ₂ O+	0,16	—	0,05
U	0,0024	0,002	—
Сумма	100,642	100,672	100,42
Аналитик	И. С. Резина	М. М. Сукалова	А. К. Неверова
Автор	Б. М. Меликсян (1962)	И. Г. Магакян (1956)	В. Н. Любоеев В. С. Балицкий (1961)

Таблица 147

Состав редкоземельных элементов в ортите в %
от $\Sigma \text{TR}_2\text{O}_3 = 100^*$

$\Sigma \text{TR}_2\text{O}_3$	La	Ce	Pr	Nd	Eu	Gd
19,46	33,5	53,4	4,6	8,4	—	0,1

* Расшифровка состава редких земель в ортите выполнена Д. А. Минеевым, ИМГРЭ.

Оптические константы турмалинов

Таблица 148

№. Окраска в шлифах	Ng	N _P	Ng-N _P
1. Коричневый	$1,682 \pm 0,003$	$1,654 \pm 0,003$	0,028
2. Синий (зеленый)	$1,673 \pm 0,003$	$1,646 \pm 0,003$	0,027
3. Бесцветный	$1,664 \pm 0,003$	$1,638 \pm 0,003$	0,026

Таблица 149

Межплоскостные расстояния турмалина (Мегринский pluton)

I	d/n	I	d/n	I	d/n	I	d/n
5	5,34	1	2,45	2	(1,837)	5	1,362
4	4,97	4	2,407	2	1,790	7	1,335
6	4,22	6	2,381	1	1,695	7	1,315
5	3,96	6	2,346	8	(1,667)	9	1,282
1	3,83	4	(2,260)	5	1,647	3	1,185
6	3,47	5	2,198	8	1,600	4	1,155
5	3,32	4	2,168	2	1,538	2	1,141
2	3,27	6	2,127	7	1,514	1	1,132
9	3,17	9	2,047	1	1,488	4	1,100
1	2,90	8	1,926	8	1,462	2	1,070
5	(2,84)	2	1,884	4	1,438	6	1,033
10	2,58	2	1,857	8	1,416	6	1,024

Лаборатория Львовского университета. Fea, D=85 мм, d=0,7 мм, Эксп. 25 часов.

Особенности химического состава шерлов из различных типов пород Мегринского plutона представлены в таблице 150.

Таблица 150

Химический состав турмалинов*

	Весовые % %													
	SiO ₂	TiO ₂	Al ₂ O ₃	Fe ₂ O ₃	B ₂ O ₃	FeO	MnO	CaO	MgO	K ₂ O	Na ₂ O	Li ₂ O	+H ₂ O	Сумма
1	30,20	3,31	33,54	5,55	10,20	11,21	0,65	0,58	4,79	0,12	1,80	0,15	2,44	100,54
2	35,70	0,46	26,99	4,88	9,40	11,77	0,20	1,48	4,10	0,13	1,26	0,06	3,80	100,63
3	38,70	0,58	22,07	6,93	9,10	12,41	0,13	2,44	3,34	0,32	0,84	0,05	3,17	100,05

* Химические анализы выполнены в химической лаборатории ИГН АН АрмССР (аналитик А. К. Иванян).

Рентгенометрический анализ показал хорошую сходимость с эталоном по В. И. Михееву для желтой разновидности и с дебаев-граммой редкоземельного везувиана из Енисейского кряжа для черной разновидности (табл. 151).

Химический анализ и расчет кристаллохимической формулы показывает некоторый недостаток в группе кальция и двухвалентных ионов. Кроме того в черном редкоземельном везувиане определено: $\Sigma \text{TR}_2\text{O}_3$ —3,6%, Th—0,3%, U—0,03%. Приближенно-количественным спектральным анализом установлены: Mn (0,3—1%), Nb (0,01—0,03%), Ge (0,001%), Ga (0,003%), лития (0,003%).

Таблица 151

Межплоскостные расстояния везувианов

Желтый везувиан		Черный везувиан		Желтый везувиан		Черный везувиан	
I	d/n	I	d/n	I	d/n	I	d/n
2	3,30	4	3,32	8	1,616	10	1,615
2	3,20	—	—	2	1,566	—	—
3	2,916	—	—	3	1,553	—	—
10	2,726	10	2,75	2—3	1,534	—	—
9	2,578	9	2,59	3	1,516	—	—
6	2,445	8	2,45	3	1,490	—	—
2	2,111	6	2,116	3	1,345	—	—
2	1,957	4	1,994	2—3	1,297	3	1,295
3	1,755	2	1,759	2	1,280	—	—
3	1,713	—	—	2	1,102	5	1,102
2—3	1,672	—	—	2	1,074	5	1,072
3	1,655	—	—	2	1,068	—	—

Анализ выполнен в лаборатории ИГН АН АрмССР Хуршудян Э. Х. Условия съемки: Сua, D=57,3 мм, d=0,4 мм. Эксп. 4 ч.

Таблица 152

Химический состав везувиана (аналитик З. Гаспарян)

SiO ₂	TiO ₂	Al ₂ O ₃	Fe ₂ O ₃	FeO	MnO	CaO	MgO	Na ₂ O	K ₂ O	-H ₂ O	+H ₂ O	Сумма
41,30	0,45	16,15	8,10	2,66	0,12	18,32	0,62	6,59	0,22	5,80	0,12	100,45

бериллия (0,03—0,1%). Характерно, что в черном редкоземельном везувиане содержатся: Yb (0,01—0,03%), Ce (0,3—1%), La (0,5—1%), Pb (0,01%), V (0,2%).

Желтый натровый везувиан в ассоциации с альбитом, нефелином, гастингситом, меланитом, бритолитом встречается в фельдшпатоидных пегматитах Тексарского щелочного комплекса (рис. 82), а черный везувиан встречается в редкометальных щелочных пегматитах с отчетливо проявленным мусковит-альбитовым замещающим комплексом в ассоциации с редкоземельно-радиоактивными минералами (пегматиты Памбака и Зангезура).

3. Везувиан-вилюитовая разновидность распространена, по О. П. Гуюмджяну, исключительно в кальцифирах Сурбкарского месторождения (табл. 153).

Детальные исследования контактово-инфилтратационных образований (скарны и кальцифиры) и везувианов, проведенные О. П. Гуюмджяном (1974), позволили выявить интересную ассоциацию с гранатом андрадит-гроссулярового состава, моноклинным пироксеном диопсид-геденбергитового состава, волластонитом, кальцитом и эпидотом. Появление везувиана вместо граната объясняется указанным автором флюидным режимом инфильтрационного метасоматоза в присутствии фтора и других летучих.

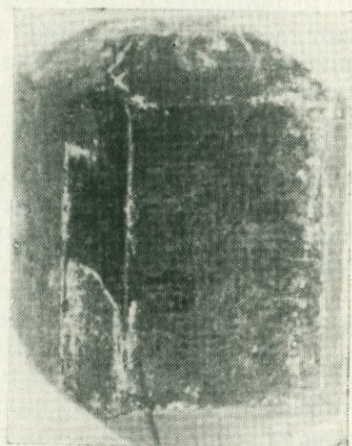


Рис. 82. Призматический кристалл
везувиана из пегматита (Тексар-
ский массив). Увел. 2. По Б.М.
Меликсетяну.

Цирконосиликат натрия, кальция и редких земель установлен Б. М. Меликсетяном в нефелиновых пегматитах и аplit-пегматитах Памбака. Установленный цирконосиликат Na, Ca, TR близок

Химические составы* везувианов из Сурбкарских
контактово-инфилтратационных скарнов

Таблица 153

Оксиды	SiO ₂	TiO ₂	Al ₂ O ₃	Fe ₂ O ₃	FeO	MnO	MgO	CaO	Na ₂ O	K ₂ O	H ₂ O +	Сумма
882	36,38	0,90	15,57	4,50	0,71	0,05	3,96	36,45	0,10	0,12	1,08	99,82
883	36,19	0,80	15,89	3,88	0,86	0,05	4,04	36,73	0,61	0,61	1,63	100,29
661	33,85	0,74	15,12	4,24	0,51	0,06	4,35	37,10	0,05	0,02	2,20	100,24

* Аналитики И. А. Ерибекова, НИГМИ, Ереван (882, 883), А. А. Петросян, ИГН АН АрмССР (661).

к катаплеиту (?) и образует необычные для циркона таблитчатые ромбовидные кристаллы со скошенными краями.

Цвет минерала бледно-желтый, золотистый, иногда с розовым оттенком. Прозрачен. Одноосный положительный. Слабо плеохроирует. Показатели преломления: $Ng = 1,846 - 1,858$, $Np = 1,810 - 1,826$. Двупреломление порядка $0,020 - 0,035$. Очень характерно присутствие по длиной оси ромбовидных кристаллов узких, стреловидных врастаний (возможно закономерных срастаний) серовато-желтого непрозрачного циртолита (или ксенотима).

Рентгенометрический анализ позволил высказать мнение о принадлежности минерала к группе циркона, хотя имеются дифракционные линии, принадлежащие к катаплеиту, власовиту, келдышиту и другим цирконо-титано-силикатам (табл. 154). Необходимо подчеркнуть, что эта группа цирконо (-титано) силикатов представлена весьма многочисленными минералами, до настоящего времени изученных сравнительно слабо, кроме того ежегодно в щелочных комплексах Гренландии и Кольского полуострова открываются все новые минеральные виды, причем, как правило, они содержат Na, Ca, Nb, TR, часто Al и Fe³⁺.

Чисто отобранные кристаллики цирконосиликата были подвергнуты микроспектральному анализу: Si (>3%), Na (0,5%), Ca (0,6%), Zr (>10%), Hf (>1,0%), Y (0,3%), Yb (0,03%), La, Ce (0,2%), Sc (0,06%), Ti (0,15%), Ba (0,02%).

Имеющиеся данные не позволяют однозначно диагностировать минерал, однако учитывая необычные для циркона кристаллографические формы, оптические константы, химический состав и рент-

Таблица 154

Межплоскостные расстояния цирконосиликата Na, Ca, TR

I	d/n	I	d/n	I	d/n
8	4,44	3	1,488	2	0,965
10	3,232	7	1,386	4ш	0,921
9	2,495	3	1,287	4	0,905
2	2,344	5	1,258	4	0,896
1	2,201	6	1,194	5	0,861
5	2,058	5ш	1,110	1	0,844
5	1,903	5ш	1,064	5	0,836
10	1,704	5ш	1,051	1	0,812
6	1,647	1	1,006	1	0,801
1	1,542	3	0,978	—	—

Анализ выполнен в лаборатории ИГН АН АрмССР Ревазовой Н. В. Условия съемки: Cua, D=57,3 мм, шарик. Эксп. 12 ч.

геноструктурные данные (табл. 154) следует предполагать о возможности присутствия нового необычного цирконосиликата $\text{Na}_x\text{Ca}_y\text{TR}_z$, близкого к группе катаплеита.

Окончательное решение этого вопроса требует дополнительных исследований. Не исключено, что столь необычные формы кристаллов и свойства являются следствием двойникования и прорастания с циртолитом в условиях высокой концентрации натрия, кальция, титана и редких земель.

Ассоциирует с цирконом, рутилом, анатазом, орбитом и другими редкометальными минералами щелочных и гранитных пегматитов Памбака.

Циркон—циртолит ($\text{Zr}, \text{Hf}, \text{TR}, \text{Th}, \text{U} [\text{SiO}_4]$). Химический состав варьирует: ZrO_2 —40—65 %, SiO_2 —25—35 %, и изоморфные примеси: HfO_2 —0,5—4 %, $\text{TR}_2\text{O}_3 + \text{Y}_2\text{O}_3$ —до 16 %, ThO_2 —до 7 %, U_3O_8 до 1,5 %, а также в метамиктных разностях H_2O , P_2O_5 , BeO , Nb_2O_5 , Al_2O_3 .

Цирконы, а также его метамиктные редкометальные разновидности (малакон, альбит, хагаталит, циртолит и др.), объединяемые под собирательным названием циртолит-малакон, являются наиболее распространенными редкометальными минералами всех известных типов (магматических, пегматитовых) редкометальной минерализации на территории Армении.

Циркон встречается в виде хорошо образованных тетрагональных короткопризматических кристаллов (рис. 83), размером от 0,1 до 1—2 мм, редко 5—7 мм, с хорошо развитыми гранями (100), (110), (111), (131), реже (221). Выделяются несколько морфогенетических разновидностей. В Мегринском комплексе: 1) темно-розовые коротко-призматические; 2) бесцветные удлиненно-призматические и 3) серовато-бурые призматические (циртолитовый тип). В Памбакском комплексе они более разнообразны: 1) красновато-розовые изометричные; 2) зеленоватые короткопризматические; 3) водяно-прозрачные удлиненно-призматические; 4) серовато-бурые, красно-коричневые нормально-призматические кристаллы (циртолитовый тип).

У метамиктных разновидностей циркона часто наблюдается искривление граней и ребер кристаллов, взаимные с ксенотитом закономерные срастания. Цирконы в гранитоидах, нефелиновых сиенитах и различных типах пегматитов отличаются габитусным типоморфизмом в зависимости от физико-химических условий кристаллизации и уровня щелочности (Меликсян, 1968, 1972, 1976).

Под микроскопом в проходящем свете цирконы, как правило, содержат включения цирконов ранней генерации, газово-жидкие включения, имеют иногда зональное строение. Цирконы включены в полевые шпаты и биотиты. Показатели преломления варьируют

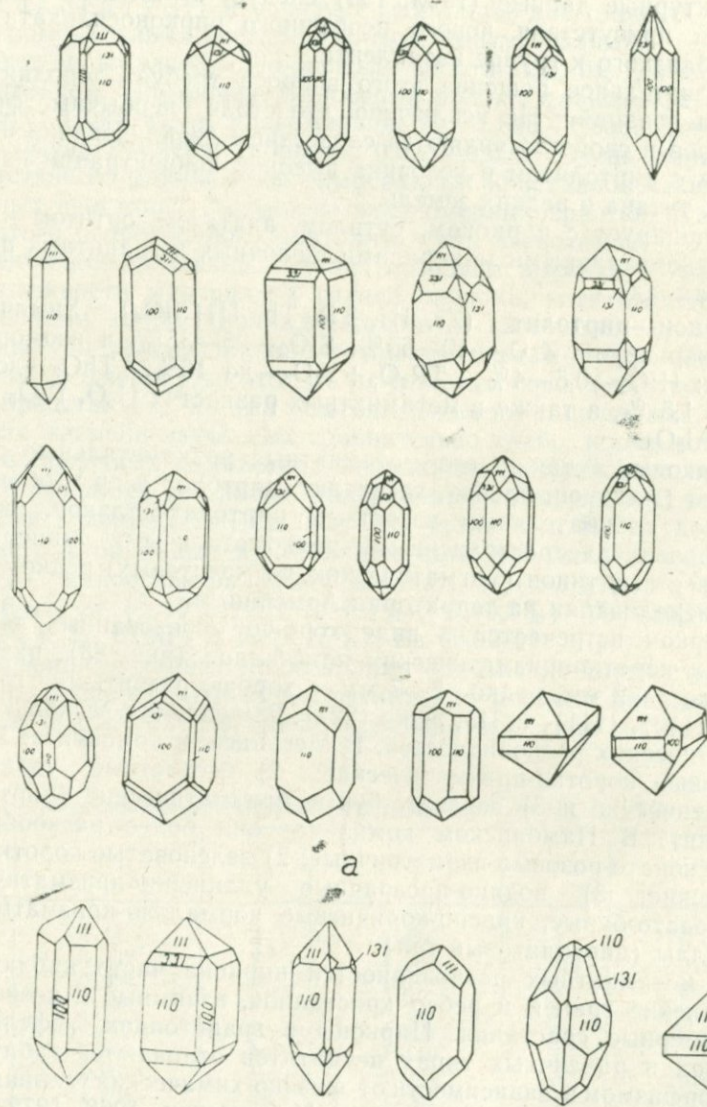


Рис. 83. Формы кристаллов и основные морфологические особенности циркон-циртолитов Мегринского (а) и Памбакского (б) комплексов. По Б. М. Мелик-сетяну.

в широких пределах; а) для прозрачных кристаллических разностей: $Ng = 1,965 - 1,950$, $Np = 1,930 - 1,910$, $Ng - Np = 0,06 - 0,07$; б) для метамиктных разностей понижаются: $Ng = 1,960 - 1,830$, $Np = 1,920 - 1,810$. Часто в метамиктных разностях двупреломление понижено, а нередко такие цирконы изотропны.

Таблица 155

Межплоскостные расстояния циркона и циртолита

Циркон		Циртолит		Циркон		Циртолит	
I	d/n	I	d/n	I	d/n	I	d/n
7	4,43	4	4,58	1	1,544	—	—
1	4,20	—	—	5	1,473	5	1,487
10	3,20	10	3,37	6	1,376	6	1,386
2	2,64	7	2,56	4	1,360	4	1,367
10	2,510	—	—	2	1,287	2	1,291
2	2,334	3	2,36	2	1,265	3	1,260
2	2,208	1	2,230	3	1,107	5	1,111
7	2,068	4—5	2,080	2	1,100	3	1,101
5	1,911	3—4	1,926	4	1,059	3	1,064
1	1,743	2	1,760	2	0,970	2	0,978
10	1,710	9	1,700	3	0,897	3	0,893
6	1,642	6	1,656	4	0,833	3	0,834

Анализ выполнен в лаборатории УГ СМ АрмССР. Условия съемки: Сиа, $D=57,3$ мм, $d=0,45$. Экспл. 12 ч.

Рентгенометрические исследования кристаллических и метамиктных цирконов (табл. 155) показали, что параметры элементарной ячейки, как правило, возрастают; 1) цирконы: $a_0=9,336\text{ \AA}$, $c_0=5,945\text{ \AA}$; б) циртолиты: $a_0=9,38-9,44\text{ \AA}$, $c_0=5,97-5,99\text{ \AA}$.

Химические анализы различных морфогенетических разновидностей циркона и циртолита приведены в таблицах 156, 157.

Обращает внимание резкая обогащенность серо-бурых циртолит-малаконов Hf (2,5—3,5%), TR (0,7—1%), Y (1—3,0%), Th (1—3%), U (1—3%), а также Nb (0,1—0,3%), Be (0,001%), кроме того V, Cu, Pb (0,1—0,3%), встречаются Al, Ca, Na, Ti, играющие роль компенсирующих ионов при гетеровалентном изоморфизме (рис. 84).

Для состава лантаноидов характерны, особенно для метамиктных разностей, цериевый, гадолиниевый, диспрозиевый, эрбьевый и иттербиевый максимумы. На долю редких земель иттриевой группы падает от 30% в цирконах до 75% в циртолитах от суммы редких земель. Как правило, циркон-циртолиты из пегматитов и альбититов более обогащены редкими элементами, чем из интрузивных пород. Если цирконы выделяются на всем протяже-

нии магматического и позднемагматического процессов и образуют целый ряд генераций, то циртолит-малаконы образуются при воздействии остаточных пневматолито-гидротермальных флюидов. Этим объясняется связь появления значительного количества циртолита в альбитизированных и мусковитизированных разностях пород и пегматитов. Как правило, цирконы и циртолиты тесно ассоциируют с биотитом, мусковитом, турмалином, флюоритом, топитом, ксенотитом, уранинитом и tantalо-ниобатами.

Таблица 156
Химический состав циркон-циртолитов*

	Памбакский комплекс			Мегринский комплекс		
	бесцветный	зеленый	серо-бурый	бесцветный	розовый	серо-бурый
SiO ₂	—	—	—	—	28,3	23,40
ZrO ₂	50,0	41,0	49,0	42,0	41,5	43,0
HfO ₂	0,60	0,45	2,67	1,52	0,49	2,5—3,5
ΣTR ₂ O ₃	0,61	0,60	1,0	0,7	0,30	0,70
Y ₂ O ₃	0,90	0,30	1,0	1,0	1,0	3,0
ThO ₂	0,45	0,40	1—3	0,35	0,07	1,63
U ₂ O ₈	1,0	0,042	0,1—0,3	0,03	0,04	3,0
Nb ₂ O ₅	0,3	0,3	0,3	0,1	0,01	0,1
Al, Na	1—2	1—3	3—5	0,3—1	3,0	3—5

* Химические определения Nb₂O₅, TR₂O₃, Y₂O₃, ZrO₂, SiO₂ выполнены в химлаборатории ИМГРЭ, Zr, Hf—в рентгеноспектральной лаборатории ГЕОХИ, а U, Th—в АргМГУ.

Аксессорный циркон широко распространен во всех типах интрузивных пород и пегматитов. Однако наибольшие их концентрации (1—3—5%) и повышенная редкометальность характерны для высокоглиноземистых нефелиновых (Тексар, Мегри) сиенитов и

Таблица 157
Состав редкоземельных элементов в цирконах от ΣTR₂O₃=100%

	La	Ce	Pr	Nd	Sm	Eu	Gd	Tb	Dy	Ho	Er	Tu	Yb	Lu
1	14,0	36,0	4,6	13,0	2,4	0,5	2,5	0,4	8,6	1,5	8,5	2,0	10,2	0,8
2	6,5	20,6	2,4	3,1	2,4	1,5	4,0	0,5	6,2	1,5	13,0	3,2	22,2	10,6
3	18,0	45,0	3,4	9,0	1,5	0,1	1,5	0,2	2,3	0,5	5,0	1,0	11,0	1,9
4	5,4	13,0	0,2	0,9	0,9	0,5	3,4	0,6	8,3	2,0	18,0	3,1	38,0	5,4

* Расшифровка состава лантаноидов Р. Л. Баринским (ИМГРЭ).

связанных с ними калиевых замещенных пегматитов, зон и тел альбититов (Бжни) и флюорит-биотитовых гидротермальных (Памбак).

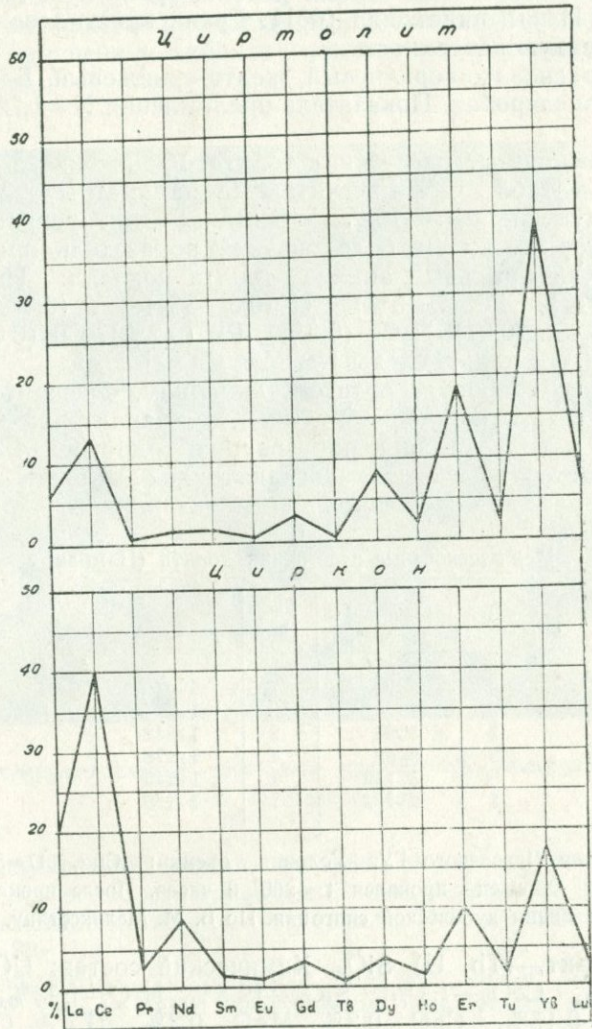


Рис. 84. Распределение РЭЭ в цирконах и циртолитах. По Б. М. Меликсяну.

Торит— ThSiO_4 . Химический состав: ThO_2 —41,44 %, UO_3 —22,43 %, CaO —0,41 %, Pb —2,16 %, SiO_2 —13,09 %, Fe_2O_3 —0,84 %.

Торит встречается преимущественно в щелочных и нефелино-

вых сиенитах и связанных с ними сиенитовых и фельдшпатоидных пегматитах (Зангезур, Памбак).

Образует тетрагонально-призматические кристаллы, часто пластинчатого облика. Отчетливо развита грань призмы (110), бипирамиды (111) и пинакоида (001). Границы кристаллов имеют матовую шершавую поверхность.

Цвет красновато-коричневый, желто-оранжевый, блеск смоляный. Изотропизирован. Показатель преломления $N=1,724 \pm 0,003 - 1,74 \pm 0,003$.

Межплоскостные расстояния торита, прокаленного при 900°C , приведены в табл. 158. Рассчитанные параметры элементарной ячейки следующие: $a_0 = 7,16\text{\AA}$, $c_0 = 6,29\text{\AA}$. Гидратированные разности (гидроторит) имеют более низкий показатель преломления: $N=1,712$. Спектральный анализ торита показал: Th ($>10\%$), Zr (0,3—1,0%), Fe (1—3%), U (0,3—3%), Y (0,3—1,0%), Yb (0,1—0,3%), Sc (0,01%), Ce (0,3%), Pb (0,2%), Cu (0,03—0,1%), P (0,3—1,0%), а также следы Na, Mg, Ca, Al и др.

Торит ассоциирует с ортитом, цирконом, флюоритом, бритолитом, давидитом, титанониобатами и др. Характерна для торита способность к гидратации и образованию гидроторита (с Ca, Fe, Al). Встречается во всех типах гранитоидов Армении как акцессорный минерал, но более часто в пегматитах.

Таблица 158

Межплоскостные расстояния торита (Памбак)

l	d/n	l	d/n
7	8,6	7	1,945
3	6,5	10	1,684
1	3,64	2	1,342
2	3,58	4	1,278
9	3,159	1	1,245
4	2,792	1	1,128

Лаборатория Львовского ГУ. Условия съемки: Сua, D=57,3 мм, d=0,4 мм. Образец прокален t=900° 6 часов. После прокаливания появляются линии кубической сингонии. По Б. М. Меликсяну.

Ураноторит—(Th, U) SiO_4 . Химический состав: UO_2 —11,5%, ThO_2 —62,6%, CeO_2 —1,1%, SiO_2 —19,5%, H_2O —1,93%, Fe_2O_3 —2,3%, PbO —0,47%, CaO —0,3%, MgO —0,3% (Г. А. Сидоренко, 1960).

Ураноторит постоянно встречается во всех фациях пород интрузии порфировидных гранитоидов олигоцен-миоценового возраста, но особенно часто в аплит-пегматитах и пегматитах Мегринского и Памбакского plutонов.

Ураноторит образует тетрагональные призматически-бипирамидальные кристаллы (рис. 85) с хорошо развитыми гранями призмы (110) и бипирамиды (111). Реже отмечается призма (100) и бипирамида (331). Кристаллы иногда деформированы, изогнуты. На гранях кристаллов часты корочки желто-белых землистых продуктов изменения—хиллита—водного сульфосиликата тория, урана, железа.

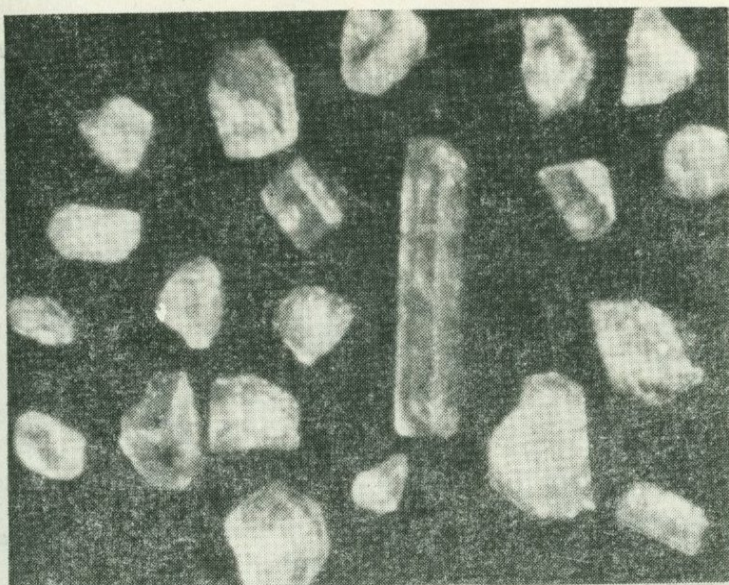


Рис. 85. Изумрудно-зеленые кристаллы ураноторита (Мегринский plutон).
По Б. М. Меликсяну.

Цвет изумрудно-зеленый, зеленый, желто-зеленый. Прозрачный. Под микроскопом просвечивает желто-зеленым цветом. Изотропен вследствие метамиктного распада. Показатель преломления $N \geq 1,78-1,80$.

Рентгенограмма ураноторита получена после прокаливания при $t=900^\circ$ (табл. 159). Вычисленные параметры элементарной ячейки: $a_0=7,16 \text{ \AA}$, $c_0=6,36 \text{ \AA}$.

В зеленом ураноторите химическим анализом установлено $\text{UO}_2=9,8\%$, а кроме того спектральным анализом—основные компоненты состава (табл. 160).

Кроме того, в виде примеси спектральным анализом установлены: Be (0,003—0,01%), Li (0,001%), Sn (0,001%), Mn (0,03%), Al (0,01—0,3%), Nb (0,003—0,01%), Ba (0,003%) и др.

Ураноторит — характерный минерал порфировидных гранитоидов и гранитных пегматитов, встречается в ассоциации с ксенотитом, циртолитом, гидроторитом, флюоритом, эвксенитом, са-маркситом и уранинитом. Нахождение ураноторита ограничивается поздними фазами гранитондов Мегринского и Памбакского плу-тонов.

Таблица 159

Межплоскостные расстояния ураноторита

М е г р и			
1	d/n	1	d/n
4	4,74	10	1,976
9	3,58	6	1,890
4	3,307	10	1,688
5	3,005	3	1,387
5	2,850	5	1,262
4	2,189	3	1,071

Анализ выполнен в лаборатории ИГН АН АрмССР, Хуршудян Э. Х. Условия съемки: Fea, D=57,3, d=0,6 мм. Обр. прокален t=900° в течение 3 ч.

Таблица 160

Химический состав ураноторита* (в %)

	Si	Th	U	Ca	Fe	Zr	Pb	Y	Yb	Sc	P
1	>10	5—10	>5	1,0	0,3—1,0	0,1	0,01	0,1—0,3	0,03	0,001	0,3—1,0
2	>10	>5	>5—10	1,0	0,3—10	0,3	0,03	0,3	0,03	—	0,3—1,0

* По данным приближенно-количественных спектральных анализов, выполненных в лаборатории ИГН (М. Я. Мартиросян).

1. Порфировидный гранит (Мегри); 2. Порфировидный граносиенит (Памбак).

Вёлерит — $\text{NaCa}_2(\text{Zr}, \text{Nb})[\text{SiO}_4]_2\text{F}$. Химический состав, по данным И. П. Тихоненкова и М. Е. Казакова: SiO_2 — 30,32%, Nb_2O_5 — 16,79%, Zr — 15,53%, CaO — 28,15%, Na_2O — 7,87%, FeO — 2,4%.

Образует призматические и таблитчатые кристаллы тетрагональной сингонии (рис. 86). Размеры кристаллов 0,2—3 мм. Обычны удлиненно-призматические, реже таблитчатые кристаллы. Цвет велерита от бледно-лимонно-желтого до желто-коричневого. Прозрачен. Блеск стеклянный. На гранях кристаллов характерна вертикальная штриховка и отчетливая спайность в двух направлениях. Двусный, отрицательный. Удлинение отрицательное, $-2v = 46\text{--}59\%$, $N_g' = 1,730$, $N_p' = 1,712$. Двупреломление порядка 0,012—0,020.

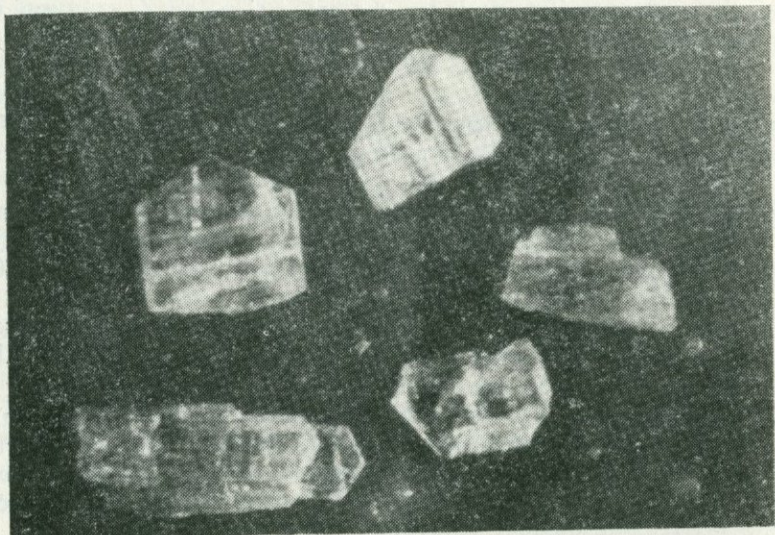


Рис. 86. Призматически-пластинчатые кристаллы лимонно-желтого велерита.
Увел. 12. По Б. М. Меликсеяну.

Данные рентгенометрического анализа (табл. 161) указывают на близость к эталонному велериту по Е. И. Семенову (1958).

Характерной особенностью химического состава велерита являются примеси: Ti (0,01%), Hf—0,03%, Y—0,1%, Ce—3,0%, La—1%, Th—0,3—1%. Приведенный состав близок к редкоземельно-му—велериту. Велерит встречается в высокоглиноземистых нефелиновых сиенитах и пегматитах, особенно фельдшпатоидных разностях, а также в альбититах в ассоциации с цирконом, бадделеитом, пирохлором, лопаритом, сфеном, флюоритом и меланитом.

Таблица 161

Межплоскостные расстояния велерита

I	d/n	I	d/n	I	d/n
3	3,34	2	2,212	3	1,665
4	3,27	1	2,080	2	1,541
3	3,16	3	1,994	5	1,485
1	3,00	4	1,941	1	1,420
10	2,895	6	1,892	3	1,263
2	2,806	4	1,800	3	1,139
2	2,615	5	1,771	3	1,110
1	2,550	5	1,727	2	1,051
1	2,315	5	1,653		

Анализ выполнен в лаборатории ИГН АН АрмССР Хуршудян Э. Х. Условия съемки: Cu/a, D=57,3, d=0,5. Экспл. 10 ч.

Иттриалит— $(Y, La, Th)_2Si_2O_7$. В химическом составе иттриалита (таленита) от $\Sigma TR_2O_3 = 50 - 65\%$, на долю иттрия и редких земель иттриевой группы приходится 45—60%, SiO_2 —28—30%, FeO —1,5—4,0%, ThO_2 —1—10%.

Иттриалит встречается в ультракалиевых мусковит-микроклиновых пегматитах, развитых в эндо-экзоконтактовом ореоле Шванидзорского щелочного комплекса.

Встречается в виде моноклинно-призматических кристаллов с плохо сохранившимися гранями (100), (110), (111). Чаще встречается в выделениях неправильной формы с характерным ячеисто-агрегатным строением. Обычно находится в метамиктном состоянии. Рентгеноаморфен. Изотропен, N=1,75—1,78.

Цвет оранжевый, желто-зеленый, зеленовато-бурый, реже красновато-бурый. Судя по черным включениям, возможно образуется при замещении эвксениита, гадолинита и др.

Таблица 162

Приближенно-количественный спектральный анализ иттриалита

	Si	Al	Fe	Ti	P	CaF	Be	Nb	Y	Yb	La	Ce	Th	U
1	>10	1,0	1—3	~1,0	0,3	~1,0	0,03	0,05	1—3	0,1	>3	>1	3—10	0,3—1
2	>10	0,3	0,3—1	~1,0	0,3	0,3	0,01	0,01	>5	1,3—	>3	>1	1—10	0,1—0,3

1—Полевошпат-мусковитовый пегматит; 2—Мусковит-альбитовый пегматит.

Приближенно-количественным спектральным анализом (табл. 162) установлены наиболее характерные особенности состава иттриалита Y , La , Ce , Si , Th , U ($>3-10$), а железосодержащая разность (анализ 1) относится к роуландиту. Кроме того, встречаются Zr (0,03—0,1%), Pb (0,03%), As (0,03—0,1%), Li (0,001%), Sc (0,01—0,03%), Ga (0,003%).

Встречается в ассоциации с эвксенитом, ксенотитом, монацитом, бломстрандин-приоритом, гадолинитом, гельвином, циртолитом в полевошпат-мусковитовых пегматитах (Алдара, Шванидзор) Мегринского plutона.

Гадолинит — $Y_2FeBe_2[Si_2O_{10}]$. Характерной особенностью состава является высокое содержание иттрия и ΣY_2O_3 — 42—50%, BeO — 8—10%, ΣCe — 10—15%, а также U и Th (3—10%).

Гадолинит встречается в виде плоско-призматических кристаллов и осколков неправильной формы. Блеск сильный, смоляный. Внешне похож на ортит. Цвет буровато-черный. Показатель преломления в неизотропизированных участках $N_g \geq 1,78$, $N_p = 1,764-1,768$. Угол оптических осей большой ($+2V = 78-82^\circ$). Оптически положительный, двуосный. Плеохроизм в зеленых тонах.

Значительная часть зерен находится в изотропизированном метамиктном состоянии. Даже после прокаливания ($t=900^\circ$) дает нечеткую дифракционную картину (табл. 163). Между тем особенности химического состава очень показательны. Весьма высокие концентрации в минерале Y , ΣY , Be , и радиоэлементов, а также Bi , Sn , Hf , B , Li указывают на необычные условия его образования в калиевых щелочных пегматитах Шванидзорского щелочного комплекса. Повышены одновременно содержания редких земель церневой группы (табл. 164).

Таблица 163

Межплоскостные расстояния гадолинита (Мегри)

I	d/n	I	d/n
6	3,48	7	1,880
10	3,16	8ш	1,775
9ш	2,85	5	1,670
10ш	2,59	4	1,560
3	2,40	6ш	1,176
5	2,30	4	1,111
3	2,12	5	1,025

Анализ выполнен в лаборатории ИГН АН АрмССР Хуршудян Э. Х. Условия съемки: Fea , $D=57,3$, шарик. Прокален $t=900^\circ$ 3 ч.

Кроме того, в виде примеси установлены: Ti (0,5%), Zr (1,0%), Pb (0,1%), Sb (0,03%), Bi (0,03%), Mn (0,3—1,0%), Li 241

(0,001%), Ga (0,003%). Очень редкий минерал. Встречается в ассоциации с хризобериллом, эвксенитом, уранинитом, циртолитом, иттриалитом, флюоритом, бетафитом в мусковит-полевошпатовых пегматитах Шванидзорского щелочного комплекса (Мегри).

Церит— $(\text{Ce}, \text{La}, \text{Y}, \text{Th})_2[\text{Si}_2\text{O}_7] \cdot \text{H}_2\text{O}$. Химический состав церитов: $\Sigma \text{Ce} = 65-70\%$, $\Sigma \text{Y} = 1-5\%$, $\text{Th} = 1-2\%$, $\text{SiO}_2 = 15-20\%$.

Церит редкий минерал фельдшпатоидных, мусковит-полевошпатовых пегматитов и зон щелочных метасоматитов Шванидзорского и Тежсарского щелочного комплексов.

Церит обычно встречается в виде серовато-белых, желтоватых, фарфоровидного облика, бесформенных выделений. Очень редки кристаллы псевдооктаэдрического габитуса. Характерной особенностью агрегатов церита являются включения черных микроскопических выделений титанониобатов, за счет которых он развивается. Цвет серовато-желтый, белый. Под микроскопом проявляется ячеисто-агрегатное строение. Изотропен. Показатели преломления высокие: $\text{Ng} = 1,825$, $\text{Np} = 1,810$, но по сравнению с ассоциированными фтор-карбонатами редких земель (паризитом) и рабдофанитом двупреломление низкое ($\text{Ng} - \text{Np} \approx 0,015-0,020$).

Таблица 164
Химический состав гадолинита*

Fe	Be	Y	La	Ce	Yb	Er	Eu	Nb	Hf	Sn	Th	U
>5	>10	>3	1-3	0,3-1	1,0	0,03	0,01	1,0	0,1	0,03	1-10	0,3-1

* По данным приближенно-количественных спектральных анализов, выполненных в спектральной лаборатории ИГН АН АрмССР.

Спектральные анализы показывают высокие (3-10%) содержания: церия, лантана, тория и кремния, а также Nb (0,1-0,3%), Pb (0,03-0,1%), Bi (0,01%), Li (0,01%), Be (0,003%), U (0,1-0,3%) и следы Zr, Hf, Ta, Cu, Sb, B, Ti, Mn.

Церит ассоциирует с рабдофанитом, гадолинитом, циртолитом, монацитом, торитом, паризитом, орбитом в щелочных натриевых и калиевых типах пегматитов, реже в зонах поздней мусковитизации и альбитизации нефелиновых сиенитов.

Встречен в пределах Шванидзорского и Тежсарского комплексов.

Тернебомит— $\text{CeAlSi}_2\text{O}_8\text{F}$. Состав (по данным Н. В. Свяжина, 1962): $\Sigma \text{Ce}_2\text{O}_3 = 62,88\%$, $\text{SiO}_2 = 20,33\%$, $\text{Al}_2\text{O}_3 = 10,11\%$, $\text{Fe}_2\text{O}_3 = 2,61\%$, $\text{CaO} = 2,46\%$, п. п. (F) = 0,78, $\text{MgO} = 0,92\%$.

Этот необычный по составу ферро-алюмо-силикат церия, содержащий вместо фосфора фтор, был обнаружен в нефелин-содалитовых пегматитах Тежсарского комплекса.

Тернебомит образует гексагонально-призматические кристаллы с хорошо развитыми гранями бипирамид. Габитус кристаллов: игольчатый. Цвет зеленовато-желтый и зеленый. Характерен плеохромизм от ярко-красного по Ng до синевато-зеленого по Nm и зелено-желтого по Nr. Показатель преломления $Ng \geq 1,87$, $Np = 1,83$, $Ng - Nr = 0,040$. Оптически двуосный, положительный. Часто метамиктный, изотропизированный; рентгенограмма дана в табл. 165, что близко к эталону (Свягин, 1962). Спектральные анализы тернебомита показали: Si (>3%), Al (1—3%), Ca, (1—3%), Fe (1—3%), La ($\geq 3,0\%$), Ce (>10%), Th (>3,0%), U (0,3%), Yb (0,3%), а также Nb (0,03%), Bi (0,01%), Zn (0,01%), Cu (0,001%), Ti (0,03%), V, Na и др.

Таблица 165.

Межплоскостные расстояния тернебомита (Тежсар)

I	d/n	I	d/n
3	3,95	7	2,65
4	3,45	2	2,57
5	3,17	6	2,52
10	2,87	3	2,45
4	2,77	—	—

Анализ выполнен в лаборатории ИГН АН АрмССР Хуршудян Э. Х. Условия съемки: Fea, D=57,3, d=0,45. Обр. прокален 3 ч. $t=950^\circ$.

Характерная для тернебомита ассоциация минералов включает церит, монацит, велерит, флюорит, бритолит и другие редкоземельные минералы в оригинальных содалит-нефелиновых пегматитовых жилах Памбакского щелочного комплекса.

Гелландит— $Y_2Ca_2Al_2Si_3O_{14} \cdot 4H_2O$. По химическому составу близок к иттриоритту: $\Sigma Y = 35—40\%$, $SiO_2 = 23—55\%$, $Mn_2O_3 = 5,63—5,91\%$, $Fe_2O_3 = 2,64—2,56\%$, $Al_2O_3 = 10,22\%$, $CaO = 10,05\%$, $H_2O = 7—11\%$ (по Е. Н. Семенову).

Этот редкий алюмосиликат кальция был обнаружен в розовых фельдшпатолитах Бундукского интрузива щелочных сиенитов.

Образует весьма совершенные кристаллы с сильно развитыми гранями призмы (100), (110) и сложных бипирамид (301), (308), (201), и (103). Облик кристаллов столбчатый со склоненны-

ми вершинами. Окраска кристаллов ярко-желтая, желто-коричневая. Прозрачный, со стеклянным блеском.

В проходящем свете просвечивает лимонно-желтым цветом со слабым плеохроизмом $\text{Ng} > \text{Nr}$. Двусный положительный. Показатели преломления: $\text{Ng}' = 1,639$, $\text{Nr}' = 1,631 \pm 0,003$. Двупреломление порядка 0,010. Рентгеноаморфен.

Спектральный анализ небольшой навески показал сильные (более 1—3%) линии иттрия, кальция, магния, кремния, марганца.

Гелландит ассоциирует с давидитом, ксенотитом, ураноторитом, ильменитом, иттротитанитом, циртолитом, бритолитом и др. в измененных фельшпатолитах Бундукского массива, залегающих вдоль южной эндоконтактовой зоны.

Гелландит достаточно надежно диагностируется по характерной форме кристаллов, оптике и составу.

Меланоцерит — $\text{Ce}_4\text{CaBSi}_2\text{O}_{12}(\text{OH})$. Состав: $\Sigma\text{Ce}_2\text{O}_3 = 40—45\%$, $\Sigma\text{Y}_2\text{O}_3 = 3—10\%$, $\text{B}_2\text{O}_3 = 3—7\%$, $\text{CaO} = 7—10\%$, $\text{SiO}_2 = 12—13\%$. Образует кристаллы гексагонально-призматического габитуса. Нередки шестоватые кристаллические агрегаты. Как правило, кристаллы меланоцерита (кариоцерита) корродированы, покрыты корочкой желтого высокодвупреломляющего вторичного минерала (рабдофанита?).

Изотропен, $N = 1,730—1,768$. Цвет черно-бурый, буро-коричневый. Размеры кристаллов варьируют 0,5—1,5 мм.

Рентгенометрический анализ (табл. 165) и рассчитанные параметры элементарной ячейки ($a_0 = 8,16 \text{ \AA}$, $c_0 = 6,87 \text{ \AA}$) указывают на идентичность меланоцерита, обогащенного торием (до 0,5—1,0%) (кариоцерита) с эталоном.

Приближенно-количественный спектральный анализ показал высокое содержание церия, иттрия, урана и тория: $\text{Si} = 0,5—1\%$, $\text{Al} = 0,3—1\%$, $\text{Y} = 0,3—1\%$, $\text{Yb} = 0,3\%$, $\text{La} > 3\%$, $\text{Ce} > 10\%$, $\text{U} = 0,3\%$, $\text{Th} = 0,3—1\%$.

В виде примеси встречаются Zr (0,1—0,3%), Cu (0,001%), Pb (0,005%), B (0,1—0,3%), V (0,01%). Характерно постоянное присутствие фтора и бора, иногда до 1,0%.

Кариоцерит ассоциирует с пирохлором, гатчеттолитом, ураноторитом, монацитом, бритолитом в породах и пегматитах, подвергшихся метасоматической альбитизации и мусковитизации, альбититах и карбонатитах.

Развит в пределах пегматитовых полей Тежсарского (Уляшник, Тежагет, Омар) и Шванидзорского комплексов (Калер, Алдара).

Таблица 166

Межплоскостные расстояния карноцерита

I	d/n	I	d/n	I	d/n	I	d/n
4	3,42	3	2,24	8	1,840	3	1,727
6	3,07	2	2,134	5	1,805	3	1,268
10	2,80	2	2,030	4	1,780	5ш	1,244
4	2,71	5	1,940	5	1,754	3	1,226

Анализ выполнен в лаборатории ИГН АН АрмССР Хуршудян Э. Х. Условия съемки: Fea, D=57,3 мм, d=0,45, эксп. 24 ч. Образец прокален t=900°.

Карнасуртит—CeTiAlSi₂O₉·5H₂O. Состав: ΣTR₂O₃—15—17%, TiO₂—10—12%, SiO₂—20—30%, Al₂O₃—5—8%, CaO—1—2%, ThO₂—2—6%, Nb₂O₅—2—8%, P₂O₅—2—8%.

Алюмо-ферро-силикофосфат церия обнаружен в нефелиновых, полевошпатовых и альбитизированных пегматитах и флюорит-биотитовых зонах в ассоциации с ортитом, бритолитом, титанониобатами и др.

Встречается в виде пластинчатых кристаллов желтовато-зеленого цвета с характерной, хорошо развитой спайностью попереck уплощенности кристаллов. Внешне очень похож на эпидот.

В иммерсии просвечивает светло-желтым цветом без видимого плеохроизма. Показатель преломления у одноосных кристаллов колеблется в пределах 1,600—1,630. Двупреломление аномальное в ярко-синих тонах.

Таблица 167

Межплоскостные расстояния карнасуртита (T-21) (Тексар)

I	d/n	I	d/n	I	d/n
4	4,02	7	2,56	6	1,759
5	3,47	7	2,49	4	1,621
10	3,15	5	2,12	4	1,588
7	2,97	5	2,02	3	1,534
5	2,82	5	1,916	2	1,416
5	2,65	5	1,829	6	1,336

Анализ выполнен в лаборатории ИГН АН АрмССР Хуршудян Э. Х. Условия съемки: Fea, D=57,3 мм, d=0,45 мм. Эксп. 24 ч. Образец прокален при t=900°.

Описываемый минерал рентгеноаморфен; после прокаливания дал дифракционную картину (табл. 167), близкую к так называемому карнасуриту открытому Кузьменко (1959) в Ловозерских пегматитах. По составу (табл. 168) он оказался близок к алюмобритолиту, содержащему высокие концентрации не только алюминия, но и железа, титана, а также в сотых долях процента V, Mn, Cr, Zr, Cu, Pb, Ge, Ga.

Однако оптические свойства, присутствие кроме алюминия и титана значительного количества железа, стронция, марганца натрия не позволяют отнести минерал к бритолиту. Он более близок к карнасуриту, с рентгенограммой которого дебаеграмма тежсарского алюмо-титано-ферро-силикофосфата церия проявляет заметное сходство. Возможно, это новая промежуточная разновидность между карнасуритом и бритолитом, требующая дополнительных детальных исследований.

Таблица 168

Химический состав карнасурита (по данным спектрального анализа, аналитик М. Я. Мартиросян)

Si	Al	Ca	Fe	Ti	V	La	Ce	Sr	Th	Yb
10	5	3	5	0,3–1	0,05–0,1	1–3	5	0,5	3	0,05

Ринкит—CeNa₂Ca₄Ti[Si₄O₁₅F₃]. Химический состав: $\Sigma \text{TR}_2\text{O}_3 = 12\text{--}21\%$, CaO—22—27%, Na₂O—6—9%, TiO₂=5—15%, SiO₂=27—30%.

Ринкит (ринколит) встречен в нефелиновых и нефелин-содалитовых пегматитах Тежсарского комплекса. Он образует правильные призматические кристаллы (рис. 87) с характерной штриховкой вдоль удлиненности. Кристаллы ринкита имеют иногда игольчатый габитус. Размеры кристаллов от 0,05 до 0,2 мм, редко более. Цвет варьирует от желтого и бледно-желтого до бесцветного. В иммерсии плеохроирует от желтоватого по Ng до бесцветного по Nr. Угасание прямое. Оптически двуосный, положительный, Ng=1,685—1,693, Nr=1,671—1,680. Характерно отрицательное удлинение. Двупреломление низкое, порядка 0,01—0,012, редко достигает 0,003—0,005. Иногда совершенно изотропен. В природном виде рентгеноаморфен. После прокаливания дает дифракционную картину, сходную с эталоном ринкита—ринколита (табл. 169).

Ринколит весьма характерный минерал щелочных пород, особенно нефелиновых сиенитов. Сравнение рентгенограмм указывает на значительное сходство с известными дебаеграммами рин-

колита и ринкита. Некоторые различия связаны с изменчивостью состава минералов этой группы. Химический состав ринкита, по данным спектрального анализа, представлен в табл. 170. Характерно присутствие Ce, La, Yb, Zn, Hf, Nb.

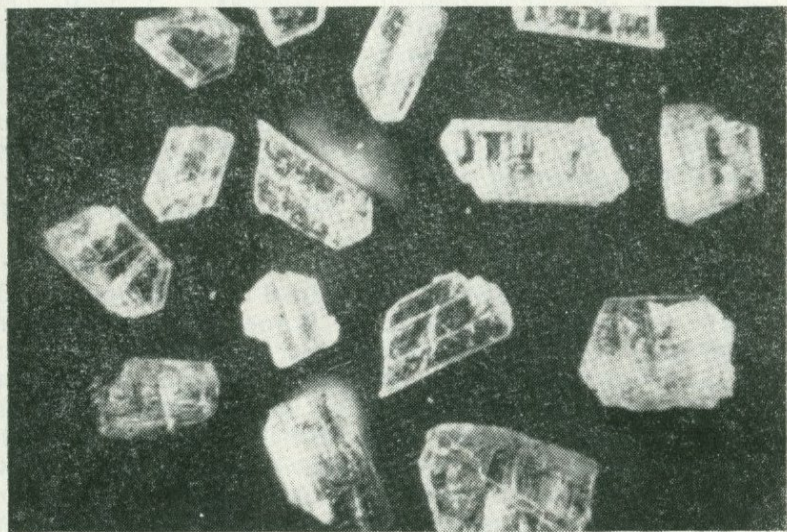


Рис. 87. Желтые пластинчато-призматические кристаллы ринкита (Тексарский комплекс). Увел. 12. По Б. М. Меликсетяну.

Таблица 169
Межплоскостные расстояния ринкита (ринколита) (Тексар)

I	d/n	I	d/n
3,5	3,99	3	2,02
5	3,49	2	1,931
5	3,31	4	1,835
10	3,16	4	1,761
8	2,97	5	1,597
3 ш	2,81	4 ш	1,535
5	2,65	3	1,415
4 ш	2,52	2	1,363
3	2,43	3	1,335
5	2,12		

Анализ выполнен в лаборатории ИГН АН АрмССР Хуршудян Э. Х. Условия съемки: Fea, D=37,3, d=0,45 мм. Эксп. 24 ч.

Таблица 170

Химический состав ринкита (по данным спектрального анализа, аналитик Мартиросян М. Я.)

Si	Ca	Ti	Zr	Hf	Nb	Y	La	Ce	Yb	Th	U
3—5	3	0,3—1	0,8	0,08	0,1	0,5	3—10	10	0,3	3	1

Из других примесей отметим: Al (0,5%), Fe (0,1%), Mn (0,01%), Cu (0,003%), Pb (0,01%), Bi (0,001%), Ga (0,003%), Na (0,10%), P (0,3—1,0%) и др.

Ринколит на Тежсаре приурочен лишь к сильно обогащенным нефелином пегматитам.

Чевкинит— $\text{Ce}_4\text{Fe}_2\text{Ti}_3\text{Si}_4\text{O}_{22}$. Химические анализы указывают на высокое содержание ΣCe —40—45%, Th—1—4%, TiO_2 —15—20%, Nb_2O_5 —0,5—5%, Fe_2O_3 —3—7% и др. Встречается в альбит-мусковитовых пегматитах щелочных комплексов Памбака, Зангезура.

Чевкинит образует пластинчатые кристаллы моноклинной сингонии, но чаще встречается в виде неправильных выделений. Цвет черно-бурый, буро-оранжевый. Блеск сильный, смолистый. Под микроскопом плеохроирует в бурых тонах по Ng и до бледно-коричневого по Nr. Оптически двусочный положительный. Показатель преломления варьирует $N=2—2,1$. Частично изотропизирован.

Таблица 171

Межплоскостные расстояния чевкинита

I	d/n	l	d/n
6	4,67	4	2,900
5	3,70	2	2,568
3	3,51	3	2,460
2	3,40	1	2,332
6	3,23	3	1,686
4	3,14	1	1,590
2	2,97	1	1,540

Анализ выполнен в лаборатории ИГН АН АрмССР Ревазовой Н. В. Условия съемки: $D=57,3$, $d=0,4$ мм. Образец не прокален.

Рентгенограмма чевкинита в связи с изотропизацией дает неудовлетворительную дифракционную картину (табл. 171), сходную с эталоном чевкинита (Семенов Е. И., 1963).

Спектральным анализом (анал. М. Я. Мартиросян) установлены: Si ($>8,0\%$), Al (1—3%), Mg (0,3%), Ca ($>10\%$), Fe (0,6—1,0%), Na (0,3%), Ti ($>10\%$), Nb (0,05%), Y (0,5—0,7%), Yb (0,05%), La (6,0%), Ce ($>8,0\%$), Sr (0,4%), Ba (0,06%), P ($>1—3\%$), Sc (0,03%), Th (1—3%).

Нахождение чевкинита в альбитизированных мусковитизированных пегматитах полевошпатового состава, в ассоциации с редкоземельными минералами—сфеном, ортитом, монацитом, велеритом, пирохлором, возможно связано с изменением титанита. Обнаружен в пределах развития щелочных пород Мегринского и Памбакского plutонов.

Берилл— $\text{Al}_2\text{Be}_3[\text{Si}_6\text{O}_{18}]$. Химический состав: BeO —14,1%, Al_2O_3 —19%, SiO_2 —66,9%, часто Na до 1—2,5%.

Обнаружен А. К. Бабаджаняном (1970) внутри Шванидзорского щелочного комплекса в слюдисто-полевошпатовых пегматитовых маломощных жилах в ассоциации с микроклином, мусковитом, биотитом.

Кристаллы берилла имеют короткостолбчатый габитус с хорошо развитыми гранями гексагональной призмы (1010), дипирамиды (1011) и пинакоида (0001). Иногда кристаллы имеют неправильную форму. На гранях кристаллов заметны вертикальная штриховка и вrostки шерла, мусковита и биотита.

Цвет розовато-белый. Удельный вес 2,72. Излом раковистый. Показатели преломления: $\text{Ng}=1,581 \pm 0,002$, $\text{Nr}=1,574 \pm 0,002$, $\text{Ng}-\text{Nr}=0,007$. Одноосный, отрицательный. Плеохроизм слабый—от бесцветного до бледно-розового ($\text{Ng} > \text{Nr}$). Оптические данные и результаты рентгенометрического анализа приведены в табл. 172, по А. К. Бабаджаняну (1970).

Рассчитанные параметры элементарной ячейки следующие: $a_0=9,21$, $c_0=9,29 \text{ \AA}$, $a_0:c_0=0,997$.

Результаты химического анализа и параметры элементарной ячейки мегринского берилла (табл. 173) позволяют отнести его к натриевой разновидности (А. А. Беус, 1956).

Кроме главных компонентов в бериллах установлены: Ga (0,03%), Cu, Y, V (0,001%), Zn (0,3%) и Nb (0,1%). Для щелочных бериллов характерны повышенные содержания лития, рубидия и цезия.

Проявление берилла в замещенных полевошпат-мусковиттурмалиновых пегматитах и щелочной состав его указывают на образование в заключительные стадии пегматитового процесса.

По данным А. К. Бабаджаняна (1970), берилл в ассоциации с турмалином, щелочными полевыми шпатами и слюдами встречается в мусковитовых пегматитах в экзоконтактовой зоне Шва-

Таблица 172

Межплоскостные расстояния берилла

I	d/n	I	d/n	I	d/n	I	d/n
4	4,780	8	1,748	8	1,266	4	1,014
4	4,064	4	1,717	8	1,203	1	1,003
10	3,320	7	1,632	1	1,177	5	0,995
5	3,070	3	1,598	5	1,152	3	0,973
10	2,900	4	1,578	3	1,139	3	0,967
6	2,550	7	1,521	5	1,117	5	0,960
3	2,336	5	1,460	3	1,105	4	0,920
2	2,239	6	1,434	3	1,085	6	0,914
4	2,167	6	1,368	2	1,075	3	0,902
1	2,072	2	1,329	2	1,067	7	0,893
6	2,002	1	1,304	6	1,050	3	0,880
4	1,796	8	1,290	1	1,026	10	0,824

Анализ выполнен в лаборатории УГ АрмССР В. К. Мкртчян. Условия съемки: Cu—излучение, D=57,3, d=0,4 мм.

Таблица 173

Химический состав берилла (по А. К. Бабаджаняну)*

Оксиды	Содерж. в %	Оксиды	Содерж. в %
SiO ₂	63,24	BeO	12,21
TiO ₂	0,06	MnO	0,03
Al ₂ O ₃	18,28	K ₂ O	0,41
Fe ₂ O ₃	0,34	Na ₂ O	2,73
FeO	1,87	P ₂ O ₅	0,08
CaO	0,57	H ₂ O	0,38
MgO	0,15	Σ	100,35

* Анализ выполнен в химлаборатории СЗГУ МИНГЕО СССР.

нидзорского щелочного комплекса на стыке с древними амфиболовыми метаморфическими сланцами. Кроме того, в районе развалин с. Ернадзор, сс. Нювади, Тос берилл встречен в кварцитовых метасоматитах и скарнах совместно с другими редкометальными минералами.

Берtrandит—Be₄[Si₂O₇][OH]₂. Химический состав: BeO—40,67%, SiO₂—50,12%, H₂O=8,87%.

В некоторых сильно замещенных нефелин-сиенитовых пегматитах и особенно в зонах поздних флюорит-биотитовых карбонатитов встречаются скрытокристаллические агрегаты в срастании с флюоритом, полилитионитом и вторичными редкоземельными минералами в пределах Тежсарского комплекса.

Форма выделений обычно скрытокристаллическая, сферолитовая. Очень редки пластинчатые по (001) кристаллики, размером 0,2—0,3 мм. Цвет беловато-желтый, зеленовато-серый, иногда бледно-фиолетовый. Под микроскопом в иммерсионных препаратах имеет агрегатное строение; слабо плеохроирует в бледно-зеленовато-желтых тонах. Показатели преломления: $Ng = 1,530$ — $1,558$, $Np = 1,526$ — $1,541$ с двупреломлением порядка (0,018—0,023). Погасание сферолитовое, часто волнистое. Двусный, отрицательный. Наличие многочисленных срастаний и низкий удельный вес (2,5—2,6) не позволили выделить монокристаллические фракции и поэтому рентгенограмма минерала оказалась ненадежной.

Берtrandит—бериллиевый минерал вторичного происхождения, возможно за счет близко неопределенного минерала группы эпидимита—берилийсиликата натрия, весьма характерного для нефелин-сиенитовых пегматитов с высокими содержаниями берилля (0,002—0,003%).

Спектральный анализом (лаб. ИГН АН АрмССР, аналитик М. Я. Мартirosyan) в тонкокристаллических агрегатах берtrandита установлены: Be (>3%), Ce (0,3—1,0%), Ba (0,1—0,3%), Mn (0,1—0,3%), Li (0,1%), Ca, Na (1—3%), Si (1—3%), Al (0,3—0,5%), Fe (1,0%), а также примеси La, Sr, Pb, Cu, Zn.

Берtrandит ассоциирует с фторкарбонатами редких земель (паризитом), полилитионитом, флюоритом, железо-марганцевистыми вторичными минералами и др. Встречается в гидротермальных и пегматитах Тежсарского комплекса.

Гельвин—3(Fe, Mn) [BeSiO₄]·S. В химическом составе до 13,5% BeO; Fe₂O₃—2%, Al₂O₃—4,0%.

Встречается в виде тетраэдрических или псевдооктаэдрических кристаллов кубической сингонии, чаще в остроугольных зернах. Обычны зернистые агрегаты. Цвет ярко лимонно-желтый, розовый, красно-коричневый. Блеск стеклянный, излом раковистый. Спайность несовершенная (111). Внешне очень сходен с гранатом.

Под микроскопом в иммерсии просвечивает ярко-розовым цветом. Слабо анизотропен. Показатель преломления $N \sim 1,685$.

Межплоскостные расстояния (табл. 174) и параметры элементарной ячейки указывают на близость к промежуточному члену ряда гельвин-гентгельвин, т. е. является железисто-марганцевой разностью.

Таблица 174

Межплоскостные расстояния гельвина (Мегринский plutон)

I	d/n	I	d/n	I	d/n
1	3,718	10	1,937	3	1,415
9	3,332	2	(1,833)	3	1,370
1	2,860	4	1,680	3	1,337
6	2,586	2	1,606	2	1,280
2	(2,372)	2	1,494	2	1,257
9	2,163	3	1,450		

Анализ выполнен в лаборатории ИГН АН АрмССР Ревазовой Н. В. Условия съемки: Fea, D=57,3. Эксп. 12 часов.

Приближенно-количественный спектральный анализ показывает следующий состав: Mn (>10%), Fe (>10%), Be (5—10%), Si (>10%), Al (0,3—0,6%), Ca (0,5%), Mg (0,3%), Cu (0,001%), Zr (0,3—1%), Sn (0,02%).

Гельвин обнаруживается преимущественно в щелочных калиевых и натриевых пегматитах Мегринского plutона, особенно в районах развития щелочных фаций. Характерна ассоциация с хризобериллом, циртолитом, корундом, лепидолитом, флюоритом, меланитом и др., в связи с проявлением альбит-мусковитового замещающего комплекса (Шванидзор, Калер).

Сподумен—LiAl[SiO₃]₂. Состав: Li₂O—8,1%, Al₂O₃—27,4%, SiO₂—64,5%.

Сподумен, как и берилл, встречен в слюдистых пегматитах в виде небольших гнездообразных выделений среди чешуек мусковита (Бабаджанян А. К., 1970). Кроме того он отмечается в калиевых пегматитах Памбака и в измененных эндоконтактовых фациях Кохбского массива (Мелконян Р. Л., 1976).

Сподумен в пегматитах имеет форму неправильных таблитчатых кристаллов размером 2×3 мм, а в измененных гранитоидах встречается в виде призматических кристаллов с характерной вертикальной штриховкой.

Цвет серовато-белый, иногда с зеленоватым оттенком. Блеск стеклянный с перламутровым отливом. Под микроскопом бесцветный, зеленоватый, со слабым плеохроизмом. Двуосный положительный 2V=66—67°, c:Ng=23—25°. Показатели преломления: Ng'=1,677, Np'=1,662.

Химическим анализом в сподуменодержащей бораздовой пробе пегматита установлено Li (1,80%), Be (0,006%), Rb (0,16%). Кроме того спектральным анализом установлено: Be (0,03%), Li (>3%), Si, Al, Fe, Ca, Na (~1,0%), Sn, Ti, Mn (0,1%), Nb, Cu, Zn (0,03%).

Таблица 175

Межплоскостные расстояния сподумена

Кохб		Мегри		Кохб		Мегри		Кохб		Мегри	
I	d/n	I	d/n	I	d/n	I	d/n	I	d/n	I	d/n
2	5,98	—	—	2	2,058	5	2,050	3	1,308	6	1,313
4	4,77	—	—	2	1,973	—	—	3	1,246	3	1,256
1	4,44	6	4,447	7	1,903	4	1,920	3	1,204	8	1,214
6	4,15	6	4,210	6	1,838	8	1,860	3	1,182	—	—
2	3,74	—	—	1	1,791	1	1,800	2	1,128	2	1,123
5	3,43	4	3,48	1	1,740	3	1,740	3ш	1,081	4	1,079
8ш	3,058	—	—	3	1,675	1	1,688	1	1,054	4	1,041
10дф	2,921	10	2,921	—	—	8	1,608	1	1,039	6	1,030
9дф.	2,763	10	2,795	5ш	1,590	9	1,568	4	1,008	7	1,014
—	—	2	2,673	4	1,561	—	—	7	0,989	—	—
2	2,592	2	2,550	3	1,514	6	1,526	2	0,977	—	—
1	2,522	—	—	—	—	—	1,492	3	0,953	—	—
8	2,468	7	2,450	1	1,415	5	1,405	2	0,940	—	—
2	2,353	4	2,350	2	1,386	2	1,361	2	0,913	—	—
3	2,287	1	2,220	3	1,351	3	1,344	3	0,904	—	—
2	2,094	5	2,120	2ш	1,327	2ш	1,329	2	0,889	—	—

Анализы выполнены в лаборатории ИГН АН АрмССР, Ревазовой Н. В. Условия съемки: 1) Кохб, Cuа, D=57,3, d=шарик. Эксп. 15 ч. 2) Мегри, Cuа, D=57,3 мм, d=0,4 мм. Эксп. 9 ч.

Сподумен ассоциирует с литиомусковитом, лепидолитом, турмалином, бериллом, титанониобатами и другими редкометальными минералами. Встречается в пределах измененных гранитоидов Кохбского массива, а также в мусковитовых пегматитах Мегринского и Памбакского массивов. Подтвержден рентгенометрически (табл. 175).

Полилитионит— $KLi_2Al[Si_4O_{10}][F, OH]_2$. Содержание Li_2O —7%, F—9,72%.

Полилитионит образует выделения неправильной формы в брекчированных флюорит-биотитовых зонах, в мусковитизированных сиенитах и редко в измененных нефелин-сиенитовых пегматитах Тежсарского массива.

Образует тонкочешуйчатые округлые зерна или скрытокристаллические агрегаты белого и беловато-зеленого цвета с характерным перламутровым блеском. В иммерсии прозрачен с показателями преломления: $Ng=1,555$, $Np=1,540$. Межплоскостные расстояния и относительные интенсивности тежсарского полилитионита сходны с эталонным (табл. 176).

Таблица 176

Межплоскостные расстояния полилитионита (T-30) (Тексар)

I	d/n	I	d/n	I	d/n	I	d/n
8	9,97	2	2,43	10	1,590	2	1,122
2	4,87	5	2,37	5 ш	1,504	4	1,097
3	3,62	3	2,28	8	1,396	4 ш	1,076
4	3,42	2	2,13	10	1,367	6 ш	1,040
10	3,29	9	2,06	2	1,300	6 ш	0,998
4	3,15	6	1,988	5	1,235		
2	2,96	1	1,899	4	1,147		
10	2,53	7	1,729	4	1,147		

Анализ выполнен в лаборатории ИГН АН АрмССР Хуршудян Э. Х. Условия съемки: Fea, D=57,3 мм, d=0,45 мм. Экспл. 25 часов.

Спектральный анализ полилитионита показал высокое содержание лития (>3%) и калия (>1,0%), а также Ce (0,1%), Mn (0,005%), Pb (0,001%), La (0,1%).

Полилитионит образуется на поздних стадиях пегматитового процесса за счет замещения ортоклаза. Как правило, он ассоциирует с поздним альбитом, натролитом, поздним калишпатом, флюоритом. Полилитионит встречается в измененных породах и пегматитах Тексарского щелочного комплекса. В измененных пегматитах Шванидзорского комплекса встречается литийсодержащий мусковит (до 1%) мелкоагрегатного сложения. Из литневых слюд также довольно широко распространен лепидолит ($Li > 10\%$), характерный для мусковитовых пегматитов Мегринского щелочного комплекса (А. К. Бабаджанян, 1970) и Памбака.

Иттротитанит—(Ca, Y) $(Al, Ti)[O|SiO_4]$. Содержание в обычных сфенах $\Sigma TR_2O_3 + Y_2O_3$ не более 2—3%, в иттротитаните (кельгауте) до 10—12%, одновременно в кристаллическую решетку входит Al_2O_3 до 5—6% (по схеме $TR^{+3}(Fe, Al)^{+3} \rightarrow Ca^{2+} + Ti^{+4}$). Содержание минала $(TR + Y)AlSiO_6$ около 15%, $CaTiSiO_5$ 85%. Исследование редкоземельного состава сфер из магматических пород и пегматитов Армении выявили обогащенные TR_2O_3 до 3,5%, Y_2O_3 —до 4—5% (Меликсян Б. М., 1972, 1976). Иногда содержание достигает 3—5%, особенно в гибридизированных фациях пород.

Образует идиоморфные конвертообразные, удлиненно-призматические, клиновидные кристаллы размером 0,2—до 2 см (рис. 88). Позднемагматический редкоземельный сферен встречается в виде

сплошных зернистых масс. Показатели преломления обычного сфена больше, чем у иттротитанита: сфен: $Ng = 1,99 - 2,10$; $Np = 1,90 - 1,86$; кельгаут: $Ng = 1,97 - 2,03$; $Np = 1,82 - 1,85$.

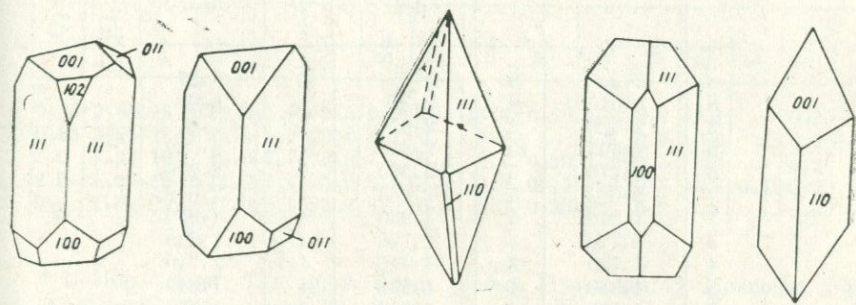


Рис. 88. Формы кристаллов сфена (иттротитанита). По Б. М. Меликсяну.

Характерной особенностью является цвет, варьирующий у сфена от бесцветного до медово-желтого; у иттротитанита от бура-коричневого до буро-красного.

Результаты рентгенометрического анализа основных разновидностей в ряду титанит-иттротитанит приведены в табл. 177. Рассчитанные параметры элементарной ячейки возрастают от сфена к кельгауту, в частности a_0 возрастает от 6,56 до 6,59 Å, а c_0 от 7,46 до 7,58 Å.

Химические анализы титанитов (табл. 178, 179) из различных типов пегматитов и пород Мегринского plutона и Памбакского комплекса показали, что кроме типичных иттротитанитов, доля минерала $TRAlSiO_5$ варьирует от 6 до 12%. Содержание Al_2O_3 от 0,6 до 5%, Na_2O от 0,10 до 2,5%, Fe_2O_3 0,45—4,6%. Все эти особенности химизма позволяют подчеркнуть высокую изоморфную емкость титанитов (рис. 89).

В редкоземельных титанитах Армении содержание TR_2O_3 достигает 1,59—3,64%, а Y_2O_3 0,85—5,0%. Типичными иттротитанитами являются бурые сфены молодых гранитов Мегринского plutона ($\Sigma TR_2O_3 + Y_2O_3 = 6,60\%$). Рассматривая состав редкоземельных элементов, следует подчеркнуть, что для них характерны резко выраженные цериевый—неодимовый; реже гадолиниевый и иттербийевый максимумы. На долю редких земель цериевой группы приходится 95—96%, а на долю иттриевых—4—6% от суммы редких земель.

Таблица 177

Межплоскостные расстояния сфена и кельгаута

Медовый		Бесцветный		Бурый	
I	d/n	I	d/n	I	d/n
8	3,23	9	3,27	6	3,27
8	3,010	6	2,99	5	3,02
3	2,880	2	2,870	4	2,86
10	2,603	10	2,610	10	2,620
6	2,270	5	2,290	5	2,290
7	2,060	5	2,063	5	2,072
5	1,910	5	1,930	4 _ш	1,930
5	1,740	3	1,778	4	1,750
4	1,720	3 _ш	1,718	4 _ш	1,710
5	1,640	4	1,638	4	1,647
7	1,550	3	1,560	2	1,563
9	1,498	5	1,492	3	1,496
5	1,409	7	1,417	4 _ш	1,422
5	1,348	5	1,342	2	1,347
6	1,304	5	1,306	3	1,308
	1,274	—	—	3	1,277

Анализ выполнен в лаборатории ИГН АН АрмССР, Хуршудян Э. Х. Условия съемки: Fe_a, D=57,3, d=0,4 мм. Эксп. 24 ч.

Таблица 178

Химический состав редкоземельного сфена из щелочных пород

	SiO ₂	TiO ₂	Al ₂ O ₃	Fe ₂ O ₃	MnO	CaO	MgO	Na ₂ O	K ₂ O	TR ₂ O ₃	Y ₂ O ₃	Nb ₂ O ₃	Th	п. п. п.
1	28,4	30,55	5,16	4,64	0,10	17,91	0,28	2,50	1,20	2,60	0,85	0,42	0,16	0,44
2	29,30	39,15	н. о.	0,45	сл.	25,13	—	0,50	—	2,80	5,0	0,50	0,54	0,2

* Химические анализы выполнены в химической лаборатории ИМГРЭ (аналитик Разина И. С.). 1. Тежсарский комплекс. 2. Мегринский плутон.

Кроме рассмотренных редких элементов в виде преимущественно изоморфных примесей присутствуют: Sr (0,1—0,3%), Al (1—3%), Mn (0,03—0,1%), Ni, Co (0,001%), V (0,01%), Mo (0,001—0,003%), W (0,03—0,1%), Nb (0,5—1,0%), Zr (0,3—1,0%), Hf (0,01%), Cu (0,01—0,03%), Pb (0,001—0,003%), Sn (0,001—0,003%), Ba (0,1—0,3%), Be (0,001%), Th (0,1—0,3%), U (0,003—0,03%), Ga (0,003%) и др.

Средние содержания иттрия и редких земель* в титанитах

	Содержание в %		Содержание лантаноидов в $\Sigma \text{TR}_2\text{O}_3 = 100$													
	Y_2O_3	TR_2O_3	La	Ce	Pr	Nd	Sm	Eu	Gd	Tb	Dy	Ho	Er	Tu	Yb	Lu
1	0,85	2,60	13,3	38,9	5,8	19,5	2,9	0,6	16,4	0,20	1,2	0,1	0,6	—	0,5	
2	0,35	3,64	13,5	38,5	6,2	20,6	4,1	0,1	3,6	—	1,2	0,3	0,8	—	0,4	10,8
3	3,0	1,23	16,0	42,0	7,3	22,0	4,7	0,4	1,0	0,20	1,3	0,3	0,5	—	0,2	
4	2,5	1,65	19,0	43,0	6,1	23,0	3,4	0,3	0,9	0,15	0,9	0,3	0,3	0,1	0,2	
5	5,0	1,59	20,0	41,0	5,9	23,0	3,9	0,4	1,9	0,30	0,9	0,2	0,3	—	0,3	0,5

* 1. Неф. сиенит, Тексар; 2. Порф. гранит, Маргаовит; 3. Монцонит, Мегри; 4. Сиенит, Шванидзор; 5. Порф. гранит, Вожчи. Анализы выполнены Р. Л. Баринским (ИМГРЭ).

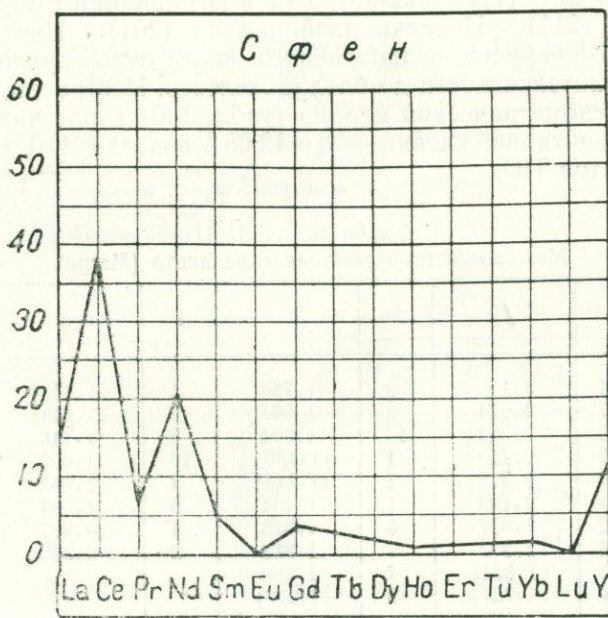


Рис. 89. Распределение РЗЭ в сфенах. По Б. М. Меликсяну.

Сфены ранней генерации, как правило, содержат небольшие концентрации редких земель, иттрия и других редких элементов, меньше чем бурые сфены поздней генерации. Типичные кельгауиты встречаются в альбитизированных, мусковитизированных разностях пород и замещенных пегматитах. Последний, как правило, ассоциирует с цирконом, циртолитом, ксенотитом, апатитом, гранатом, ортитом и редкоземельными минералами. Особенно широко развиты сфены и кельгауиты среди фаций высокоглиноземистых щелочных пород и пегматитов Мегринского и Памбакского комплексов.

Меланит — $\text{Ca}_3(\text{Al},\text{Fe},\text{Ti})_2[\text{SiO}_4]_3$. Минералы группы граната широко развиты на территории Армянской ССР, в различных генетических типах месторождений. Остановимся на довольно редком типе — меланите (шорломите), являющемся концентратором редких элементов и широко распространенным в формации нефелиновых сиенитов.

Меланит образует округлые агрегаты в сиенитах и пегматитах (3—5 см в поперечнике) и идиоморфные кристаллы ромбодекаэдрического (110) облика, реже в комбинации с тетрагон-триоктаэдром (211). Нередки двойники по (201). Цвет меланита варьирует от черного, непрозрачного, через буро-коричневые тона различной интенсивности до бледно-желтого. Изотропен, $N=1,92-1,96$. Рентгенометрический анализ (табл. 180) и рассчитанный параметр элементарной ячейки — $a_0=12,08 \text{ \AA}$ показал 110 молекулярных процентов TiO_2 .

Таблица 180
Межплоскостные расстояния меланита (Мегрин)

I	c/f	I	d/n	I	d/n
1	3,15	3	1,730	1	(1,230)
7	2,674	9	1,664	2	(1,213)
2	2,544	10	1,604	8	1,116
6	2,446	1	(1,480)	10	1,097
3	2,348	1	(1,444)	7	1,063
4	2,183	1	1,404	3	1,001
6	1,947	5	1,343	4	0,987
4	1,895	6	1,313	2	0,960
2	(1,831)	4	1,280		
4	(1,767)	2	(1,266)		

Анализ выполнен в лаборатории Львовского университета. Условия съемки: Сиа, эксп. 12 часов.

Химический состав и пересчитанные по ним кристаллохимические формулы (молекулярный состав) меланитов Тежсара, приводятся в таблицах 181, 182.

Таблица 181

Химические составы меланитов из щелочных и нефелиновых сиенитов и пегматитов Тежсара

Окислы	T—1	T—2	T—3	T—4
	Нефелиновый меланитовый сиенит	Нефелин-меланитовый пегматит	Меланитовый пегматит	Нефелиновые сиениты с меланитом
SiO ₂	35,81	36,00	35,56	34,26
TiO ₂	1,33	2,39	0,66	3,43
Al ₂ O ₃	22,00	6,93	5,92	6,41
Fe ₂ O ₃	5,12	20,31	22,75	19,52
FeO	3,44	1,91	2,65	3,11
MnO	2,24	сл.	2,40	2,14
CaO	28,05	29,03	28,58	30,16
MgO	1,60	0,44	0,11	0,68
ZrO ₂	0,33	—	—	—
Nb ₂ O ₃	0,014	—	—	—
TR ₂ O ₃	0,43	—	—	—
Na ₂ O	0,64	0,06	0,11	0,12
K ₂ O	0,24	0,04	—	0,04
п. п. п.	—	0,40	—	0,35
Сумма	101,24	100,51	98,74	100,22
Аналитик	А. Петросян	А. Петросян	А. Петросян	Е.А.Свержинская
Автор	Б.М.Меликссетян	Г.П. Багдасарян	А. Г. Мидян	В. Н. Котляр

Таблица 182

Компонентный состав гранатов

Молекулы гранатов	T—1	T—2	T—3	T—4
Андрадитовая	17,0	68,0	79,0	64,0
Пироповая	5,4	1,5	—	2,3
Гроссуляровая	65,9	26,3	9,9	21,6
Альмандиновая	7,7	4,2	6,4	7,2
Спессартитовая	5,0	—	5,7	4,9

По особенностям химического состава магматический гранат из нефелиновых сиенитов и пегматитов относится к андрадит-гросуляровому ряду с повышенным содержанием TiO₂ (0,66—3,43%), т. е. к типичному меланиту. Для меланита Тежсарского комплекса характерны значительные вариации в содержании

TiO_2 , Al_2O_3 , MgO , Fe_2O_3 и щелочей. Компонентный состав гранатов иллюстрируется таблицей 182, по которой можно видеть, что значительная часть их приходится на андрит и гроссуляр. Содержание миналов пиропа и альмандина невысокое (4—7%), а спессартита—достигает 5—5,7%.

Благодаря характерным для меланита изоморфным замещениям, кроме главных компонентов в его составе участвует и ряд редких элементов. Меланит из меланитовых сиенитов характеризуется высокими содержаниями таких элементов, как Y, TR, Nb, Th, U. В составе суммы редких земель примерно 60% приходится на церневые, а 40%—на пттриевые редкие земли (табл. 183, 184).

Содержание редких элементов в меланите*

Таблица 183

№ обр.	П о р о д а	Содержание в процентах					
		ZrO ₂	Nb ₂ O ₅	ΣR ₂ O ₃	Y ₂ O ₃	Th	U
1	Нефелиновый меланит-титановый сиенит (Геккар)	0,34	0,014	0,43	0,17	0,004	0,0024
2	—“—	0,32	—	0,55	0,25	—	—

* По материалу Меликсяна Б. М. (анализ № 1), анализ выполнен в лабораториях ИМГРЭ. Химические определения: ΣR_2O_3 —М. Е. Казаковой; ZrO_2 —Е. Чулковой; Nb_2O_5 —Е. Чулковой; U и TR—Н. Антонян (Громовская экспедиция). Расшифровка TR—Р. Л. Баринским. Анализ № 2 по данным Г. Е. Коиняяна (1975).

Расшифровка состава редких земель в % от ΣR_2O_3 принятой за 100 в пробах 1 и 2

	ΣTR_2O_3	La	Ce	Pr	Nd	Sm	Eu	Gd	Tb	Dy	Ho	Er	Tu	Yb	Lu
1	0,43	11,7	29,8	6,0	15,2	6,1	1,1	6,0	1,0	7,8	1,3	6,8	0,5	6,0	0,8
2	0,55	2,7	9,7	2,7	4,8	4,6	0,6	5,7	0,7	6,0	0,8	5,2	0,9	6,7	0,9

Спектральные анализы установили более обширную группу кристаллохимически входящих в структуру меланита редких элементов среди которых в первую очередь отметим: $Mn \geq 3$, Sn (0,001%), Ge (0,001), Be (0,001%), Y (0,03%), Sr (0,01—0,03%), Li (0,03%), Nb (0,1—0,3%), Zr (0,1—0,5%), S (0,003%).

Меланит ассоциирует с нефелином, содалитом, редкоземельными минералами, сfenом, апатитом, флюоритом, а также андритом, спессартитом, гроссуляром.

В щелочных сиенитах меланит проявляется как в магматическую, так и в позднемагматическую стадию в виде зон меланитизации пород, альбититовых жил и самостоятельных жилок (до 10 см). В пегматитах меланит образует крупные идиоморфные кристаллы.

Меланит очень широко распространен в Тежсарском щелочном комплексе, меньше в щелочных сиенитах и пегматитах Мегринского plutона.

Родонит — $(\text{Mn}, \text{Fe}, \text{Ca})\text{SiO}_3$. Химический состав (в %): $\text{MnO}—46,0—30,0$; $\text{FeO}—2—12$; $\text{CaO}—4—6,5$; $\text{SiO}_2—45—48$ (Бетехтин, 1961).

Родонит кристаллизуется в триклиинной сингонии, оптически положительный. Показатель преломления высокий ($\text{Nr} 1,711—1,738$; $\text{Nm} 1,716—1,741$; $\text{Ng} 1,724—1,751$), двупреломление низкое, колеблется в пределах $0,011—0,014$ (Дир и др., 1965). В прозрачных шлифах бесцветный, до нежно-розового.

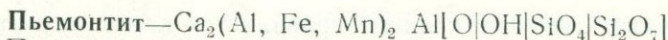
В рудах Армянской ССР родонит широко развит на Сваранцском проявлении марганца (Андрющенко и др., 1978) и слабо — на Зодском месторождении (Амирян, 1984). Он установлен в тесной ассоциации с браунитом, кальцитом, пьемонтитом, родохрозитом. В браунит-родонитовых рудах скопления родонита представляют собой тонкозернистый агрегат, слагающий грубые извилистые полосы, которые, по мнению Андрющенко (1978), отражают первоначальное слоистое строение первичных скоплений окисных и карбонатных соединений.

Бустамит — $(\text{Mn}, \text{Ca}, \text{Fe})[\text{SiO}_3]$. Бустамит — типичный минерал метаморфизованных марганцевых руд. Образуется в умеренно высокотемпературных условиях (Дир и др., 1965). Кристаллизуется в триклиинной сингонии, оптически отрицательный.

Бустамит широко развит в рудах Сваранцского проявления марганца в тесной ассоциации с родонитом. Образует мелкозернистые агрегаты бледно-желтого цвета (Андрющенко и др., 1978). Данные рентгеноструктурного анализа бустамита из Сваранцского проявления, по данным Андрющенко, приведены в табл. 185.

Таблица 185
Межплоскостные расстояния бустамита

I	d/n	I	d/n	I	d/n	I	d/n
2	7,12	10	2,85	7	2,18	4	1,766
2	4,23	1	2,72	1	2,11	3	1,647
6	3,66	1	2,61	1	2,09	3	1,564
3	3,35	1	2,55	7	2,01	7	1,543
7	3,15	5	2,40	7	1,815	2	1,455



Пьемонтит кристаллизуется в моноклинной сингонии, входит в группу клиноцизит-эпидотовой серии. Образуется главным образом в регионально метаморфизованных породах низкой и средней степени метаморфизма (Дир и др., 1965). Широко развит в метаморфизованных марганцевых рудах.

Цвет пьемонтита макроскопически красно-бурый, его легко можно спутать с гидроокисами железа. В прозрачных шлифах фиолетовый, розово-фиолетовый, плеохроирует до желтого. Показатель преломления высокий (Np —1,732—1,794; Ng —1,762—1,829), двупреломление среднее (0,025—0,073).

Пьемонтит широко развит в рудах Сваранцского проявления марганца в тесной ассоциации с браунитом. В оруденелых туфах, туффитах и порфиритах образуется в виде прожилков, гнезд. В порфиритах образует псевдоморфозы по плагиоклазу. В браунитовых рудах часто наблюдаются скопления шестоватых кристаллов пьемонтита. В прожилках ассоциирует с кварцем. Размер отдельных зерен не превышает 0,2 мм.

В небольшом количестве пьемонтит встречается в рудах Саринского и Чах-Чахского проявлений марганца, а также в перекристаллизованных кремнистых породах вулканогенно-кремнистой ассоциации офиолитовой серии Северной Армении (Арчидзор).

Данные рентгеноструктурного анализа пьемонтита из Сваранцского проявления марганца приведены в табл. 186 (по Андрушенко, 1978).

Таблица 186

Межплоскостные расстояния пьемонтита*
из Сваранцского месторождения (Андрушенко, 1978)

I	d/n	I	d/n	I	d/n	I	d/n
9	5,06	10	2,91	3	2,29	5	1,630
2	4,62	2	2,84	1	2,15	4	1,592
2	4,18	4	2,69	2	2,13	1	1,540
2	3,99	3	2,59	1	2,09	3	1,460
4	3,50	1	2,48	4	1,881	4	1,420
4	3,33	4	2,40	1	1,756	3	1,394

* Тонкокристаллический пьемонтит, выполняющий пустоты в туффитах. Срабердский участок.

Тулит (марганцевистый циозит)— $\text{Ca}_2\text{Mn}\cdot\text{Al}_2\text{O}_3\cdot\text{OH}[\text{Si}_2\text{O}_7]\cdot[\text{SiO}_4]$.

Кристаллизуется в ромбической сингонии. Цвет в прозрачных шлифах розовато-желтый. Показатель преломления высокий (Ng —1,700—1,725; Nr —1,690—1,703). Двупреломление низкое, плеохроирует в розово-желтых тонах.

Тулит широко развит в марганцевых рудах Сваранцского проявления (Андрющенко и др., 1978) в тесной ассоциации с пьемонтитом и браунитом. Образует мелкие призматические зерна, которые слагают агрегаты радиально-лучистого строения; главным образом нарастают на зернах пьемонтита, иногда в оруденелых порфириях образуют псевдоморфозы по плагиоклазу.

Группа оливина— $(\text{Mg}, \text{Fe})_2\text{SiO}_4$. Сингония ромбическая.

Относится к группе простых железо-магнезиальных силикатов, представляющих собой непрерывный ряд изоморфных смесей между двумя конечными членами—форстеритом— Mg_2SiO_4 и фаялитом— Fe_2SiO_4 .

Оливины в качестве породообразующего минерала широко распространены в мафит-ультрамафитовых интрузивных комплексах оphiолитовых поясов Армянской ССР, являющихся материнскими породами для месторождений хромистого железняка, и массива г. Арамазд, вмещающих титаномагнетитовое оруденение, а также в виде фенокристаллов в эфузивных породах основного состава мезозойского, палеогенового, неогенового и четвертичного возрастов.

В породах мафит-ультрамафитовых интрузивных комплексов оливин кристаллизуется первым, вследствие чего имеет идиоморфные кристаллографические ограничения. Редко наблюдаются мелкие пойкилитовые включения оливина в ромбических пироксенах и аксессорных хромшпинелидах перидотитов и дунитов (Абовян, 1961). В троктолитах и оливиновых габбро встречаются оливины, которые обрастаются тонкой каемкой ромбического, реже моноклинного пироксена, что рассматривается как результат реакционных соотношений оливина с остаточной магматической жидкостью в процессе их кристаллизации. Доказано, что при плавлении оливин плавится не сразу, а сначала превращается в ромбический пироксен.

Оливин слагает зернистые агрегаты с размерами зерен от 1 до 3 мм. Хорошо образованные кристаллы отсутствуют.

Иногда зерна оливина обнаруживают признаки дробления и катаклаза, выраженные многочисленными трещинками всевозможных направлений. Отмечаются также механические двойники скольжения, ориентированные параллельно (100).

Зерна оливина бесцветные, реже окрашены в зеленоватые и желтоватые оттенки, блеск стеклянный, жирный. Наблюдаются мелкие включения хромшпинелидов, а в измененных разновидно-

стях—вторичного магнетита; иногда последний обволакивает тонкой пленкой зерна оливина.

Теоретический состав варьирует в пределах (в %): MgO—45—50, FeO—8—12.

На основании оптических данных ($\text{Ng} = \text{Np} = 0,038—0,043$ и $2V = +85^\circ—-89^\circ$) установлено, что состав оливинов варьирует в пределах 4—8% фаялитовой молекулы в дунитах, 5—9% в гарцбургитах, 9—12%—в лерцолитах, верлитах, и оливиновых вебстеритах, 18%—в полевошпатовых лерцолитах, 13—20%—в троктолитах, и 23—34%—в оливиновых габбро.

Приближенными количественными спектральными анализами в составе оливинов определены следующие элементы-примеси (в %): Cr—0,029, Ni—0,3, Co—0,027, Zn—0,007, Cu—0,007. Указанные элементы имеют размеры ионов и заряды, позволяющие им в значительной степени замещать Mg^{2+} и Fe^{2+} . В составе оливинов Mn, вероятно, замещая Fe^{2+} , слагает в незначительном количестве тифроитовую молекулу— $(\text{Fe}, \text{Mn})_2\text{SiO}_4$, а Ti и Al входят в состав хромшпинелидов, встречающихся в виде тонких включений.

Оливины при изменении подвергаются серпентинизации, реже хлоритизации и оталькованию. Весьма редко по оливину развиваются иддингсит. В результате низкотемпературного изменения и процессов выветривания оливины нередко полностью подвергаются лимонитизации и карбонатизации.

Пироксены. Пироксены являются главными породообразующими минералами пород интрузивных и эфузивных комплексов ультрамафитового (перидотиты, пироксениты), мафитового (габбро, габбро-нориты, нориты) и среднего (диориты, гранодиориты) составов Армянской ССР, с которыми связаны месторождения хромита, титаномагнетита и др. полезных ископаемых.

Ромбические пироксены: энстатит— $\text{Mg}_2[\text{Si}_2\text{O}_6]$, гиперстен— $(\text{Mg}, \text{Fe})_2[\text{Si}_2\text{O}_6]$.

В интрузивных породах при совместном нахождении с оливином (в перидотитах, оливиновых пироксенитах, оливиновых габбро) ромбические пироксены имеют ксеноморфные ограничения, а в безоливиновых породах (габбро-норитах, норитах, реже диоритах) имеют более идиоморфные или одинаковые с плагиоклазом контуры. В эфузивных породах ромбические пироксены встречаются значительно реже в составе фенокристаллов и микролитов основной массы.

В большинстве случаев ромбические пироксены слагают хорошо образованные, часто таблитчатые кристаллы размером от 2 до 8 мм, реже 25 мм. Цвет магнезиальных разновидностей желтовато-серый, а более железистых—зеленый, зеленовато-бурый. Блеск стеклянный, перламутровый. Оптически положительный.

Плеохроизм от слабого (у магнезиальных) до заметного (у железистых).

Для ромбических пироксенов из различных интрузивных пород оphiолитовых поясов Армянской ССР изучены оптические свойства и содержание железистого компонента. Последние определялись на диаграмме В. С. Соболева (1950). Установлено, что ромбические пироксены из гарцбургитов характеризуются малым содержанием ферросиллитовой молекулы и относятся к энстатитам (6—10%) и в редких случаях—к бронзитам (10,0—11,2%). В лерцолитах пироксены принадлежат к бронзитам (10,0—17,0%), реже энстатитам (7,5—10,0%), а в полевошпатовых лерцолитах—только к бронзитам, причем более железистым (15,5—21,5%). В вебстеритах часто наблюдаются бронзиты (10,5—15,5%), а в габбро-норитах—более железистые бронзиты (13,5—26,5%) и гиперстены (32,1—35,0%). В соответствии с возрастанием железистости в указанных породах изменяются и величины 2V, Ng и Np, причем 2V бронзитов полевошпатовых перидотитов, габбро-норитов и некоторых лерцолитов, бронзитов и вебстеритов принимает отрицательное значение.

Теоретический состав (в %): энстатит MgO —40,0, SiO_2 —60,0; бронзит— FeO 11,0—30,0; гиперстен FeO больше 30,0. В качестве примесей присутствуют NiO , CoO , MnO , Al_2O_3 и TiO_2 .

Приближенно-количественными спектральными анализами в составе ромбических пироксенов обнаружен ряд элементов в основном группы железа.

Ромбические пироксены по сравнению с оливином более устойчивы к процессам вторичных изменений. Чаще всего они подвержены процессу серпентинизации, в результате чего замещаются антигоритом. В перидотитах, реже в пироксенитах антигорит в виде одного сплошного кристалла замещает энстатит или бронзит, образуя гомоосевую псевдоморфозу—bastит. При этом нередко вдоль трещин спайностей происходит обильное выделение тонкой магнетитовой пыли. Сравнительно реже ромбические пироксены подвержены процессу карбонатизации и хлоритизации (в мафитах и породах среднего состава).

Моноклинные пироксены. В интрузивных породах при совместном нахождении с оливином (верлиты, оливиновые диаллакты, оливиновые габбро) и ромбическим пироксеном (лерцолиты, вебстериты, габбро-нориты) кристаллы моноклинного пироксена имеют ксеноморфные ограничения. По сравнению же с плагиоклазом (габбро, габбро-нориты, габбро-пегматиты, аортозиты, диориты, гранодиориты) обнаруживают более идиоморфные очертания. В эфузивных породах моноклинные пироксены встречаются в составе фенокристаллов и микролитов основной массы.

Моноклинные пироксены встречаются в виде таблитчатых или

короткостолбчатых кристаллов размерами от 0,5 до 8,0 мм, реже до 25—30 мм (в пироксенитах и габбро-пегматитах). Цвет зеленый, зеленовато-бурый; блеск стеклянный. Оптически положительный, плеохроизм отсутствует и проявляется слабо у авгитов.

Исследованиями получены данные по оптическим свойствам и молекулярным составам 16 моноклинных пироксенов. Установлено, что угол оптических осей +2V изученных пироксенов колеблется в пределах от 48° до 60°, наиболее часто встречаются значения между 54—58°. Угол погасания с Ng=36—45°. Наблюдается увеличение показателей преломления (Ng и Np) моноклинных пироксенов в связи с увеличением их железистости.

Изученные пироксины относятся к эндиопсидам, диопсидам, авгитам и салитам, а в скарновых месторождениях — к диопсид-геденбергиту.

В состав моноклинных пироксенов приближенными количественными спектральными анализами определен ряд элементов группы железа.

Моноклинные пироксины по сравнению с ромбическими пироксенами более устойчивы к процессам постмагматического изменения. В большинстве случаев они амфиболизированы, хлоритизированы, карбонатизированы и реже серпентинизированы. В последнем случае, как и в ромбических пироксенах, развивается пластинчатый серпентин-bastит.

Роговые обманки — $\text{Ca}_2\text{Na}(\text{Mg},\text{Fe})_4^{2+}(\text{Al},\text{Fe}^{3+})[(\text{Si}_4\text{Al})_2\text{O}_{11}]_2[\text{OH}]_2$. Сингония моноклинная.

В интрузивных породах роговая обманка является одним из главных породообразующих минералов роговообманковых габбро, габбро, габбро-норитов, габбро-пегматитов, габбро-диабазов, габбро-диоритов, диоритов, кварцевых диоритов, гранодиоритов, гранитов, а также некоторых жильных пород —диабазовых и андезитовых порфиритов и метаморфических разновидностей габбро-амфиболитов. В эффузивных породах роговая обманка образует фенокристаллы в андезитах, дацитах и липаритах, иногда в базальтах, а также микролиты андезитов, реже базальтов. В габбро, габбро-норитах и некоторых габбро-пегматитах, кварцевых диоритах, диоритах и гранодиоритах роговая обманка имеет вторичное происхождение (уралитовая) — развивается по зернам моноклинных пироксенов. Рассматриваемые породы являютсярудовмещающими для ряда месторождений черных, цветных и благородных металлов.

Роговая обманка слагает идиоморфные призматические кристаллы размером от 0,5 до 8 мм, а в габбро-пегматитах — до 30 мм. Цвет зеленый с различными оттенками, редко-бурый. Окраска однородная со схемой плеохроизма; Ng — светло-зеленый, Nm — зеленый, Np — желтовато-зеленый; схема абсорбции — Ng > Nm > Np.

Оптические свойства и магнезиальность роговых обманок из пород габбро-перидотитовых комплексов Армянской ССР показывают, что все они, несмотря на различную окраску, принадлежат к группе обыкновенной роговой обманки.

В роговых обманках приближенными количественными спектральными анализами определен ряд элементов группы железа.

Вторичные процессы, развивающиеся по рассматриваемым роговым обманкам, представлены актинолитизацией, тремолитизацией, хлоритизацией, реже опацитизацией.

Кали-полевой шпат— $KAlSi_3O_8$. Теоретический состав для чисто калиевой разности: K_2O —16,9%, Al_2O_3 —18,4%, SiO_2 —64,7%. Часто присутствует Na_2O . Калинатровые полевые шпаты в зависимости от температуры могут кристаллизоваться в различных модификациях (моноклинной и триклинической).

К-полевой шпат является характерным жильным минералом для месторождений пегматитовой медно-молибденовой формации, а также некоторых гидротермальных месторождений медно-молибденовой формации.

В пегматитах К-полевой шпат является одним из основных минералов. Образует крупные кристаллы размером 3—5 см в поперечнике. Приурочен к периферийным участкам пегматитовых жил. Кварц и рудные минералы (магнетит, молибденит, халькопирит и пирит) заполняют средние части жил.

К-полевой шпат в пегматитах, по данным рентгеновского анализа, относится к переходной разности микроклин-ортоклаз.

Таблица 187

Химический анализ К-полевого шпата из пегматитов

SiO_2	Al_2O_3	K_2O	Na_2O	Сумма	Автор	Аналитик
65,42	21,85	9,00	3,40	99,67	К. А. Карамян	З. Гаспарян

К-полевой шпат является характерным минералом для Каджаранского, Дастанкертского и Агаракского месторождений. К-полевой шпат отмечается в кварц-халькопирит-борнитовых прожилках Джиндаринского месторождения, где образует кристаллы размером 0,5 см в поперечнике. На Каджаранском месторождении он представлен в кварц-полевошпатовых прожилках. Размер кристаллов К-полевого шпата местами достигает 2—3 см в поперечнике. По малому углу оптических осей $2V=-52$, $n(001)$ и триклинической сингонии относится к анортоклазу со значительным содержанием Na (табл. 187).

На Дастанкерском месторождении К-полевой шпат проявляется в кварц-полевошпат-халькопиритовой ассоциации, где образует небольшие кристаллы, размер которых достигает 3—5 мм, особенно в пустотах прожилков, скементированных халькопиритом (рис. 90). Здесь К-полевой шпат относится к нерешетчатому микроклину.

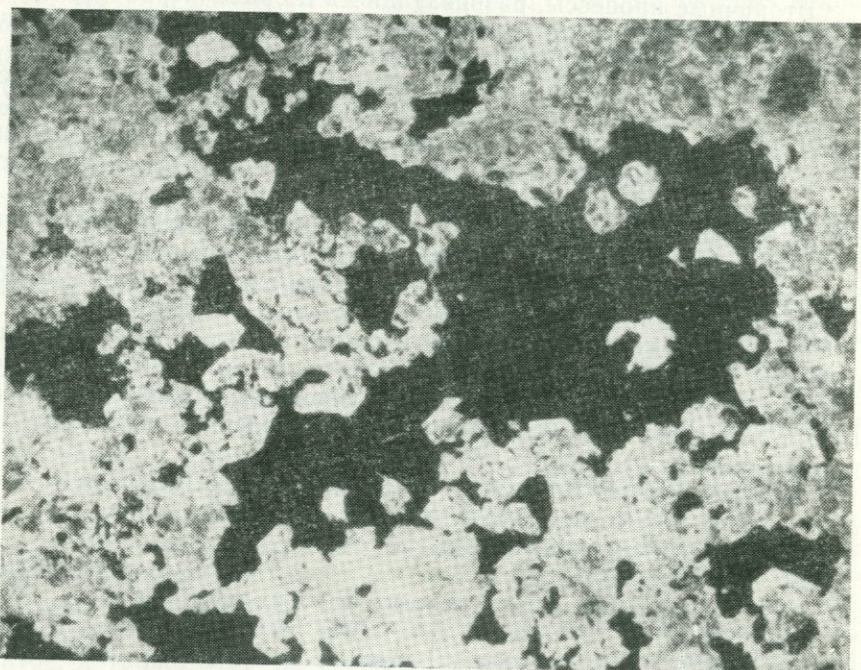


Рис. 90. Выделения халькопирита (черное) в промежутках агрегата К-полевого шпата в полевошпатизированной породе: Месторождение Дастанкерт. Прозр. шлиф, увел. 60. По К. А. Карамяну.

Измерение констант на Федоровском столике показало:

$$n(001) - \begin{cases} /86^\circ \\ \backslash 84^\circ \end{cases} 2\vartheta = -84^\circ$$

Химическим анализом в калиевом полевом шпате установлено следующее содержание щелочей: $K_2O = 8,56$, $Na_2O = 1,24$. На Агаракском месторождении К-полевой шпат имеет небольшое распространение и образует прожилки, либо скопления с неправильными очертаниями.

Спектральными анализами в К-полевом шпате из Каджаранского месторождения установлены следующие элементы-примеси (в %): Mn—0,0075, Ti—0,24, V—0,0042, Cr—0,00032, Be—0,0001, Mo—0,00032, Zr—0,013, Cu—0,10, Pb—0,0013, В—0,0013, Ag—0,00042, Ba—0,10, Li—0,00032, P—0,032, Ge—0,00032, Ga—0,0013.

К-полевой шпат в окорудноизмененных породах медно-молибденовых месторождений Занзезурского рудного района проявляется сравнительно редко и в небольших масштабах.

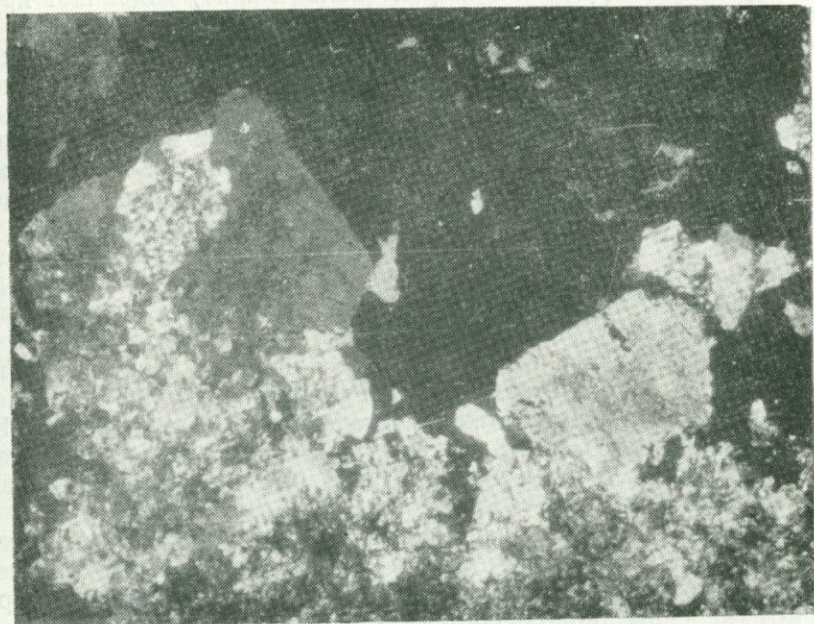


Рис. 91. Кристаллы К-полевого шпата, обрастающие стеки пустот во вмещающих роговиках; черное—халькопирит. Месторождение Дастанерт. Прозр. шлиф, увел. 90, николи +. По К. А. Карамяну.

На Каджаранском и Агаракском месторождениях присутствие К-полевого шпата в измененных породах и образование собственно калишпатизированных пород связано исключительно с калишпатовой минеральной ассоциацией. При этом отмечается как площадная К-полевошпатизация, так и сравнительно небольшая сторочка (до 0,5 см) вдоль К-полевошпатовых прожилков. При площадных изменениях количество К-полевого шпата в сильно измененных породах достигает 35—40% объема породы.

На Дастанкерском месторождении калишпатизация вмещающих пород (роговиков) исключительно связана с относительно широко проявленной полевошпат-кварц-халькопиритовой минеральной ассоциацией руд. Здесь К-полевой шпат образует маломощную оторочку вокруг прожилков, гнезд, жилоподобных тел вследствие проявления диффузионного метасоматоза, так и относительно мощные зоны вследствие инфильтрационного метасоматоза.

В зонах инфильтрационного метасоматоза в калишпатизированных роговиках рудный минерал (халькопирит) заполняет промежутки выделений К-полевого шпата (рис. 91).

Среди жильных минералов медно-молибденовых месторождений необходимо отметить присутствие водяно-прозрачной разности ортоклаза—адуляра, который установлен впервые А. Г. Калярином (1958) на Каджаранском месторождении в рудах кварц-пиритовой ассоциации и К. А. Карамяном на Дастанкерском месторождении в этой же ассоциации, где он оторачивает выделения пирита в гидротермально измененных породах.

Адуляр имеет мясо-красный цвет, характерен ромбическими формами кристаллов со спайностью и $2V = -60 - 63^\circ$. Нередко захватывает чешуйки серицита.

Гидромусковит-серицит— $(K, H_3O)Al_2[(OH)_2|AlSi_3O_{10}]$

Гидромусковит или серицит является широко распространенным минералом в гидротермально измененных и околодрудноизмененных породах многих рудных месторождений Армянской ССР. В качестве жильного минерала отмечается весьма редко и установлен в небольшом количестве в рудных жилах и прожилках медно-молибденовых месторождений Каджаран, Агарак.

В месторождениях колчеданной формации ряда рудных районов Армянской ССР (Базумский, Алавердский и Кафанский) серицит является характерным минералом многих фаций гидротермально измененных пород. На Тандзутском и Чибухлинском колчеданных месторождениях, по данным С. О. Ачикгезяна, серицит (гидромусковит) встречается в ряде фаций вторичных кварцитов и пропилитов и проявляется преимущественно в виде мелких чешуек, образующих мономинеральные, либо двух- и трехминеральные (с кварцем и хлоритом) агрегаты. Показатели преломления варьируют в очень широком диапазоне: $Ng = 1,581 - 1,590$; $Nm = 1,575 - 1,585$; $Np = 1,545 - 1,555$; $Ng - Np = 0,026 - 0,036$. Величина $2V$ также варьирует в широком интервале.

На основе термограмм установлены эндотермические эффекты для гидромусковита этих месторождений при $100 - 130^\circ$; $550 - 630^\circ$; $850 - 950^\circ$, а также экзотермический эффект при $1050 - 1100^\circ$.

Для серицитов этих месторождений С. О. Ачикгезяном из десяти анализированных кварцево-гидромусковитовых метасоматитов выведено соотношение Na_2O и K_2O , варьирующее в широких пределах, начиная от почти чисто гидромусковитовых разностей при $\text{Na}_2\text{O}:\text{K}_2\text{O}=1:12-1:25$ до гидромусковит-гидропарагонитовых ассоциаций, где $\text{Na}_2\text{O}:\text{K}_2\text{O}=1,0:0,8-1:2,2$.

На Тандзутском и Чибухлинском месторождениях, по данным С. О. Ачикгезяна, отмечается тесная временная сопряженность процессов рудообразования с формированием кварцево-гидромусковитовых и реже кварцево-хлорит-гидромусковитовых метасоматитов. Вышеотмеченное доказывается тесным взаимным переплетением рудных минералов (пирит, халькопирит, сфалерит, галенит) и гидромусковита. Последний образует оторочки вокруг зерен рудных минералов, проникает в них, сопровождает рудные прожилки, слагая их зальбанды. Рудные минералы развиваются по гидромусковитовым агрегатам и в скоплениях рудных минералов нередко встречаются островки гидромусковита.

Электронографические исследования гидромусковита для различных типов колчеданного оруденения в пределах Базумского рудного района позволили выявить наличие различных политипных модификаций в разных типах колчеданного оруденения (серноколчеданное, медно-колчеданное и колчеданно-полиметаллическое).

Установлено (Ачикгезян О. О., Мхитарян Р. Г., Налбандян Э. М., 1968), что на Тандзутском и Чибухлинском месторождениях серноколчеданное и медноколчеданное оруденение сопровождается образованием политипа $2M_1$ или при резком преобладании $2M_1$ над $1M$. Для колчеданно-полиметаллического оруденения характерно образование политипной модификации $1M$ или смесь $1M+2M_1$ при резком преобладании $1M$.

Таким образом, политипная модификация $2M_1$ характерна для ранних и высокотемпературных типов руды, политип $1M$ характерен для более позднего и низкотемпературного полиметаллического оруденения.

В результате анализа высот рефлекса были определены параметры элементарной ячейки гидромусковита из этих месторождений (табл. 188).

Гидромусковит и серицит широко развиты в гидротермально измененных породах многих месторождений Алавердского рудного района (Шамлуг, Алаверди, Ахтала), где они присутствуют в фациях предрудных пропилитов и вторичных кварцитов. Детальные исследования вышеотмеченных серицитов, проведенные Э. М. Налбандяном, позволили отнести их к гидромусковиту. Электронографические исследования гидрослюд позволили выявить раз-

личные политипные модификации 1М и 2М₁ и их количественные сочетания.

Таблица 188

Параметры		a_0	b_0	c_0	β°
Модификации					
1М	2М ₁	5,16 Å—5,18 Å	8,95—9,00 Å	9,97 Å—10,10 Å 19,60 Å—20,07 Å	100

В результате анализа высот рефлекса были определены параметры элементарной ячейки (табл. 189).

Таблица 189

Параметры		a_0	b_0	c_0	β°
Модификации					
1М	2М ₁	5,16—5,18 Å	8,95 Å—9,00 Å	9,97 Å—10,10 Å 19,60—20,07 Å	100° 95°

Выявленные закономерности размещения установленных политипов серицита в связи с формированием различных типов колчеданного оруденения позволили установить, что медноколчеданным рудам месторождения Шамлуг и Алаверди сопутствуют гидрослюды в основном модификации 2М₁, а полиметаллическим рудам Ахтала—модификации 1М. Таким образом, здесь, как и на месторождениях Тандзут и Чибухли для ранних высокотемпературных руд характерен политип 2М₁, а для поздних и низкотемпературных полиметаллических руд характерен политип 1М.

В табл. 190 приведен химический состав серицита из кварц-серицитовой фации вторичных кварцитов Шамлугского месторождения (данные Э. М. Налбандяна).

Таблица 190

№ пробы	SiO ₂	TiO ₂	Al ₂ O ₃	Fe ₂ O ₃	FeO	MnO	CaO	MgO	Na ₂ O	K ₂ O	H ₂ O	Н.п.п.	P ₂ O ₅	CO ₂	
465	61,72	1,36	23,54	1,87	—	0,01	0,74	—	0,27	6,28	0,24	0,24	1,20	0,21	0,70

Серицит широко развит в пределах Кафанского рудного поля, где он является одним из основных пордообразующих минералов гидротермально измененных пород. Здесь выделяется ряд разностей гидротермально измененных пород, в которых отмечается при-

существие серицита. К ним относятся: 1) альбит-эпидот-хлорит-кварцевая; 2) хлорит-пиритовая; 3) хлорит-кварц-серицит-пиритовая; 4) кварц-серицит-пиритовая; 5) кварц-каолинит-серицит-пиритовая; 6) каолинит-диккитовая; 7) диаспор-диккитовая с пирофиллитом; 8) диккит-пирофиллитовая; 9) монокварцевая; 10) кварц-алунитовая.

Из этих разностей измененных пород больше всего серицит развит в хлорит-кварц-серицитовых, кварц-серицит-пиритовых и кварц-каолинит-серицитовых породах.

Серицит в хлорит-кварц-серицитовых породах представлен тонкочешуйчатым агрегатом, развитым в основном, по фенокристаллам плагиоклаза, а иногда по темноцветным минералам.

Электронографическое изучение серицитов, проведенное Р. Г. Мхитаряном (1972), показало, что серицит в основном представлен очень тонкими пластинами неправильной формы, размерами от 0,4 до 3 микрон.

Изучение серицитов Кафанского месторождения, в частности, на участке Катар, показало сходные с Шамлугом условия распространения политипных модификаций. Здесь, благодаря исследованиям Р. Г. Мхитаряна, установлено, что политип $2M_1$ развит повсеместно в пределах Кафанского рудного поля и связан с высокотемпературным предрудным гидротермальным изменением. Политип $1M$ развит вдоль рудных тел и обычно наложен на более раннее высокотемпературное изменение. Данный политип $1M$ развит также в дорудных дайках. Исключение составляет Шаумянское месторождение, где серицит вокруг рудных тел также представлен модификацией $2M_1$. Наличие высокотемпературной модификации $2M_1$ на Шаумянском месторождении, по мнению Р. Г. Мхитаряна, связано с внедрением внутриминерализационных даек, либо это свидетельствует об оторванности во времени Шаумянского месторождения от Кафанского.

Серицит является наиболее распространенным минералом гидротермально измененных пород рудных формаций Зангезурского рудного района.

Серицит широко проявляется в небольших грейзеноподобных образованиях района сс. Ванк, Аткиз, Аревис, где он тесно ассоциирует с турмалином. В указанных породах серицит сопровождает процесс турмалинизации, выделяясь после турмалина.

В грейзенизованных породах серицит образует крупные чешуйчатые и споновидные агрегаты, промежутки которых выполнены рудным минералом, обычно халькопиритом, либо молибденитом.

Серицит весьма широко развит во вторичных кварцитах, где он является одним из преобладающих минералов и тесно срастается с кварцем. В кварц-серицитовой фации этих кварцитов сери-

цит составляет 50—60% всего объема породы. Такие вторичные кварциты развиты на Дастакертском, Каджаранском, Джиндаринском, Айгедзорском и Агаракском месторождениях, где они являются предрудными образованиями.

Наиболее широко серицит представлен в окаторудноизмененных породах медно-молибденовой и золото-сульфидной формаций и сопровождает формирование ряда рудных ассоциаций (кварц-молибденит-халькопиритовая, кварц-халькопиритовая, кварц-пиритовая, кварц-сфалерит-галенитовая).

На Дастакертском месторождении, в отличие от других месторождений, серицитизация характерна для окаторудноизмененных пород I-ой кварц-молибденит-халькопиритовой ассоциации. Дастакертское месторождение в основном локализовано в контактовых роговиках, а окаторудные метасоматиты этой ассоциации характеризуются тонкозернистым строением. Серицит в них совместно с кварцем и хлоритом образует двух- и трехминеральные агрегаты.

II-ая кварц-молибденит-халькопиритовая ассоциация локализована в гранодиоритах. Серицит окаторудноизмененных пород этой ассоциации характеризуется сравнительно большими размерами чешуек. Они здесь достигают 3—4 мм в поперечнике. Это, очевидно, обусловлено тем, что он развивается по сравнительно крупным призматическим кристаллам плагиоклаза гранодиоритов. Серицит здесь характеризуется следующими константами: Ng—1,589; Np—1,561 и Ng—Np—0,028.

Чисто отобранные чешуйки серицита были подвергнуты химическому анализу в лаборатории ИГН АН АрмССР (автор К. А. Карамян, аналитик З. Гаспарян), который показал следующее содержание компонентов (табл. 191).

Таблица 191
Химический анализ серицита

Окислы	SiO_2	TiO_2	Al_2O_3	Fe_2O_3	FeO	CaO	MgO	MnO	K_2O	Na_2O	H_2O^+	H_2O^-	Сумма
Содерж. в %	53,80	0,09	33,11	0,55	—	сл.	сл.	—	5,56	1,93	4,30	1,00	100,34

Как видно из химического анализа, серицит относится к фентиту.

Возрастные взаимоотношения серицита окаторудноизмененных пород ранее отмеченных ассоциаций с рудными минералами устанавливаются довольно отчетливо. Молибденит, как правило, захватывает чешуйки серицита, либо интенсивно замещает его.

Аналогичные взаимоотношения устанавливаются также между серицитом и халькопиритом в рудах кварц-халькопиритовой ассоциации на ряде месторождений (Каджаран, Агарак, Айгедзор, Тей-Личкваз). Серицит повсеместно является более ранним образованием и халькопирит, как правило, цементирует чешуйчатые агрегаты серицита.

Несколько иная картина намечается в возрастных взаимоотношениях между ранним пиритом, образующим ореол вкрапленной минерализации вокруг рудных тел ряда минеральных ассоциаций (кварц-халькопиритовая, кварц-пиритовая и кварц-сфалерит-галенитовая) и серицитом околоврудноизмененных пород. Пирит здесь образуется замещением темноцветных минералов (биотит, роговая обманка) путем заимствования из этих минералов железа в процессе диффундирования ионов серы во вмещающие породы. Серицит же образуется после образования раннего пирита. В этом случае пирит разъедается серицитом.

В месторождениях Зангезурского рудного района серицит характеризуется проявлением двух политипных модификаций $2M_1$ и $1M$. С целью определения условий проявления этих модификаций в различных типах метасоматитов нами были проведены электронографические исследования серицитов из трех наиболее характерных метасоматитов Зангезурского рудного района: грейзены, вторичные кварциты и березиты (кварц-сериицитовые метасоматиты), которые сопровождают оруденение ряда минеральных ассоциаций: кварц-молибденит-халькопиритовой, кварц-халькопиритовой, кварц-пиритовой и кварц-сфалерит-галенитовой. Результаты этих исследований представлены в табл. 192.

Из представленной таблицы видно, что для грейзенов характерно исключительное развитие политипной модификации $2M_1$. Аналогичная картина наблюдается для серицитов вторичных кварцитов, где также в целом преобладает политип $2M_1$. Несколько разнообразно проявляется политипия в серицитах из березитов, которые, как было отмечено ранее, сопровождают рудную минерализацию ряда минеральных ассоциаций. При этом для ранних и высокотемпературных минеральных ассоциаций (кварц-молибденит-халькопиритовая, кварц-халькопиритовая) в целом характерен политип $2M_1$, между тем как для поздних относительно низкотемпературных ассоциаций характерен политип $1M$.

Картина распределения политипных модификаций серицита в различных метасоматических формациях Зангезурского рудного района весьма сходна с распределением политипных модификаций серицита, характерных для колчеданных месторождений Армянской ССР (С. О. Ачикгезян, Р. Г. Мхитарян, Э. М. Налбандян, 1968).

Таблица 192

Развитие политипных модификаций серицита 2M₁ и 1M
в различных типах метасоматитов Занзегурского рудного района

	Метасоматические формации	Месторождения и местонахождение	Политип
I	Грейзены	1. Кварц-турмалин-серицитовые грейзены с. Банк	2M ₁
		2. Кварц-турмалин-серицитовые грейзены с. Аравус	2M ₁
II	Вторичные кварциты	1. Вторичные кварциты, Давачи	2M ₁
		2. Вторичные кварциты, Джиндара	2M ₁ +1M
		3. Вторичные кварциты, Нор-Аревик	2M ₁
		4. Вторичные кварциты, Тей	2M ₁
		5. Вторичные кварциты, Агарак	2M ₁
III	Гидротермально-измененные породы—березиты (кварц-серицитовые метасоматиты)	I медно-молибденовая стадия, Дастанкерт	2M ₁ , 1M
		II медно-молибденовая стадия, Дастанкерт	2M ₁ , 1M
		Кварц-пиритовая стадия, Дастанкерт	1M, 2M ₁
		Кварц-свинцово-цинковая стадия, Дастанкерт	1M, 2M ₁
		Кварц-халькопиритовая стадия, Каджаран	2M ₁
		Кварц-пиритовая стадия, Каджаран	1M+2M ₁
		Кварц-пиритовая стадия, Аткис	1M
		Кварц-пиритовая стадия, Катнаграт	1M
		Кварц-сфалерит-галенитовая стадия, Каджаран	1M+2M ₁
		Кварц-медно-молибденовая стадия, Шор-джур	1M
		Кварц-пиритовая стадия, Тей-Личкваз	1M
		Кварц-сфалерит-галенитовая стадия, Тей-Личкваз	1M+2M ₁
		Кварц-халькопиритовая стадия, Агарак	2M ₁
		Кварц-пиритовая стадия, Агарак	2M ₁ +1M

В результате анализа высот рефлекса упомянутых политипных модификаций серицита были определены параметры их элементарных ячеек (табл. 193).

Серициты из ранее отмеченных метасоматических формаций были проанализированы спектрально. Помимо элементов, составляющих основу серицита, к которым относятся Si, Al, Mg, Ca, Fe,

Na, K, в серицатах установлена большая группа элементов-примесей, к которым относятся (в %): Mn—0,003—0,1, Ni—0,0003—0,002, Co—0,001—0,003, Ti—0,1—1,0, V—0,003—0,03, Ge—0,0003—0,001, Mo—0,0003—0,1, Zr—0,002—0,01, Cu—0,003—1,0, Pb—0,001—0,3, Ag—0,001—0,003, Zn—0,002—0,3, Sb—0,02, Bi—0,002—0,01, Sn—0,0003—0,01, Ga—0,001—0,01, Y—0,001—0,003, Yb—0,0003—0,003, Sr—0,001—0,03, Ba—0,03—0,1, Be—0,0002—0,0003.

Таблица 193

Модификации	Параметры			
	a_0	b_0	c_0	β
1M	5,16—5,20 Å	8,96—9,0 Å	9,9—10,4 Å	99°45'—100°21'
2M ₁			19,5—20,1 Å	93°—95°30'

Характерной особенностью серицитов из трех ранее выделенных метасоматических формаций является то, что серициты окорудноизмененных пород (березиты) постоянно содержат повышенные содержания рудных элементов, к которым относятся Mo, Cu, Pb, Ag, Zn, Sb, Bi.

Серицит (гидрослюдя) является характерным минералом окорудноизмененных пород (апогаббровых и апопорфиритовых метасоматитов) Зодского золоторудного месторождения.

По данным Г. А. Саркисяна (1968), их образование тесно сопряжено по времени с формированием рудных жил.

Гидрослюды здесь образуются в связи с разными минеральными ассоциациями: пирит-арсенопиритовой, золото-полиметаллической, антимонитовой. В окорудных метасоматитах гидрослюды тесно ассоциируют с кварцем, доломитом, хлоритом, монтмориллонитом, каолинитом, диккитом.

Под микроскопом гидрослюды бесцветны и образуют мельчайшие разрозненные скопления чешуек, приуроченных к аллотропноморфнозернистым участкам. Кварц и гидрослюды замещают хлориты и основной плагиоклаз, но сами замещаются сульфидами. Размеры чешуек не превышают сотых долей миллиметра—0,02—0,05 мм, двупреломление 0,014—0,018. Псевдоабсорбция отсутствует.

Электронографическое изучение гидрослюд, проведенное Г. А. Саркисяном, позволило выделить среди них три полиморфно-политипные модификации—2M₁, 1M и 3T.

Гидрослюды, образованные в зальбандах пирит-арсенопиритовых жил первой рудной стадии минерализации характеризуются сочетанием двух модификаций (моноклинной и триклинической) с

преобладанием моноклинной. Расчетные параметры элементарной ячейки моноклинной модификации $2M_1$ следующие: $a_0=5,16\text{\AA}$; $b_0=8,96$; $c_0=20,00\text{\AA}$; $\beta=95^\circ$.

Гидрослюды, образованные в зальбандах аントимонитовых жил, завершающих рудный процесс, представлены двумя моноклинными модификациями— $2M_1+1M$ при резком преобладании в смеси модификации $1M$. Параметры решетки ее следующие: $a_0=5,16\text{\AA}$; $b_0=8,97\text{\AA}$; $c_0=9,96\text{\AA}$; $\beta=100^\circ$.

Полученные при электронографическом изучении результаты распределения политипных модификаций свидетельствуют о том, что многостадийное оруденение Зодского месторождения происходило на фоне понижения температуры от начальных стадий (модификации $2M_1+3T$) к конечным с преобладанием модификации $1M$ над $2M_1$.

Каолинит-диккит— $\text{Al}_4[(\text{OH})_8\text{Si}_4\text{O}_{10}]$. Химический состав (в %): $\text{Al}_2\text{O}_3=39,5$, $\text{SiO}_2=46,5$, $\text{H}_2\text{O}=14,0$. Из примесей в незначительных количествах устанавливаются Fe_2O_3 , MgO , CaO , Na_2O , K_2O , BaO и др.

Сингония моноклинная. Оптические константы: $\text{Ng}=1,566-1,567$, $\text{Nm}=1,561-1,565$, $\text{Nr}=1,560-1,562$, $\text{Ng}-\text{Nr}=0,006-0,007$. Оптически отрицательный, $2V=60^\circ$.

Каолинит и диккит являются широко распространенными минералами вторичных кварцитов Чибухлинского рудного поля. На Тандзутском месторождении имеют только минералогическое значение. На Чибухлинском месторождении, по данным С. О. Ачикгезяна, образуют кварц-каолинитовую фацию вторичных кварцитов, где содержание каолинита составляет 70 %. Встречается в виде мелких, почти изометрических, слегка удлиненных по Ng чешуек, размеры которых достигают 0,01 мм. Вместе с кварцем образует биминеральные агрегаты, апопорфировые выделения полевого шпата, $\text{Ng}=1,566$, $\text{Nm}=1,564$, $\text{Nr}=1,558$.

Каолинит является характерным минералом гидротермально измененных пород колчеданных месторождений Алавердского района. Он является породообразующим минералом в кварц-каолинит (диккит) с серицитом фации вторичных кварцитов, которая распространена на Ахтальском и Шамлугском месторождениях. Здесь эта фация располагается между монокварцевой и кварц-серицитовой фациями. По данным Э. М. Налбандяна, содержание диккита в породе достигает 20 % и он замещается серицитом. Каолинит (диккит) характеризуется $\text{Ng}=1,565$, $\text{Nr}=1,558$, $2V=+80^\circ$.

Каолинит и диккит развиты также широко в пределах Кафанского рудного поля. Здесь эти минералы образуют кварц-серицит-каолинитовую фацию. Указанная фация дает постепенный переход в кварц-серицитовую фацию, а в другую сторону в монокварциты. Указанные минералы развиваются по вкрапленникам полевого шпата.

вых шпатов. В некоторых разностях пород отмечается ассоциация каолинита и диккита с диаспором.

По данным Г. А. Саркисяна, каолинит и диккит составляют существенную часть окологильных апогаббровых метасоматитов (аргиллизитов), располагающихся непосредственно вблизи жил Зодского золоторудного месторождения.

Как диккит, так и каолинит, по данным вышеотмеченного исследователя, развиваются за счет плагиоклаза, эпидота, клиноцинзита и пренита в виде мутноватых скоплений скрытозернистых агрегатов.

Диккит установлен также в качестве жильного минерала в золото-теллуридовых кварцевых жилах и в промежутках игольчатых кристаллов антимонита. В окологильных ореолах каолинит-диккитовые породы замещаются гидрослюдами, карбонатами, сульфидами.

Кривые нагревания смеси каолинита и диккита из зальбандов кварцевых и антимонитовых жил характеризуется одним ($600-700^{\circ}\text{C}$) эндотермическим эффектом с четким минимумом при $695-705^{\circ}$ и экзотермическим эффектом при $980-1000^{\circ}\text{C}$.

Химический состав белого диккита из антимонитовой жилы Зодского месторождения, по данным Г. А. Саркисяна, приведен в табл. 194.

Таблица 194
Химический анализ диккита из Зодского месторождения

Название	SiO ₂	TiO ₂	Al ₂ O ₃	Fe ₂ O ₃	FeO	MnO	CaO	MgO	H ₂ O-	п.п.	Сумма
Диккит	44,08	0,46	37,25	0,65	0,54	нет	0,44	1,24	0,70	14,56	99,92

Каолинит является весьма распространенным минералом гидротермально измененных пород многих месторождений Зангерурского рудного района (Каджаран, Агарак, Джиндар).

В результате каолинизации рудовмещающие породы превращены в осветленные породы, где основная масса полевого шпата превращена в каолинит.

На Каджаранском месторождении каолинит тесно срастается с серицитом. Это говорит о том, что наиболее благоприятными, породами для образования каолинита являются серицитизированные породы. Под микроскопом каолинит характерен удлиненными чешуйчатыми кристаллами, показатели преломления: $\text{Ng}=1,566$, $\text{Np}=1,559$, $2V=+88$.

Кривая нагревания каолинита из Каджаранского месторождения представлена на рис. 92.

Электронографические исследования каолинита из Каджаранского месторождения позволили установить его параметры: $a_0 = 5,13 \text{ \AA}$, $b_0 = 8,92 \text{ \AA}$. Из-за несовершенства структуры параметр c не прослеживается.

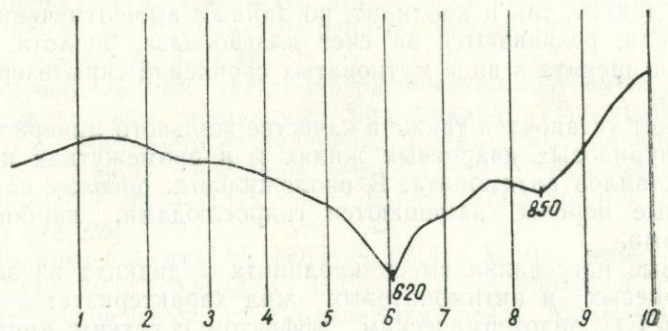


Рис. 92. Кривые нагревания каолинита. Месторождение Каджаран. По К. А. Карамяну.

Каолинит распространен также на Вартанском ртутном месторождении, где каолинизация развивается по вмещающим липарито-дацитам плиоценового возраста и тесно связана с процессом оруденения. Микроморфология кристаллов каолинита из Вартанского месторождения представлена на рис. 93.

Спектральным анализом в каолините Каджаранского месторождения установлены следующие элементы-примеси (в %) (аналитик М. Я. Мартиросян): Co—0,001, Ti—0,75, V—0,013, Cr—0,00032, As—0,032, Mo—0,013, Zr—0,075, Cu—0,56, Pb—0,00075, Zn—0,0032, Sn—0,001, Ga—0,0018, Sr—0,10, Ba—1,0, Li—0,00018, P—0,042, Be—0,0001, B—0,0056.

Диккит имеет сравнительно небольшое распространение в зоне окисления эндогенных месторождений Зангезурского рудного района.

На Каджаранском месторождении К. А. Карамян установил налеты диккита на стенках трещин окисленных руд. Здесь диккит, очевидно, представляет собой переотложенный продукт из вмещающих каолинизированных монцонитов. Толщина таких налетов сравнительно небольшая и составляет 1—2 мм, до 4—5 мм в редких случаях.

Межплоскостные расстояния диккита из зоны окисления Каджаранского месторождения приведены в табл. 195.

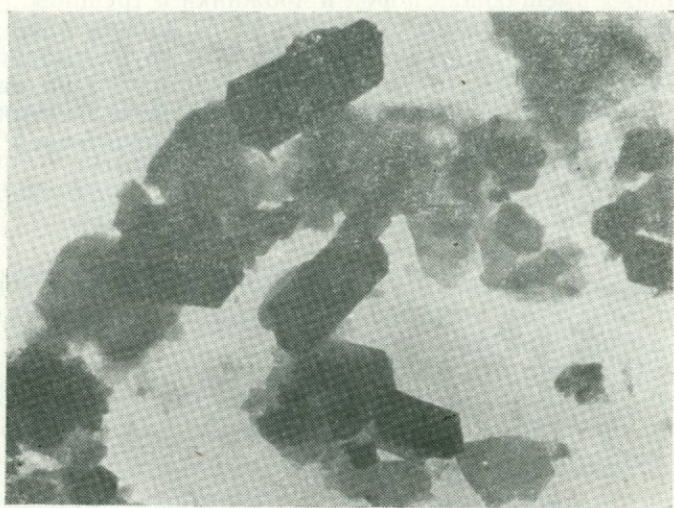


Рис. 93. Микроморфология кристаллов каолинита из Вартанского ртутного месторождения. Электронная микроскопия. Увел. 15000. По К. А. Карамяну.

Таблица 195

Межплоскостные расстояния диккита из зоны окисления
Каджаранского месторождения*

1	$\frac{dn}{n}$	1	$\frac{dn}{n}$	1	$\frac{dn}{n}$	1	$\frac{dn}{n}$
10	7,14	10	3,57	4	2,563	2	1,875
3	4,42	4	3,42	5	2,508	3	1,859
3	4,35	2	3,27	9	2,385	4	1,558
5	4,26	2	3,10	8	2,323	4	1,489
5	4,11	2	2,938	2	2,211	1	1,455
1	3,96	2	2,796	1	2,108	6	1,319
5	3,80			6	2,013		

* Анализ выполнен в рентгеновской лаборатории ИГН АН АрмССР Э. Х. Хуршудян.

Аналогичные случаи переотложения каолинита из вмещающих пород в рудные прожилки установлены также на Дастакертском месторождении.

Необходимо отметить, что о переотложении диккита из каоли-

низированных вмещающих пород в прожилки и трещины в процессе их выщелачивания ранее отмечала Е. А. Акопян (1960).

Хлориты. Минералы, принадлежащие к группе хлоритов, по особенностям химического состава подразделяются на две группы: ортохлориты и лептохлориты. Богатые магнезием минеральные виды получили название ортохлоритов с характерной химической формулой $(Mg, Fe)_{6-p} (Al, Fe)_{2p} Si_{4-p} (OH)_2$.

Богатые железом разности хлоритов получили название лептохлоритов. Их общая формула: $(Fe, Mg)_{n-p} (Fe, Al)_{2n} Si_{n-p} [OH]_2 (L-2) \cdot H_2O$, где n — около 5.

Хлорит является одним из характерных минералов некоторых типов метасоматитов, проявленных в пределах месторождений ряда рудных формаций Армянской ССР.

Хлорит широко отмечается в рудных месторождениях Базумского рудного района, где является одним из основных породообразующих минералов в хлорит-карбонатных и хлорит-гидромусковитовых метасоматитах Тандзутского и Чибухлинского месторождений.

По данным С. О. Ачикгезяна, здесь хлорит образует тесные срастания с другими минералами метасоматитов. Для хлоритов получены кривые нагревания, на которых четко выделяются эндотермические эффекты при $620-640^\circ$ и менее четкие при $840-850^\circ$, а также экзотермический эффект при $850-870^\circ C$.

На основе этих кривых нагревания хлорита устанавливается его принадлежность к магнезиально-железистой разности хлоритов к группе грохауит-прохлорит. С. О. Ачикгезяном и Э. М. Налбандяном (1968) было проведено изучение оптических свойств хлоритов Тандзутского, Чибухлинского и Шамлугского колчеданных месторождений.

Здесь намечается четкая картина зависимости уменьшения показателя Nm хлоритов по мере приближения к рудным телам. Хлориты являются широкораспространенными минералами в различных фациях региональных и предрудных пропилитов колчеданных месторождений Алавердского рудного района (Шамлуг, Алаверди, Ахтала).

По данным Э. М. Налбандяна, в отмеченных породах хлорит является породообразующим минералом. В региональных пропилитах хлорит представлен в основном магнезиальной разностью — пеннином. Пеннин характеризуется аномально фиолетовой интерференционной окраской с показателями преломления: $Nm = 1,595$ до $1,605$. Удлинение положительное. Реже встречается клинохлор с $Nm = 1,596-1,600$ и делессит с $Nm = 1,592$, оптически отрицательный. Хлорит в региональных пропилитах ассоциирует с эпидотом, карбонатом, пренитом, цеолитом, которые в различных сочетаниях отмечаются в миндалинах.

В предрудных пропилитах хлорит представлен магнезиально-железистой разностью (репидолит) с показателями преломления: $Nm = 1,598 - 1,616$, оптически отрицательный. Отношение Mg:Fe равно 3:1. В хлорит-карбонат-кварцевой и серицит-хлорит-кварцевой фациях встречается в тесных срастаниях с карбонатом и серицитом.

В пределах Кафанского рудного поля имеет весьма широкое распространение и проявляется в комплексах измененных пород, соответствующих как зеленокаменным изменениям, так и пропилитам.

Комплекс зеленокаменного изменения проявлен в андезитовых и дацитовых порфириях, которые в стратиграфическом отношении соответствуют низам средней юры или предположительно нижней юре. Здесь хлорит тесно ассоциирует с альбитом, эпидотом, пренитом, карбонатом. Порфирии с зеленокаменным изменением характеризуются миндалекаменным строением, где миндалины заполнены эпидотом, хлоритом, карбонатом и кварцем.

Хлорит отмечается также в комплексе измененных пород, соответствующих пропилитам. К таким образованиям относятся хлоритизированные, слабо окварцованные андезитовые и андезито-дацитовые порфирии, часто миндалекаменного строения. Хлоритизация обычно развивается по стеклу.

Хлорит, как жильный минерал, в месторождениях Зангезурского рудного района довольно редкое явление. Он установлен только на Анкасарском месторождении в кварц-молибденит-халькопиритовом прожилке. Здесь хлорит образует пластинчатые агрегаты, либо веерообразные выделения в поперечнике 1,0—1,5 см, располагающиеся поперек прожилка. Хлорит здесь в агрегатах срастается с диоктаэдрической слюдой.

Цвет хлорита под микроскопом зеленый, по Ng—светло-желто-зеленый, по Nm—темно-оливково-зеленый, по Nr—оливково-зеленый; $Ng-Nr = 0,008$, схема абсорбции обратная; $Nr > Nm > Ng \Rightarrow 1,619$, $2V = -21^\circ$, дисперсия $r > v$, удлинение отрицательное. Интерференционная окраска на срезе NgNr аномальная, фиолетово-синяя. Минерал по оптическим свойствам соответствует прохлориту с соотношением $\frac{Fe}{Fe+Mg} \approx 45\%$.

Рентгенометрические исследования хлорита в рентгенолаборатории ВИМСа подтвердили принадлежность хлорита к прохлорит-корундофиллитовой группе. Межплоскостные расстояния представлены в табл. 196.

Электронографические исследования этого хлорита, проведенные в ИГН АН АрмССР Р. Г. Мхитаряном, установили следующие параметры кристаллической решетки хлорита: $a_0 = 5,292$, $b_0 = 9,249 \text{ \AA}$.

Межплоскостные расстояния прохлорита из
Анкасарского месторождения

hkl	I	$\frac{d\alpha}{n}$	hkl	I	$\frac{d\alpha}{n}$
001	9	14,06	135,206	2	1,886
002	10	7,048	136,205	2	1,828
003,020	9	4,717		1	1,748
004	1	3,895	136,207	1	1,662
004	9	3,536	137,208	3	1,568
005	5	2,832	060,331	3	1,539
131,202	6	2,532	062,331	1	1,509
133,203	1	2,444			
133,202	1	2,381			
133,204	2	2,279			
204	2	2,001			

Термические исследования хлорита проведенные И. Х. Петровским, подтверждают принадлежность указанного хлорита к прохлорит-корундофиллитовой группе (рис. 94).

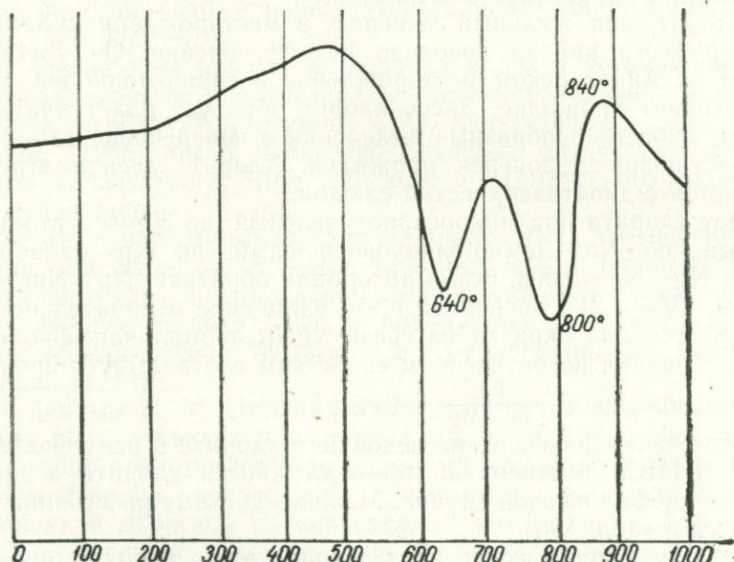


Рис. 94. Термограмма хлорита (прохлорит-корундофиллитовая группа). Месторождение Анкасар. По К. А. Карапяну.

Химический анализ чистоотобранный разности хлорита (данные К. Карамяна и А. Авакяна) показал следующие содержания окислов (табл. 197).

Таблица 197

Окислы	SiO_2	TiO_2	Al_2O_3	Fe_2O_3	FeO	MnO	CaO	MgO	Na_2O	K_2O	п.п.	Сумма	Аналитик
Вес. %	28,5	1,41	22,69	7,69	17,38	1,0	1,06	12,23	н/о	0,15	9,0	100,86	Г. Джрабашян

Спектральный анализ хлорита показал наличие следующих элементов-примесей (в %): Ni—0,018, Co—0,1, V—0,13, Ti—2,4, Mo—0,042, Cu—0,32, Zn—1,0, Ga—0,032, Li—0,0024, Sc—0,0032.

Хлорит является относительно слабо распространенным минералом гидротермально измененных пород в рудных месторождениях Зангезурского рудного района. Он установлен в ряде метасоматических формаций.

Наибольшее распространение хлорит имеет в зеленокаменно-перерожденных породах палеогенового эффузивного комплекса. Здесь хлорит обычно образует мелкочешуйчатый агрегат, бесцветен. Местами чернильного цвета и развивается по основной массе, в виде пятен неправильного очертания. Отмечаются случаи замещения хлоритом вкрапленников плагиоклаза и темноцветных минералов. Оптические данные хлорита из вышеописанных пород приведены в табл. 198.

Таблица 198

№ образцов	Nm	Ng—Np	2v	f
75.52	$1,620 \pm 2$	0,002	-32°	50
133.52	$1,620 \pm 2$	0,003	-30°	55

Хлорит в указанных породах относится к железо-магнезиальной разности—диабандиту и состоит:

25% антигорита 2 ($\text{H}_4\text{Mg}_3\text{SiO}_9$)

25% амезита 3 ($\text{H}_4\text{Mg}_2\text{Al}_2\text{SiO}_9$)

25% ферроантигорита 2 ($\text{H}_4\text{Fe}_3\text{SiO}_9$)

25% дафнита 3 ($\text{H}_4\text{Fe}_2\text{Al}_2\text{SiO}_9$)

Сравнительно слабее развит хлорит в пропилитах. На Дастакертском месторождении хлорит совместно с эпидотом образует зональные эпидот-хлоритовые метасоматические образования. Эпидот развит во внешней зоне, между тем как хлорит развит во внутренней зоне этих образований. Хлорит пропилитов обычно

образует чешуйки, веерообразные агрегаты и розетки. Обычно имеет ярко-зеленый цвет, слабое двупреломление, сильно выраженный плеохроизм.

Химический анализ хлорита из дастакертских пропилитов по К. А. Карапяну показал следующее содержание компонентов (табл. 199).

Таблица 199

SiO ₂	TiO ₂	Al ₂ O ₃	Fe ₂ O ₃	FeO	MnO	MgO	CaO	Na ₂ O + K ₂ O	п.п.п.	Сумма
34,88	0,22	19,21	5,77	11,52	0,13	13,84	3,99	0,13	10,51	100,20

Как видно из химического анализа, вышеотмеченный хлорит относится к железо-магнезиальной разности и может быть отнесен к реипидолиту.

На Джиндаринском месторождении хлорит развит значительно шире, чем на остальных месторождениях. Здесь хлоритизация связана с процессом оруденения и развивается за счет темноцветных минералов (биотит, роговая обманка), вмещающих гранодиорит-порфир. При хлоритизации вышеотмеченных минералов отмечаются выделения рудного минерала.

Хлорит образуется также во внешней зоне кварц-серicitовых пород. Последние возникают вдоль рудных прожилков кварц-халькопиритового, кварц-пиритового и кварц-сфалерит-галенитового состава. Хлорит установлен и в рудоносных пропилитизированных гранодиоритах Айгедзорского месторождения. Здесь хлорит относится к группе шамуазита (табл. 200).

Таблица 200

Межплоскостные расстояния шамуазита из
Айгедзорского месторождения

I	$\frac{d_x}{n}$	I	$\frac{d_x}{n}$
10	7,18	2	2,49
1	4,70	3	1,556
10	3,50	3	1,518

Анализ выполнен в рентгеновской лаборатории ВИМС-а Г. А. Сидоренко.

Хромдиопсид—CaMg[Si₂O₆]. Сингония моноклинная.

Встречается среди хромитовых руд Шоржинского и Даринского месторождений на северо-восточном побережье озера Севан

как минерал-спутник хромитовых руд. Образует мелкие (от 0,5 до 5 мм) зернистые короткостолбчатые скопления вдоль трещин хромитовых руд мощностью до 3—4 мм.

Спайность хорошая по 110. Твердость 5,5, хрупок, уд. вес 3,31. Цвет—интенсивно зеленый, блеск стеклянный. Оптически положительный, $\text{Ng}-\text{Np}=0,029$, $c\text{Ng}=42^\circ$, $2V=+58^\circ$.

Теоретический состав (в %): $\text{CaO}=25,9$, $\text{MgO}=18,5$, $\text{SiO}_2=55,6$. В качестве изоморфных примесей присутствуют TiO_2 , Al_2O_3 , MnO , Na_2O и др. Химический состав хромдиопсида из Даринского месторождения хромистого железняка приведен в табл. 201. Наличие воды, вероятно, указывает на присутствие незначительной примеси серпентина, а п.п.п.—карбоната (кальцита или магнезита).

Хромдиопсид образовался в постмагматическую стадию в процессе серпентинизации ультрамафитов и метаморфизма хромшпинелидов, а необходимый для образования хромдиопсида хром был заимствован из хромшпинелидового вещества.

Практического значения хромдиопсид в АрмССР не имеет.

Таблица 201

Оксиды	Хром-диопсид [*]	Оксиды	Хром-диопсид
SiO_2	49,70	CaO	24,12
TiO_2	0,40	Na_2O	0,25
Al_2O_3	3,14	K_2O	0,04
Cr_2O_3	2,25	H_2O^+	0,80
Fe_2O_3	0,20	H_2O^-	не обн.
FeO	не обн.	П. п. п.	1,30
MnO	0,20	Сумма	100,81
MgO	18,41		

* Анализ выполнен в химической лаборатории ИГН АН АрмССР А. А. Петросян.

Демантоид— $\text{Ca}_3\text{Fe}_2[\text{SiO}_4]_3$. Сингония кубическая.

Обнаружен в ряде проб аподунитовых и апогарцбургитовых серпентинитов из магнезитизированных участков Джил-Сатанахаачского мафит-ультрамафитового массива как акцессорный минерал в количестве до 7 г/т, а также на Даринском месторождении асбеста (Корчагина, Парсамян, 1966). Магнезитизированные серпентиниты характеризуются сильной трещиноватостью, вдоль трещин наблюдается развитие хризотил-асбеста. В процессе дробления проб асбест легко выделяется в пушистую волокнистую массу, в которой и наблюдаются хорошо образованные кристаллы демантоида.

Спайность отсутствует. Твердость—6,8, хрупок, излом неровный. Уд. вес—3,4. Цвет—зеленый, прозрачный, блеск стеклянный. Оптически изотропный, $N=1,890$. Размеры кристаллов не превышают 2 мм, облик их ромбододекаэдрический, часто в комбинации с тетрагон-триоктаэдром, иногда с оплавленными гранями.

Теоретический состав (в %): CaO —33,0, Fe_2O_3 —31,5, SiO_2 —35,5. В качестве примесей присутствуют K_2O , Na_2O , P_2O_5 , V_2O_5 , ZrO , BeO и др. Химический состав демантоида из Джил-Сатана-хачского массива приведен в табл. 202.

Таблица 202

Окислы	Демантоид	Окислы	Демантоид
SiO_2	50,85	CaO	19,99
TiO_2	0,07	Na_2O	0,12
Al_2O_3	0,20	K_2O	не обн.
Fe_2O_3	1,36	H_2O	0,69
FeO	3,09	П. п. п.	2,92
MnO	0,20	Сумма	99,45
MgO	19,96		

Анализ выполнен в химической лаборатории ИГН АН АрмССР аналитиком А. А. Петросян.

Демантоид образовался как результат воздействия кислых гидротерм на ультрамафитовые породы, причем оплавленность граней указывает на то, что кристаллизация его предшествовала асбестообразованию.

Практического значения в Армянской ССР минерал не имеет.

Кеммерерит— $(\text{Mg}, \text{Fe})_5\text{Al}[\text{AlSi}_3\text{O}_{10}][\text{OH}]$. Сингония моноклинная.

Встречается среди хромитовых руд Шоржинского, Джильского и Даринского месторождений на северо-восточном побережье озера Севан как минерал—спутник хромитовых руд. Образует чешуйчатые скопления в миароловых пустотах массивных руд, а также мелкозернистые сплошные агрегаты в трещинах руд.

Спайность совершенная по 001, чешуйки гибкие, твердость 2, уд. вес—2,7. Цвет фиолетовый, блеск перламутровый. Оптически отрицательный, $\text{Ng}-\text{Np}=0,003$.

Теоретический состав (в %): MgO —17,4—35,9, FeO —0,7—17,4, Fe_2O_3 —0—57, Al_2O_3 —13,8—21,3, SiO_2 —29,8—33,7, H_2O —11,5—14,6. В виде изоморфных примесей встречаются (в %): MnO до 2,3, CaO до 1,3, Cr_2O_3 до 11,39.

В табл. 203 приведены химические анализы двух образцов кеммерерита из Шоржинского месторождения хромита. В образце 1 содержание CaO несколько повышенено, что связано, по-видимому, с наличием механической примеси кальцита.

Таблица 203

Оксиды	1	2	Оксиды	1	2
SiO ₂	28,02	33,64	MgO	37,20	37,59
TiO ₂	0,16	0,17	CaO	4,01	0,11
Al ₂ O ₃	12,16	9,40	Na ₂ O	0,23	0,24
Cr ₂ O ₃	3,40	3,00	K ₂ O	не обн.	не обн.
Fe ₂ O ₃	2,40	1,84	H ₂ O ⁻	не обн.	0,17
FeO	не обн.	0,86	П. п. п.	13,15	13,08
MnO	не обн.	не обн.	Сумма	100,73	100,10

Анализ выполнен в химической лаборатории ИГН АН АрмССР аналитиком А. А. Петросян.

Принадлежность минерала к кеммерериту устанавливается также на основании данных рентгеноструктурного анализа (табл. 204).

Таблица 204

Межплоскостные расстояния кеммерерита

I	$\frac{d_x}{n}$	I	$\frac{d_x}{n}$
6	14,3	5	2,046
10	7,1	3	2,014
8	4,796	2	1,989
10	3,596	5	1,577
6	2,874	4ш	1,542
4	2,508	4ш	1,437
3	2,404	3ш	1,407
3	2,151	3ш	1,375

Лаборатория ИГН АН АрмССР, Ревазова Н. В.

Кеммерерит образовался в постмагматическую стадию в процессе серпентинизации ультрамафитов и метаморфизма хромшипелидов, при этом необходимый для образования кеммерерита глинозем был заимствован из хромшипелидового вещества.

Практического значения в Армянской ССР кеммерерит не имеет.

Хризотил-асбест— $Mg_6[Si_4O_{11}]_6 \cdot H_2O$. Сингония моноклинная.

Широко распространен среди серпентинизированных массивов ультрамафитовых пород, в виде одиночных волосяных прожилков, а на некоторых участках (Джанахмедский) образует значительные скопления, где на небольшой площади (около 600 м²) отмечаются многочисленные параллельные друг другу прожилки от 2 до 6 мм мощностью (рис. 95). Часто одна группа параллельных прожилков рассекается другой группой параллельных прожилков, ориентированных под прямым углом к первой группе (Абовян, 1961).

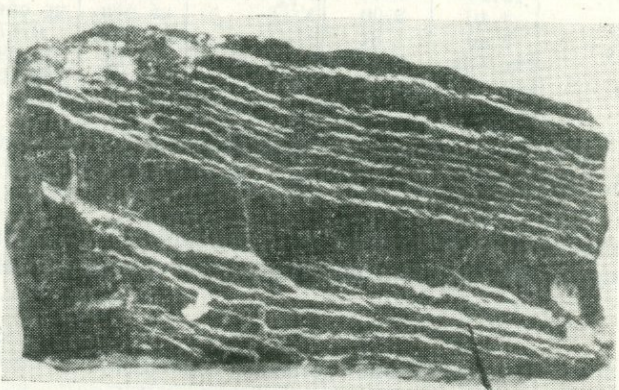


Рис. 95. Полированый штук перидотита с двумя группами прожилков хризотил-асбеста. 1/2 натур. величины. Джанахмедское проявление. По С. Б. Абовяну.

Прожилки хризотил-асбеста имеют поперечно-волокнистое строение, легко распускаются, дают мягкие волокна, толщиной до 0,01 мм, длиной до 6 мм. Цвет—белый, иногда золотисто-белый, уд. вес—3,09 (уд. вес несколько завышен, по-видимому, в пробу попали обломки вмещающего перидотита). Оптически положительный, $Ng=1,544$, $Np=1,531$, $Ng-Np=0,013$. Твердость 2. Теорет. состав: MgO —43,0%, SiO_2 —44,1%, H_2O —12,9%. В табл. 205 приведен химический состав хризотил-асбеста из Джанахмедского проявления (графа 1) и Канадского месторождения Тетфорд (Справочник для геологов, вып. 5, 1946) (графа 2).

Сравнение приведенных составов обнаруживает их полное сходство. Формула Джанахмедского асбеста, вычисленная на основании его химического анализа, следующая: $H_4Mg_3Si_2O_9$.

По своему типу описываемый асбест близок к мелкопрожилочному типу асбестоносности или тигровому асбесту, характерному для Аспагашского месторождения.

Образование хризотил-асбеста связывается с процессом автометаморфической серпентинизации ультрамафитовых массивов и последующей обработкой серпентинитов термальными растворами кислой магмы.

Таблица 205

Окислы	1	2	Окислы	1	2
SiO ₂	38,28	39,62	MgO	38,96	39,73
Al ₂ O ₃	0,98	0,81	H ₂ O ⁺	не опр.	13,32
Fe ₂ O ₃	4,93	4,52	H ₂ O ⁻		0,43
FeO	2,08	1,90	(I. п. п.)	14,00	—
MnO	0,10	—	Сумма	100,68	100,33
CaO	1,35	сл.			

Анализ (графа 1) выполнен в хим лаборатории ИГН АН АрмССР.

Амфибол-асбест — Ca₂Mg₅[Si₄O₁₁]₂[OH]₂. Сингония моноклинная.

Встречается среди разрыхленных магнезитизированных участков массивов ультрамафитовых пород в виде прожилков мощностью около 1 см и длиной до 1 м. В непосредственно разрыхленных участках волокна асбеста также разрушены и перемяты вместе с вмещающими породами, но на некоторой глубине (2—4 м) прожилки асбеста ясно фиксируются вдоль трещин сравнительно свежих и плотных дунитов.

Прожилки асбеста имеют продольно-волокнистое, реже косоволокнистое строение; последнее, вероятно, обусловлено последующими небольшими тектоническими подвижками. Цвет — белый, иногда серебристо-белый. Длина волокон 2—4 см, легко распускается, давая тонкие и мягкие волокна (рис. 96). Уд. вес 2,71. Оптически отрицательный, удлинение положительное, слабо плеохроирует; Ng = 1,56, Np = 1,54, Ng - Np = 0,02, с Ng = 14°.

Теоретический состав: CaO — 13,8%, MgO — 24,6%, SiO₂ — 58,8%, H₂O — 2,8%. Химический состав амфибол-асбеста из Нижне-Даринского проявления приведен в табл. 206 и для сравнения колебания в составе tremolite-асбеста (графа 2) по Дельтеру (Справочник для геологов, вып. 5, 1946) (графа 2).

Из таблицы видно, что состав Нижне-Даринского амфибол-асбеста укладывается в пределы колебаний в составе tremolite-асбеста по Дельтеру, за исключением SiO₂. Сравнительно низкое

содержание SiO_2 в анализированном образце вполне естественно, если учесть, что он залегает среди магнезитизированных ультра-мафитов, где в процессе магнезитизации происходит вынос SiO_2 в нижние горизонты. Данные химического анализа укладываются в следующую формулу: $\text{H}_2\text{Ca}_3\text{Mg}_5\text{Si}_7\text{O}_{24}$.

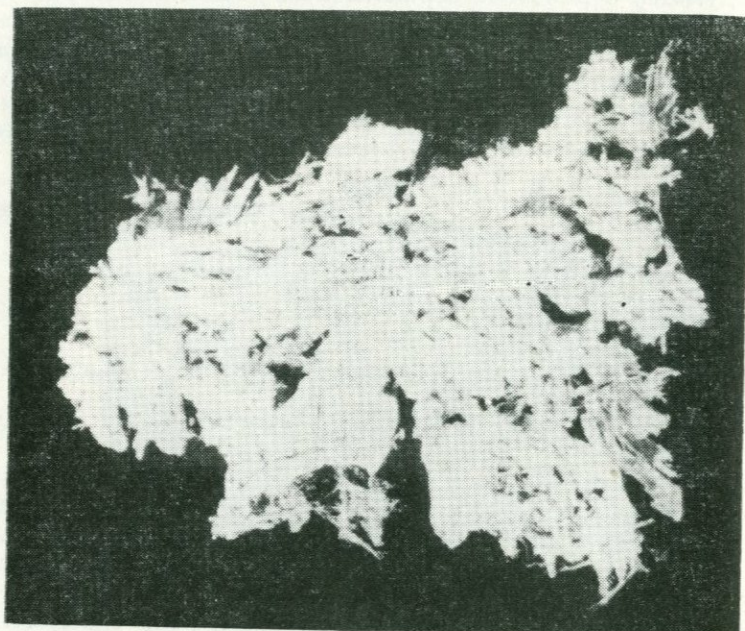


Рис. 96. Тремолит-асбест (распущенный). 1/2 натур. величины. Нижне-Даринское проявление. По С. Б. Абовяну.

Таблица 206

Окислы	1	2	Окислы	1	2
SiO_2	37,20	52,00—59,00	MnO	0,10	1,10—2,2
Al_2O_3	3,67	0,00—0,50	Na_2O	0,50	0,70—3,50
Fe_2O_3	1,40	0,40—1,00	K_2O		
FeO	1,52	2,00—11,00	H_2O^+	2,00	0,20—3,50
MgO	24,98	10,00—33,00	П. п. п.	13,50	
CaO	15,00	10,00—17,00	Сумма	99,88	

Анализ (графа 1) выполнен в химлаборатории ИГН АН АрмССР.

Другая щелочная разновидность амфибол-асбеста (арфведсонит) отмечается в трещинах сильно серпентинизированных, местами амфиболизированных дунитов Джил-Сатанахачского массива на Верхне-Даринском участке, в виде прожилков мощностью 1—2 см, длиной 1,5—2,0 м.

Прожилки асбеста имеют продольно-волокнистое строение. Цвет голубой с зеленоватым оттенком. Длина волокон 2—6 см, легко распускается, давая тонкие и мягкие волокна. Уд. вес—2,98. Оптически отрицательный, удлинение отрицательное, $Ng = 1,656$, $Np = 1,648$, $Ng - Np = 0,008$, $cNg = 15^\circ$. Плеохроизм сильный.

Теоретический состав: $\text{Na}_3(\text{Fe}^{2+}, \text{Mg})_4(\text{Fe}^{3+}, \text{Al})[\text{Si}_4\text{O}_{11}]_2[\text{OH}, \text{F}]_2$.

В табл. 206, 207 приведен химический анализ описываемого амфибол-асбеста. Как видно из анализа, этот асбест принадлежит к натриево-железистой разновидности амфиболов—арфведсониту.

Образование амфибол-асбеста на Даринском участке связывается с воздействием на ультрамафиты гидротерм кислой магмы, обогащенных кремнеземом и щелочами.

Таблица 207

Окислы	Арфведсонит. сбест	Окислы	Арфведсонитасбест
SiO_2	52,22	CaO	1,28
Al_2O_3	0,62	Na_2O	6,22
Fe_2O_3	10,17	K_2O	0,93
FeO	3,18	H_2O^+	2,20
MgO	19,25	П. п. п.	4,30
MnO	0,08	Сумма	100,48

Анализ выполнен в химлаборатории ИГН АН АрмССР.

Тальк— $\text{Mg}_3[\text{Si}_4\text{O}_{10}][\text{OH}]_2$. Сингония моноклинная.

Обнаружен среди магнезитизированных участков массивов ультрамафитовых пород северо-восточного побережья озера Севан и вдоль их контактовых частей с лиственитами и доломитами, где развиты узкие полосы тальк-карбонатных пород. Среди магнезитизированных пород тальк слагает небольшие плотные массы неправильной формы размерами от 0,2 до 0,7 м в поперечнике (Абоян, 1961), а среди тальк-карбонатных пород—мелкие чешуйчатые скопления в тесном срастании с тонкозернистым карбонатом.

Спайность в чешуйчатых разновидностях весьма совершенная

по {001}. Цвет зеленовато-серый. Блеск плотных разновидностей матовый. Уд. вес—2,7. Твердость около 1. Жирен на ощупь. В HCl не растворяется. Оптически отрицательный. Ng=1,584, Np=1,541, Ng-Np=0,043.

Теоретический состав (в %): MgO—31,7, SiO₂—63,5, H₂O—4,8. Часть MgO замещается FeO, часто присутствует Al₂O₃, реже NiO. Химический состав талька из магнезитизированных перidotитов Кясаманского массива приведен в табл. 208 (Абоян, 1961).

Вероятно, в составе описываемого талька значительная роль принадлежит пирофиллитовой молекуле—Al₃[Si₄O₁₀][OH]₂.

Тальк образовался в результате гидротермального воздействия углекислых растворов на ультрамафитовые породы, а вдоль контактов ультрамафитов с лиственитами и доломитами—в результате контактно-метасоматических процессов, происходящих на границе между ними в гидротермальную стадию.

Таблица 208

Оксиды	Тальк	Оксиды	Тальк
SiO ₂	51,40	NiO	0,27
TiO ₂	0,10	CaO	0,63
Al ₂ O ₃	8,19	MgO	26,61
Cr ₂ O ₃	0,34	Na ₂ O}	
Fe ₂ O ₃	1,47	K ₂ O	0,30
FeO	1,76	H ₂ O	1,00
MnO	не обн.	Сумма	100,07

Скопления талька в связи с ограниченностью распространения не имеют практического значения.

Серпентин—Mg₆[Si₄O₁₀][OH]₈. Сингония моноклинная.

Является породообразующим минералом серпентинитов, которые вмещают рудные тела хромистого железняка и развиты в различной степени среди ультрамафитовых пород всех массивов габбро-перidotитовых комплексов Армянской ССР. Кроме того, серпентин является наиболее распространенным жильным минералом в рудах хромистого железняка и титаномагнетита Армянской ССР.

Встречаются все морфологические разновидности серпентина—антигорит—пластиначатая или чешуйчатая разновидность, хризотил и лизардит—волокнистые разновидности и офит—плотная разновидность. Последняя развита в значительно меньшей степени, чем первые две разновидности. Размеры антигоритовых пластинок достигают 0,5 мм, реже до 30 мм, толщина хризотиловых и лизардитовых волокон—до 0,01 мм.

Спайность отмечается только у пластинчатых разновидностей—антигоритов: по (001) совершенная, по (010) менее совершенная. Бастит, представляющий гомоосевую псевдоморфозу антогорита по ромбическому пироксену—энстатиту, обладает совершенной спайностью по (001), параллельной отдельности пироксенов. Цвет темно-зеленый, бутылочно-зеленый, зеленовато-черный, зеленовато-бурый. Офит—оливково-зеленый с желтым оттенком, антогорит—зеленовато-серый с синим оттенком. В тонких осколках по краям просвечивают. Блеск стеклянный, жирный, у офита—восковой, у бастита—перламутровый, иногда со слабым золотистым оттенком. Твердость 2,5—3,5, у офита 2, у антогорита—3. Уд. вес 2,5—2,7. Антогорит и хризотил оптически отрицательные, лизардит—положительный, $\text{Ng} - \text{Nr} = 0,012$ (для антогорита) и $\text{Ng} - \text{Nr} = 0,016$ (для хризотила и лизардита).

Теоретический состав (в %): $\text{MgO} = 43,0$, $\text{SiO}_2 = 44,1$, $\text{H}_2\text{O} = 12,9$. В офитах количество воды возрастает до 17 %. В качестве примесей присутствуют FeO и Fe_2O_3 до нескольких процентов, NiO до десятых долей процента, CoO , реже Al_2O_3 , CaO , изредка Cr_2O_3 , ZnO и др.

Химические составы серпентинов из Джил-Сатанахачского массива Севанского пояса (графа 1) и Азизкендского выхода Вединского пояса (графа 2) приведены в табл. 209. Оба серпентина представляют смесь хризотила и антогорита, а составы их близки к теоретическим.

Таблица 209

Химические составы серпентинов

Окислы	Весовые %		Окислы	Весовые %	
	1	2		1	2
SiO_2	34,10	38,92	MgO	38,98	38,78
TiO_2	0,05	0,08	CaO	0,28	0,77
Al_2O_3	2,81	сл.	Na_2O	0,07	0,06
Cr_2O_3	0,06	—	K_2O	0,02	0,02
Fe_2O_3	5,98	5,72	H_2O	0,20	0,12
FeO	3,96	2,95	П. п. п.	14,17	12,32
MnO	0,14	сл.	Сумма	100,82	100,72

Анализы выполнены в химлаборатории ИГН АН АрмССР аналитиком З. Ш. Гаспарян.

Серпентиновые минералы ассоциируют с оливином, пироксенами, магнетитом (вторичным), хромшпинелидами (в ультрамафитовых породах), реже плагиоклазами (в мафитовых породах). Процесс образования серпентиновых минералов среди мафит-уль-

трамафитовых пород Армянской ССР носит многостадийный характер (Абовян, 1964). Первая стадия представлена аморфным протосерпентином, окаймляющим рудные тела и вкрапленники хромшпинелидов. Наиболее мощной является вторая стадия, в результате которой ультрамафиты подвергаются массовой серпентинизации и приобретают петельчатую микротекстуру, сложенную хризотилом, лизардитом и антигоритом. Третья стадия имеет ограниченное развитие и выражается в преобразовании петельчатой микротекстуры в сложнопетельчатую. Серпентин последней (четвертой) стадии представлен поздними прожилками микроантигорита, секущими сложнопетельчатую микротекстуру, а также колломорфными или плотными, иногда непросвечивающими, вследствие обилия рудной пыли, образованиями офита. Все указанные стадии серпентинизации имеют автометаморфическое происхождение и связаны с многофазным становлением массивов габбро-перidotитовых комплексов. Весьма редко среди ультрамафитов встречаются зоны гидротермально-измененных пород, в которых серпентин имеет наложенный характер и по своему происхождению относится к аллометаморфическим образованиям.

Все серпентиновые минералы в свою очередь замещаются в различной степени хлоритом, карбонатом, бруситом, тальком и гидроокислами железа, обладающими тонкоагрегатным сложением.

Гарниерит-галлуазит— $n\{\text{Ni, Mg)}_4[\text{Si}_4\text{O}_{10}][\text{OH}]_4 \cdot 4\text{H}_2\text{O}\} - (100-n) \cdot \{\text{Al, Fe)}_4[\text{Si}_4\text{O}_{10}][\text{OH}]_8 \cdot 4\text{H}_2\text{O}\}$.

Сингония неизвестна. Гарниерит-галлуазит обнаружен на Амасийском сурьмяно-мышьяковом месторождении (рис. 130) (СЗ часть Армянской ССР) в трещинах наиболее выветрелых, местами рассланцеванных и обожренных разновидностей серпентинитов в виде тонких прожилков мощностью в 1—2 см и скоплений, имеющих в поперечнике 3—5 см (Абовян, 1958).

Представляет собой фарфоровидный минерал, имеющий гелеподобное или скрытокристаллическое агрегатное сложение. Цвет—различные оттенки зеленого, голубого и серого цвета. Блеск матовый, реже восковой и еще реже стеклянный; в тонких частях просвечивает. Твердость 1—2, хрупок, вследствие дегидратации обладает мелкой трещиноватостью, в результате чего при ударе легко распадается на угловатые обломки. Излом плоскораковистый. Уд. вес 2,31. Под микроскопом обнаруживает совершенно однородное строение, на отдельных участках, где окристаллизован, в скрещенных николях слабо анизотропен. Показатели преломления у различно окрашенных разностей колеблются в широких пределах—от 1,517 до 1,590. У белых разностей $N=1,517$, у зеленых 1,590. По-видимому, цвет минерала и показатели преломления находятся в зависимости от примесей, имеющихся в минерале.

Теоретический состав (в %) варьирует в широких пределах. Кроме компонентов, входящих в формулу минерала иногда в незначительных количествах присутствуют Cr_2O_3 , FeO , MnO , CaO и щелочи. Отношение $(\text{RO} + 2\text{R}_2\text{O}_3):\text{RO}_2$ близко к 1, а отношение $\text{RO}:(\text{RO} + \text{R}_2\text{O}_3)$ изменяется от 0 до 1. Количество молекулярной воды непостоянно; вследствие частичной дегидратации на воздухе оно обычно меньше, чем полагается по формуле.

Химический состав зеленой разновидности гарниерит-галлуазита приведен в табл. 210 (аналитик А. К. Иванян, химлаборатория ИГН АН АрмССР).

Таблица 210

Состав гарниерит-галлуазита

Окислы	Содержание в %	Окислы	Содержание в %
SiO_2	42,94	MgO	6,74
Al_2O_3	12,27	CaO	2,15
Fe_2O_3	4,12	H_2O	13,58
Cr_2O_3	2,23	Сумма	100,49
NiO	16,36		

В составе гарниерит-галлуазита CaO и частично Fe_2O_3 и Cr_2O_3 участвуют как механические примеси, что подтверждается наблюдениями под микроскопом.

Для гарниерит-галлуазита характерно отношение $(\text{RO} + 2\text{R}_2\text{O}_3):\text{RO}_2$, которое должно быть близко к 1. Этому условию отвечает анализированный минерал.

На основании спектральных анализов зеленой и белой разновидностей гарниерит-галлуазитов обнаружены: Ti —в количестве тысячных долей процента, Mn и Cu —в зеленой разновидности в количестве тысячной, в белой—десятитысячной долей процента, Sb и As —в количестве меньше сотых долей процента. Характерно, что в зеленой разновидности количество Cu и Ni в десять раз больше, чем в белой. Этим и, по-видимому, обусловлен зеленый цвет минерала и более высокие показатели оптических констант. Не менее характерно для окраски минерала наличие в зеленой разновидности большого содержания железа и хрома.

Кривая нагревания рассматриваемого минерала, полученная в лаборатории ИГЕМ АН ССР, приведена на рис. 97. Для криевой характерны две эндотермические остановки при 120° и 500°C , из них вторая остановка выражена исключительно резко; кроме того характерен пик у экзотермической остановки при 1010°C . По своим эндо- и экзоэффектам минерал близко подходит к уральским галлуазитам (показан пунктиром), являющимся продуктом разложения габбро-амфиболитов (Гинзбург, Рукавишников). Нес

Большая разница в эндо- и экзотермических остановках, по-видимому, объясняется наличием никеля в нашем образце, вследствие чего он определяется не как галлуазит, а как гарниерит-галлуазит.

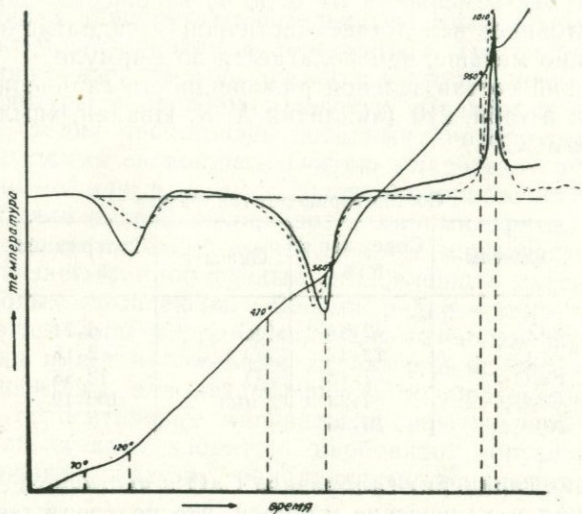


Рис. 97. Термограмма гарниерит-галлуазита. Амасийское сурьмяно-мышьяковое проявление. По С. Б. Абовяну.

По своему происхождению гарниерит-галлуазит, по-видимому, является экзогенным минералом. Его залегание в виде прожилков в трещинах сильно выветрелых серпентинитов, возможно, указывает на то, что выпадение его произошло в форме гелей из коллоидных растворов. При этом источником никеля, магния и железа являлся серпентин и те минералы, за счет которых он образовался (оливин и пироксены). Источником алюминия, вероятнее всего, служили боковые породы серпентинитов—порфирыты.

Непуит (ревдинксит)— $(\text{Ni}, \text{Mg})_6[\text{Si}_4\text{O}_{10}][\text{OH}]_8$. Сингония моноклинная.

Обнаружен в трещинах серпентинизированных ультрамафитов северо-восточного побережья озера Севан, оконтуривающих месторождения магнезита.

Представлен в виде скрытокристаллической плотной массы, реже—чешуйчатых агрегатов. Цвет—серовато-зеленый. Блеск матовый. Излом ровный. Уд. вес 3,0. Твердость 2,4. Оптически отрицательный, $\text{Ng}=1,647$, $\text{Np}=1,621$, $\text{Ng}-\text{Np}=0,026$. Разлагается только в горячей HCl.

Теоретический состав в общем аналогичен серпентину, но отличается от него значительно большим содержанием NiO, иногда преобладающим над MgO. В кристаллической разности присутствует Al₂O₃ до нескольких процентов, замещающий MgO. В небольших количествах присутствуют FeO и CaO.

Ассоциация непуита с магнезитом, арагонитом, опалом, реже гарниеритом указывает на его экзогенное происхождение, за счет выветривания серпентинитов. Источником никеля, магния и железа являлся серпентин и те минералы, за счет которых он образовался (оливин и пироксен).

ЛИТЕРАТУРА

- Абовян С. Б., Арутюнян Г. М. Магнезитизированные ультраосновные породы Армении и их происхождение. Изв. АН АрмССР, серия геол. и геогр., т. X, № 1, 1957.
- Абовян С. Б. О явлениях метаморфизма в хромшпинелидах Армении. Зап. Арм. отд. ВМО, № 1, 1959.
- Абовян С. Б. Геология и полезные ископаемые северо-восточного побережья озера Севан. Изд. АН АрмССР, 1961.
- Абовян С. Б., Геворкян Г. М. Некоторые вопросы геологического положения гипербазитов Армянской ССР и перспективы их хромитоносности. ДАН АрмССР, т. XLIX, № 2, 1969.
- Акопян Е. А. Минералогия зоны окисления главнейших медно-молибденовых месторождений Армении. Изд. АН АрмССР, Ереван, 1960.
- Амирян Ш. О., Карапетян А. И. Минеральный состав руд Меградзорского золоторудного месторождения. В кн.: «Экспериментально-методические исследования рудных минералов». Изд. «Наука», М., 1965.
- Амирян Ш. О. К минералогии и золоторудной минерализации Гамзачиманского месторождения. Зап. Арм. отд. ВМО, вып. 3, 1966.
- Амирян Ш. О., Тунян Г. А. Минералого-geoхимическая характеристика руд Тейского золоторудного месторождения. Изв. АН АрмССР, Науки о Земле, № 5, 1971.
- Амирян Ш. О., Фарамазян А. С. Минералогия, geoхимия и условия образования рудных месторождений Армянской ССР. Изд. АН АрмССР, Ереван, 1974.
- Андрушенко П. Ф., Суслов А. Т. Марганцевые месторождения юго-восточной части Армянской ССР. В кн.: «Марганцевые месторождения складчатых областей СССР». Изд. «Наука», М., 1978.
- Арапов Ю. А., Меликsetян Б. М. Гранаты. В кн.: «Геология Армянской ССР», т. VII, Изд. АН АрмССР, Ереван, 1969.
- Арутюнян Т. М., Казарян А. Г., Kochinян Г. Е. Об окраске секториального кальцита Ахтальского месторождения. Зап. Арм. отд. ВМО, вып. 4, 1970.
- Асланян А. Т. и др., Техутское медно-молибденовое месторождение Изв. АН АрмССР, Науки о Земле, т. XXXIII, № 5, 1980.
- Афанасьева Е. Л. Парагенетические минеральные ассоциации и зональность их пространственного размещения в Кафанском медном месторождении. Изв. АН СССР, сер. геол., № 5, 1971.

Бабаджанян А. Е. Редкие минералы Мегринского plutона Армянской ССР. Зап. Арм. отд. ВМО, вып. 4, 1970.

Балашов Ю. А. Геохимия редкоземельных элементов. Изд. «Наука», 1972.

Бетехтин А. Г. Шоржинский хромитоносный перidotитовый массив (в Закавказье) и генезис месторождений хромистого железняка вообще. Хромиты СССР, т. 1, Изд. АН СССР, 1937.

Ван-Цзы-Бан, Котляр В. Н. О гипогенном ангидrite и гипсе из Кафанского месторождения. Сб. научн. трудов МИЦМИЗ, № 27, 1957.

Гаспарян И. Г. О находке некоторых самородных минералов в аллювии и искусственных шлихах бассейна озера Севан. Изв. АН АрмССР, т. IX, № 6, 1956.

Геология Армянской ССР, т. VI, Металлические полезные ископаемые. Изд. АН АрмССР, 1967.

Грушевой В. Г. Алавердское медное месторождение в Закавказье. Тр. ГГРУ ВЧХ СССР, вып. 1, 1930.

Гулян Э. Х. Железорудные месторождения Армении. Ин-т научно-технич. информ., Ереван, 1963.

Гююмджян О. П. Минеральный состав известковистых скарнов бассейна р. Гехи. Изв. АН АрмССР, Науки о Земле, № 5, 1974.

Дир У. А., Хауси Р. А., Зусман Дж. Породообразующие минералы, т. 2, Изд. «Мир», 1965.

Заварецкий А. Н. Физико-химические основы петрографии изверженных пород. Госгеолтехиздат, 1961.

Зарьян Р. Н. Теллуриды и теллурат свинца в рудах Кафанского месторождения. Изв. АН АрмССР, сер. геол.-геогр. наук, т. XV, № 2, 1962.

Зарьян Р. Н. О стадиях минерализации Кафанского медно-полиметаллического месторождения. Изв. АН АрмССР, серия геол. и геогр. наук, т. XVI, № 4—5, 1963.

Исаенко М. П. Минералы молибдена в рудах медно-молибденовых месторождений Малого Кавказа. Изв. высш. учебн. завед. (Геология и разведка), № 2, 1960.

Казарян А. Г. Ангидрит-сульфидная минерализация Кафана и закономерности ее проявления на колчеданных и медно-молибденовых месторождениях. Изв. АН СССР, сер. геол., № 7, 1975.

Карамян К. А., Фарамазян А. С. К вопросу об ассоциации гипогенного ангидрита и гипса с сульфидами на примере месторождений Армянской ССР. Изв. АН АрмССР, сер. геол.-геогр. наук, № 6, 1959.

Карамян К. А. Стеллерит из Тейского золото-полиметаллического месторождения. ДАН АрмССР, т. XLV, № 1.

Карамян К. А. Геологическое строение, структура и условия образования медно-молибденовых месторождений Зангезурского рудного района. Изд. АН АрмССР, Ереван, 1978.

Карапетян А. И., Гольденберг Г. И. Особенности минерализации Айгедзорского молибденового месторождения. Изв. АН АрмССР, серия геол. и геогр. наук, т. XII, № 3, 1959.

- Карапетян А. И.* Характер оруденения золота на одном медно-молибденовом месторождении. Изв. АН АрмССР, серия геол. и геогр. наук, т. XIV, № 4, 1961.
- Кашкай М. А.* Петрология и металлогенез Дашкесана и др. железорудных месторождений Азербайджана. Изд. «Недра», М., 1965.
- Котляр В. Н.* Памбак. Изд. АН АрмССР, 1958.
- Кочинян Г. Е.* Минералогия и геохимия щелочных пород Памбака. Изд. АН АрмССР, 1975.
- Кравченко С. М.*, *Ифантопуло*. Аксессорные минералы Памбакского щелочного комплекса. В сб.: «Аксессорные минералы как индикаторы особенностей петрогенезиса». Изд. «Наука», М., 1969.
- Кудрин М. А.*, *Кудрина В. С.* Бритолит и алюмобритолит из щелочных пегматитов Сибири. В кн.: «Геология месторождений редких элементов». Изд. «Недра», 1961, вып. 9.
- Лебедева С. И.* Определение микротвердости минералов. Изд. АН СССР, М., 1963.
- Лодочников В. Н.* Серпентины и серпентиниты. Ильчирские и другие и петрологические вопросы с ними связанные. Тр. ЦНИГРИ, вып. 38, 1936.
- Любофеев В. Н.*, *Балицкий В. С.* Об ортите Гилутского гранитоидного массива. Изв. АН АрмССР, сер. геол. и геогр. наук, т. XIV, № 5, 1961.
- Магакьян И. Г.*, *Карапетян О. Т.* Мец-дзорское месторождение медно-мышьяково-оловянных руд. Изв. АН АрмССР, сер. техн. наук, № 1—2, 1944.
- Магакьян И. Г.* Железорудные месторождения Северной Армении. Изв. АН АрмССР, естеств. науки, № 1, 1947.
- Магакьян И. Г.* Алавердский тип оруденения и его руды. Изд. АН АрмССР, Ереван, 1947.
- Магакьян И. Г.* Типы рудных провинций и рудных формаций СССР. Изд. «Недра», М., 1969.
- Магакьян И. Г.*, *Пиджян Г. О.*, *Хачатурян Э. А.* Редкие и рассеянные металлы в рудах Армянской ССР. В кн.: «Геология Армянской ССР», т. VI, 1967.
- Магакьян И. Г.*, *Пиджян Г. О.*, *Фарамазян А. С.*, *Амирян Ш. О.*, *Карапетян А. И.*, *Пароникян В. О.*, *Зарьян Р. Н.*, *Меликсян Б. М.*, *Акопян А. Г.* Редкие и благородные элементы в рудных формациях Армянской ССР. Изд. АН АрмССР, Ереван, 1972.
- Межлумян Г. Б.* О находке шпинели в титаномагнетитовых рудах Сваранцского месторождения. Изв. АН АрмССР, сер. геол. и геогр. наук, т. XIII, № 3—4, 1960.
- Межлумян Г. Б.* Вторичные кварциты района Сваранцского железорудного месторождения. Изв. АН АрмССР, сер. геол. и геогр. наук, т. XIV, № 2, 1961.
- Межлумян Г. Б.* Сравнительная характеристика титаномагнетитовых руд Ка-макарского и Сваранцского месторождений. Изв. АН АрмССР, Науки о Земле, № 2, 1973.

- Межлумян Г. Б.* Сварацкое железорудное месторождение. Изд. АН АрмССР, Ереван, 1974.
- Межлумян Г. Б.* Мушкетовит в железных рудах месторождений Цакери-дош и Мисхана. Изв. АН АрмССР, Науки о Земле, № 3, 1976.
- Меликсетян Б. М.* О некоторых особенностях процесса турмалинизации. Изв. АН АрмССР, сер. геол.-геогр. наук, № 5, 1959.
- Меликсетян Б. М.* Аксессорный ортит из Мегринского plutона. Изв. АН Арм. ССР, сер. геол.-геогр. наук, т. XIII, № 1, 1960.
- Меликсетян Б. М.* О соотношении Zr и Hf в цирконах из пород Мегринского plutона. Изв. АН АрмССР, сер. геол., № 5, 1960.
- Меликсетян Б. М.* К геохимии урана и тория в некоторых гранитоидах юга Армянской ССР. Изв. АН АрмССР, сер. геол.-геогр. наук, № 5, 1961.
- Меликсетян Б. М.* О находке хризоберилла в щелочных пегматитах Мегринского района Зап. Арм. отд. ВМО, вып. 2, 1963.
- Меликсетян Б. М.* К минералогии, геохимии и генезису щелочных пегматитов Мегринского plutона. Сб., посвящ. 70-летию К. Н. Паффенгольца, Изд. АН АрмССР, 1963.
- Меликсетян Б. М.* К геохимии редких земель и иттрия в гранитоидах Мегринского plutона Изв. АН АрмССР, серия геол.-геогр., № 3, 1963.
- Меликсетян Б. М.* Закономерности распределения аксессорных минералов в гранитоидах Мегринского plutона. В сб.: «Аксессорные минералы изверженных пород». Изд. «Наука», 1968.
- Меликсетян Б. М., Сарсян Г. С.* Геохимические особенности щелочных пород Базумского хребта. Зап. Арм. отд. ВМО, вып 4, 1970.
- Меликсетян Б. М., Сарсян Г. С.* Везувиан из щелочных пегматитов Памбака. Зап. Арм. отд. ВМО, вып. 4, 1970.
- Меликсетян Б. М.* Минералогия, геохимия и петрологические особенности Тежесарского щелочного комплекса. Изд. АН АрмССР, 1972.
- Меликсетян Б. М., Мелконян Р. Л.* Петрология и геохимия интрузивных комплексов некоторых рудных районов Армянской ССР. Изд. АН АрмССР, 1976.
- Меликсетян Б. М.* Петрология, минералогия и геохимия интрузий порфировидных гранитов Центральной Армении и их металлогеническая роль. Изд. АН АрмССР, 1976.
- Меликсетян Б. М.* Петролого-геохимические типы гранитоидов Памбак-Зангезурской зоны Малого Кавказа. Изв. АН АрмССР, Науки о Земле, № 4—5, 1977.
- Мелконян Р. Л.* Петрология, минералогия и геохимия интрузивных комплексов Алaverдского рудного района. В кн.: «Петрология и геохимия интрузивных комплексов некоторых рудных районов Армянской ССР», Изд. АН АрмССР, 1976.
- Минералогия редких элементов, т. II, Сб. «Геохимия, минералогия и генетические типы месторождений редких элементов», Изд. «Наука», 1964.
- Минералы (справочник), т. II, вып. 2, Простые окислы. Изд. «Наука», 1965.

- Минералы (справочник), т. II, вып. 3, «Сложные окислы, титанаты, ниобаты и др.», Изд. Наука, 1967.
- Мирзоян Г. Г. Иоцит в плагиогранит-порфирах Алавердского рудного района. Изв. АН АрмССР, Науки о Земле, т. XVIII, № 5, 1965.
- Михеев В. И. Рентгенометрический определитель. Изд. «Недра», 1957.
- Мовсесян С. А., Исаенко М. П.. Комплексные медно-молибденовые месторождения. Изд. «Недра», М., 1974.
- Мурадян К. М. Иоцит из кислого субвуликанического комплекса Базумского рудного района Северной Армении. ДАН АрмССР, т. XL, № 5, 1965.
- Овчинников Л. Н. О маггемите. Тр. Горно-геол. ин-та УФАН СССР, № 2, вып. 20, 1953.
- Пароникян В. О. К геохимии благородных и некоторых редких элементов в колчеданной и полиметаллической формациях руд Армянской ССР. Изв. АН АрмССР, Науки о Земле, № 5—6, 1967.
- Пиджян Г. О. Ртутное оруденение северо-восточного побережья озера Севан. Изв. АН АрмССР, серия геол. и геогр. наук, т. X, № 3, 1957.
- Пиджян Г. О. Медно-молибденовая формация руд Армянской ССР. Изд. АН АрмССР, Ереван, 1975.
- Рамдор П. Рудные минералы и их срастания. Изд. ИЛ, перев. с немец., М., 1962.
- Сальдау Э. П. Опыты по окислению магнетита в маггемит. Тр. Ленингр. горного ин-та, вып. 5, 1956.
- Саруханян Л. Б., Мкртчян Г. Распределение редкоземельных элементов в апатите. Изв. АН АрмССР, Науки о Земле, № 4, 1968.
- Саруханян Л. Б. Минералогия, геохимия и генезис Абовянского апатит-магнетитового месторождения. Изд. АН АрмССР, Ереван, 1971.
- Свягин Н. В. Тернебомит из щелочной провинции Урала. Зап. ВМО, ч. 91, 1961.
- Сейранян В. Б. О проявлениивольфрам-молибденовой минерализации в Шамлугском рудном поле. Изв. АН АрмССР, Науки о Земле, № 6, 1972.
- Семенов Е. И. Минералогия редких земель. Изд. «Наука», 1963.
- Сидоренко Г. А. Рентгенографический определитель урановых и урансодержащих минералов. Изд. «Недра», 1960.
- Соболева М. В., Пудовкина И. А. Минералы урана. Изд. «Наука», 1956.
- Соколов Г. А. Хромиты урала, их состав, условия кристаллизации и закономерности распространения. Тр. ИГН АН СССР, вып. 97, серия рудных м-ний (№ 12), Изд. АН СССР, 1948.
- Фарамазян А. С. Каджаранскоемедно-молибденовое месторождение. В кн.: «Минералогия, геохимия, условия образования рудных месторождений Армянской ССР», Изд. АН АрмССР, 1974.
- Халилова Т. А. Железо-марганцевые месторождения Ханларского района (Азерб. ССР). Изд. АН Азерб. ССР, Баку, 1960.
- Хачатуровян Э. А. Генетические типы железорудных месторождений Армянской ССР и перспективы их освоения. Изд. АН АрмССР, Ереван, 1953.

Чачатурян Э. А. Минералогия, геохимия и генезис колчеданной формации Арм ССР. Изд. АН АрмССР, Ереван, 1977.

Чернышов Н. М. Флюорит из Ахтальского барит-полиметаллического месторождения. Изв. АН АрмССР, Науки о Земле, № 3, 1962.

Яшвили Л. П. О находке якосита в рудах Чайкендского месторождения. ДАН АрмССР, т. XLIV, № 3, 1967.

Яшвили Л. П. Минеральный состав и генезис марганцевых руд северо-восточного побережья озера Севан. Изв. АН АрмССР, Науки о Земле, № 4, 1978.

Basta E. Z. Some mineralogical relationships in the system Fe_2O_3 — Fe_3O_4 and the composition of titanomaghemit. Econ. Geol. № 4, 1959.

Kennedy G. G. Carte of correlation of optical properties with chemical composition of some common rockforming minerals. Amer. Mineral., 32, 1947.

Kretz R. Co-existing pyroxenes. Geol. Mag. v. 98, № 4, 1961.

Kuroda Y., Shimoda S. Olivine with well-developed cleavages. Its geological and mineralogical meanings. Journ. of the Geol. Soc. of Japan, v. 73, № 8, 1967.

Mason B. Mineralogical aspects of the system Fe_3O_4 — Mn_3O_4 — ZnMn_2O_4 — ZnFe_2O_4 . Amer. Mineral. 32, 1947.

Iashvili L. P. Volcanogenic manganese ore deposits in northern Armenia (USSR) Geol. Congr. symposium 104. 3. Geol. and Geochem. of manganese, 1979.

Joder In. H. S., Sahame Th. G. Olivine x-ray determinate curve. Amer. Miner., v. 42, № 7—8, 1957.

О Г Л А В Л Е Н И Е

VI. Галогениды	5
Флюорит (<i>Меликsetян Б. М.</i>)	5
VII. Окислы простые и сложные	10
<i>A. Окислы простые</i>	10
Куприт (<i>Зарьян Р. Н.</i>)	10
Иоцит (<i>Абовян С. Б.</i>)	12
Тенорит (<i>Зарьян Р. Н.</i>)	14
Биксбит (<i>Яшвили Л. П.</i>)	14
Браунит (<i>Яшвили Л. П.</i>)	16
Маггемит (<i>Межлумян Г. Б.</i>)	19
Корунд (<i>Меликsetян Б. М.</i>)	22
Гематит (<i>Межлумян Г. Б.</i>)	24
Сенармонтит (<i>Амирян Ш. О.</i>)	27
Валентинит (<i>Амирян Ш. О.</i>)	28
Сервантит (<i>Амирян Ш. О.</i>)	29
Бисмит (<i>Пиджян Г. О.</i>)	30
Торианит (<i>Меликsetян Б. М.</i>)	30
Уранинит (<i>Меликsetян Б. М.</i>)	31
Бадделеит (<i>Меликsetян Б. М.</i>)	33
Кварц (<i>Амирян Ш. О., Карапетян К. А.</i>)	35
Пиролюзит (<i>Яшвили Л. П.</i>)	38
Рутил (<i>Межлумян Г. Б.</i>)	43
Анатаз (<i>Меликsetян Б. М.</i>)	46
Брукит (<i>Меликsetян Б. М.</i>)	50
Касситерит (<i>Магакян И. Г.</i>)	51
Ильменорутил (стрюверит) (<i>Меликsetян Б. М.</i>)	53
Теллурит (<i>Амирян Ш. О.</i>)	56
Рамсделлит (<i>Яшвили Л. П.</i>)	56

Б. Окислы сложные и гидроокислы	59
Шпинель (<i>Межлумян Г. Б.</i>)	59
Плеонаст (<i>Межлумян Г. Б.</i>)	60
Якобсит (<i>Яшвили Л. П.</i>)	62
Магнетит (<i>Межлумян Г. Б.</i>)	65
Мушкетовит (<i>Межлумян Г. Б.</i>)	73
Хромшпинелиды (<i>Абовян С. Б.</i>)	76
Гаусманит (<i>Яшвили Л. П.</i>)	80
Хризоберилл (<i>Меликсетян Б. М.</i>)	83
Пирохлор (<i>Меликсетян Б. М.</i>)	85
Обручевит (<i>Меликсетян Б. М.</i>)	87
Мариньяkit (<i>Меликсетян Б. М.</i>)	88
Гатчеттолит (<i>Меликсетян Б. М.</i>)	89
Бетафит (<i>Меликсетян Б. М.</i>)	91
Криптомелан (<i>Яшвили Л. П.</i>)	93
Голландит (<i>Яшвили Л. П.</i>)	96
Тодорокит (<i>Яшвили Л. П.</i>)	100
Рансент (<i>Яшвили Л. П.</i>)	101
Фергусонит (<i>Меликсетян Б. М.</i>)	102
Ильменит (<i>Межлумян Г. Б.</i>)	103
Давидит—брэннерит (<i>Меликсетян Б. М.</i>)	106
Колумбит (<i>Меликсетян Б. М.</i>)	110
Самарскит (<i>Меликсетян Б. М.</i>)	111
Эвксенит—поликраз (<i>Меликсетян Б. М.</i>)	113
Эшинит (<i>Меликсетян Б. М.</i>)	114
Бломстрандин-приорит (<i>Меликсетян Б. М.</i>)	115
Лопарит (<i>Меликсетян Б. М.</i>)	117
Перовскит (<i>Меликсетян Б. М.</i>)	118
Кнопит (<i>Меликсетян Б. М.</i>)	118
Гроутит (<i>Яшвили Л. П.</i>)	120
Лимонит (<i>Межлумян Г. Б.</i>)	122
Гётит (<i>Межлумян Г. Б.</i>)	125
Манганит (<i>Яшвили Л. П.</i>)	128
Бруцит (<i>Абовян С. Б.</i>)	132
Ферробрусит (<i>Абовян С. Б.</i>)	133
Бернадит (<i>Яшвили Л. П.</i>)	134
Блекеит (<i>Амирян Ш. О.</i>)	136
Данхемит (<i>Зарьян Р. Н.</i>)	137
Монтанит (<i>Зарьян Р. Н.</i>)	137
VIII. Вольфраматы, молибдаты	138
Вольфрамит (<i>Меликсетян Б. М.</i>)	138
Шеелит (<i>Меликсетян Б. М.</i>)	139
Молибдошеелит (<i>Меликсетян Б. М.</i>)	142
Повеллит (<i>Карамян К. А., Фарамазян А. С.</i>)	143

Ферримолибдит (Карамян К. А., Фармазян А. С.)	143
IX. Фосфаты, арсенаты, ванадаты	147
Пироморфит (Амирян Ш. О.)	147
Апатит (Межлумян Г. Б.)	147
Бирюза (Магакьян И. Г.)	155
Монацит (Меликсян Б. М.)	156
Ксенотит (Меликсян Б. М.)	158
Бритолит (Меликсян Б. М.)	161
Иттроалюмобритолит (Меликсян Б. М.)	163
Рабдофанит (Меликсян Б. М.)	163
Скородит (Амирян Ш. О.)	165
Эритрин (Амирян Ш. О.)	165
Аниабергит (Амирян Ш. О.)	165
X. Карбонаты	166
Малахит (Зарьян Р. Н., Карамян К. А.)	166
Азурит (Зарьян Р. Н., Карамян К. А.)	167
Паризит—Бастнезит (Меликсян Б. М.)	168
Лантанит (Меликсян Б. М.)	170
Церуссит (Карамян К. А.)	171
Смитсонит (Карамян К. А.)	172
Магнезит (Абовян С. Б.)	172
Кальцит (Карамян К. А., Пароникян В. О.)	176
Манганокальцит (Карамян К. А., Пароникян В. О.)	179
Доломит (Карамян К. А., Пароникян В. О.)	183
Анкерит (Карамян К. А., Пароникян В. О.)	186
Олигонит (Карамян К. А., Пароникян В. О.)	189
Сидерит (Карамян К. А., Пароникян В. О.)	189
Родохрозит (Карамян К. А., Пароникян В. О.)	189
Бисмутит (Пиджян Г. О.)	190
Базобисмутит (Пиджян Г. О.)	190
Артинит (Абовян С. Б.)	190
Бруньятеллит (Абовян С. Б.)	193
Пироаурит (Абовян С. Б.)	194
XI. Сульфаты	195
Брошантит (Карамян К. А.)	195
Ярозит (Межлумян Г. Б.)	196
Халькантит (Зарьян Р. Н.)	197
Копиапит (Зарьян Р. Н.)	197
Мелантерит (Зарьян Р. Н.)	198
Алунит (Зарьян Р. Н.)	198
Ильземанит (Карамян К. А.)	199
Ангидрит (Фармазян А. С.)	199
Гипс (Фармазян А. С.)	202
Барит (Хачатуян Э. А.)	203

XII. Силикаты

Хризоколла (<i>Карамян К. А.</i>)	210
Стеллерит (<i>Карамян К. А.</i>)	210
Гранаты, андрадит (<i>Межлумян Г. Б.</i>)	211
Уваровит (<i>Абоян С. Б.</i>)	216
Скаполит (<i>Межлумян Г. Б.</i>)	218
Ортит (<i>Магакьян И. Г.</i>)	222
Турмалин (<i>Меликсетян Б. М.</i>)	223
Везувиан редкоземельный (<i>Меликсетян Б. М.</i>)	225
Цирконосиликат (<i>Меликсетян Б. М.</i>)	229
Циркон-циртолит (<i>Меликсетян Б. М.</i>)	231
Торит (<i>Меликсетян Б. М.</i>)	235
Ураноторит (<i>Меликсетян Б. М.</i>)	236
Вёлерит (<i>Меликсетян Б. М.</i>)	238
Иттфналит (<i>Меликсетян Б. М.</i>)	240
Гадолинит (<i>Меликсетян Б. М.</i>)	241
Церит (<i>Меликсетян Б. М.</i>)	241
Тернебомит (<i>Меликсетян Б. М.</i>)	242
Гелландит (<i>Меликсетян Б. М.</i>)	243
Меланоцерит (<i>Меликсетян Б. М.</i>)	244
Карнасуртит (<i>Меликсетян Б. М.</i>)	245
Ринкит (<i>Меликсетян Б. М.</i>)	246
Чевкинит (<i>Меликсетян Б. М.</i>)	248
Берилл (<i>Меликсетян Б. М.</i>)	249
Берtrandит (<i>Меликсетян Б. М.</i>)	250
Гельвин (<i>Меликсетян Б. М.</i>)	251
Сподумен (<i>Меликсетян Б. М.</i>)	252
Полиглинионит (<i>Меликсетян Б. М.</i>)	253
Иттротитанит (<i>Меликсетян Б. М.</i>)	254
Меланит (<i>Меликсетян Б. М.</i>)	257
Родонит (<i>Яшвили Л. П.</i>)	261
Бустамит (<i>Яшвили Л. П.</i>)	261
Пьемонтит (<i>Яшвили Л. П.</i>)	262
Тулит (<i>Яшвили Л. П.</i>)	262
Группа оливина (<i>Абоян С. Б.</i>)	263
Пироксены, Энстатит (<i>Абоян С. Б.</i>)	264
Ромбические пироксены (<i>Абоян С. Б.</i>)	265
Моноклинные пироксены (<i>Абоян С. Б.</i>)	266
Роговые обманки (<i>Абоян С. Б.</i>)	267
К-полевой шпат (<i>Карамян К. А., Фарамазян А. С.</i>)	267
Гидромусковит-серпинит (<i>Карамян К. А.</i>)	269
Каолинит-дикит (<i>Карамян К. А.</i>)	278

Хлориты (Карамян К. А.)	282
Хромдиопсид (Абовян С. Б.)	286
Демантоид (Абовян С. Б.)	287
Кеммерерит (Абовян С. Б.)	288
Хризотил-асбест (Абовян С. Б.)	290
Амфибол-асбест (Абовян С. Б.)	291
Тальк (Абовян С. Б.)	293
Сerpентин (Абовян С. Б.)	294
Гарниерит-гальвазит (Абовян С. Б., Карамян К. А.)	296
Непуит (ревдинскит) (Абовян С. Б., Карамян К. А.)	298
Литература	300

МИНЕРАЛЫ РУДНЫХ ФОРМАЦИЙ
АРМЯНСКОЙ ССР

Том 2

Редактор издательства **В. А. Галоян**
Худ. редактор **Г. Н. Горцакалян**
Тех. редактор **А. М. Манучарян**
Корректор **М. М. Даниелян**

ИБ № 718

Сдано в набор 27.01.1986 г. Подписано к печати 21.11.1986 г. ВФ 06980.
Формат 60×84¹/₁₆. Бумага № 2. Шрифт «литературный», высокая печать.
Печ. л. 19,5. Усл. печ. л. 18,13. Учетно-изд. л. 23,15, 18,13 кр. от. Тираж 700.
Зак. № 61. Изд. № 6784. Цена 3 р. 60 коп.
Издательство АН АрмССР, 375019, Ереван, пр. Маршала Баграмяна 24 г.
Типография Издательства АН АрмССР, 378310, г. Эчмиадзин.

4717